
	Provincia autonoma di Bolzano Autonome Provinz Bozen
	Comune di Rodengo Gemeinde Rodeneck

GENERALPLANUNG: PROGETTISTA GENERALE:	OBJEKTPLANER: PROGETTISTA:	PROJEKTSTEUERUNG: RESPONSABILE DI PROGETTO:	BAUHERR: COMMITENTE:				
<h1>AUSFÜHRUNGSPROJEKT PROGETTO ESECUTIVO</h1>							
<h2>TECHNISCHER BERICHT – RELAZIONE TECNICA</h2>							
<div style="text-align: right;">  BAUCON <small>Dr. Ing. Simon Neulichedl</small> <small>Zwölffmalgreinerstr. 12c via Dodiciville I-39100 Bozen/Bolzano</small> <small>Tel.: +39 0471 94 03 19 Fax: +39 0471 94 03 20</small> <small>homepage: www.baucon.it e-mail: info@baucon.it</small> </div>							
Projekt progetto <div style="text-align: center;"> NEUBAU KINDERGARTEN/ NUOVA COSTRUZIONE SCUOLA MATERNA RODENECK/RODENGIO B.P./p.ed. 31 </div>		Dokument Nr. nr. documento <div style="text-align: center;"> S0962 – D001a </div>					
Planinhalt contenuto <div style="text-align: center;"> Relazione tecnica Technischer Bericht </div>		Maßstab scala 					
Bearbeitet elaborato	GI	Geprüft controllato	SN	Genehmigt approvato	SN	Datum data	17.11.2010
a Ergänzung Übersetzung – Completamento Traduzione						SN	13/04/12
b							
c							

INDICE/INHALTSVERZEICHNIS

A	Generalità/Allgemeines.....	A-1
A.1	Premessa/Vorbemerkungen.....	A-1
A.1.1	Generalità/Allgemeines.....	A-1
A.1.2	Base di calcolo/Berechnungsgrundlagen:	A-1
A.1.2.1	Norme di riferimento/Verwendete Normen	A-2
A.1.2.2	Calcoli d'esercizio/Gebrauchstauglichkeit	A-2
A.1.2.3	Altri documenti/Sonstige Unterlagen	A-4
A.1.3	Costruzione/Konstruktion:.....	A-4
A.1.3.1	Fondazioni/Fundamente.....	A-4
A.1.3.2	Muri portanti/Tragende Wände.....	A-5
A.1.3.3	Solai/Decken	A-5
A.1.3.4	Tetto/Dachstruktur	A-6
A.1.3.5	Materiali/Baustoffe.....	A-6
A.1.4	Databaca materiale/Materialdatenbank:	A-7
A.1.4.1	Combinazione generale/Generelle Kombinatorik	A-7
A.1.4.2	Sicurezze nel legno/Sicherheiten im Holzbau	A-9
A.1.4.3	Sicurezze nell'acciaio/Sicherheiten im Stahlbau	A-13
A.1.4.4	Sicurezze nel c.a./Sicherheiten im Stahlbetonbau	A-14
A.1.5	Fase di costruzione/Bauablauf	A-15
A.1.6	Programmi/EDV-Programme.....	A-16
A.2	Denominazione/Bezeichnungen	A-17
A.2.1	Intestazione delle pagine/Ordnungssystem.....	A-17
A.2.1.1	Generalità/Allgemein	A-17
A.2.1.2	Pagine con cambiamenti/Austauschseiten.....	A-18
A.2.1.3	Capitoli aggiuntivi/Zusätzliche Abschnitte.....	A-18
A.2.1.4	Pagine di completamento/Ergänzungsseiten	A-18
A.2.2	Denominazione delle posizioni/Positionsbezeichnungen	A-19
A.3	Glossario generale/Allgemeiner Glossar	A-21
A.4	Prospetto delle posizioni/Positionsübersicht.....	A-24

B	Valutazione dei carichi/Lastannahmen	B-1
B.1	Edilizia ed edilizia industriale/Hochbau und Industriebau:	B-2
B.1.1	Peso proprio delle strutture/Eigengewicht der Tragenden Struktur ...	B-2
B.1.2	Peso permanente/Ständige Einwirkungen: Ausbau	B-3
B.1.3	Carichi variabili/Veränderliche Einwirkungen:	B-4
B.2	Sismicità/Erdbebeneinwirkungen:	B-7
B.2.1	Calcolo di sismicità/Rechnerische Erfassung der Erdbebenlasten....	B-7
B.2.2.	Sismicità costruttiva/Konstruktive Erfassung der Erdbebenlasten.....	B-10
B.3	Carichi di vento/Windeinwirkungen:	B-11
B.3.1	Velocità di vento/Bezugsgeschwindigkeit:	B-11
B.3.2	Pressione vento/Winddruck:	B-13
B.3.3	Pressione cinematica/Kinetischer Bezugsdruck:	B-13
B.3.4	Coefficiente di esposizione/Expositions-koeffizient:	B-13
B.3.5	Coefficiente di forma/Formbeiwert	B-15
B.3.5.1	Formbeiwert/coefficiente di forma	B-16
B.4	Neve/Schneeeinwirkungen:	B-18
B.4.1	Carico neve/Schneelast:	B-18
B.4.2	Valore caratt. carico neve/Charakt. Wert der Schneelast.....	B-18
B.4.3	Coefficiente di esposizione/Expositions-koeffizient	B-20
B.4.4	Coefficiente di forma/Formbeiwert	B-20
B.5	Azioni di temperatura/Temperatureinwirkungen:	B-23
B.5.1	Temperatura esterna/Lufttemperatur Außen	B-23
B.5.2	Temperatura interna/Lufttemperatur Innen.....	B-23
B.5.3	Distribuzione della temperatura/Temperaturverteilung in Strukturen	B-23
B.6	Carichi eccezionali/Außergewöhnliche Einwirkungen	B-25
B.6.1	Incendio/Brand:	B-25
B.6.2	Urti/Anprall:	B-25
B.6.2.1	Classificazione delle azioni/Klassifizierung der Aktionen	B-26
B.6.2.2	Urti da mezzi/Anprall durch Verkehrsmittel.....	B-26
B.6.2.3	Carichi eccezionali per il progetto/Projektsp. Anpralllasten:	B-27
C	Stabilità/STABILITÄT	C-1

C.1	Stabilità da sismicità/Stabilität aus Erdbebenlasten	C-1
C.2	Stabilità da vento/Stabilität aus Windlasten.....	C-1
C.3	Calcolo della stabilità/Berechnung der Stabilität.....	C-1
D	Prospetto dei carichi/Lastabtragung	D-1
E	Pilastri/Stützen	E-1
E.1	Generalità/Allgemeines.....	E-1
E.2	Dettagli costruttivi/Konstruktive Details	E-1
F	Solai/Decken.....	F-1
G	Travi/Träger	G-1
G.1	Generalità/Allgemeines.....	G-1
G.2	Dettagli costruttivi/Konstruktive Details	G-1
H	Tetto/Dach	H-1
I	Pareti/Wände	I-1
J	Ascensori/Aufzüge	J-1
K	Scale/Treppen	K-1
L	Fondazioni/Fundamente	L-1

A GENERALITÀ/ALLGEMEINES

A.1 Premessa/Vorbemerkungen

A.1.1 Generalità/Allgemeines

Il presente progetto riguarda la costruzione della scuola materna Rodenego sita sulla p.ed. 31, c.c der B.P. 31, K.G. Rodeneck. Rodenego.

Das vorliegende Projekt betrifft den Umbau des Kindergartens Rodeneck auf Rodenego sita sulla p.ed. 31, c.c der B.P. 31, K.G. Rodeneck.

A.1.2 Base di calcolo/Berechnungsgrundlagen:

Per il calcolo si considera i carichi come descritto nel D.M. del 14.01.2008

Für die Berechnung wird die Belastung gemäß D.M. vom 14.01.2008 angesetzt.

Il calcolo viene eseguito in generale con il concetto di sicurezza con i fattori di sicurezza divisi a base del metodo dei stati limiti.

Die Berechnung erfolgt grundsätzlich mit dem Sicherheitskonzept der geteilten Sicherheitsbeiwerte auf Basis des Traglastverfahrens.

La costruzione viene secondo D.M. del 14.01.2008, 2.4 classificato insieme col committente:

Die Konstruktion gemäß D.M. vom 14.01.2008, 2.4 wird zusammen mit dem Bauherrn in folgende Klasse eingeteilt:

1.) Vita Nominale: $v_N \Rightarrow 50$ Jahre

1.) Vita Nominale: $v_N \Rightarrow 50$ Jahre

2.) Classe: II

2.) Nutzungsklasse: Klasse II

3.) In base alla classe la vita nominale v_N si calcola $C_u = 1,0$

3.) Aufgrund Nutzungsklasse und v_N ergibt sich $C_u = 1,0$

I calcoli vengono eseguiti a base dei calcoli dei stati limiti secondo Eurocodice EC (EC – 2, EC – 3, EC – 4, EC – 5, EC – 6 e EC – 7) con le annotazioni raccomandate secondo il D.M.

Die Berechnungen stützen sich auf die Berechnungen des Traglastverfahrens gemäß EC (EC – 2, EC – 3, EC – 4, EC – 5, EC – 6 und EC – 7) mit der empfohlenen Berücksichtigung lt. D.M.

14.01.2008.

14.01.2008.

A.1.2.1 Norme di riferimento/Verwendete Normen

- **ENV 1991, ENV 1992, ENV 1993, ENV 1994, ENV 1995, ENV 1996 und ENV 1997**
- **D.M. 14.01.2008 « Norme tecniche per le costruzioni »**
- **CNR DT 206/2007 - Costruzioni in legno – Istruzioni per il calcolo, l'esecuzione, il collaudo e la manutenzione.**
- **CNR 10011/97**
- **ENV 1991, ENV 1992, ENV 1993, ENV 1994, ENV 1995, ENV 1996 und ENV 1997**
- **D.M. 14.01.2008 « Norme tecniche per le costruzioni »**
- **CNR DT 206/2007 - Costruzioni in legno – Istruzioni per il calcolo, l'esecuzione, il collaudo e la manutenzione.**
- **CNR 10011/97**

*A.1.2.2 Calcoli d'esercizio/Gebrauchstauglichkeit***Deformazioni:**

Limitazione delle deformazioni secondo la norma Eurocodice a:

- 1 / 250 della campata nel caso normale
- 1 / 500 della campata con muri interni fragili

Verformungen:

Begrenzte der Verformungen des Bauwerks gemäss Eurocode auf:

- 1 / 250 der Spannweiten im Normalfall
- 1 / 500 der Spannweite bei spröden Innen-wänden

Funzionalità / Aspetto:

Impermeabilità degli elementi in contatto

Funktionstüchtigkeit / Aussehen:

Wasserdichtigkeit erdberührter Bauteile:

con il sotto-suolo:

- | | |
|--|---|
| - Limitazione delle fessurazioni secondo Euro-codice EC 2 – 0.30mm o sistema con valori pari | - Begrenzung der Rissbreiten gemäß Euro-code EC 2 – 0.30mm oder gleichwertigem System |
| - Drenaggio del riempimento con materiale granulare opport. scelto. | - Entwässerung der Hinterfüllung durch eng gestuftes Füllmaterial |
| - Tubi di drenaggio | - Drainagerohre |

Limitazione degli assestamenti:

- Fondazioni
- Platee di fondazione

Begrenzung der Setzungen:

- Streifenfundamente
- Fundamentplatten

Limitazione delle fessurazioni:

- Definizione del coefficiente del ritiro finale del calcestruzzo
- Dimensionamento dell'armatura a secondo le sollecitazioni del calcestruzzo a trazione sec. Eurocodice

Begrenzung der Rissbreiten:

- Endschwindmass-Zielgrössenvorgabe des Betons
- Auslegung der Bewehrung auf Betonzugkräfte gem. Eurocode

Durabilità:

Resistenza alla corrosione di acciaio e ancoraggi: Evitare la carbonatazione del calcestruzzo sull'armatura mediante:

- copri ferro minimo esterno: 30 mm, interno: 20 mm
- Specificazione di un calcestruzzo denso con un adeguato post-trattamento
- Limitazione delle fessurazioni.

Dauerhaftigkeit:

Korrosionsbeständigkeit der Bewehrungen und Verankerungen. Karbonatisierung in der Bewehrungslage wird wie folgt vermieden:

- Minimale Betonüberdeckungen: bewittert: 30 mm, unbewittert: 20 mm
- Spezifizierung eines dichten Betons mit entsprechender Nachbehandlung
- Begrenzung der RissbreitenD.

A.1.2.3 Altri documenti/Sonstige Unterlagen

- Protocolli
- Prescrizioni specifiche e normative specifiche
- Relazione Geologica di Pfiffer Dragà del 22.12.2006
- Besprechungsprotokolle
- Einschlägige Normen und Vorschriften
- Geologisches Gutachten von Pfiffer Dragà vom 22.12.2006

A.1.3 Costruzione/Konstruktion:

A causa di demolizioni interni si decide insieme al committente di rifare e rinnovare tutto l'interno del fabbricato esistente.

Aufgrund der inneren Abbrucharbeiten wird zusammen mit dem Auftraggeber entschieden das gesamte innere zu erneuern.

A.1.3.1 Fondazioni/Fundamente

La nuova fondazione continua ha uno spessore di $h = 50$ cm, che porta i carichi nel terreno; questa fondazione verrà eseguita come sottomurazione.

Die Lasten des Gebäudes werden auf ein neues Streifenfundament $h=50$ cm in den Boden abgetragen, das gleichzeitig als Unterfangungsfundament wirkt.

Come Magrone viene usata la classe di calcestruzzo C12/15.

Als Sauberkeitsschicht ist ein Beton mit einer Güte von C12/15 vorgesehen.

È da prevedere un risanamento della fondazione esistente. Siccome non sono presenti delle planimetrie delle fondazioni esistenti, sarà possibile decidere di come risanare le fondazioni solo durante la fase di lavoro.

Bei den bestehenden Fundamenten ist eine Sanierung anzudenken. Da keine Pläne der bestehenden Fundamente vorliegen, wird die zutreffende Sanierung erst während der Bauphase entschieden. Eine Lösung wäre der Aushub rund um

Una soluzione sarebbe tramite scavo vicino alle fondazioni con posa di nuovi tubi di drenaggio e posa di una nuova isolazione con riempimento con ghiaia. (soluzione architettonica/ soluzione strutturazione fisica)

In alternativa a questa soluzione si potrebbe di fare la sottomurazione delle fondazioni eventualmente anche uso di pali di sostegno e rinforzo delle fondazioni durante l'esecuzione del fabbricato.

A.1.3.2 Muri portanti/Tragende Wände

Le murature esistenti rimangono portanti come nella struttura esistente. La solidità e capacità portante di queste murature deve essere testata e verificata.

Se la capacità portante non è sufficiente, è necessario rinforzare i muri con dei profili nei punti di carico fissati, così che la struttura poi può essere definita come OK in tutti gli aspetti statici verticali.

den Streifenfundamenten mit neuer Verlegung von Drainage-rohren, mit Verlegung neuer Abdichtung und auffüllen mit Schotter (architektonische Lösung/ bauphysikalische Lösung).

Eine Alternative zu dieser Lösung wäre die Unterfangung der Fundamente, eventuell auch mit Pfählen und Verstärkung der Fundamente die in der Ausführungsphase angedacht werden kann.

Das bestehende Mauerwerk bleibt wie bei der bestehenden statischen Struktur tragend. Dieses Mauerwerk muss auf die Festigkeit und Tragfähigkeit geprüft werden. Wenn die Festigkeit bei den neuen Abtragungspunkten versagt, sind eventuell neue Stahlstützen einzubauen, sodass dann die Struktur in vertikaler Hinsicht statisch OK ist.

A.1.3.3 Solai/Decken

Il solaio viene calcolato con REI 90. Valori minimi se-condo ENV 1992-1-2. b= 20-22 cm, copriferro 3,0 cm

Il solaio sopra piano terra è un solaio pieno tensiona-to in due assi con uno spessore di 20-22cm. È stato scelto questo tipo di solaio per i seguenti motivi

Die Decke wird mit REI 90 bemessen. Mindestabmessungen laut ENV 1992-1-2:

d= 20-22 cm, Betondeckung 3,0 cm

Die Decke über Erdgeschoss ist als zweiachsig gespannte 20-22cm dicke Massivdecke konzipiert, welche folgende

positivi:

- settore isolamento acustico
- settore antincendio
- può essere posato in un modo molto flessibile
- contemporaneamente migliora la stabilità della struttura (possono essere aggiunte ulteriori controventature)
- flessibilità della posa di tubi, come tubi elettrici per l'illuminazione

Vorteile bietet:

- im Bereich Schallschutz
- im Bereich Brandschutz
- kann als Methode flexibel eingebaut werden
- gleichzeitig Verbesserung der Aussteifung der Struktur (zusätzliche Schleuder können eingebaut werden)
- flexible für Rohre, wie z.B. Elektrorohre für die Beleuchtung

A.1.3.4 Tetto/Dachstruktur

La struttura secondaria avviene con una piastra KLH la quale è appoggiata e caricata solo in una direzione.

L'esatto calcolo del carico neve che è da calcolare nella struttura del tetto si trova negli allegati.

Die Sekundärkonstruktion erfolgt durch einer KLH Platte welche einachsrig gespannt ist.

Die genaue Berechnung der zu aufnehmenden Schneelast ist im Anhang ersichtlich.

A.1.3.5 Materiali/Baustoffe

- Calcestruzzo: secondo EN 206
- acciaio per c.a.: B450C
- Acciaio: S275, S355
- Legno: vedi calcolo dettagliato

- Beton: lt. EN 206
- Betonstahl: B450C
- Baustahl: S275, S355
- Holz: siehe Detailnachweis

A.1.4 Databaca materiale/Materialdatenbank:**A.1.4.1 Combinazione generale/Generelle Kombinatorik**

Il DM 14.01.2008 prescrive:

Das DM 14.01.2008 schreibt vor:

Le valutazioni sulla sicurezza sono effettuate in relazione agli stati limite che si possono verificare durante la vita nominale dell'opera:

STATI LIMITE ULTIMI, combinazione di azioni:

$$F_d = \gamma_g G_k + \gamma_q [Q_{1k} + \sum_{i=2}^{i=n} (\psi_{0i} Q_{ik})]$$

G_k = valore caratteristico delle azioni permanenti

Q_{1k} = valore caratteristico dell'azione variabile di base di ogni combinazione

Q_{ik} = valori caratteristici delle azioni variabili tra loro indipendenti

$\gamma_g = 1,35$ (a sfavore di sicurezza)

$\gamma_q = 1,50$ (a sfavore di sicurezza)

ψ_{0i} = coefficiente di combinazione allo stato limite ultimo da determinarsi sulla base di considerazioni statistiche

STATI LIMITE DI ESERCIZIO, combinazione di azioni:

Combinazioni rare: $F_d = G_k + Q_{1k} + \sum_{i=2}^{i=n} (\psi_{0i} Q_{ik})$

Combinazioni frequenti: $F_d = G_k + \psi_{11} Q_{1k} + \sum_{i=2}^{i=n} (\psi_{2i} Q_{ik})$

Combinazioni quasi permanenti: $F_d = G_k + \sum_{i=1}^{i=n} (\psi_{2i} Q_{ik})$

ψ_{1i} = coefficiente atto a definire i valori delle azioni assimilabili ai frattili di ordine 0,95 delle distribuzioni dei valori istantanei

ψ_{2i} = coefficiente atto a definire i valori quasi permanenti delle azioni variabili assimilabili ai valori medi delle distribuzioni dei valori istantanei.

STATO LIMITE ULTIMO - Eccezionale:

$$F_d = \gamma_l E + G_k + \sum_{i=2}^{i=n} (\psi_{2i} Q_{ik})$$

γ_l = fattore di importanza

E = azione sismica per lo stato limite in esame

G_k = valore caratteristico delle azioni permanenti

ψ_{2i} = coefficiente atto a definire i valori quasi permanenti delle azioni variabili assimilabili ai valori medi delle distribuzioni dei valori istantanei.

Q_{ik} = valori caratteristici delle azioni variabili tra loro indipendenti

I valori sono:

Die Teilsicherheitsbeiwerte dazu sind:

		Coefficiente γ_F	EQU	A1 STR	A2 GEO
Carichi permanenti	favorevoli	γ_{G1}	0,9	1,0	1,0
	sfavorevoli		1,1	1,3	1,0
Carichi permanenti non strutturali ⁽¹⁾	favorevoli	γ_{G2}	0,0	0,0	0,0
	sfavorevoli		1,5	1,5	1,3
Carichi variabili	favorevoli	γ_{Qi}	0,0	0,0	0,0
	sfavorevoli		1,5	1,5	1,3

⁽¹⁾Nel caso in cui i carichi permanenti non strutturali (ad es. carichi permanenti portati) siano compiutamente definiti si potranno adottare per essi gli stessi coefficienti validi per le azioni permanenti.

I valori di combinazione sono:

Die Kombinationsbeiwerte dazu sind:

Categoria/Azione variabile	ψ_{0i}	ψ_{1i}	ψ_{2i}
Categoria A Ambienti ad uso residenziale	0,7	0,5	0,3
Categoria B Uffici	0,7	0,5	0,3
Categoria C Ambienti suscettibili di affollamento	0,7	0,7	0,6
Categoria D Ambienti ad uso commerciale	0,7	0,7	0,6
Categoria E Biblioteche, archivi, magazzini e ambienti ad uso industriale	1,0	0,9	0,8
Categoria F Rimesse e parcheggi (per autoveicoli di peso ≤ 30 kN)	0,7	0,7	0,6
Categoria G Rimesse e parcheggi (per autoveicoli di peso > 30 kN)	0,7	0,5	0,3
Categoria H Coperture	0,0	0,0	0,0
Vento	0,6	0,2	0,0
Neve (a quota ≤ 1000 m s.l.m.)	0,5	0,2	0,0
Neve (a quota > 1000 m s.l.m.)	0,7	0,5	0,2
Variazioni termiche	0,6	0,5	0,0

A.1.4.2 Sicurezze nel legno/Sicherheiten im Holzbau

I seguenti materiali vengono usati:

Folgende Materialien werden verwendet:

RESISTENZE in N/mm ²		GL24h	GL24c	GL28h	GL28c	GL32h	GL32c	GL36h	GL36c
Flessione b) c)	$f_{m,0,k}$	24	24	28	28	32	32	36	36
Trazione parallela alle fibre a)	$f_{t,0,k}$	16,5	14	19,5	16,5	22,5	19,5	26	22,5
Trazione perpend. alle fibre	$f_{t,90,k}$	0,4	0,35	0,45	0,4	0,5	0,45	0,6	0,5
Compressione parallela alle fibre a)	$f_{c,0,k}$	24	21	26,5	24	29	26,5	31	29
Compressione perpend. alle fibre	$f_{c,90,k}$	2,7	2,4	3	2,7	3,3	3	3,6	3,3
Taglio d)	$f_{v,k}$	2,7	2,2	3,2	2,7	3,8	3,2	4,3	3,8
MOD. ELASTICO in N/mm ²		GL24h	GL24c	GL28h	GL28c	GL32h	GL32c	GL36h	GL36c
Mod elastico medio parallelo alle fibre e)	$E_{0,mean}$	11600	11600	12600	12600	13700	13700	14700	14700
Mod elastico caratteristico parallelo fibre e)	$E_{0,05}$	9400	9400	10200	10200	11100	11100	11900	11900
Mod elastico caratteristico perpend fibre e)	$E_{90,mean}$	390	320	420	390	460	420	490	460
Modulo di taglio medio d)	G_{mean}	720	590	780	720	850	780	910	850
MASSA VOLUMICA in kg/m ³		GL24h	GL24c	GL28h	GL28c	GL32h	GL32c	GL36h	GL36c
Massa volumetrica caratteristica	ρ_k	380	350	410	380	430	410	450	430

a) Precedente descrizione: GL24 = BS11; GL28 = BS14; GL32 = BS15; GL36 = BS16: legno lamellare omogeneo viene contraddistinto con la lettera "h", legno lamellare composito viene contraddistinto con la lettera "c".

b) Per sollecitazioni flessionali dello spigolo basso delle lamelle di una trave in legno lamellare con $h < 600$ mm, si può moltiplicare il valore della caratteristica di resistenza con il valore $k_b = \min\{(600/h)0,14 : 1\}$.

c) Per sollecitazioni flessionali dello spigolo alto delle lamelle di una trave in legno lamellare omogeneo con minimo quattro lamelle una sopra l'altra si può moltiplicare i valori di caratteristica con il valore $k_l = 1,2$.

d) Viene assegnato, per legno di conifera, un valore caratteristico di taglio cosiddetto "rolling shear", assunto per tutte le classi di resistenza pari a 1 N/mm²; il modulo di taglio riguardante la tensione per "rolling shear" può considerarsi pari a $G_{R,mean} = 0,10 G_{mean}$.

e) Per le caratteristiche dei moduli $E_{0,05}$, $E_{90,0,5}$, $G_{0,5}$ indicati nelle EN 338, le DIN 052-2004 definiscono i seguenti valori e relazioni: $E_{0,05} = 5/6 E_{0,mean}$, $E_{90,0,5} = 5/6 E_{90,mean}$, $G_{0,5} = 5/6 G_{mean}$.

*Sicurezze e verifica:**Sicherheiten und deren Nachweis:*

$$f_d = f_k \cdot k_{mod} / \gamma_m$$

dove:

 f_k è il valore caratteristico della proprietà del materiale γ_m è il coefficiente parziale di sicurezza relativo al materiale, i cui valori sono riportati nella Tab. sottostante k_{mod} è un coefficiente correttivo che tiene conto dell'effetto, sui parametri di resistenza, sia della durata del carico sia dell'umidità della struttura.

Stati limite ultimi	γ_m
- combinazioni fondamentali	
legno massiccio	1,50
legno lamellare incollato	1,45
pannelli di particelle o di fibre	1,50
compensato, pannelli di scaglie orientate	1,40
unioni	1,50
- combinazioni eccezionali	1,00

k_{mod} :

Le classi di durata del carico si riferiscono ad un carico costante attivo per un certo periodo di tempo nella vita della struttura. Per un azione variabile la classe appropriata deve essere determinata in funzione dell'interazione fra la variazione temporale tipica del carico nel tempo e le proprietà reologiche dei materiali:

Classe di durata del carico	Durata del carico	Tipologia di carico
Permanente	Più di 10 anni	Peso proprio, carichi non rimovibili durante il normale esercizio della struttura
Lunga durata	6 mesi – 10 anni	Carichi permanenti suscettibili di cambiamenti durante il normale esercizio della struttura ed i sovraccarichi variabili relativi a magazzini e depositi
Media durata	1 settimana – 6 mesi	Sovraccarichi variabili in generale
Breve durata	meno di 1 settimana	Il sovraccarico da neve
Istantaneo		L'azione del vento e le azioni eccezionali

Le strutture lignee devono essere assegnate ad una delle tre classi di servizio:

Classe di servizio 1	E' caratterizzata da un umidità del materiale in equilibrio con l'ambiente ad una temperatura di 20°C e un umidità relativa dell'aria circostante che non superi il 65% se non per poche settimane all'anno.
Classe di servizio 2	E' caratterizzata da un umidità del materiale in equilibrio con l'ambiente ad una temperatura di 20°C e un umidità relativa dell'aria circostante che superi l'85% solo per poche settimane all'anno.
Classe di servizio 3	E' caratterizzata da un umidità più elevata di quella della classe di servizio 2

Materiale	Riferimento		Classe di servizio	Classe di durata del carico				
				Permanente	Lunga	Media	Breve	Istantanea
Legno massiccio Legno lamellare incollato	EN 14081-1 EN 14080		1	0,60	0,70	0,80	0,90	1,00
			2	0,60	0,70	0,80	0,90	1,00
			3	0,50	0,55	0,65	0,70	0,90
Compensato	EN 636	Parti 1, 2, 3	1	0,60	0,70	0,80	0,90	1,00
		Parti 2, 3	2	0,60	0,70	0,80	0,90	1,00
		Parte 3	3	0,50	0,55	0,65	0,70	0,90
Pannello di scaglie orientate (OSB)	EN 300	OSB/2	1	0,30	0,45	0,65	0,85	1,00
		OSB/3 - OSB/4	1	0,40	0,50	0,70	0,90	1,00
			2	0,30	0,40	0,55	0,70	0,90
Pannello di particelle (truciolare)	EN 312	Parti 4, 5	1	0,30	0,45	0,65	0,85	1,00
		Parte 5	2	0,20	0,30	0,45	0,60	0,80
		Parti 6, 7	1	0,40	0,50	0,70	0,90	1,00
		Parte 7	2	0,30	0,40	0,55	0,70	0,90
Pannello di fibre, alta densità	EN 622-2	HB.LA, HB.HLA 1 o 2	1	0,30	0,45	0,65	0,85	1,00
		HB.HLA 1 o 2	2	0,20	0,30	0,45	0,60	0,80
Pannello di fibre, media densità (MDF)	EN 622-3	MBH.LA 1 o 2	1	0,20	0,40	0,60	0,80	1,00
		MBH.HLS 1 o 2	1	0,20	0,40	0,60	0,80	1,00
			2	-	-	-	0,45	0,80
	EN 622-5	MDF.LA, MDF.HLS	1	0,20	0,40	0,60	0,80	1,00
		MDF.HLS	2	-	-	-	0,45	0,80

A.1.4.3 Sicurezze nell'acciaio/Sicherheiten im Stahlbau

I seguenti materiali vengono usati:

Folgende Materialien werden verwendet:

Tipo nominale di acciaio EN 10025	Spessore t mm			
	$t < 40$ mm		$40 \text{ mm} < t < 100$ mm	
	f_y (N/mm ²)	f_u (N/mm ²)	f_y (N/mm ²)	f_u (N/mm ²)
Fe 360	235	360	215	340
Fe 430	275	430	255	410
Fe 510	355	510	335	490
prEN 10113				
Fe E 275	275	390	255	370
Fe E 355	355	490	335	470

Prosp. 3-3 Valori di resistenza caratteristica per BULLONI

Valori nominali delle resistenze di snervamento f_{yk} e della resistenza a rottura per trazione f_{uk}

Elemento		f_{yk} (N/mm ²)	f_{uk} (N/mm ²)
Bulloni con viti di classe di resistenza secondo UNI 3740	4.6	240	400
	4.8	320	400
	5.6	300	500
	5.8	400	500
	6.8	480	600
	8.8	680	800
	10.9	900	1000

Sicurezze e verifica:**Sicherheiten und deren Nachweis:**

$$f_d = f_k \cdot \gamma_m$$

dove:

 f_k è il valore caratteristico della proprietà del materiale γ_m è il coefficiente parziale di sicurezza relativo al materiale, i cui valori sono riportati nella Tab. sottostante

Resistenza delle Sezioni di Classe 1-2-3-4	$\gamma_{M0} = 1,05$
Resistenza all'instabilità delle membrature	$\gamma_{M1} = 1,05$
Resistenza all'instabilità delle membrature di ponti stradali e ferroviari	$\gamma_{M1} = 1,10$
Resistenza, nei riguardi della frattura, delle sezioni tese (indebolite dai fori)	$\gamma_{M2} = 1,25$

A.1.4.4 Sicurezze nel c.a./Sicherheiten im Stahlbetonbau

I seguenti materiali vengono usati:

Folgende Materialien werden verwendet:

Kenngröße	Festigkeitsklassen							
	C12/15	C16/20	C20/25	C25/30	C30/37	C35/45	C40/50	C45/55
f_{ck} in N/mm ²	12	16	20	25	30	35	40	45
$f_{ck, cube}$ in N/mm ²	15	20	25	30	37	45	50	55
f_{cm} in N/mm ²	20	24	28	33	38	43	48	53
f_{ctm} in N/mm ²	1,6	1,9	2,2	2,6	2,9	3,2	3,5	3,8
$f_{ctk,0,95}$ in N/mm ²	1,1	1,3	1,5	1,8	2	2,2	2,5	2,7
$f_{ctk,0,95}$ in N/mm ²	2	2,5	2,9	3,3	3,8	4,2	4,6	4,9
E_{cm} in N/mm ²	25800	27400	28800	30500	31900	33300	34500	35700
E_{cm} in N/mm ²	21800	23400	24900	26700	28300	29900	31400	32800

Sicurezze e verifica:**Sicherheiten und deren Nachweis:****Calcestruzzo/Beton:**

$$f_{cd} = \alpha_{cc} f_{ck} * / \gamma_c$$

dove:

 f_{ck} è il valore caratteristico della proprietà del materiale; γ_c è il coefficiente parziale di sicurezza relativo al materiale, per c.a. 1,5; α_{cc} è il coefficiente riduttivo per resistenze a lunga durata 0,85;**Acciaio/Stahl:**

$$f_{yd} = f_{yk} * / \gamma_m$$

dove:

 f_{yk} è il valore caratteristico della proprietà del materiale; γ_s è il coefficiente parziale di sicurezza relativo al materiale, per c.a. 1,15;

A.1.5 Fase di costruzione/Bauablauf

I lavori si possono suddividere nelle seguenti fasi di costruzione:

Die Bauarbeiten gliedern sich in folgende Arbeitsphasen:

- | | |
|--|---|
| - demolizione del tetto | - Abbruch Dach |
| - demolizione vecchio solaio | - Abbruch alte Decke |
| - ingrandimento finestre | - Abbruch Fenster/Ausbruch |
| - demolizione pavimento piano terra | - Abbruch Fußboden Erdgeschoss |
| - demolizione di una parte dell'interrato | - Abbruch nur eines Teiles des Kellergeschosses |
| - risanamento della fondazione esistente (umidità) | - Fundamentsanierung (Feuchtigkeit) Bestand |
| - realizzazione della nuova fondazione (ampliamento) | - Herstellung neuer Fundamente (Zubau) |
| - lavori di sostegno ed elaborazione appoggi | - Stützarbeiten und Auflager bearbeiten |
| - casserare, armare e gettare nuovo solaio | - Einschalen, bewehren und gießen neuer Decke |
| - tetto (struttura in legno) | - Herstellen Dach (Holzbau) |
| - facciata | - Fassadenarbeiten |
| - rifinitura interna | - Innenausbau |
| - lavori da elettricista | - Elektroarbeiten |
| - lavori idraulici | - Hydraulikerarbeiten |
| - lavori di completamento | - Fertigstellungsarbeiten |

A.1.6 Programmi/EDV-Programme

- Lorenz, Condim – Dr.Ing. Thomas Lorenz, Graz
- Ing 2010 + (www.mb-software.de)
- Rstab (www.rstab.de)
- Concrete (www.concrete.it)
- Dc-Software (www.dc-software.it)

A.2 Denominazione/Bezeichnungen

A.2.1 Intestazione delle pagine/Ordnungssystem

A.2.1.1 Generalità/Allgemein

Le pagine di ogni capitolo della relazione tecnica sono numerate. La intestazione comprende sempre la lettera del capitolo con numerazione continua.

Die Seiten der einzelnen Kapitel der statischen Berechnung sind fortlaufend nummeriert. Die Bezeichnung enthält immer den Kapitelbuchstaben und eine fortlaufende Nummerierung.

I capitoli nella statica sono i seguenti:

- A. Generalità**
- B. Valutazione dei carichi**
- C. Stabilità**
- D. Prospetto dei carichi**
- E. Pilastri**
- F. Solai**
- G. Travi**
- H. Tetto**
- I. Pareti**
- J. Ascensori**
- K. Scale**
- L. Fondazioni**

Die einzelnen Kapitel sind grundsätzlich:

- A. Allgemeines**
- B. Lastannahmen**
- C. Stabilität**
- D. Lastabtrag**
- E. Stützen**
- F. Decken**
- G. Träger**
- H. Dach**
- I. Wände**
- J. Aufzüge**
- K. Treppen**
- L. Fundamente**

La statica dei solai ad esempio, si trova sulle pagine F – 1 fino F – 100.

Die Statik der Decken ist so z.B. in den Seiten F – 1 bis F – 100 zu finden.

A.2.1.2 Pagine con cambiamenti/Austauschseiten

Pagine con cambiamenti normalmente Austauschseiten werden generell mit a, sono denominate con a, b ecc. ad es: b usw. bezeichnet, z. B.

A - 1a sostituisce A - 1

A - 1a ersetzt A - 1

A - 1b sostituisce A - 1a.

A - 1b ersetzt A - 1a.

A.2.1.3 Capitoli aggiuntivi/Zusätzliche Abschnitte

In aggiunta alla statica possono essere Im Anschluss an die erstellte Statik aggiunti nuovi ulteriori capitoli. (ad es. werden mit weitergehender capitolo M, N, ecc.) Nummerierung neue Abschnitte angehängt. (z.B. Kapitel M, N, ecc.)

A.2.1.4 Pagine di completamento/Ergänzungsseiten

Pagine di completamento sono Ergänzungsseiten werden in sich numerate ulteriormente dopo la nummeriert und durch die numerazione della precedente pagina ad vorhergehende Seite der bestehenden es. Berechnung bezeichnet, z. B.

A - 110-1 fino A - 110-x tra le pagine A A - 110-1 bis A - 110-x zwischen den - 110 e A - 111 Seiten A - 110 und A - 111

Cambiamenti delle pagine di Änderungen der Ergänzungsseiten completamento sono denominate con a, werden mit a, b usw. gekennzeichnet, b ecc. ad es: z.B.

A - 110-2a sostituisce A - 110-2 e si A - 110-2a ersetzt A - 110-2

trova tra le pagine A - 110-1 e A - 110-3. und ist zwischen den Seiten A - 110-1 und A - 110-3 einzuordnen

A.2.2 Denominazione delle posizioni/Positionsbezeichnungen

La denominazione degli elementi nella statica é la seguente:

TR..... Travi
ST..... Pilastri
FU..... Fondazioni
DF..... Solai
WV..... Controventature

Die Bezeichnungen für Bauteile werden in Buchstaben geführt und zwar:

TR..... Träger
ST..... Stütze
FU..... Fundament
DF..... Deckenfeld
WV..... Windverband

La prima parte della denominazione è il piano dove si trova l'elemento della costruzione, la seconda parte il numero dell'elemento. La numerazione inizia al piano terra con 00 ed arriva al piano più alto 99. Una numerazione continua determina la somma delle travi per ogni piano.

Die Bezeichnungen sind nach Geschoss und Anzahl festgelegt. Die Geschossnummer beginnt bei 00 für das Erdgeschoss und endet bei 99 für das höchste Geschoss. Eine fortlaufende Nummerierung gewährleistet die Trägeranzahl in dem behandelnden Geschoss.

Ad. es. TR 01.03
numero 3 primo piano

.... Trave

z.B. TR 01.03

Nummer 3 im 1. Obergeschoss

.... Träger

I piani interrati sono denominati con la „U“ (Untergeschoss)

Tiefgeschosse werden mit einem „U“ (Untergeschoss) gekennzeichnet

Ad.es. DF U1.07

.... Solaio

z.B. DF U1.07

.... Deckenfeld

numero 7 primo interrato

Nummer 7 im 1. Untergeschoss

Ulteriori elementi sono inseriti con una
ulteriore separazione

Zusätzliche Bauteile werden mit einer
weiteren Trennung eingefügt

Ad.es. TR U1.07.1

.... trave

z.B. TR U1.07.1

.... Zusatzträger

aggiuntiva 7.1 oppure trave secondaria
primo piano interrato

7.1 bzw. Nebenträger im 1.
Untergeschoss

DF 00.02.1

.... Solaio 2.1

DF 00.02.1

.... Deckenfeld

piano terra

2.1 im Erdgeschoss

A.3 Glossario generale/Allgemeiner Glossar

Diversi programmi di calcolo esistono solo in lingua tedesca; per questo motivo un Glossario di termini usati nei vari programmi di calcolo.

Terminologia tedesca/Deutsch	Traduzione italiana/Übersetzung
Abminderungsfaktor	coefficiente riduttivo
Auflagergröße	dimensioni appoggio
Auflagerkräfte	reazioni vincolari
Belastung	Carichi
Bemessungswinkel	Angolo
Bettungszifferverfahren	procedimento alla „Winkler“
Bewehrungsabstände	Interassi
Bewehrungswahl	scelta di armatura
Dichte	Densità
Dickenbereich	settore dimensioni
Druck-/Zugfeder Transl.	coefficiente di trazione e compressione
Durchbiegung	Freccia
Durchlaufträger	trave su più appoggi
Eigengewicht	peso proprio
Einfeldträger	trave a una campata
Einwirkung	incidenza
Einwirkungstypisierung	tipologia dell'area d'incidenza
Erddruck	spinta del terreno
Flächenlager	appoggio superficiale
Flächenlasten	carichi distribuiti
Flächenpressung	pressione superficiale
Gebrauchstauglichkeitsnachweis	verifiche azioni interne
Grenzstahldehnung	dilatazione ultima
Knicklänge	luce di libera inflessione
Knicksicherheitsnachweis	verifica instabilità

Knoten	nodo
Lagerung	letto
Längsbewehrung	armatura longitudinale
Lastkombination	combinazione dei carichi
Lastweiterleitung	derivazione carichi
Linienlager	appoggio lineare
Linienlagerauswertung	als risultante soluzione appoggio lineare
Resultierende	
Linienlagerauswertung knotenbezogen	soluzione appoggio lineare nei nodi
Linienlasten	carichi lineari
MIN/MAX-Überlagerung	sovrapposizione min/mass.
Normprofil	profilo normato
Obere Bewehrung	armatura superiore
Örtliches Knicken von Flanschen	instabilità locale delle ali
Pendelstütze	sostegno a pendolo
Plattenbemessung	dimensionamento platea
Plattenbereich	settore platea
Plattenverformung	deformazione platea
Positionsplan	pianta delle posizioni
Punktlasten	carichi concentrati
Querkräfte	taglio
Rechteckstütze	pilastro rettangolare
Schnittkräfte	forze interne
Schubbeulen	svergolamento a taglio
Stablänge	altezza pilastro
Stahlbetonstütze	pilastro in cemento armato
Ständige Lasten und Verkehrslasten	carichi permanenti e carichi variabili
Streckenlasten	carichi lineari
Stützenkräfte	forze pilastri
Torsionssteifigkeit	rigidità torsionale
Tragsicherheitsnachweis	verifica resistenza interna

Translationssteifigkeit	rigidità della traslazione
Untere Bewehrung	armatura inferiore
Vertikallasten	carichi verticali
Verformungen	deformazioni
Wichte	peso specifico
Zentrisch angeschlossener Balken	trave collegata al centro

Abbreviazione/Abkürzung	Significato/Bedeutung
asro	Armatura direz. x sopra
asso	Armatura direz. y sopra
asru	Armatura direz. x sotto
assu	Armatura direz. y sotto

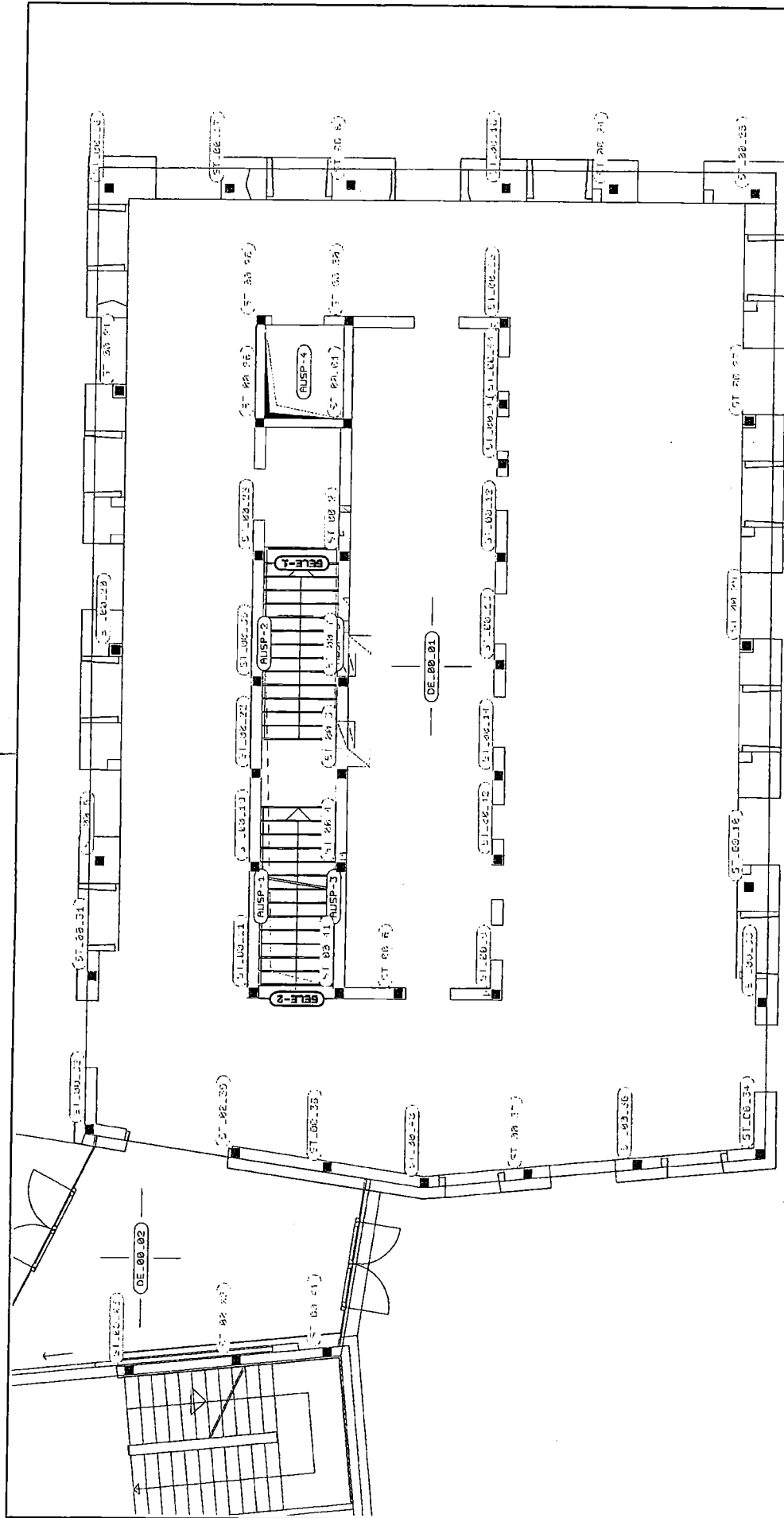
A.4 Prospetto delle posizioni/Positionsübersicht

MicroFe 2008.140

Decke über OG - Dach

Projekt	S0962 KG Rodeneck	Datum
FE-Modell	DE_01_1B	Seite

A-5



Maßstab: 1:125

MicroFe 2008.140

BauCon - Dr. Ing. Simon Neulichedl - www.baucon.it

Projekt S0962 KG Rodeneck Datum

Seite A - 6

Decke über EG

B VALUTAZIONE DEI CARICHI/LASTANNAHMEN

La classificazione dei carichi/azioni segue la nuova impostazione del D.M. 14/01/2008 in questi nuovi capitoli.

Die Lastannahmen wurden durch die Neugliederung lt. DM vom 14.01.2008 in neue Abschnitte unterteilt.

Viene differenziato in:

Die Hauptunterteilung erfolgt in:

- Opere civili e industriali: In questo capitolo vengono definiti i carichi caratteristici nel settore civile e industriale;
- Azioni sismici: In questo capitolo vengono definiti i carichi caratteristici della sismicità;
- Azioni del vento: In questo capitolo vengono definiti i carichi caratteristici del vento;
- Azioni della neve: In questo capitolo vengono definiti i carichi caratteristici della neve;
- Azioni della temperatura: In questo capitolo vengono definiti i carichi caratteristici della temperatura;
- Azioni eccezionali: In questo capitolo vengono definiti i carichi caratteristici in base a azioni eccezionali;
- Hoch- und Industriebau: In diesem Abschnitt werden angenommene und charakteristische Lasten im Bereich des Hoch- und Tiefbaus definiert.
- Erdbebeneinwirkungen: In diesem Abschnitt wird die Erdbebengefährlichkeit definiert, welche der Wichtigste Faktor ist um die Erdbebenlast zu definieren.
- Windeinwirkungen: In diesem Abschnitt werden die Windlasten berechnet.
- Schneeeinwirkungen: In diesem Abschnitt werden die Schneelasten berechnet.
- Temperatureinwirkungen: In diesem Abschnitt werden die Temperatureinwirkungen untersucht.
- Außergewöhnliche Einwirkungen: Zu diesen Einwirkungen zählen Brand, Explosionen, Anprall.

B.1 Edilizia ed edilizia industriale/Hochbau und Industriebau:

I carichi per l'edilizia ed edilizia Die Lastannahmen für Hoch- und industrielle sono stati suddivisi nei Industriebau wurden lt. DM vom seguenti capitoli secondo D.M. 14.01.2008 folgendermaßen unterteilt 14/01/2008: und definiert:

B.1.1 Peso proprio delle strutture/Eigengewicht der Tragenden Struktur

Per la determinazione dei pesi propri dei Das Eigengewicht der Struktur hängt von più comuni materiali edili der Bauteildicke ab und wird bei jedem ,dipendentemente dallo spessore, Bauteil getrennt betrachtet. Folgende possono essere assunti i seguenti valori Werte werden dafür verwendet: dei pesi dell'unità di volume:

Calcestruzzi cementizi e malte:

Calcestruzzo ordinario	24,0 KN/m ³
Calcestruzzo armato (e/o precompresso)	25,0 KN/m ³
Calcestruzzi "leggeri": da determinarsi caso per caso	14,0 ,20,0 KN/m ³
Calcestruzzi "pesanti": da determinarsi caso per caso	28,0 ,50,0 KN/m ³
Malta di calce	18,0 KN/m ³
Malta di cemento	21,0 KN/m ³
Calce in polvere	10,0 KN/m ³
Cemento in polvere	14,0 KN/m ³
Sabbia	17,0 KN/m ³

Metalli e leghe:

Acciaio	78,5 KN/m ³
Ghisa	72,5 KN/m ³
Alluminio	27,0 KN/m ³

Materiale lapideo:

Tufo vulcanico	17,0 KN/m ³
----------------	------------------------

Calcare compatto	26,0 KN/m ³
Calcare tenero	22,0 KN/m ³
Gesso	13,0 KN/m ³
Granito	27,0 KN/m ³
Laterizio (pieno)	18,0 KN/m ³
<u>Legnami</u>	
Conifere e pioppo	4,0 ,6,0 KN/m ³
Latifoglie (escluso pioppo)	6,0 ,8,0 KN/m ³
<u>Sostanze varie</u>	
Acqua dolce (chiara)	9,81 KN/m ³
Acqua di mare (chiara)	10,1 KN/m ³
Carta	10,0 KN/m ³
Vetro	25,0 KN/m ³

B.1.2 Peso permanente/Ständige Einwirkungen: Ausbau

Per gli orizzontamenti degli edifici, il peso proprio di elementi divisorii interni (muri interni, isolazione, pavimentazione ecc) potrà essere ragguagliato ad un carico permanente portato uniformemente distribuito g_2 .
 Zu diesen Einwirkungen zählen nicht verschiebbare Lasten wie Zwischenwände, Isolation, Bodenaufbau ecc. welche von Dimension und Eigengewicht der Materialien abhängen. Die gleichmäßig verteilte Zwischenwandzuschlaglast hängt vom Eigengewicht der Zwischenwand folgendermassen ab:

- | | |
|---|-----------------------------|
| - $G_2 \leq 1,00 \text{ kN/m}$: | $g_2 = 0,40 \text{ kN/m}^2$ |
| - $1,00 < G_2 \leq 2,00 \text{ kN/m}$: | $g_2 = 0,80 \text{ kN/m}^2$ |
| - $2,00 < G_2 \leq 3,00 \text{ kN/m}$: | $g_2 = 1,20 \text{ kN/m}^2$ |
| - $3,00 < G_2 \leq 4,00 \text{ kN/m}$: | $g_2 = 1,60 \text{ kN/m}^2$ |
| - $4,00 < G_2 \leq 5,00 \text{ kN/m}$: | $g_2 = 2,00 \text{ kN/m}^2$ |

B.1.3 Carichi variabili/Veränderliche Einwirkungen:

I carichi consistono in:

- carichi verticali ripartiti q_k kN/m²
- carichi verticali concentrati Q_k kN
- carichi orizzontali lineari H_k kN/m

Bestehen aus:

- vertikale Flächenlasten q_k kN/m²
- vertikale Einzellasten Q_k kN
- horizontale lineare Lasten H_k kN/m

Secondo DM del 14.01.2008 i valori dei carichi di esercizio per le diverse categorie di edifici sono riportati nella tabella sottostante. I valori effettivi per il progetto sono indicati negli appositi capitoli e nella relazione illustrativa.

Lt. DM vom 14.01.2008 sind folgende Kategorien von veränderlichen Einwirkungen bei Bauwerken mit dazugehörigen Werten anzuwenden, wobei die tatsächlich verwendeten Werte jeweils den einzelnen Kapiteln und dem statischen Erläuterungsbericht zu entnehmen sind:

Tabella 3.1.II – Valori dei carichi d'esercizio per le diverse categorie di edifici

Cat.	Ambienti	q_k [kN/m ²]	Q_k [kN]	H_k [kN/m]
A	Ambienti ad uso residenziale. Sono compresi in questa categoria i locali di abitazione e relativi servizi, gli alberghi. (ad esclusione delle aree suscettibili di affollamento)	2,00	2,00	1,00
B	Uffici. Cat. B1 Uffici non aperti al pubblico Cat. B2 Uffici aperti al pubblico	2,00 3,00	2,00 2,00	1,00 1,00
C	Ambienti suscettibili di affollamento Cat. C1 Ospedali, ristoranti, caffè, banche, scuole Cat. C2 Balconi, ballatoi e scale comuni, sale convegni, cinema, teatri, chiese, tribune con posti fissi Cat. C3 Ambienti privi di ostacoli per il libero movimento delle persone, quali musei, sale per esposizioni, stazioni ferroviarie, sale da ballo, palestre, tribune libere, edifici per eventi pubblici, sale da concerto, palazzetti per lo sport e relative tribune	3,00 4,00 5,00	2,00 4,00 5,00	1,00 2,00 3,00
D	Ambienti ad uso commerciale. Cat. D1 Negozi Cat. D2 Centri commerciali, mercati, grandi magazzini, librerie...	4,00 5,00	4,00 5,00	2,00 2,00
E	Biblioteche, archivi, magazzini e ambienti ad uso industriale. Cat. E1 Biblioteche, archivi, magazzini, depositi, laboratori manifatturieri Cat. E2 Ambienti ad uso industriale, da valutarsi caso per caso	≥ 6,00 —	6,00 —	1,00* —
F-G	Rimesse e parcheggi. Cat. F Rimesse e parcheggi per il transito di automezzi di peso a pieno carico fino a 30 kN Cat. G Rimesse e parcheggi per transito di automezzi di peso a pieno carico superiore a 30 kN: da valutarsi caso per caso	2,50 —	2 x 10,00 —	1,00** —
H	Coperture e sottotetti Cat. H1 Coperture e sottotetti accessibili per sola manutenzione Cat. H2 Coperture praticabili Cat. H3 Coperture speciali (impianti, eliporti, altri) da valutarsi caso per caso	0,50 — —	1,20 — —	1,00 secondo categoria di appartenenza —
* non comprende le azioni orizzontali eventualmente esercitate dai materiali immagazzinati				
** per i soli parapetti o partizioni nelle zone pedonali. Le azioni sulle barriere esercitate dagli automezzi dovranno essere valutate caso per caso				

Per carichi non comuni, tipo macchinari, Bei ungewöhnlichen Lasten wie contenitori industriali, etc. il relativo peso Maschinen, Anlagen, ecc. müssen die viene definito caso per caso. I carichi Lasten einzeln untersucht und definiert orizzontali devono essere applicati ad werden. Die horizontalen Lasten müssen una quota di +1,20m rispetto al bei Wänden auf einer Höhe von 1,20m

pavimento finito. Per i parapetti la forza vom fertigen Boden und bei Parapeten
viene applicata sulla quota superiore del oder Geländern auf der Höhe der oberen
parapetto. Kante angesetzt werden.

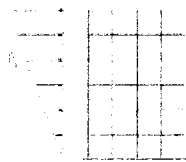
B.2 Sismicità/Erdbebeneinwirkungen:

Il progetto di costruzione si trova in zona 4. Das Bauvorhaben befindet sich in Zone 4. Für Gebäude in Zone 4 gelten vereinfachte Berechnungs- und Nachweisverfahren.

Per gli edifici in zona 4 viene applicato il sistema di calcolo semplificato.

B.2.1 Calcolo di sismicità/Rechnerische Erfassung der Erdbebenlasten

Come ulteriore effetto viene preso in Als zusätzliche Einwirkung ist die considerazione l'azione sismica orizzontale Erdbebeneinwirkung in Form orizzontale, in forma come carico der Ersatzkraft nach untenstehender sostitutivo come da seguente: Gleichung zu berücksichtigen:



$$F_i = F_h \cdot (z_i \cdot W_i) / \sum (z_j \cdot W_j)$$

F_i ... Carico sostitutivo (orizzontale) da impostare a piano x al baricentro/

Erdbebenersatzkraft (horizontal) im i -ten Stockwerk anzusetzen und im dortigen Massenschwerpunkt angreifend

F_h ... Intera forza sostitutiva/gesamte Erdbebenersatzkraft $F_h = S_d(T_1) \cdot W \cdot \lambda$

$S_d(T_1)$... Ordinata del lo spettro del campo di misura, secondo punto 3.2.5 della norma in risposta alla zona sisma, la classe suolo del terreno, la costruzione e vibrazione propria. Nelle procedure semplificate in zona 4 viene definito $S_d(T_1)$, solo in dipendenza della struttura/Ordinate aus dem Bemessungsspektrum laut Punkt 3.2.5 der Norm in Abhängigkeit von der Erdbebenzone, der Bodenklasse des Untergrundes, der

Bauweise und der Eigenschwingzeit; bei den vereinfachten Verfahren in Zone 4 wird $S_{d(T1)}$ direkt nur in Abhängigkeit der Bauweise definiert

$z_i, z_j \dots$ Altezza dei piani I, a partire dalle fondazioni/Höhe der Stockwerke i bzw. j gemessen ab Fundament

$W_i, W_j \dots$ I pesi delle masse oscillanti dei piani i o j/Gewichte der schwingenden Massen der Stockwerke i bzw. j

$W \dots$ Peso totale delle masse oscillanti della costruzione/Gesamtgewicht der schwingenden Massen des Bauwerks $W = G_k + \sum_i (\psi_{Ei} * Q_{Ki})$

$G_k \dots$ valore caratteristico dei carichi permanenti/charakteristischer Wert der ständigen Lasten

$Q_{Ki} \dots$ valore caratteristico dei carichi variabili/charakteristischer Wert der variablen Lasten

$\psi_{Ei} \dots$ Fattori di combinazione/Kombinationsfaktoren

Per lo stato limite di capacità portante/für den Grenzzustand der Tragfähigkeit (SLU):

$$\psi_{Ei} = \varphi * \psi_{2i}$$

Per lo stato limite di danno/für den Grenzzustand der Beschädigung (STD):

$$\psi_{Ei} = \varphi * \psi_{0i}$$

$\lambda \dots$ coefficiente semplificato 1,0/Koeffizient vereinfacht 1,0

La forza sostitutiva orizzontale F é da dividere per ogni piano secondo la rigidità degli elementi per ogni piano, con la supposizione di un solaio rigido(piastra).

Die horizontale Ersatzkraft F , ist dann pro Stockwerk auf die einzelnen vertikalen Aussteifungselemente je nach ihren Steifigkeiten aufzuteilen, unter der Annahme einer steifen Deckenscheibe.

L'influenza torsionale viene considerata con l'equazione seguente.

Der Torsionseinfluss kann nach untenstehender Gleichung berücksichtigt werden.

Per costruzioni non simmetriche o aree di fondazioni non sincrone, sorgono varie azioni torsionali, quali sostengono gli irrigidimenti verticali aggiuntivi.

Durch nichtsymmetrische Gebäude oder nichtsynchrone Anregung verschiedener Fundamentbereiche entstehen Torsionsschwingungen, welche die vertikalen Aussteifungselemente zusätzlich beanspruchen. Auch

Anche l'eccentricità, non pianificata, unplanmäßige Exzentrizitäten der delle masse oscillanti al centro, evoca schwingenden Massen gegenüber dem un'ulteriore azione torsionale. Questi Steifigkeitszentrum rufen zusätzliche effetti possono essere rappresentati da Torsionskräfte hervor.

una eccentricità aggiuntiva ai sensi del Diese Effekte können durch eine paragrafo 4.4 della norma, o vengono zusätzliche Exzentrizität laut Punkt 4.4 calcolati i carichi di sostituzione risultati der Norm berücksichtigt werden, oder es per ciascuna forza verticale di werden die für jedes vertikale irrigidimento, vengono aumentati per il Aussteifungselement ermittelten fattore seguente: Ersatzkräfte mit folgendem Faktor erhöht:



$$D = 1 + 0,6 \cdot x/L_e$$

x ... Abstand des betrachteten vertikalen Aussteifungselement vom Schweißpunkt des Gebäudes, gemessen senkrecht zur Richtung der betrachteten Ersatzkraft

L_e ... La distanza tra i due più lontani elemento di irrigidimento verticali, misurati come sopra/Abstand zwischen den zwei am weitesten auseinanderliegenden vertikalen Aussteifungselementen, gemessen wie oben

$S_{d(T1)}$ può essere $S_{d(T1)}$ darf unabhängig von Bodenklasse considerato $S_{d(T1)}=0,05$, und Eigenschwingzeit mit $S_{d(T1)} = 0,05$ indipendentemente dal tipo di terreno e angenommen werden. vibrazione peso proprio.

La così ottenuta forza deve essere Die damit erhaltene Erdbebenersatzkraft collocate separatamente in entrambi ist unabhängig voneinander in beiden direzioni ortogonali principali. zueinander orthogonalen Questa azione sismica é da combinare Hauptrichtungen anzubringen. Diese

con gli effetti rimasti dopo la Erdbebeneinwirkung ist mit den
combinazione di criteri ed é da restlichen Einwirkungen nach dem
dimostrare lo stato limite di capacità Kombinationskriterium zu kombinieren
portante. und für den Grenzzustand der
Tragfähigkeit nachzuweisen.

$$\gamma_i * E + G_k + P_k + \sum_i (\psi_{ji} * Q_{ki})$$

E ... Azione sismica per la condizione al limite considerato/Erdbebeneinwirkung für
den betrachteten Grenzzustand

γ_i ... Fattore significativo in corrispondenza alla tabella 3.4 della Norma

/Bedeutungsfaktor nach Tabelle 4.3 der Norm

G_k ... Influenza dei valori caratteristici dei carichi permanenti/Einwirkung aus den
charakteristischen Werten der ständigen Lasten

P_k ... Influenza dei valori caratteristici della pretensione (precarico) dopo la caduta di
tensione/Einwirkung aus den charakteristischen Werten der Vorspannung nach
erfolgttem Spannungsabfall

Q_{ki} ... Influenza dei valori caratteristici dei carichi variabili/Einwirkung aus den
charakteristischen Werten der veränderlichen Lasten

ψ_{ji} ... Combinazione di fattori in corrispondenza alla tabella 3.4 della Norma

/Kombinationsfaktoren nach Tabelle 3.4 der Norm

Per lo stato limite di capacità portante/für den Grenzzustand der Tragfähigkeit

(SLU): ψ_{2i}

Per lo stato limite di danno/für den Grenzzustand der Beschädigung (SLD): ψ_{0i}

B.2.2. Sismicità costruttiva/Konstruktive Erfassung der Erdbebenlasten

I carichi sismici di progetto in base alla Die konstruktive Erfassung der
zona 4 vengono specificati nei prossimi Erdbebenlasten gemäß Zone 4 sind in
capitoli. den einzelnen Kapiteln genauer erfasst.

B.3 Carichi di vento/Windeinwirkungen:

Il vento, la quale direzione viene Der Wind, dessen Richtung im
supposta orizzontale, agisce come Allgemeinen horizontal angenommen
carico dinamico. La procedura del wird, bewirkt dynamische Belastungen.
calcolo viene effettuata con i seguenti Für die Berechnungen der Einwirkungen
parametri: aus Wind ist folgende Vorgangsweise

festgelegt:

- | | |
|--|--|
| - parametri che caratterizzano il sito
dell'opera | - Ermitteln der
Bezugsgeschwindigkeit |
| - parametri che caratterizzano la
tipologia strutturale | - Ermitteln der Parameter aus der
Struktur des Bauvorhabens |
| - parametri che caratterizzano
l'opera specifica. | - Ermitteln von lokalen Effekte |

B.3.1 Velocità di vento/Bezugsgeschwindigkeit:

La velocità del vento v_b é il valore Die Bezugsgeschwindigkeit v_b ist der
caratteristico ad una altezza di 10m charakteristische Wert der
sopra il pavimento classe esponenziale II Geschwindigkeit des Windes in einer
, in media durante 10 minuti in un Höhe von 10m vom Boden der
periodo di 50 anni. Expositionsklasse II , gemittelt während

10 Minuten in einer Periode von 50
Jahren.

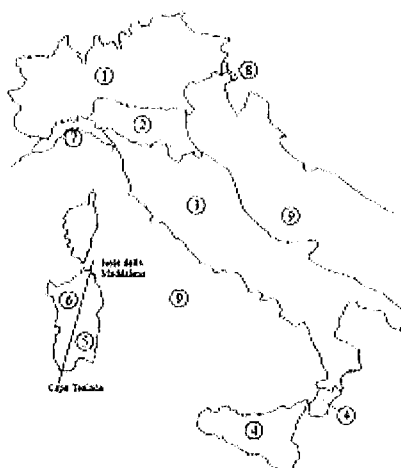
$$v_b = v_{b,0} \quad \text{per/für } a_s \leq a_0$$

$$v_b = v_{b,0} + k_a (a_s - a_0) \quad \text{per/für } a_0 < a_s \leq 1500\text{m}$$

$v_{b,0}$, a_0 , k_a ... parametri a seconda della localizzazione sono elencati nella seguente tabella/Ortsbezogene Parameter sind in folgender Tabelle aufgelistet

a_s ... livello del mare/Meereshöhe

Se il livello del mare supera i 1500m, è possibile riferirsi alle condizioni locali da 1500m
 Bei einer Meereshöhe von größer als 1500m kann man sich auf die ortsbezogenen Bedingungen von Klima und Expositionen beziehen.



Zona	Descrizione	$v_{b,0}$ [m/s]	a_0 [m]	k_a [1/s]
1	Valle d'Aosta, Piemonte, Lombardia, Trentino Alto Adige, Veneto, Friuli Venezia Giulia (con l'eccezione della provincia di Trieste)	25	1000	0,010
2	Emilia Romagna	25	750	0,015
3	Toscana, Marche, Umbria, Lazio, Abruzzo, Molise, Puglia, Campania, Basilicata, Calabria (esclusa la provincia di Reggio Calabria)	27	500	0,020
4	Sicilia e provincia di Reggio Calabria	28	500	0,020
5	Sardegna (zona a oriente della retta congiungente Capo Teulada con l'Isola di Maddalena)	28	750	0,015
6	Sardegna (zona a occidente della retta congiungente Capo Teulada con l'Isola di Maddalena)	28	500	0,020
7	Liguria	28	1000	0,015
8	Provincia di Trieste	30	1500	0,010

9	Isole (con l'eccezione di Sicilia e Sardegna) e mare aperto	31	500	0,020
---	--	----	-----	-------

B.3.2 Pressione vento/Winddruck:

La pressione del vento é pari a:/Die gesamte Windeinwirkung ist:

$$p = q_b \times c_e \times c_p \times c_d$$

q_b ... Pressione cinetica/Kinetischer Bezugsdruck

c_e ... Coefficiente di esposizione/Expositionscoeffizient

c_p ... Coefficiente di forma/Formkoeffizient

c_d ... Coefficiente dinamico/Dynamikkoeffizient

B.3.3 Pressione cinematica/Kinetischer Bezugsdruck:

La pressione cinetica é pari a:/Der kinetische Bezugsdruck ist:

$$q_b = \frac{1}{2} \times \rho \times v_b^2 \quad \rho \dots 1,25 \text{ kg/m}^3$$

B.3.4 Coefficiente di esposizione/Expositionscoeffizient:

È determinato dall'altezza dal suolo, la topografia e la classe di esposizione./Hängt von der Höhe z vom Boden ab, der Topografie und der Expositionsklasse:

$$c_e(z) = k_r^2 c_t \ln(z/z_0) (7 + c_t \ln(z/z_0)) \quad \text{für } z \geq z_{\min}$$

$$c_e(z) = c_e(z_{\min}) \quad \text{für } z < z_{\min}$$

c_t ... Coefficiente topografico/Topografiecoeffizient = 1,0

Categoria di esposizione del sito	k_r	z_0 [m]	z_{\min} [m]
I	0,17	0,01	2

II	0,19	0,05	4
III	0,20	0,10	5
IV	0,22	0,30	8
V	0,23	0,70	12

Tabella 3.3.III - Classi di rugosità del terreno

Classe di rugosità del terreno	Descrizione
.	Aree urbane in cui almeno il 15% della superficie sia coperto da edifici la cui

ZONE 1,2,3,4,5						
A	--	IV	IV	V	V	V
B	--	III	III	IV	IV	IV
C	--	*	III	III	IV	IV
D	I	II	II	II	III	**
* Categoria II in zona 1,2,3,4 Categoria III in zona 5						
** Categoria III in zona 2,3,4,5 Categoria IV in zona 1						

ZONA 9		
A	--	I
B	--	I
C	--	I
D	I	I

ZONA 6					
A	--	III	IV	V	V
B	--	II	III	IV	IV
C	--	II	III	III	IV
D	I	I	II	II	III

ZONE 7,8			
A	--	--	IV
B	--	--	IV
C	--	--	III
D	I	II	*
* Categoria II in zona 8 Categoria III in zona 7			

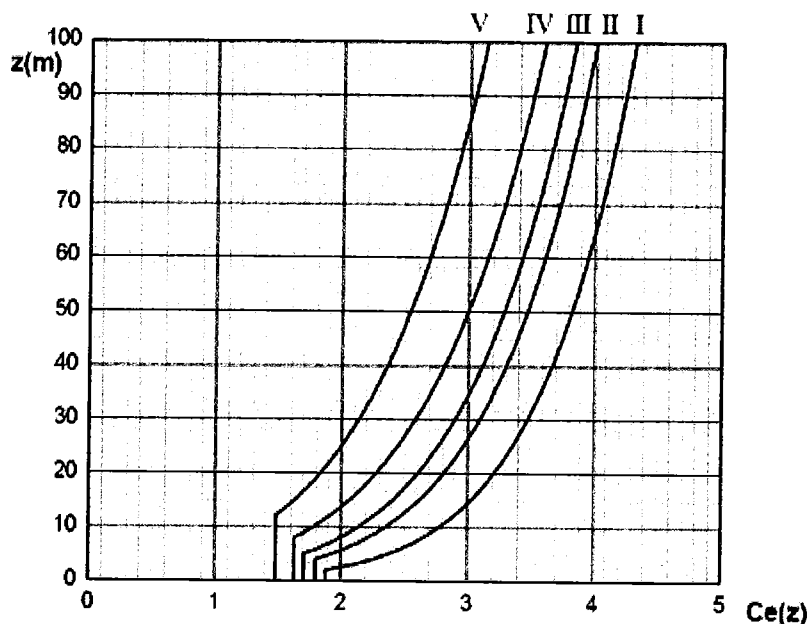


Figura 3.3.3 - Andamento del coefficiente di esposizione c_e con la quota (per $c_1 = 1$)

Per la zona 1 (Trentino Alto Adige) vale il Für die Zone 1 (Trentino Alto Adige) gilt
 seguente calcolo: folgende Berechnung:

Rodeneck/Rodengo altezza/Höhe 885 m:

as:	1117,00 m	Kategorie	4 Categoria
z0	0,30	z=	8,95
zmin	8,00 m	Kr	0,22
		Ce	1,70850367

vb= 25,0 m/s

qw= 0,67 kN/m²

Grundwert

Valore

B.3.5 Coefficiente di forma/Formbeiwert

Coefficiente da pressione esterna/Außendruckbeiwert

Per edifici a pianta rettangolare in proporzione L/A ca. 1/3 fino 3, valgono i seguenti parametri/Für Rechteckige Bauten, deren Längenverhältnisse L/B ca. 1/3 bis 3 sind gilt:

c_{pe} ... Sopravento/Wind zugewandte Seite: +0,8

c_{pe} ... Sottovento e direzione parallela al vento/Wind abgewandte Seite,
 Windparallele Seite: -0,4

c_{pe} ... Sopravento con inclinazione tetto/Dach mit Neigung $c_{pe}: +0,03 * \alpha - 1$ (20° - 60° , Sopravento/Wind zugewandt = -0,4 beide Seiten)

Pressione interna/Innendruckbeiwert

c_{pi} ... Con aperture normali/Bei normalen Öffnungen: +/- 0,2

c_{pe} ... Con aperture superiori al 1/3 della facciata: secondo Norma/Bei Öffnungen von mehr als 1/3 einer Fassadenseite: *gemäß Norm*

La pressione totale del vento dell'edificio é pari a:/Der Gesamtwinddruck für Gebäude ergibt sich aus:

$c_{pe} + c_{pi}$

$c_{pe} + c_{pi}$... Sopravento/Wind zugewandte Seite: +1,0

$c_{pe} + c_{pi}$... Sottovento, direzione parallela al vento/Wind abgewandte Seite, Windparallele Seite: -0,6

$c_{pe} + c_{pi}$... Tetto/Dach, 20° , Sopravento/Wind zugewandt = -0,6 entrambe le parti/beide Seiten

B.3.5.1 Formbeiwert/coefficiente di forma

Per effetti locali, senza particolari prove:

Für lokale Effekte, ohne besonderen Nachweis, gilt:

$c_{pe} + c_{pi}$... 2,0

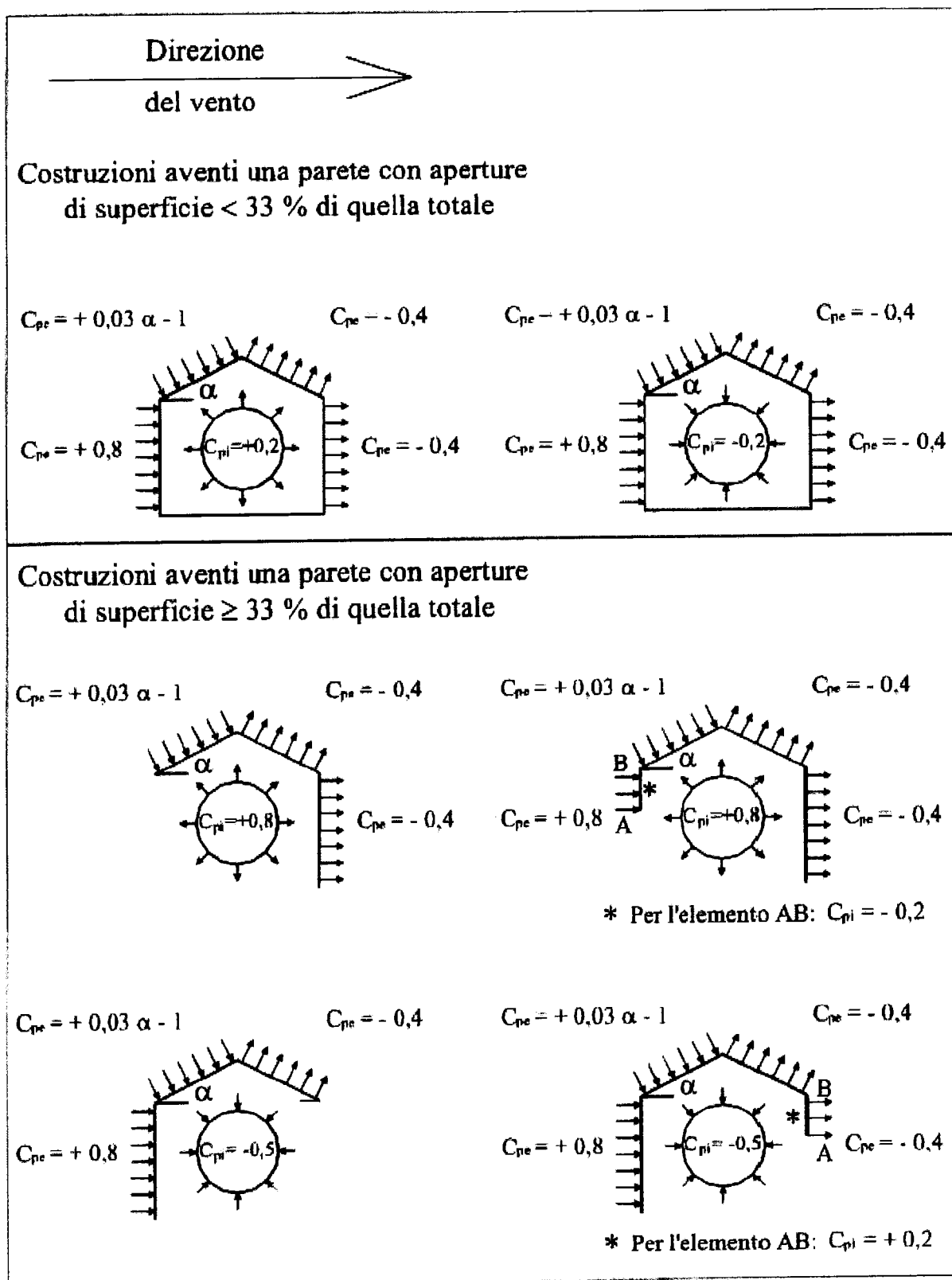


Figura C3.3.3 Coefficienti di forma per gli edifici.

B.4 Neve/Schneeeinwirkungen:

B.4.1 Carico neve/Schneelast:

Il carico provocato dalla neve sulle coperture viene valutato mediante la seguente espressione: Die gesamte Schneeeinwirkung ist:

$$q_s = \mu_i * q_{sk} * C_E * C_t$$

q_s ... Carico neve/Schneelast

μ_i ... Coefficiente di forma/Formbeiwert (B.1.4.2.)

q_{sk} ... Carico di neve a seconda della località/ortsbezogene Schneelast (B.1.4.1.)

C_E ... Coefficiente esponenziale, normalmente/Expositionsbeiwert, in normalen Fällen 1,0

C_t ... Coefficiente termico, normalmente/Termischer Beiwert, in normalen Fällen 1,0

B.4.2 Valore caratt. carico neve/Charakt. Wert der Schneelast

Per la zona 1 (Alpina) vale il seguente secondo DM del 14.01.2008: Laut DM vom 14.01.2008 gilt für die Zone 1 (Alpina):

Per località poste a quota inferiore a 1500m slm, il carico da neve al suolo non dovrà essere inferiore ai valori risultati dalla seguente calcolo: Auf Grund des vorgenannten Vorschlages wird festgelegt, dass für Orte unter 1500 m Meereshöhe die Bezugswerte der Schneelast am Boden nicht geringer angesetzt werden dürfen, als jene, die sich aus folgender Formel ergeben:

$$q_{sk} = 1,50 \text{ kN/m}^2$$

$$a_s \leq 200\text{m}$$

$$q_{sk} = 1,39 \times [1 + (a_s/728)^2]$$

$$a_s > 200\text{m}$$

a_s = Sopra livello del mare/Meereshöhe des Standortes (m).

I carichi da neve per la Provincia di Bolzano hanno delle proprie norme. Seondo circolare del 15.01.2003 vale:

Die Schneelasten für die Provinz Bozen haben eigene Bestimmungen. Gemäß Rundschreiben vom 15.01.2003 gilt:

Norme tecniche per la determinazione del carico neve al suolo — Modifica del decreto del Presidente della Provincia 6.5.2002, n. 14.

Technische Vorschriften zur Festlegung der Schneelast am Boden – Abänderung des Dekretes des Landeshauptmanns vom 6. Mai 2002, Nr. 14.

Si ricorda che nel bollettino ufficiale della Regione Autonoma Trentino Alto Adige n. 49 del 20.11.2002 è stato pubblicato il decreto del Presidente della Provincia del 18.10.2002, n. 43 che modifica le norme tecniche per la determinazione del carico neve al suolo emanate col decreto del Presidente della Provincia 6.5.2002, n. 14.

Es wird daran erinnert, dass im Amtsblatt der Autonomen Region Trentino Südtirol Nr. 49 vom 20.11.2002 das Dekret des Landeshauptmanns vom 18.10.2002, Nr. 43 veröffentlicht wurde, welches die "Abänderung der Technischen Vorschriften zur Festlegung der Schneelast am Boden, erlassen mit Dekret des Landeshauptmanns vom 6. Mai 2002, Nr. 14" abändert.

Sulla base della predetta proposta, con decreto del Presidente della Provincia 6 maggio 2002, n. 14 è stato disposto che per località poste a quota inferiore a 1500 m sul livello del mare, il carico neve al suolo non dovrà essere assunto minore di quello calcolato in base alla

Mit Dekret des Landeshauptmanns vom 6. Mai 2002, Nr. 14 wurde auf Grund des vorgenannten Vorschlages festgelegt, dass für Orte unter 1500 m Meereshöhe die Bezugswerte der Schneelast am Boden nicht geringer angesetzt werden dürfen, als jene, die sich aus folgender

seguinte espressione:

Formel ergeben:

$$q_{sk} = 1,293x[1+(as/728)^2]$$

dove as = livello sul mare del sito (m).

wobei as = Meereshöhe des Standortes (m).

Pertanto la soprariportata **Folglich findet die vorgenannte**
espressione non è valida per altitudini **Berechnungsformel für Standorte**
superiori a 1500 m sul livello del **über 1500 m Meereshöhe keine**
mare, dove i carichi neve vanno **Anwendung und die Schneelasten**
determinati caso per caso, tenendo **sind dort unter Berücksichtigung der**
conto delle condizioni locali (clima, **lokalen Verhältnisse (Klima,**
esposizione ecc.). **Exposition, u.ä.) für den Einzelfall**
festzulegen.

Rodeneck/Rodengo altezza/Höhe 885 m:

as: 885,00 m
 qsk= 3,20 kN/m²

B.4.3 Coefficiente di esposizione/Expositions-koeffizientTabella 3.4.I – Valori di C_E per diverse classi di topografia

Topografia	Descrizione	C_E
Battuta dai venti	Aree pianeggianti non ostruite esposte su tutti i lati, senza costruzioni o alberi più alti.	0,9
Normale	Aree in cui non è presente una significativa rimozione di neve sulla costruzione prodotta dal vento, a causa del terreno, altre costruzioni o alberi.	1,0
Riparata	Aree in cui la costruzione considerata è sensibilmente più bassa del circostante terreno o circondata da costruzioni o alberi più alti	1,1

B.4.4 Coefficiente di forma/Formbeiwert

μ_i é il coefficiente di forma della Grundsätzlich ist der Formbeiwert μ_i von
 copertura, che varia a seconda der Dachneigung abhängig. Die

dell'inclinazione della copertura stessa Berechnungen der Werte stützen sich
secodno il D.M. del 14.01.2008: auf den D.M. vom 14.01.2008:

Coefficiente di forma	$0^\circ \leq \alpha \leq 30^\circ$	$30^\circ < \alpha < 60^\circ$	$\alpha \geq 60^\circ$
μ_i	0,8	$0,8 \cdot \frac{(60 - \alpha)}{30}$	0,0

Per coperture con parapeti o altre forme per accumulo neve, il coefficiente di forma non é minore di 0,8, indipendentemente dall'inclinazione del tetto.

Wenn das Dach an den Dachenden mit einem Parapett oder anderen Abschlüssen oder andere Hindernissen ausgeführt wird, ist der Formbeiwert nicht kleiner als 0,8 anzunehmen, unabhängig vom Winkel des Daches.

Coperture ad una falda/Ebene Dächer:

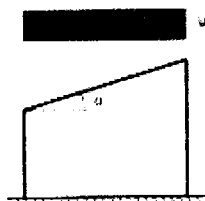


Figura 3.5.4 - Condizioni di carico per coperture ad una falda

Coperture a due falde/Satteldächer:

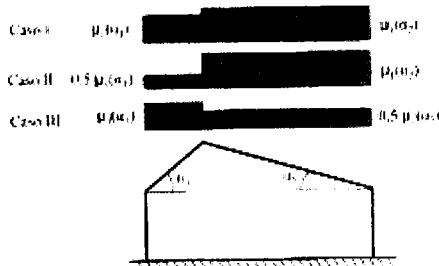


Figura 3.5.5 - Condizioni di carico per coperture a due falde

Coperture a più falde/Mehrere Satteldächer:

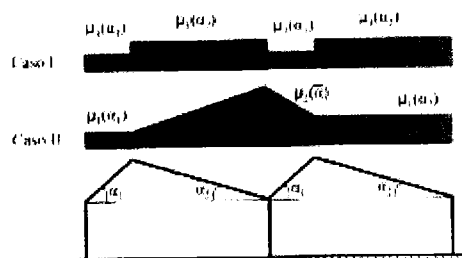


Figura 3.5.6 - Condizioni di carico per coperture a più falde

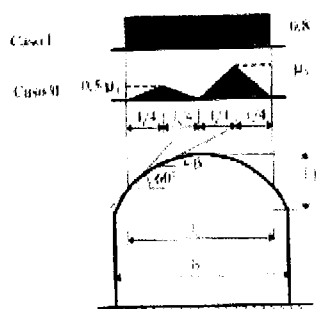
Coperture cilindriche/Tonnendächer:

Figura 3.5.7 - Distribuzione di carico per coperture cilindriche

Effetti locali-accumulo neve/Schneesäcke:

$$\mu_l = 2 * \mu_i$$

Per valri dettagliati vedi relativa norma./Genauere Werte sind in der Norm nachzulesen.

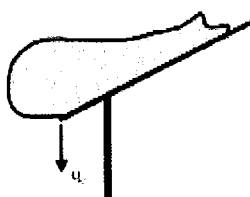


Figura 3.5.11 - Neve sporgente dall'estremità di una copertura

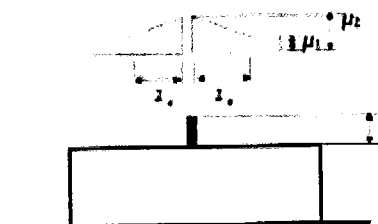


Figura 3.5.10 - Coefficiente di vento in prossimità di parapetti e pareti verticali

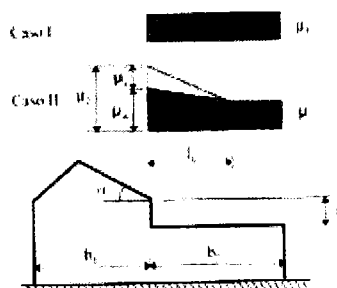


Figura 3.5.9 - Distribuzione di carico per coperture in prossimità di pareti verticali

B.5 Azioni di temperatura/Temperatureinwirkungen:

Variazioni giornaliere e stagionali della Temperatureinwirkungen bewirken, dass temperatura esterna, irraggiamento das Bauwerk oder Bauelement sich solare e convezione comportano dehnt oder schrumpft. Werden diese variazioni della distribuzione di Dehnungen behindert, so entstehen temperatura nei singoli elementi innere Schnittkräfte.

strutturali. Se queste vengono Im Regelfall werden diese inneren ostacolate, si creano dei carichi interni Schnittkräfte konstruktiv durch che normalmente vengono assorbiti rissebeschränkende Bewehrung bzw. costruttivamente con relativa armatura o durch konstruktive Bauelemente elementi. aufgenommen.

B.5.1 Temperatura esterna/Lufttemperatur Außen

In caso di mancanza di dati specifici Falls nicht genauere Daten von relativi al sito in esame, può assumere i Untersuchungen vorhanden sind gilt: valori:

$$T_{\max} = 45^{\circ}\text{C}; T_{\min} = -15^{\circ}\text{C}$$

B.5.2 Temperatura interna/Lufttemperatur Innen

In caso di mancanza di dati specifici Falls nicht genauere Daten von relativi al sito in esame, può assumere i Untersuchungen vorhanden sind gilt: valori:

$$T_{\text{int}} = 20^{\circ}\text{C}$$

B.5.3 Distribuzione della temperatura/Temperaturverteilung in Strukturen

Componenti per il calcolo/Komponenten um die Verteilung zu ermitteln:

a) $\Delta T_u = T - T_0$

ΔT_u ... Componente uniforme/Einheitliche Komponente

T ... Temperatura attuale media/Aktuelle durchschnittliche Temperatur

T_0 ... Temperatura all'inizio dei lavori/Temperatur bei Anfang der Arbeiten

In caso di mancanza di dati specifici relativi al sito in esame/Falls nicht genauere Daten von Untersuchungen vorhanden sind gilt:

$T_0 = 15^\circ\text{C}$

b) Componenti variabili/variable Komponenten, ΔT_{My} und ΔT_{Mz}

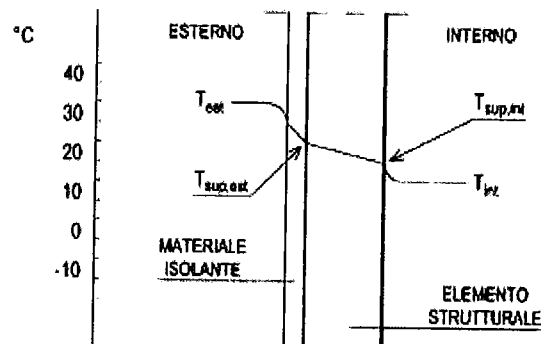


Figura 3.5.1 - Andamento della temperatura all'interno di un elemento strutturale.

Tabella 3.5.I - Contributo dell'irraggiamento solare

Stagione	Natura della superficie	Incremento di Temperatura	
		superfici esposte a Nord-Est	superfici esposte a Sud-Ovest od orizzontali
Estate	Superficie riflettente	0°C	18°C
	Superficie chiara	2°C	30°C
	Superficie scura	4°C	42°C
Inverno		0°C	0°C

Tabella 3.5.II - Valori di ΔT_u per gli edifici

Tipo di struttura	ΔT_u
Strutture in c.a. e c.a.p. esposte	$\pm 15^\circ\text{C}$
Strutture in c.a. e c.a.p. protette	$\pm 10^\circ\text{C}$
Strutture in acciaio esposte	$\pm 25^\circ\text{C}$
Strutture in acciaio protette	$\pm 15^\circ\text{C}$

3.5.III – Coefficienti di dilatazione termica a temperatura ambiente

Materiale	α_T [$10^{-6}/^{\circ}\text{C}$]
Alluminio	24
Acciaio da carpenteria	12
Calcestruzzo strutturale	10
Strutture miste acciaio-calcestruzzo	12
Calcestruzzo alleggerito	7
Muratura	$6 \div 10$
Legno (parallelo alle fibre)	5
Legno (ortogonale alle fibre)	$30 \div 70$

B.6 Carichi eccezionali/Außergewöhnliche Einwirkungen

Come carichi eccezionali si intendono carichi a causa di incendi, esplosioni, urti. Se questi carichi non vengono considerati, la struttura, i dettagli costruttivi e i materiali usati devono garantire, che la costruzione non viene danneggiata gravemente in proporzione ai danni.

Zu diesen Einwirkungen zählen Brand, Explosionen, Anprall. Falls diese Einwirkungen nicht berücksichtigt werden, müssen die Struktur, die konstruktiven Details und die verwendeten Materialien gewährleisten, dass die Konstruktion im Verhältnis zur Schadensursache nicht im Übermaß beschädigt wird.

B.6.1 Incendio/Brand:

La classe di resistenza al fuoco delle strutture portanti, se non indicate, sono da intendersi come da REI 90.

Die Brandbeständigkeit der tragenden Teile wird, sofern nicht anders angegeben mit REI 90 festgelegt.

B.6.2 Urti/Anprall:

Non sono previste azioni eccezionali da cause naturali come rottura di roccia,

Es werden nicht die außergewöhnlichen Einwirkungen natürlicher Ursache

valanghe ecc.

untersucht wie Felsbruch, Lawinen ecc.

B.6.2.1 Classificazione delle azioni/Klassifizierung der Aktionen**Tabella 3.6.II – Categorie di azione**

Categoria di azione	Possibili effetti
1	Effetti trascurabili sulle strutture
2	Effetti localizzati su parte delle strutture
3	Effetti generalizzati sulle strutture

B.6.2.2 Urti da mezzi/Anprall durch Verkehrsmittel

Da controllare in 2 direzioni/Ist in 2 Richtungen zu betrachten:

- $F_{d,x}$ (parallelamente/parallel zur Verkehrsmittelrichtung)
- $F_{d,y}$ (ortoogonalmente/ortogonal zu $F_{d,x}$)

$$F_{d,y} = 0,50 \times F_{d,x}$$

Tabella 3.6.III – Forze statiche equivalenti agli urti di veicoli

Tipo di strada	Tipo di veicolo	Forza $F_{d,x}$ [kN]
Autostrade, strade extraurbane	-	1000
Strade locali	-	750
Strade urbane	-	500
Aree di parcheggio e autormesse	Automobili	50
	Veicoli destinati al trasporto di merci, aventi massa massima superiore a 3,5 t	150

Per urti di automobili su membrature verticali, la forza risultante di collisione F deve essere applicata sulla struttura a 0,5 m di altezza sopra della superficie di marcia.

L'area di applicazione della forza è pari a 0,25 m (altezza) per il valore più piccolo tra 1,50 m e la larghezza della membratura (larghezza).

Für Anprall von Fahrzeugen auf vertikale Bauteile muss die resultierende Kraft F auf einer Höhe von 0,50 m über den Boden angesetzt werden.
Die Einflussfläche der Kraft F ist gleich 0,25m (Höhe) multipliziert mit dem kleineren Wert zwischen 1,50 und der Breite des betreffenden Bauteils (Breite).

Per urti sulle membrature verticali, la forza risultante di collisione F deve essere applicata sulla struttura 1,25 m al di sopra della superficie di marcia. L'area di applicazione della forza è pari a 0,5 m (altezza) per il valore più piccolo tra 1,50 m e la larghezza della membratura (larghezza).

Für Anprall vertikaler Bauteile muss die resultierende Kraft F auf einer Höhe von 1,25 m über den Boden angesetzt werden. Die Einflussfläche der Kraft F ist gleich 0,50m (Höhe) multipliziert mit dem kleineren Wert zwischen 1,50. und der Breite des betreffenden Bauteils (Breite).

B.6.2.3 Carichi eccezionali per il progetto/Projektsp. Anpralllasten:

Carico d'urto di 50 KN ad una altezza di 0,5m.

Anpralllasten 50 KN in 0,5 m Höhe.

C STABILITÀ/STABILITÄT

C.1 Stabilità da sismicità/Stabilität aus Erdbebenlasten

I rinforzi/irrigidimenti della struttura devono essere in grado di deviare le azioni di sisma negli elementi direttamente collocati di rinforzo verticali. Per il calcolo dei nodi, tutti i carichi risultati dal modello di calcolo, devono essere aumentati del 30%.

Die horizontalen Aussteifungen müssen imstande sein, in ihrer Ebene ehe Erdbebeneinwirkungen auf die einzelnen angeschlossenen vertikalen Aussteifungselemente ein- bzw. weiterzuleiten. Für die Bemessung sind die aus dem Rechenmodell erhaltenen Kräfte um 30% zu erhöhen.

C.2 Stabilità da vento/Stabilität aus Windlasten

I rinforzi previsti nella statica devono assicurare che i carichi vengano deviati direttamente nel suolo.

Die in der Statik angegebenen Scheiben müssen die Lasten sicher in den Baugrund leiten.

C.3 Calcolo della stabilità/Berechnung der Stabilität

Se non indicato ulteriormente, l'edificio vale come rigido abbastanza, per assumere i carichi sismici della zona e dei carichi causati da vento.

Wenn nicht anders angegeben gilt das Gebäude als ausreichend ausgesteift, sodass das Gebäude alle Erdbebenlasten der Zone und Windlasten aufnehmen kann.

Berechnung der Stabilität:ERDBEBCLAST:EIGENGEWICHT \times KOEFFIZIENT (0,04)RECHNUNG EIGENGEWICHT:

$$\text{Dach} \hat{=} g = 3 \text{ KN/m}^2 \times 392 \text{ m}^2 = \underline{1176 \text{ kN}}$$

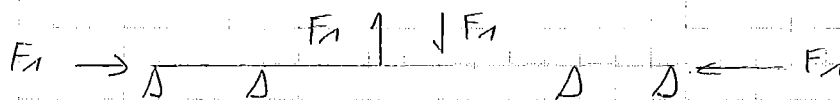
$$\text{Decke über EG} \hat{=} g_0 = 0,2 \text{ m} \times 25 \text{ kN/m}^3 = 5 \text{ kN/m}^2$$

$$g_1 = 3 \text{ kN/m}^2$$

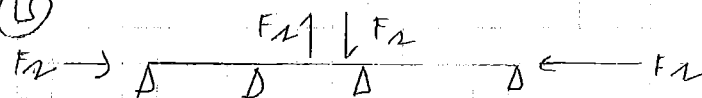
$$\Sigma g = 8 \text{ kN/m}^2 \times 335 \text{ m}^2 = \underline{2.680 \text{ kN}}$$

STATISCHE SYSTEME:

①



②



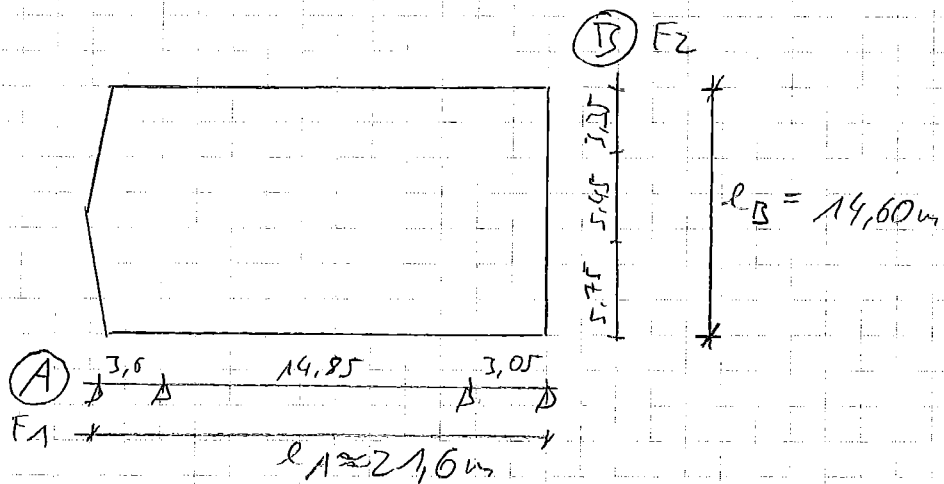
$$F_{\text{Dach}} = 1.176 \text{ kN} \times 0,04 = 47,04 \text{ kN}$$

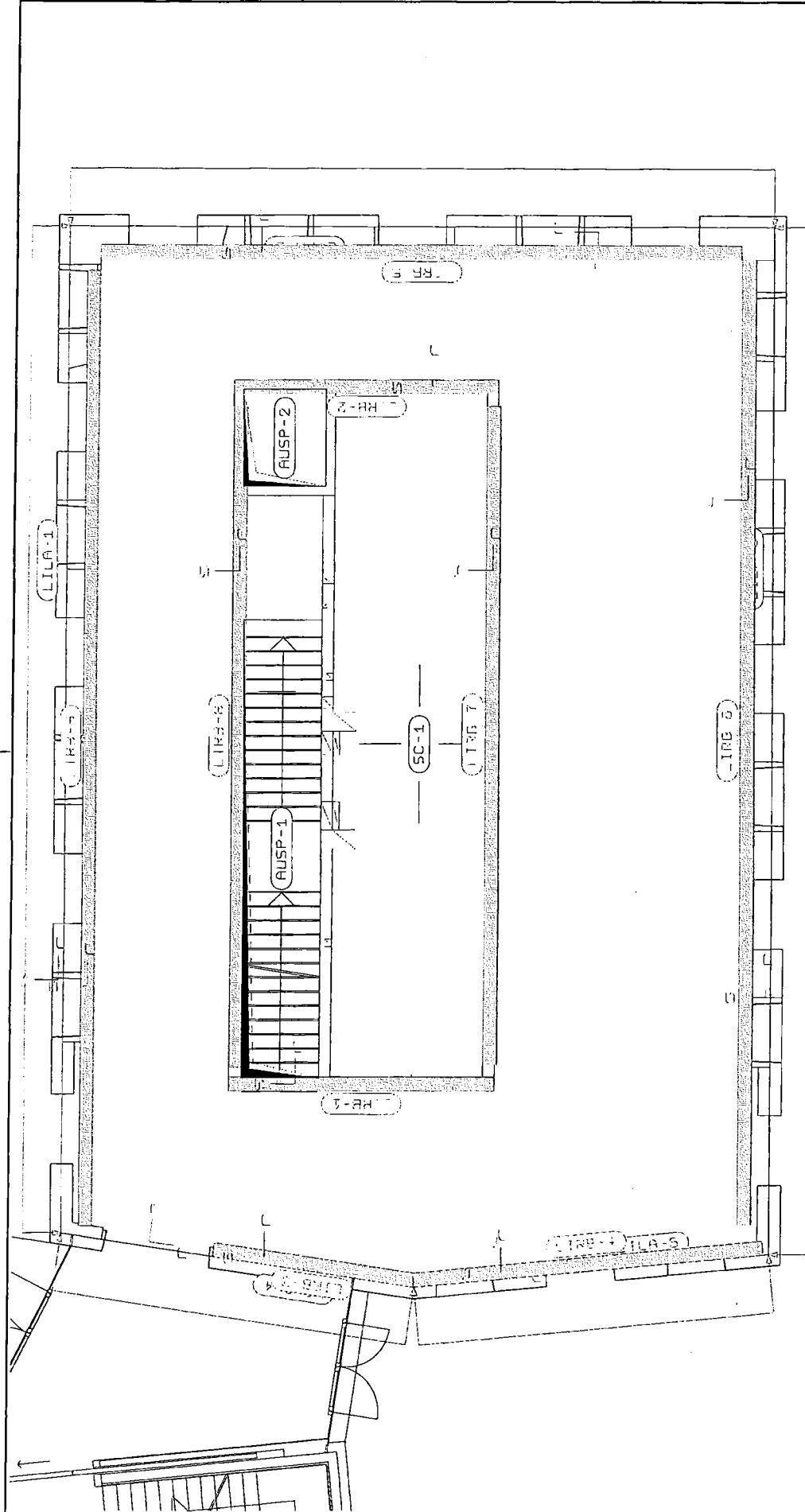
$$F_{\text{Decke}} = 2.680 \text{ kN} \times 0,04 = 107,2 \text{ kN}$$

$$\Rightarrow F_1 = 107,2 / l_B = 7,4 \text{ kN/m}$$

$$F_2 = 107,2 / l_A = 5,0 \text{ kN/m}$$

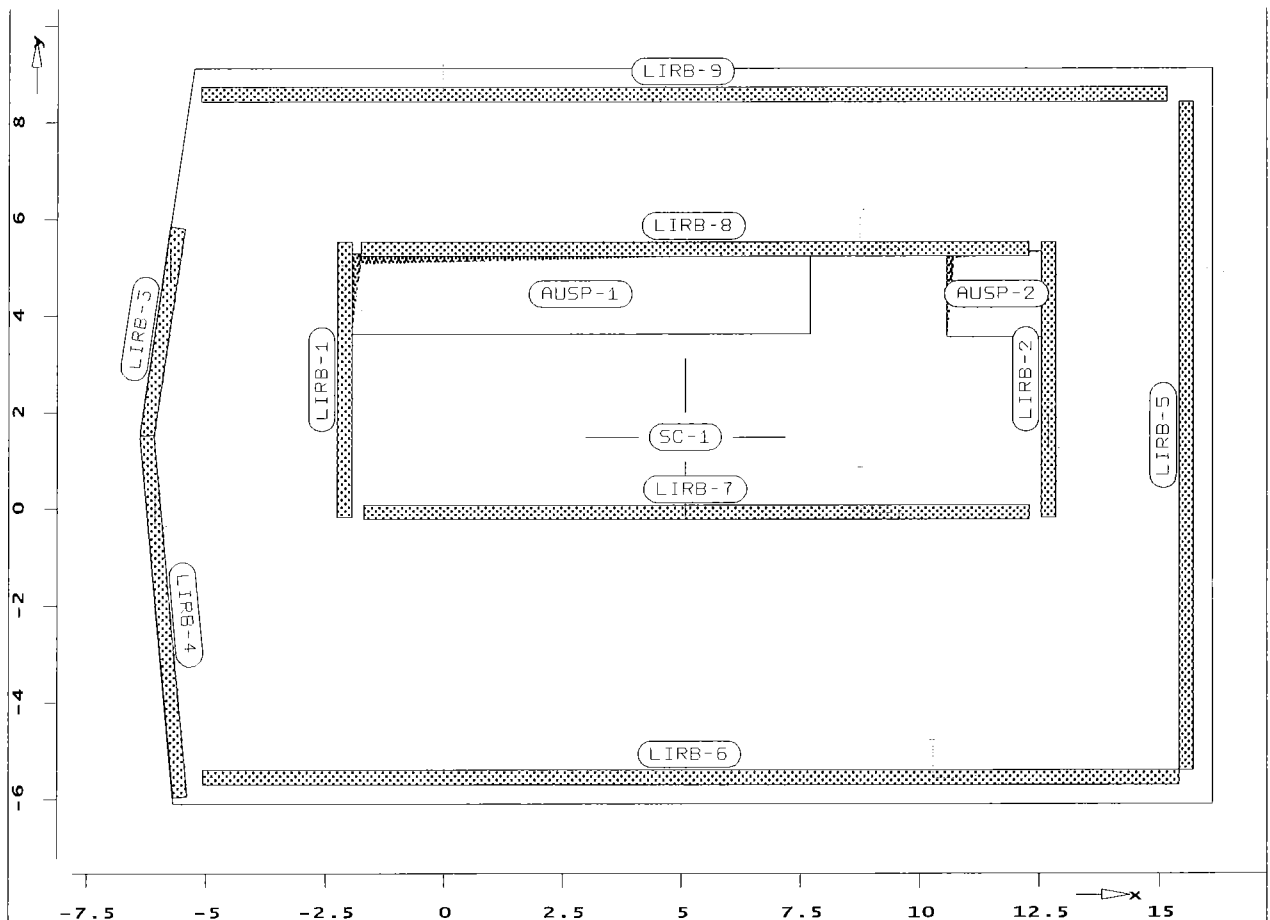
Skizze Übersicht:





Maßstab: 1:120
MicroFe 2008.140

BauCon - Dr. Ing. Simon Neulicherl - www.baucon.it			
Stabilitätsberechnung Decke			
Projekt	S0962 KG Rodeneck	Datum	
FE-Modell	ST_DE	Seite	C - 4

Positionsplan**Pos. SC-1 - Scheibenbereich**

<u>System</u>	x =	16.09	-5.68	-6.39	-5.25	16.09	m
	y =	-6.10	-6.10	1.51	9.12	9.12	m

Material

Scheibe	
Dicke	= 20.00 cm
Wichte	= 25.00 kN/m ³
E-Modul	= 3.05e+007 kN/m ²
Mue	= 0.20

Pos. LIRB-1 - Linienlager

<u>System</u>	x =	-2.10	-2.10	m
	y =	5.53	-0.17	m

Lagerung

Druck-/Zugfeder Transl. in x-Richtung = 3.00e+006 kN/m²
 Druck-/Zugfeder Transl. in y-Richtung = 3.00e+006 kN/m²
 (l = 5.70 m)

Pos. LIRB-2 - Linienlager

System x = 12.68 12.68 m
 y = -0.17 5.53 m

Lagerung Druck-/Zugfeder Transl. in x-Richtung = 3.00e+006 kN/m²
 Druck-/Zugfeder Transl. in y-Richtung = 3.00e+006 kN/m²
 (l = 5.70 m)

Pos. LIRB-3 - Linienlager

System x = -5.59 -6.24 m
 y = 5.82 1.51 m

Lagerung Druck-/Zugfeder Transl. in x-Richtung = 3.00e+006 kN/m²
 Druck-/Zugfeder Transl. in y-Richtung = 3.00e+006 kN/m²
 (l = 4.36 m)

Pos. LIRB-4 - Linienlager

System x = -6.24 -5.54 m
 y = 1.52 -5.97 m

Lagerung Druck-/Zugfeder Transl. in x-Richtung = 3.00e+006 kN/m²
 Druck-/Zugfeder Transl. in y-Richtung = 3.00e+006 kN/m²
 (l = 7.52 m)

Pos. LIRB-5 - Linienlager

System x = 15.55 15.55 m
 y = 8.43 -5.41 m

Lagerung Druck-/Zugfeder Transl. in x-Richtung = 3.00e+006 kN/m²
 Druck-/Zugfeder Transl. in y-Richtung = 3.00e+006 kN/m²
 (l = 13.84 m)

Pos. LIRB-6 - Linienlager

System x = 15.40 -5.05 m
 y = -5.56 -5.56 m

Lagerung Druck-/Zugfeder Transl. in x-Richtung = 3.00e+006 kN/m²
 Druck-/Zugfeder Transl. in y-Richtung = 3.00e+006 kN/m²
 (l = 20.45 m)

Pos. LIRB-7 - Linienlager

System x = 12.27 -1.69 m
 y = -0.07 -0.07 m

Lagerung Druck-/Zugfeder Transl. in x-Richtung = 3.00e+006 kN/m²
 Druck-/Zugfeder Transl. in y-Richtung = 3.00e+006 kN/m²
 (l = 13.96 m)

Pos. LIRB-8 - Linienlager

System x = 12.26 -1.75 m
 y = 5.38 5.38 m

Lagerung Druck-/Zugfeder Transl. in x-Richtung = 3.00e+006 kN/m²
 Druck-/Zugfeder Transl. in y-Richtung = 3.00e+006 kN/m²
 (l = 14.02 m)

Pos. LIRB-9 - Linienlager

System x = -5.10 15.15 m
 y = 8.58 8.58 m

Lagerung Druck-/Zugfeder Transl. in x-Richtung = 3.00e+006 kN/m²
 Druck-/Zugfeder Transl. in y-Richtung = 3.00e+006 kN/m²
 (l = 20.26 m)

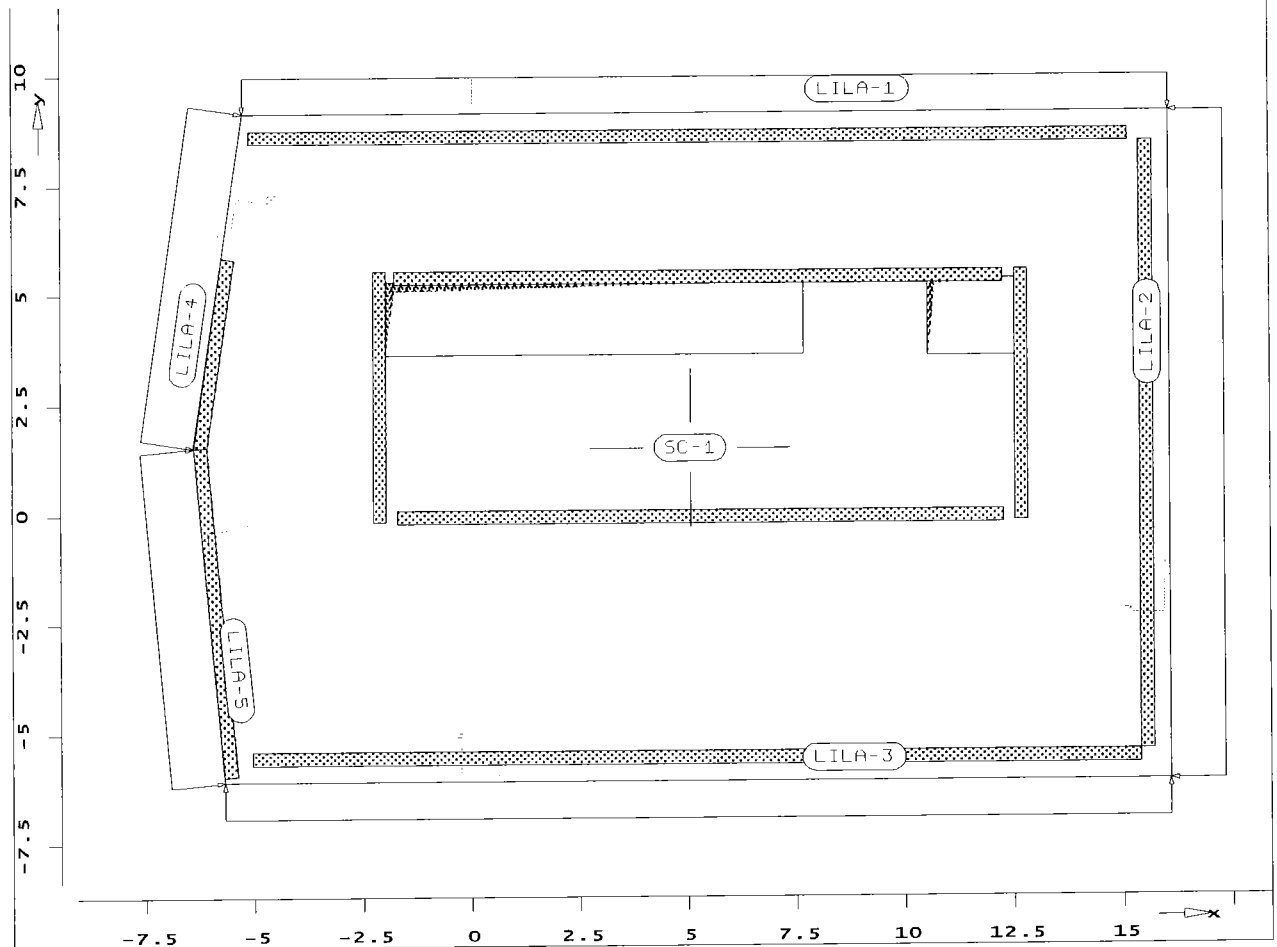
Pos. AUSP-1 - Aussparung

System x = -1.98 7.71 7.71 -1.98 m
 y = 5.28 5.28 3.61 3.61 m

Pos. AUSP-2 - Aussparung

System x = 10.56 12.63 12.63 10.56 m
 y = 5.33 5.33 3.56 3.56 m

Lastplan



Eigengewicht / Ausbaulast / Nutzlast Platten

Platte	Dicke [m]	g (aus wichte) [kN/m ²]	g (Ausbau) [kN/m ²]	q (Nutzlast) [kN/m ²]
SC-1	0.20	-5.00	0.00	0.00

Die Eigenlasten g wirken in Lastfall 1, die Nutzlasten q wirken je nach Lastfeldern in eigenen Lastfällen.

Linienlasten

Lastrichtung global, Lastspur entspr. r-Achse des Last-KS

<u>LILA-1</u>	F1		
	x =	-5.25	16.09 m
	y =	9.12	9.12 m

LF	Anfang [kN/m] bzw. [kNm/m]	Ende
10 py	-5.000	-5.000

<u>LILA-2</u>	F2		
	x =	16.09	16.09 m
	y =	-6.10	9.12 m

LF	Anfang [kN/m]	Ende [kNm/m]
11 py	7.400	7.400
<u>LILA-3</u>		
	F1	
	x =	-5.68 16.09 m
	y =	-6.10 -6.10 m
LF	Anfang [kN/m]	Ende [kNm/m]
12 py	5.000	5.000
<u>LILA-4</u>		
	F2	
	x =	-5.25 -6.39 m
	y =	9.12 1.51 m
LF	Anfang [kN/m]	Ende [kNm/m]
13 py	7.400	7.400
<u>LILA-5</u>		
	F2	
	x =	-6.39 -5.68 m
	y =	1.51 -6.10 m
LF	Anfang [kN/m]	Ende [kNm/m]
13 py	7.400	7.400

Einwirkungen nach Eurocode 2

Tabelle

Typ	Beschreibung	Einwirkungen
0	ständige Einwirkung	EW-1
1	Verkehrslast auf Decken	EW-2
2	- Wohnräume; Büroräume; Verkaufsräume bis 50m ² ; Flure; Balkone; Räume in Krankenhäusern	
3	- Versammlungsräume; Garagen und Parkhäuser; Turnhallen; Tribünen; Flure in Lehrgebäuden; Büchereien, Archive	
4	- Ausstellungs- und Verkaufsräume; Geschäfts- und Warenhäuser	
4	Windlasten	
5	Schneelasten	
6	alle anderen Einwirkungen	

Komponenten der Einwirkungen

EW-1 = LF-1

EW-2 = LF-2 LF-10 LF-11 LF-12 LF-13

Lastkombinationen für lineare Berechnung

Auswertung mit MIN/MAX-Überlagerung über Lfn und Lkn

Lf = Lastfall

Lfn = Lastfallnummer

Erläuterung:

'automat.' Der Lastfall wird für ein Lastfeld benötigt und bekommt eine freie Lfn. automatisch zugewiesen.

'auto. 17' Der Lastfall erhielt automatisch die Lfn 17.

Lk = Lastkombination

Lf	LF-1	LF-2	LF-10	LF-11	LF-12
Lfn	1	2	10	11	12
LK-1	1.00	1.00	1.00	1.00	1.00

Lf	LF-13
Lfn	13
LK-1	1.00

Lastfallübersicht

Lastfall	Lfn	Typ	Lastfallbeschreibung
LF-1	1	ständig	Lastfall 1
LF-2	2*	veränderlich	Lastfall 2
LF-10	10	veränderlich	Lastfall 10
LF-11	11	veränderlich	Lastfall 11
LF-12	12	veränderlich	Lastfall 12
LF-13	13	veränderlich	Lastfall 13

* = leerer Lastfall

Pos. SC-1 - Scheibenbemessung (Isolinien)

Bemessung

gem. Eurocode 2, C25/30/S450

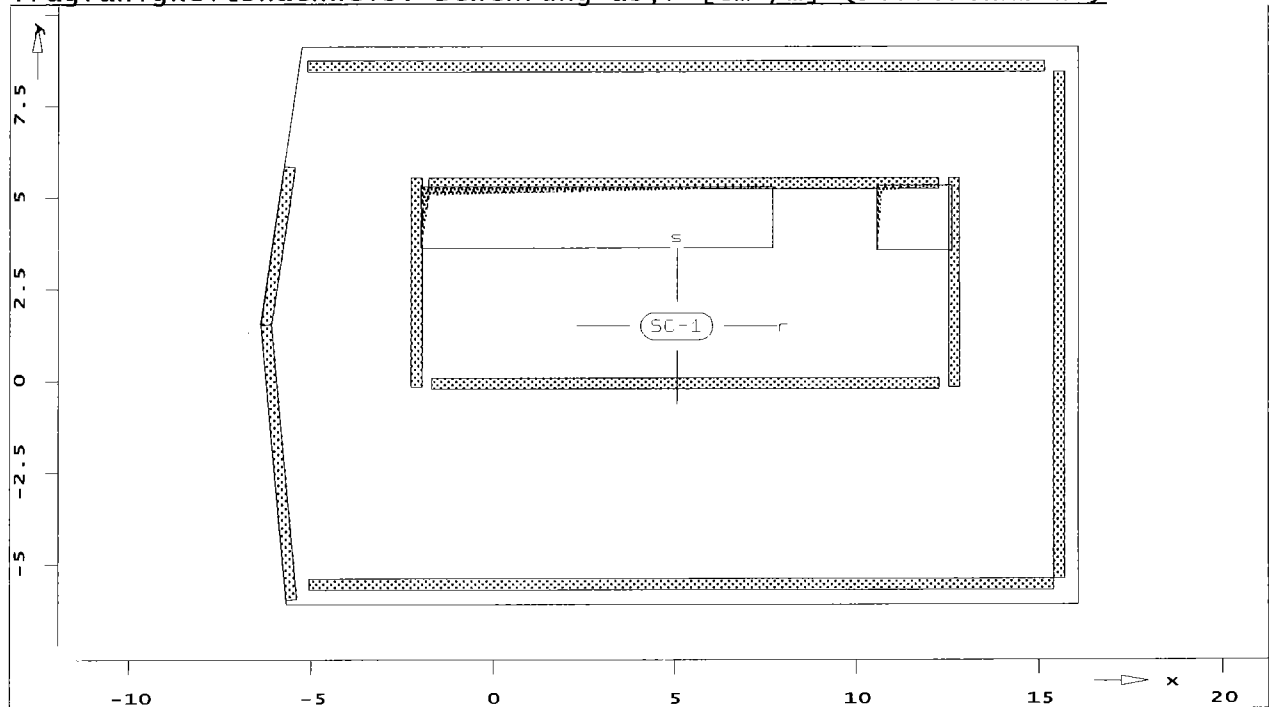
Extremierung gem. Einwirkungstypisierung

Dicke $d = 20.00$ cm

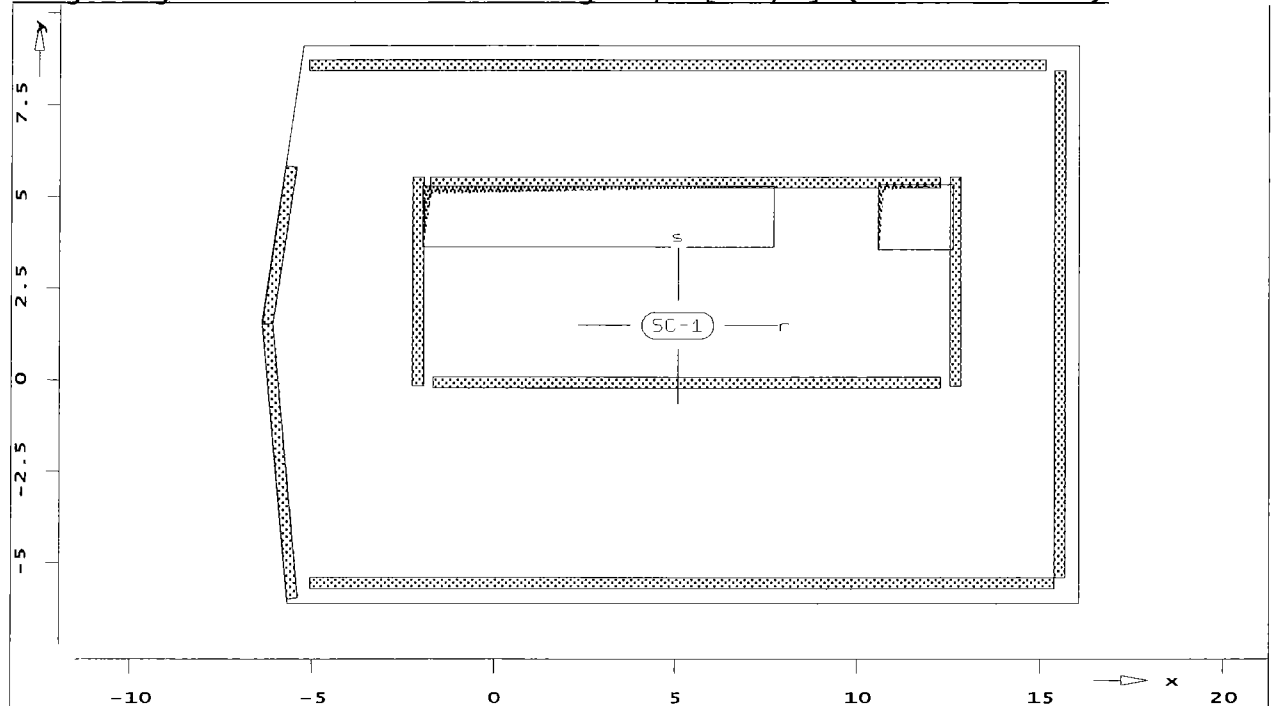
Grundbewehrung asg x y
 3.4 3.4 cm^2/m

Bemessungswinkel w 0.0 90.0 Grad

Tragfähigkeitsnachweis: Bewehrung as,r [cm^2/m] (Differenzbew.)



Isolinienstufen = $1.00 \text{ cm}^2/\text{m}$

Tragfähigkeitsnachweis: Bewehrung $a_{s,s}$ [cm^2/m] (Differenzbew.)Isolinienstufen = $1.00 \text{ cm}^2/\text{m}$

Für Scheibenmodelle kann keine MicroFe-Lastübergabe durchgeführt werden.

Lastfallübersicht

Lastfall	Lfn	Typ	Lastfallbeschreibung
LF-1	1	ständig	Lastfall 1
LF-2	2*	veränderlich	Lastfall 2
LF-10	10	veränderlich	Lastfall 10
LF-11	11	veränderlich	Lastfall 11
LF-12	12	veränderlich	Lastfall 12
LF-13	13	veränderlich	Lastfall 13

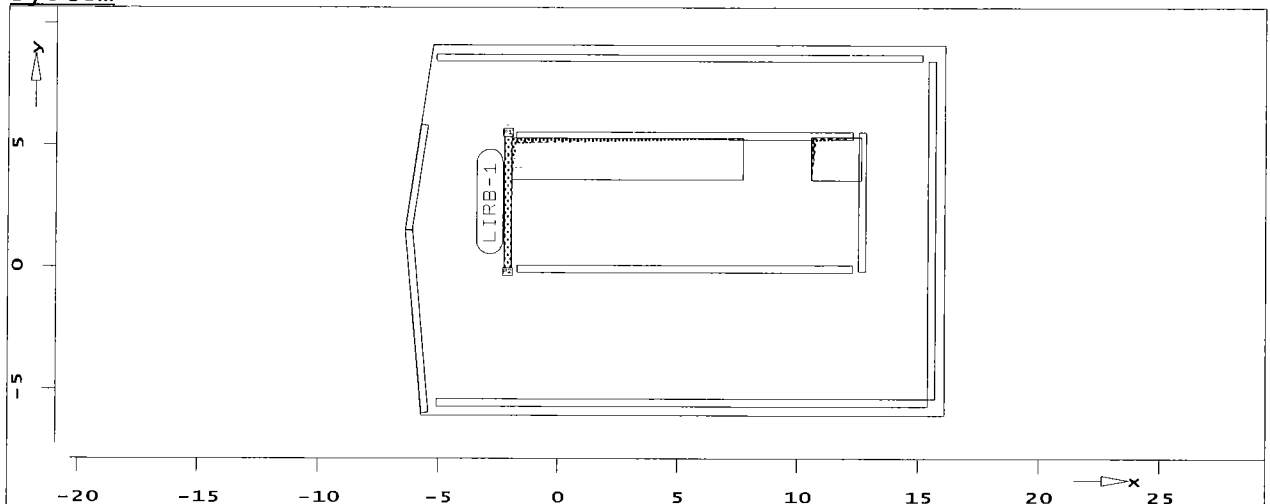
* = leerer Lastfall

Protokoll der Lastübergabe für BauStatik

Pos. LIRB-1 - Auflagergröße Fx

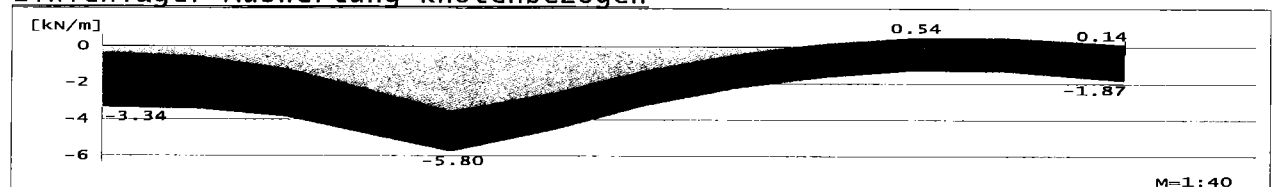
$X_a = -2.10 \text{ m}$, $X_e = -2.10 \text{ m}$
 $Y_a = 5.53 \text{ m}$, $Y_e = -0.17 \text{ m}$
 Länge = 5.70 m
 Translationssteifigkeit in X = $3.00\text{e}+006 \text{ kN/m}^2$

System

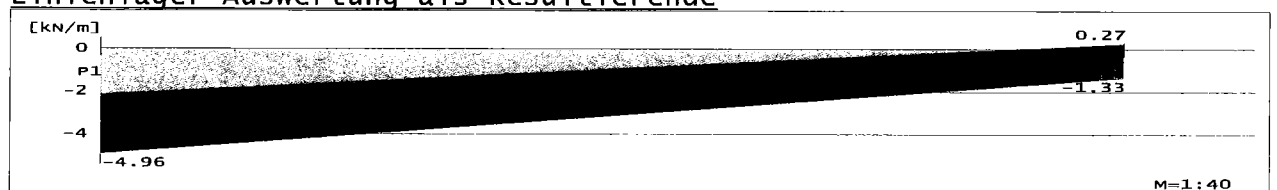


Auswertung mit MIN/MAX-Überlagerung (über LFN und LKN)

Linienlager-Auswertung knotenbezogen



Linienlager-Auswertung als Resultierende

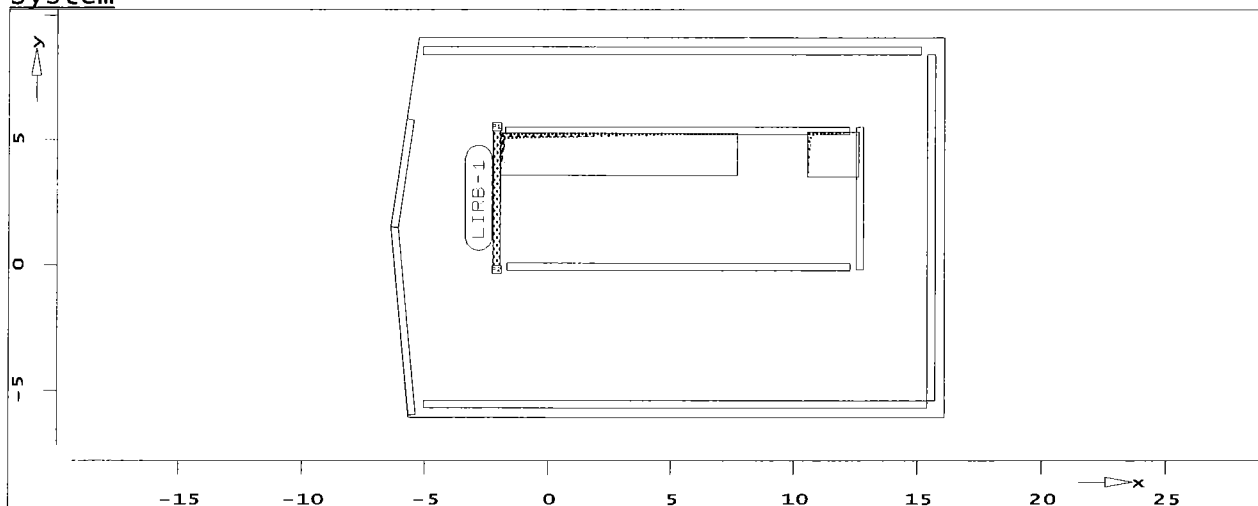


		P1	Mitte	P2
min Fx	[kN/m]	-4.96	-3.15	-1.33
max Fx	[kN/m]	-2.17	-0.95	0.27

Pos. LIRB-1 - Auflagergröße Fy

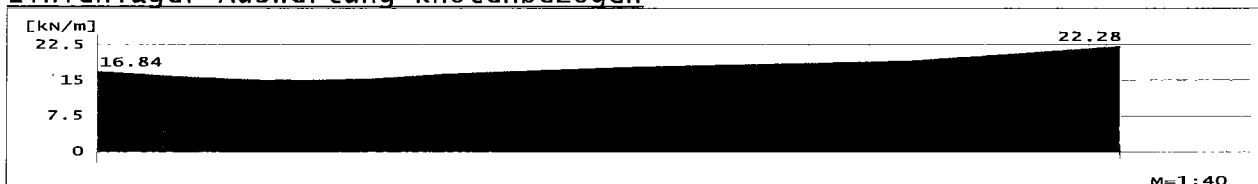
Xa = -2.10 m, Xe = -2.10 m
 Ya = 5.53 m, Ye = -0.17 m
 Länge = 5.70 m
 Translationssteifigkeit in Y = 3.00e+006 kN/m²

System

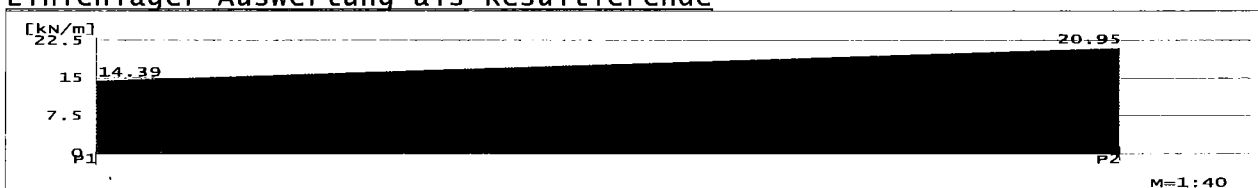


Auswertung mit MIN/MAX-Überlagerung (über LFN und LKN)

Linienlager-Auswertung knotenbezogen



Linienlager-Auswertung als Resultierende

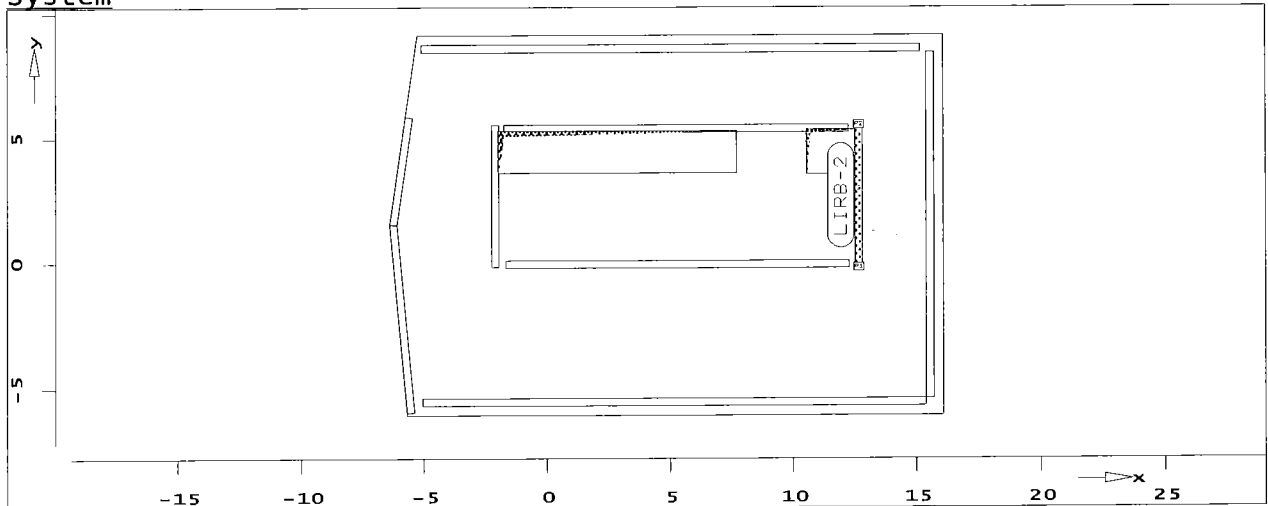


		P1	Mitte	P2
min Fy	[kN/m]	12.98	16.65	20.33
max Fy	[kN/m]	14.39	17.67	20.95

Pos. LIRB-2 - Auflagergröße Fx

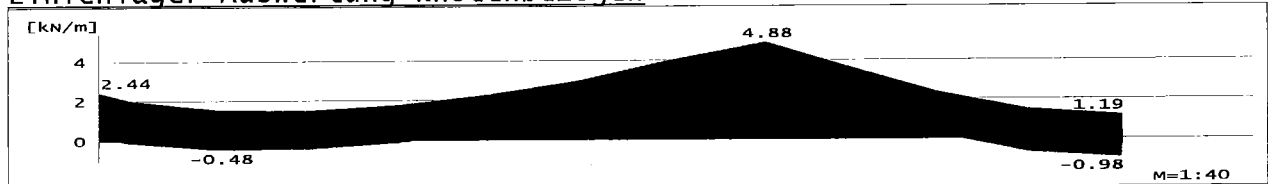
$x_a = 12.68 \text{ m}$, $x_e = 12.68 \text{ m}$
 $y_a = -0.17 \text{ m}$, $y_e = 5.53 \text{ m}$
 Länge = 5.70 m
 Translationssteifigkeit in x = $3.00 \times 10^6 \text{ kN/m}^2$

System

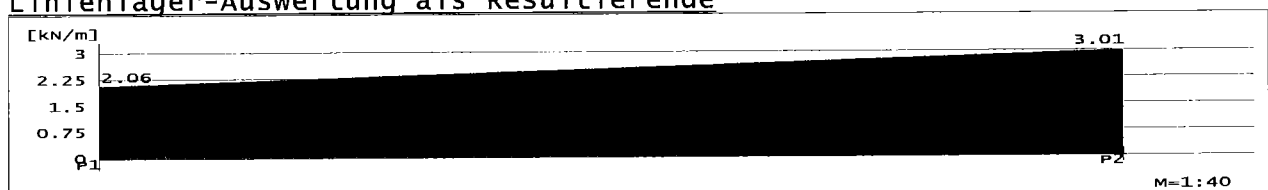


Auswertung mit MIN/MAX-Überlagerung (über LFN und LKN)

Linienlager-Auswertung knotenbezogen



Linienlager-Auswertung als Resultierende

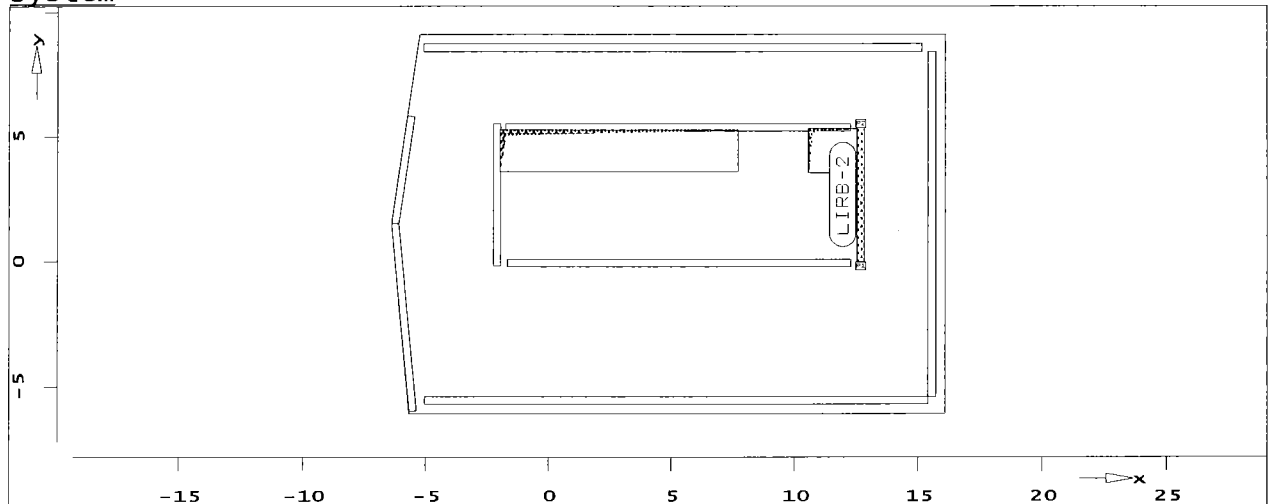


		P1	Mitte	P2
min Fx	[kN/m]	0.12	0.50	0.88
max Fx	[kN/m]	2.06	2.53	3.01

Pos. LIRB-2 - Auflagergröße Fy

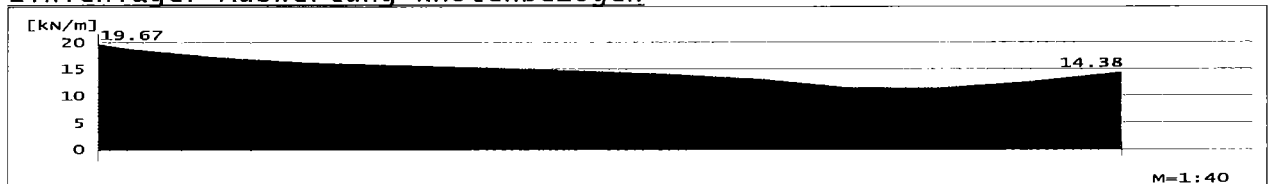
Xa = 12.68 m, Xe = 12.68 m
 Ya = -0.17 m, Ye = 5.53 m
 Länge = 5.70 m
 Translationssteifigkeit in Y = 3.00e+006 kN/m²

System

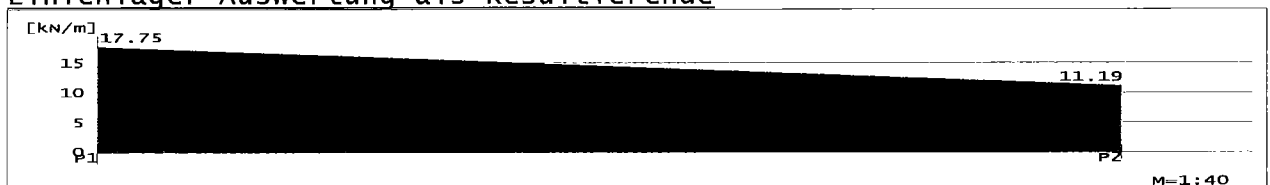


Auswertung mit MIN/MAX-Überlagerung (über LFN und LKN)

Linienlager-Auswertung knotenbezogen



Linienlager-Auswertung als Resultierende

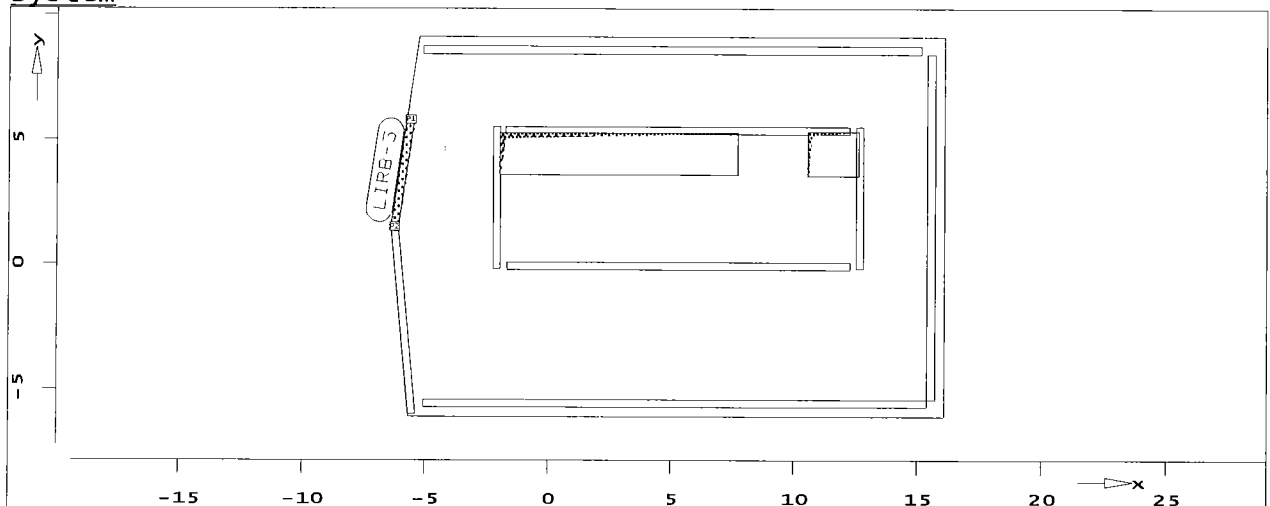


		P1	Mitte	P2
min Fy	[kN/m]	17.25	13.79	10.33
max Fy	[kN/m]	17.75	14.47	11.19

Pos. LIRB-3 - Auflagergröße Fx

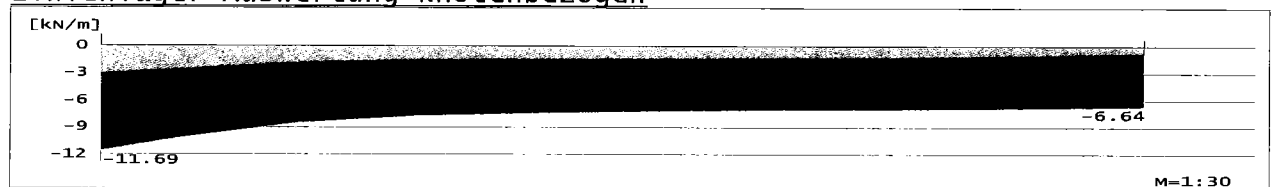
$X_a = -5.59 \text{ m}, \quad X_e = -6.24 \text{ m}$
 $Y_a = 5.82 \text{ m}, \quad Y_e = 1.51 \text{ m}$
 Länge = 4.36 m
 Translationssteifigkeit in x = $3.00 \times 10^6 \text{ kN/m}^2$

System

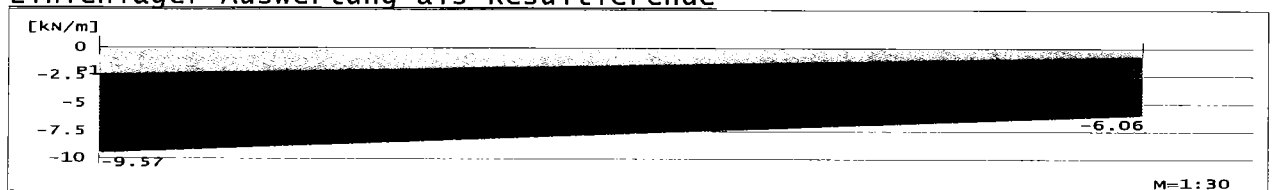


Auswertung mit MIN/MAX-Überlagerung (über LFN und LKN)

Linienlager-Auswertung knotenbezogen



Linienlager-Auswertung als Resultierende

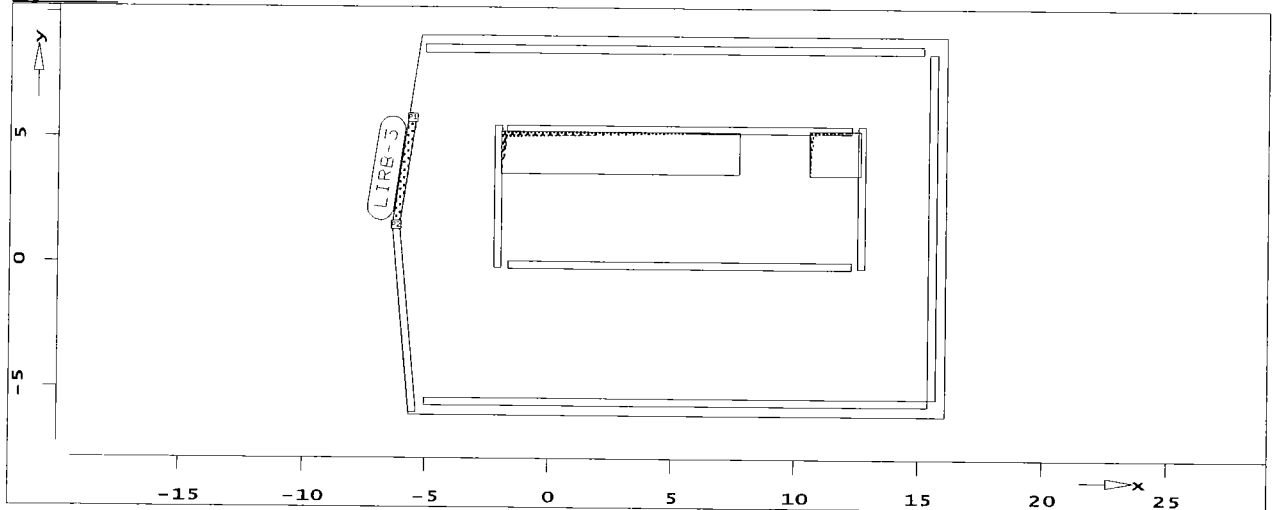


		P1	Mitte	P2
min Fx	[kN/m]	-9.57	-7.82	-6.06
max Fx	[kN/m]	-2.39	-1.55	-0.71

Pos. LIRB-3 - Auflagergröße Fy

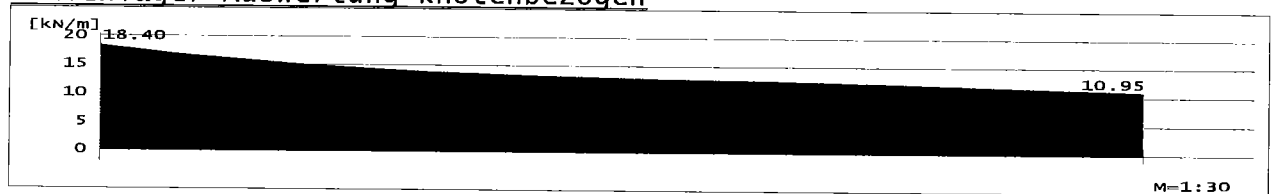
Xa = -5.59 m, Xe = -6.24 m
Ya = 5.82 m, Ye = 1.51 m
Länge = 4.36 m
Translationssteifigkeit in Y = 3.00e+006 kN/m²

System

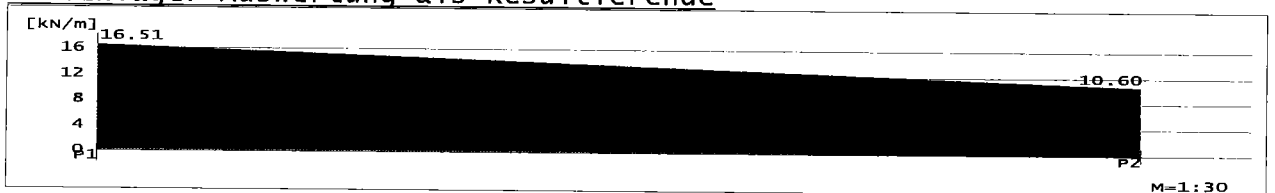


Auswertung mit MIN/MAX-Überlagerung (über LFN und LKN)

Linienlager-Auswertung knotenbezogen



Linienlager-Auswertung als Resultierende

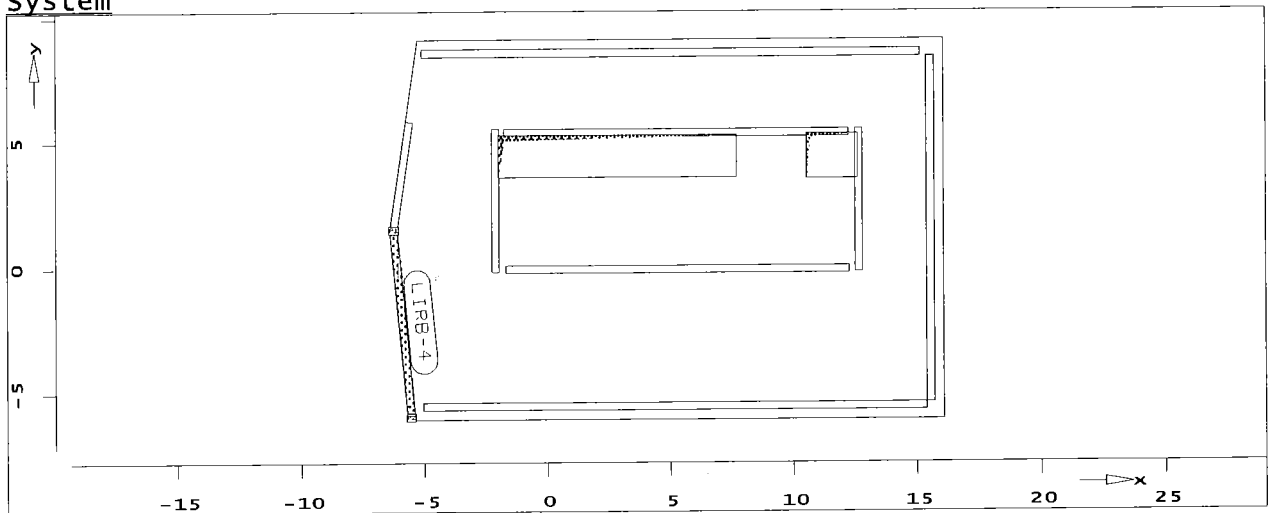


		P1	Mitte	P2
min Fy	[kN/m]	14.87	12.38	9.88
max Fy	[kN/m]	16.51	13.56	10.60

Pos. LIRB-4 - Auflagergröße Fx

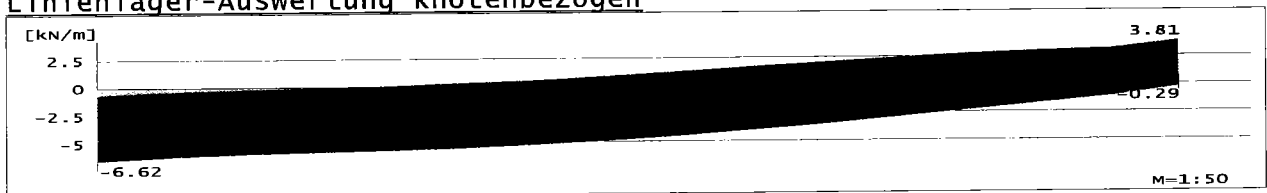
$X_a = -6.24 \text{ m}$, $X_e = -5.54 \text{ m}$
 $Y_a = 1.52 \text{ m}$, $Y_e = -5.97 \text{ m}$
 Länge = 7.52 m
 Translationssteifigkeit in X = $3.00\text{e}+006 \text{ kN/m}^2$

System

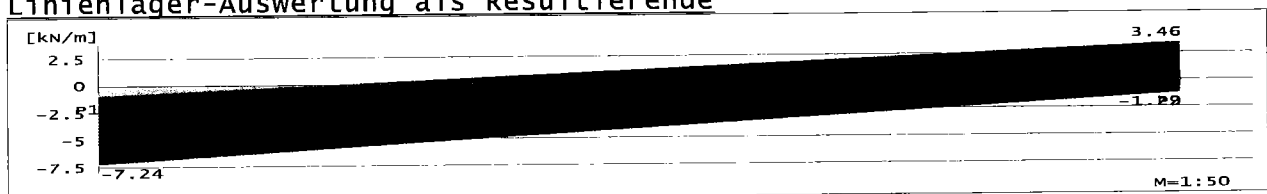


Auswertung mit MIN/MAX-Überlagerung (über LFN und LKN)

Linienlager-Auswertung knotenbezogen



Linienlager-Auswertung als Resultierende

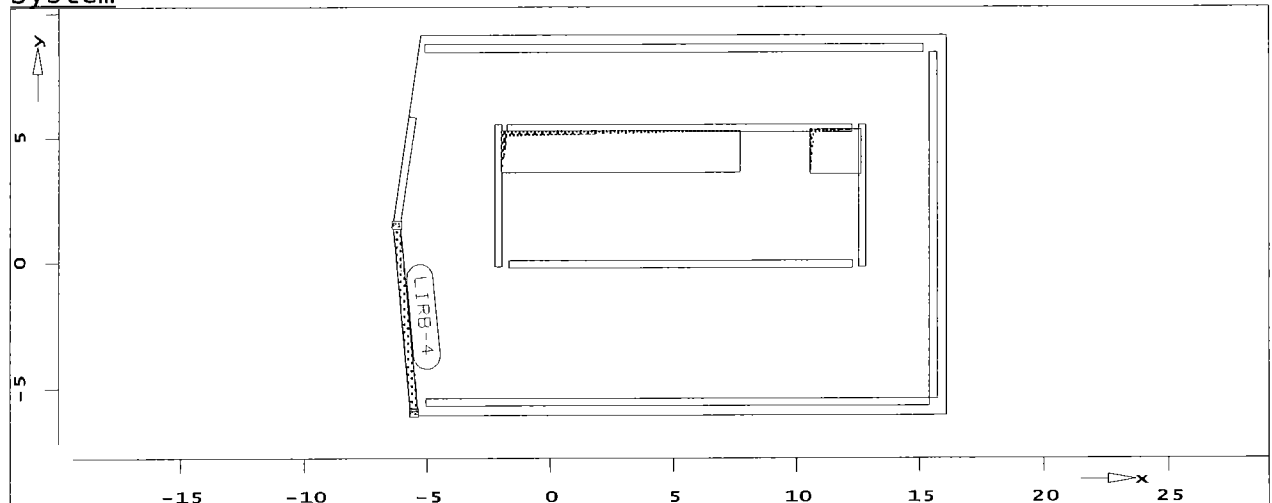


		P1	Mitte	P2
min Fx	[kN/m]	-7.24	-4.26	-1.29
max Fx	[kN/m]	-0.99	1.23	3.46

Pos. LIRB-4 - Auflagergröße Fy

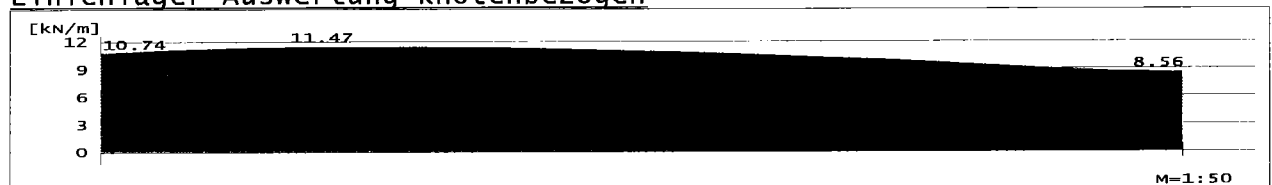
Xa = -6.24 m, Xe = -5.54 m
Ya = 1.52 m, Ye = -5.97 m
Länge = 7.52 m
Translationssteifigkeit in Y = 3.00e+006 kN/m²

System

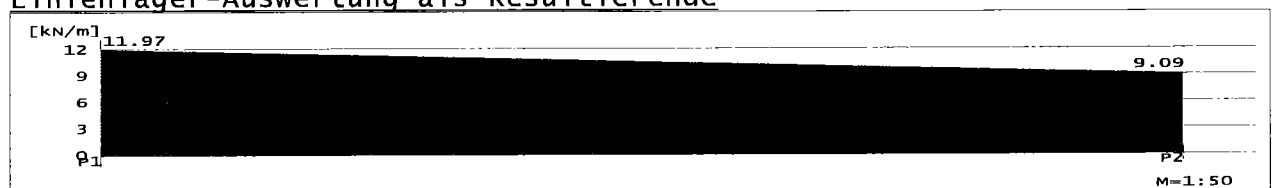


Auswertung mit MIN/MAX-Überlagerung (über LFN und LKN)

Linienlager-Auswertung knotenbezogen



Linienlager-Auswertung als Resultierende

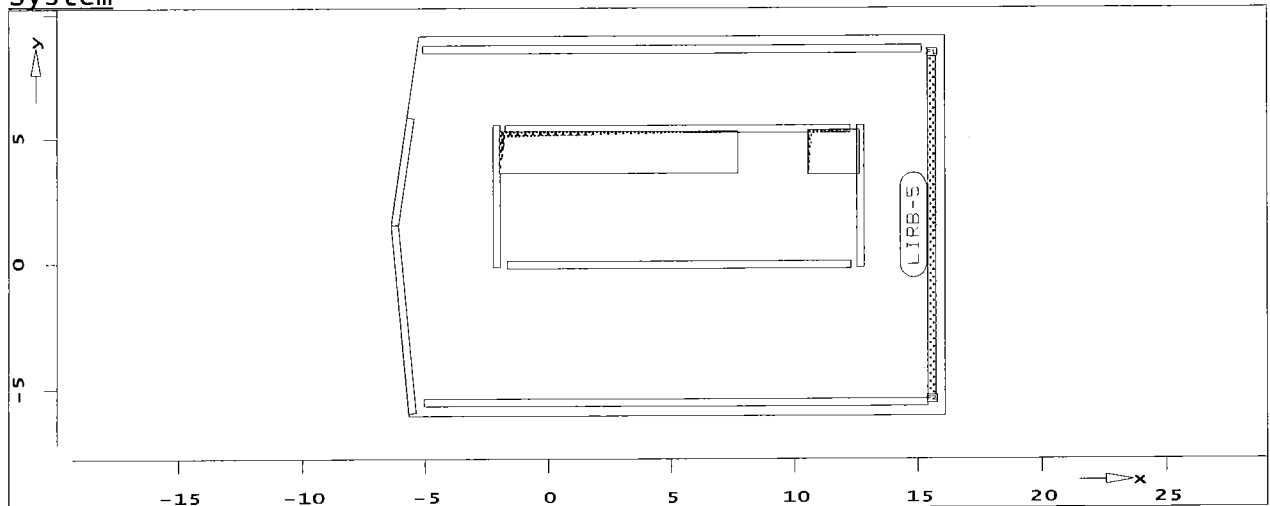


		P1	Mitte	P2
min Fy	[kN/m]	11.89	9.27	6.64
max Fy	[kN/m]	11.97	10.53	9.09

Pos. LIRB-5 - Auflagergröße Fx

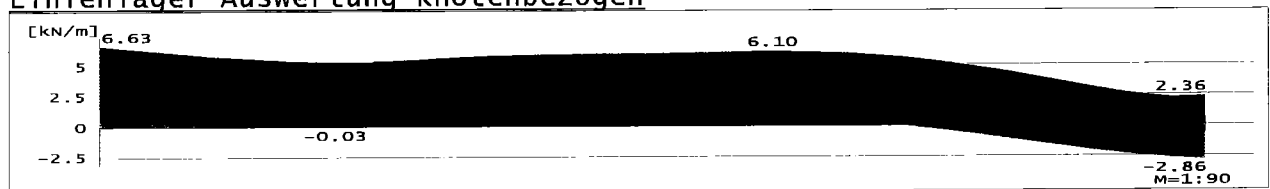
$X_a = 15.55 \text{ m}, \quad X_e = 15.55 \text{ m}$
 $Y_a = 8.43 \text{ m}, \quad Y_e = -5.41 \text{ m}$
 Länge = 13.84 m
 Translationssteifigkeit in X = $3.00 \times 10^6 \text{ kN/m}^2$

System

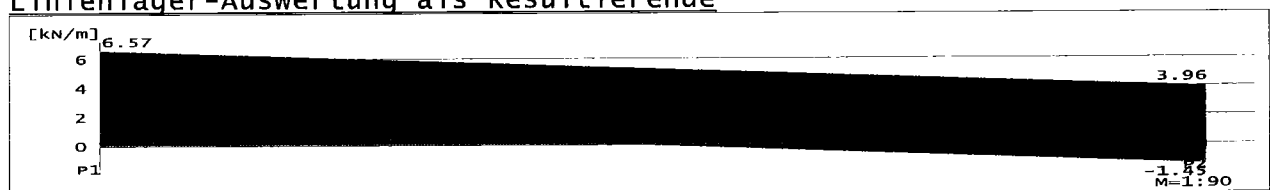


Auswertung mit MIN/MAX-Überlagerung (über LFN und LKN)

Linienlager-Auswertung knotenbezogen



Linienlager-Auswertung als Resultierende

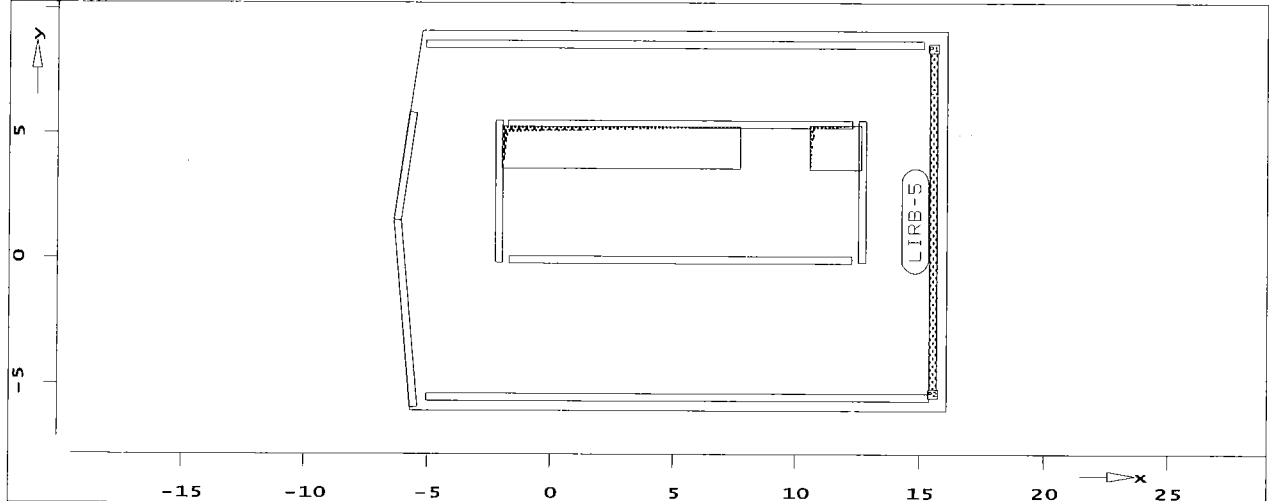


		P1	Mitte	P2
min Fx	[kN/m]	1.33	-0.06	-1.45
max Fx	[kN/m]	6.57	5.27	3.96

Pos. LIRB-5 - Auflagergröße Fy

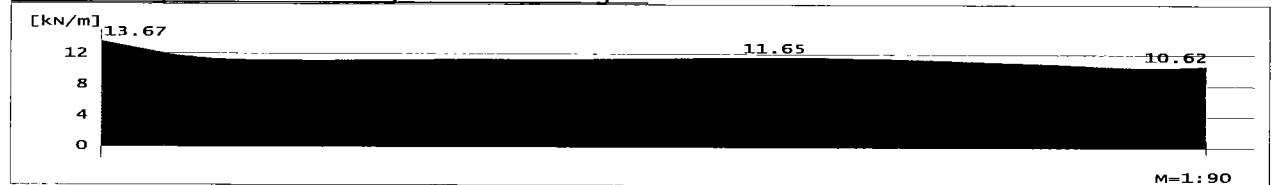
Xa = 15.55 m, Xe = 15.55 m
Ya = 8.43 m, Ye = -5.41 m
Länge = 13.84 m
Translationssteifigkeit in Y = 3.00e+006 kN/m²

System

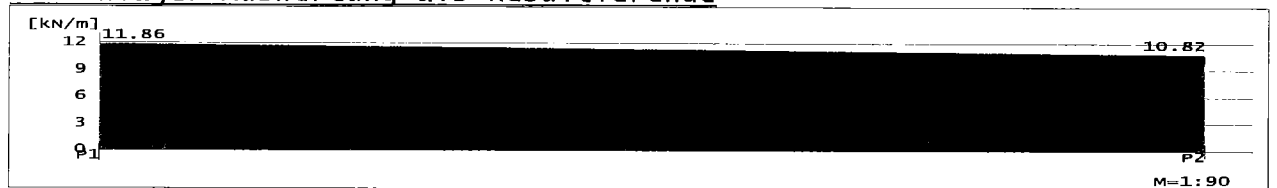


Auswertung mit MIN/MAX-Überlagerung (über LFN und LKN)

Linienlager-Auswertung knotenbezogen



Linienlager-Auswertung als Resultierende

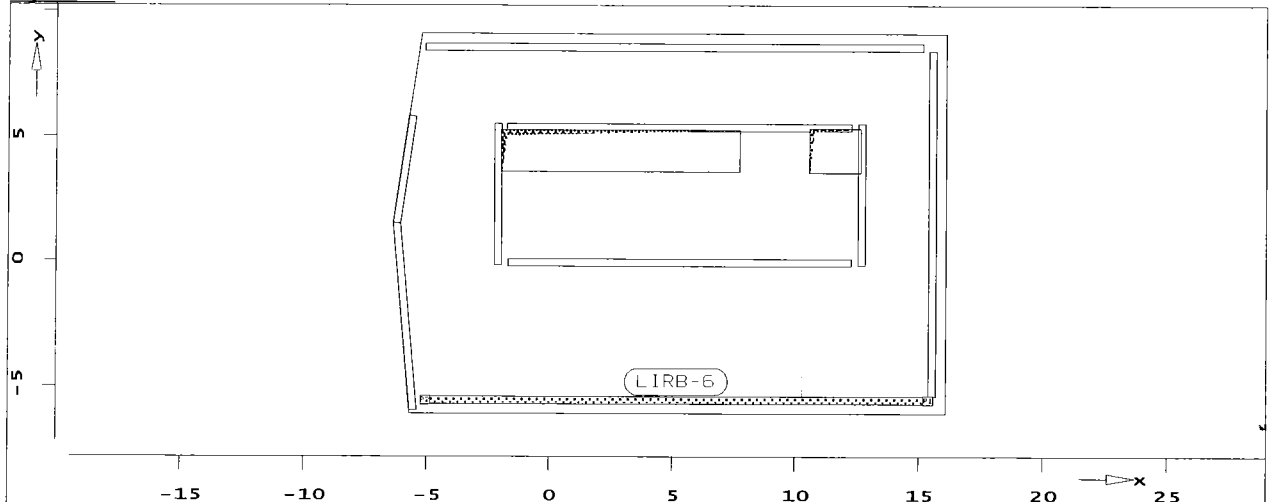


		P1	Mitte	P2
min Fy	[kN/m]	10.52	10.29	10.06
max Fy	[kN/m]	11.86	11.34	10.82

Pos. LIRB-6 - Auflagergröße Fx

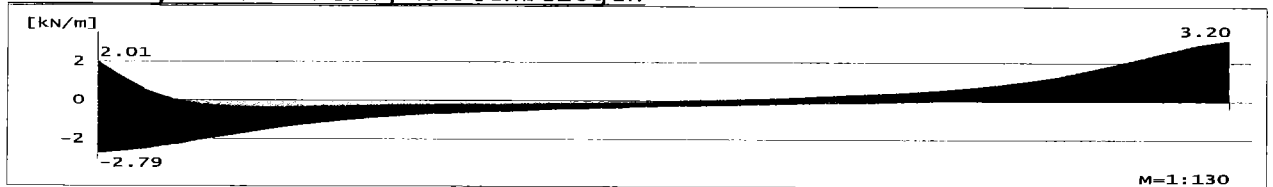
Xa = 15.40 m, Xe = -5.05 m
Ya = -5.56 m, Ye = -5.56 m
Länge = 20.45 m
Translationssteifigkeit in X = 3.00e+006 kN/m²

System

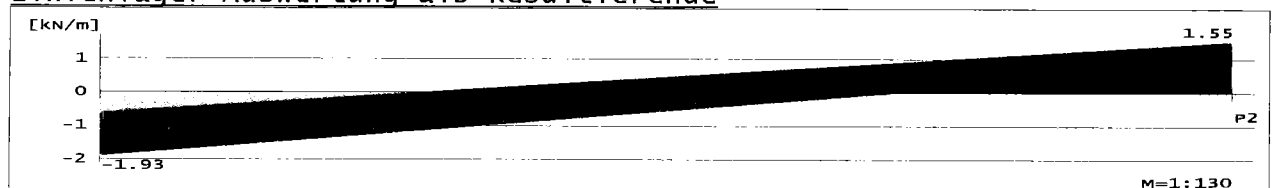


Auswertung mit MIN/MAX-Überlagerung (über LFN und LKN)

Linienlager-Auswertung knotenbezogen



Linienlager-Auswertung als Resultierende

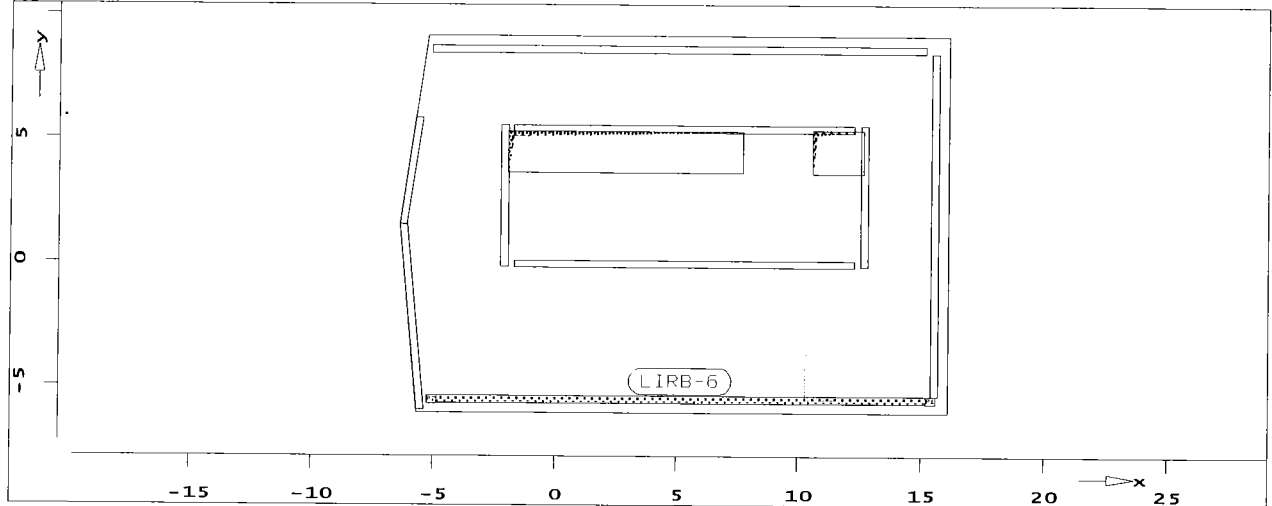


		P1	Mitte	P2
min Fx	[kN/m]	-1.93	-0.58	0.77
max Fx	[kN/m]	-0.62	0.47	1.55

Pos. LIRB-6 - Auflagergröße Fy

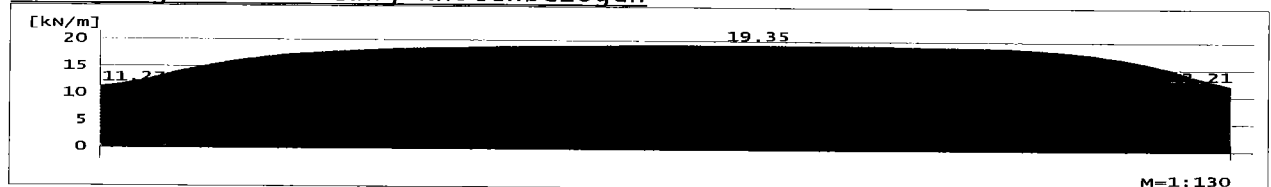
Xa = 15.40 m, Xe = -5.05 m
 Ya = -5.56 m, Ye = -5.56 m
 Länge = 20.45 m
 Translationssteifigkeit in Y = 3.00e+006 kN/m²

System

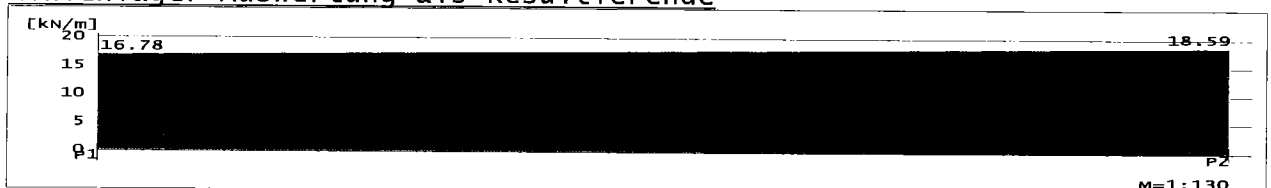


Auswertung mit MIN/MAX-Überlagerung (über LFN und LKN)

Linienlager-Auswertung knotenbezogen



Linienlager-Auswertung als Resultierende

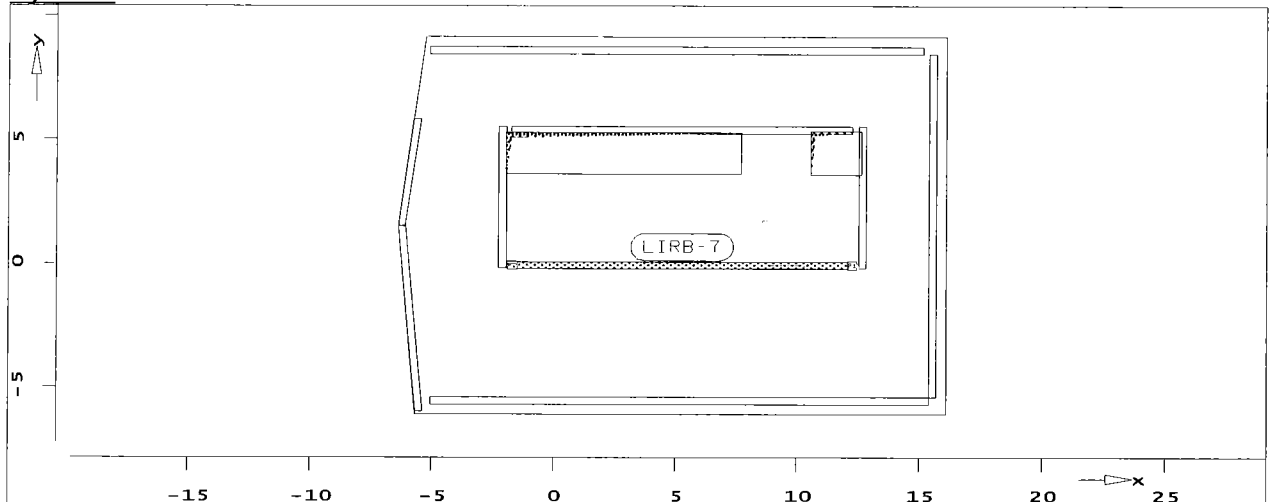


		P1	Mitte	P2
min Fy	[kN/m]	12.81	13.73	14.65
max Fy	[kN/m]	16.78	17.68	18.59

Pos. LIRB-7 - Auflagergröße Fx

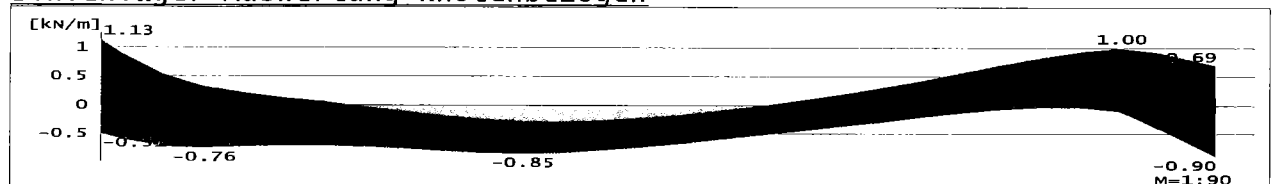
$X_a = 12.27 \text{ m}$, $X_e = -1.69 \text{ m}$
 $Y_a = -0.07 \text{ m}$, $Y_e = -0.07 \text{ m}$
 Länge = 13.96 m
 Translationssteifigkeit in x = $3.00\text{e}+006 \text{ kN/m}^2$

System

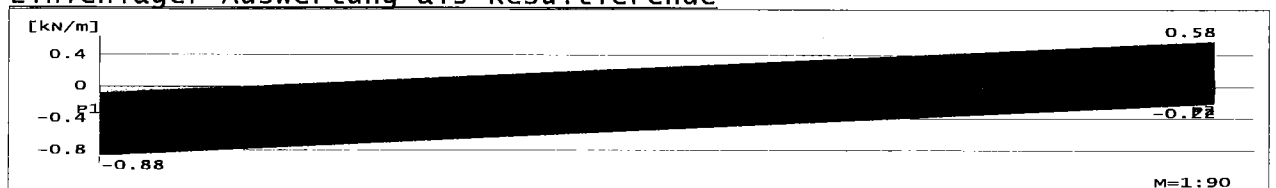


Auswertung mit MIN/MAX-Überlagerung (über LFN und LKN)

Linienlager-Auswertung knotenbezogen



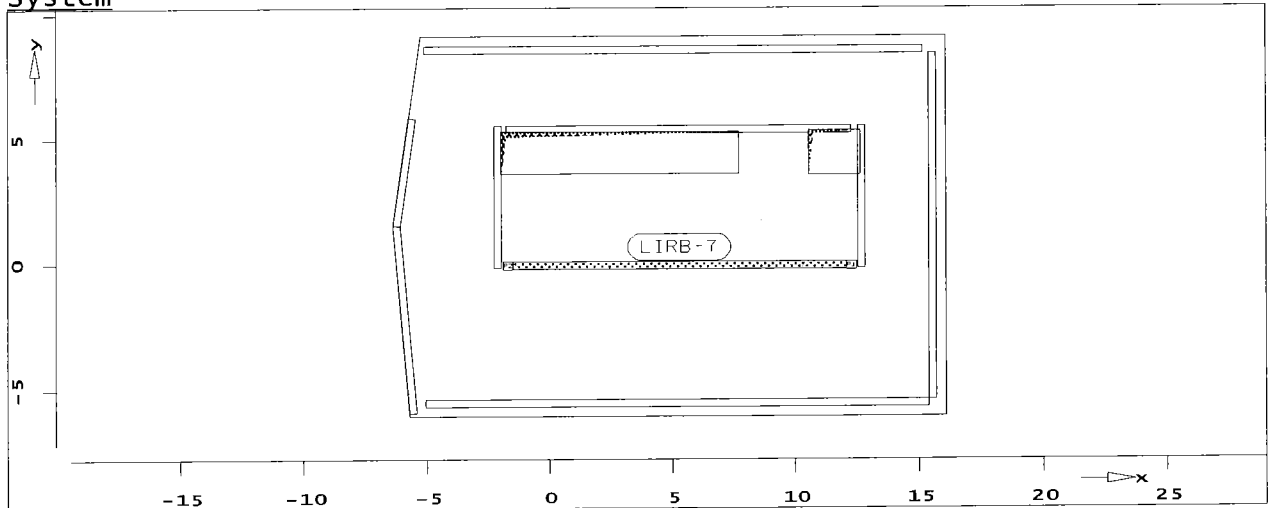
Linienlager-Auswertung als Resultierende



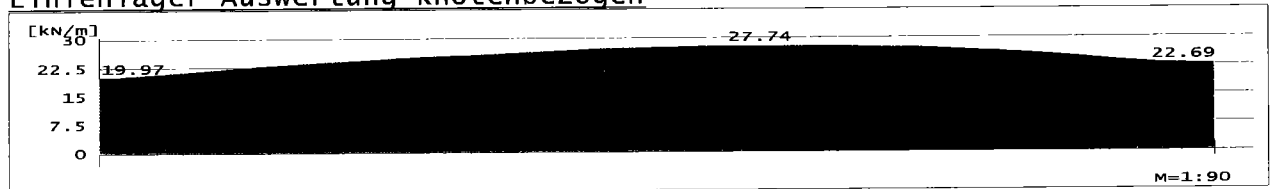
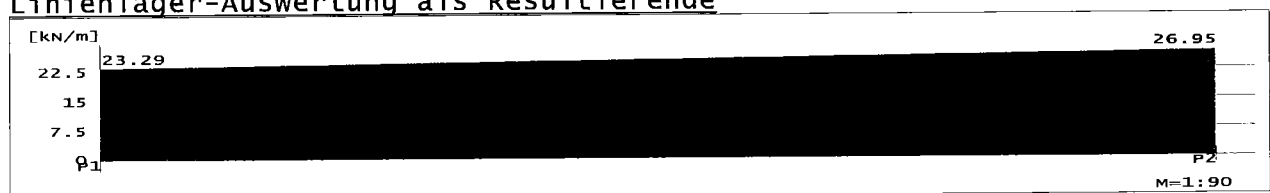
		P1	Mitte	P2
min Fx	[kN/m]	-0.88	-0.55	-0.22
max Fx	[kN/m]	-0.09	0.25	0.58

Pos. LIRB-7 - Auflagergröße Fy
 $x_a = 12.27 \text{ m}, \quad x_e = -1.69 \text{ m}$
 $y_a = -0.07 \text{ m}, \quad y_e = -0.07 \text{ m}$

Länge = 13.96 m

 Translationssteifigkeit in Y = $3.00e+006 \text{ kN/m}^2$
System

Auswertung mit MIN/MAX-Überlagerung (über LFN und LKN)

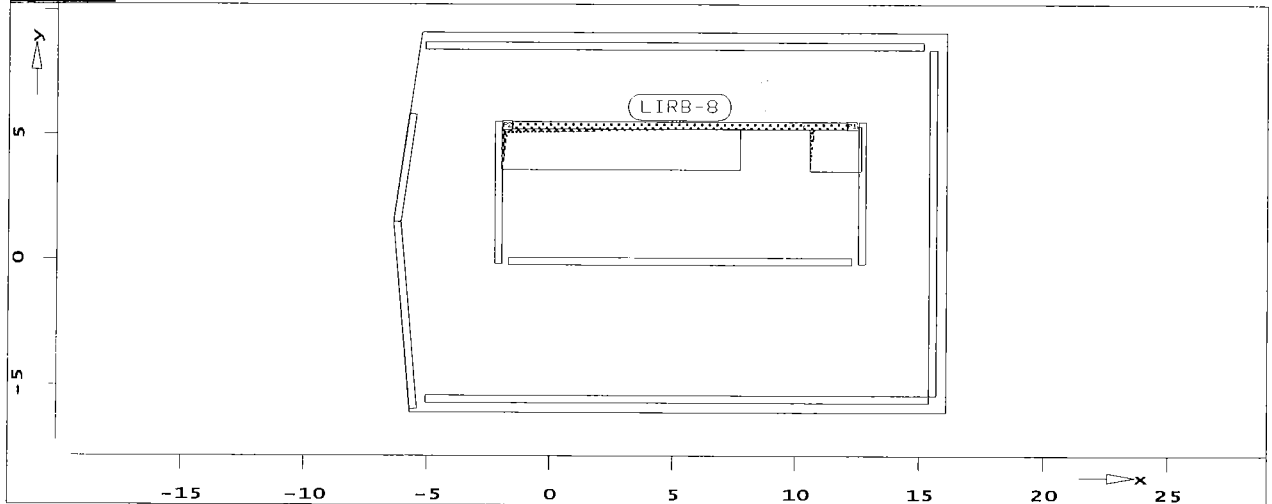
Linienlager-Auswertung knotenbezogen**Linienlager-Auswertung als Resultierende**

		P1	Mitte	P2
min Fy	[kN/m]	22.18	24.05	25.93
max Fy	[kN/m]	23.29	25.12	26.95

Pos. LIRB-8 - Auflagergröße Fx

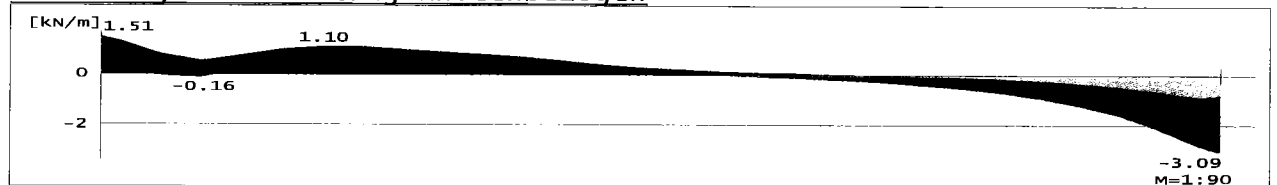
$X_a = 12.26 \text{ m}, \quad X_e = -1.75 \text{ m}$
 $Y_a = 5.38 \text{ m}, \quad Y_e = 5.38 \text{ m}$
 Länge = 14.02 m
 Translationssteifigkeit in X = $3.00\text{e}+006 \text{ kN/m}^2$

System

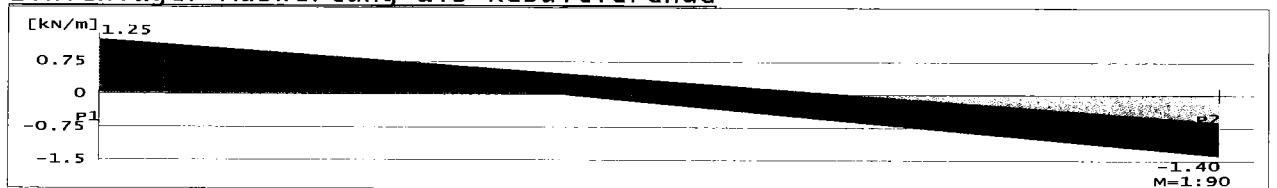


Auswertung mit MIN/MAX-Überlagerung (über LFN und LKN)

Linienlager-Auswertung knotenbezogen



Linienlager-Auswertung als Resultierende

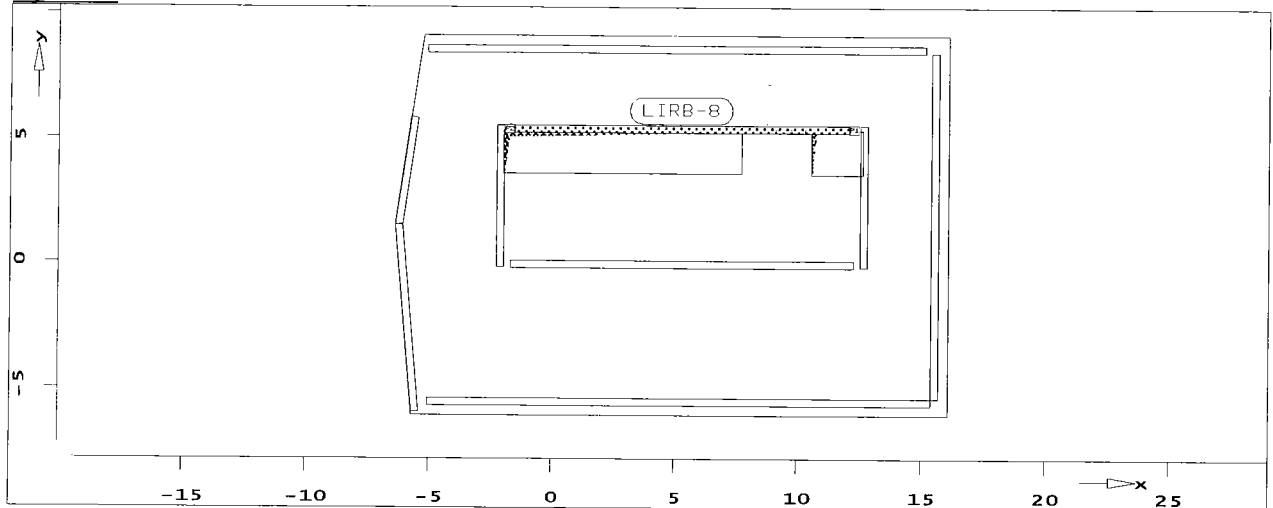


		P1	Mitte	P2
min Fx	[kN/m]	0.94	-0.23	-1.40
max Fx	[kN/m]	1.25	0.32	-0.61

Pos. LIRB-8 - Auflagergröße Fy

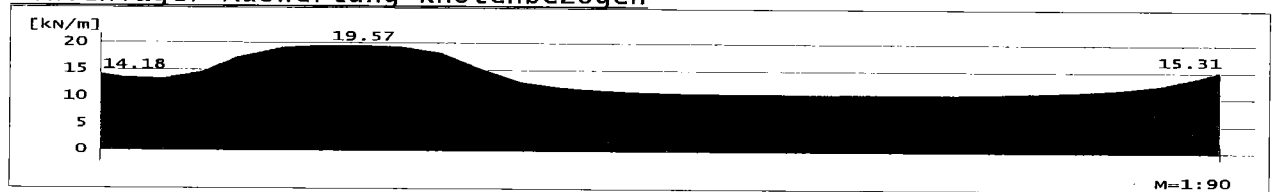
Xa = 12.26 m, Xe = -1.75 m
 Ya = 5.38 m, Ye = 5.38 m
 Länge = 14.02 m
 Translationssteifigkeit in Y = 3.00e+006 kN/m²

System

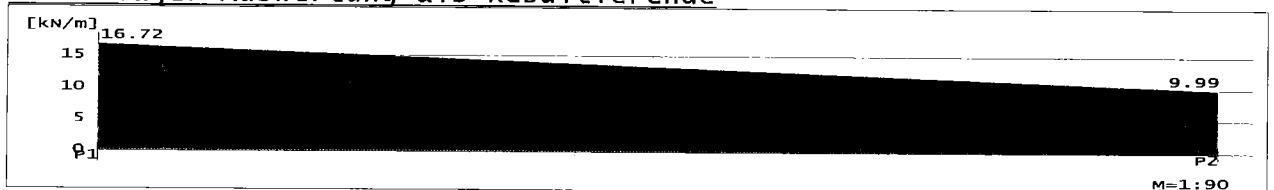


Auswertung mit MIN/MAX-Überlagerung (über LFN und LKN)

Linienlager-Auswertung knotenbezogen



Linienlager-Auswertung als Resultierende



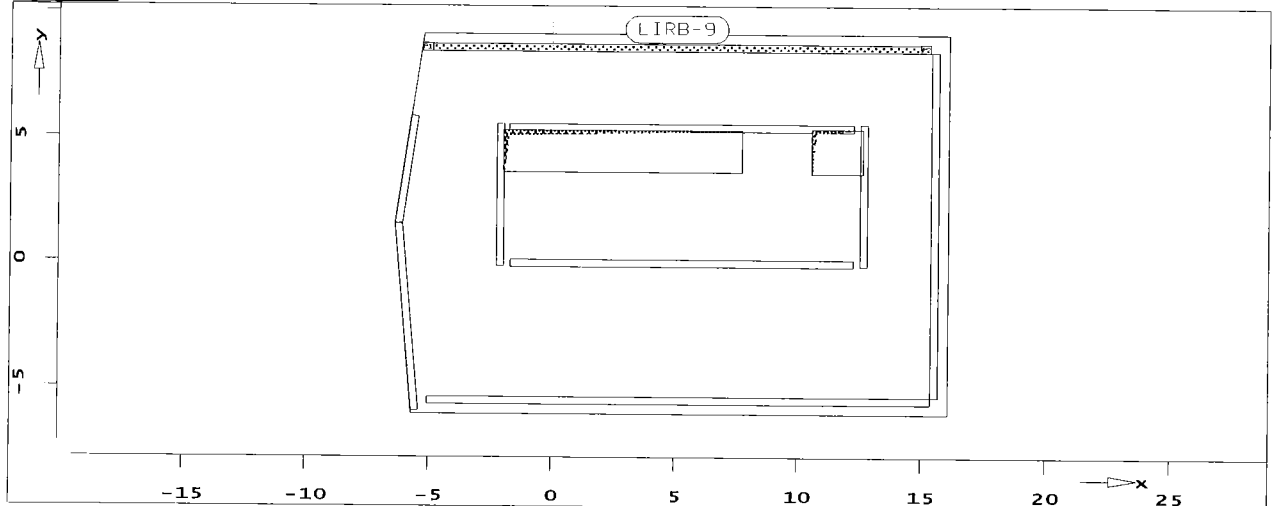
		P1	Mitte	P2
min Fy	[kN/m]	15.41	11.91	8.40
max Fy	[kN/m]	16.72	13.36	9.99

Pos. LIRB-9 - Auflagergröße Fx

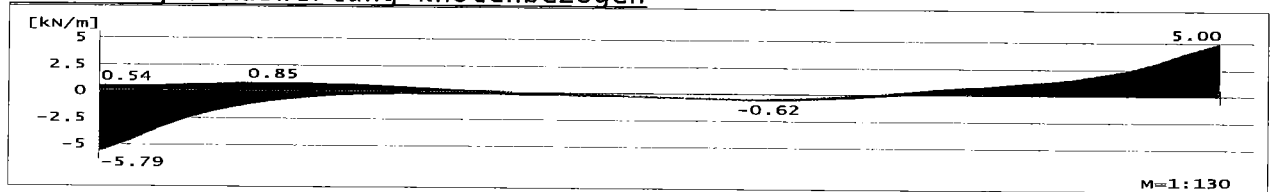
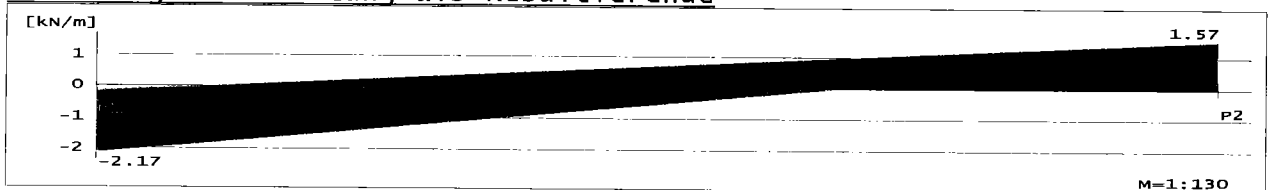
Xa = -5.10 m, Xe = 15.15 m

Ya = 8.58 m, Ye = 8.58 m

Länge = 20.26 m

Translationssteifigkeit in x = 3.00e+006 kN/m²**System**

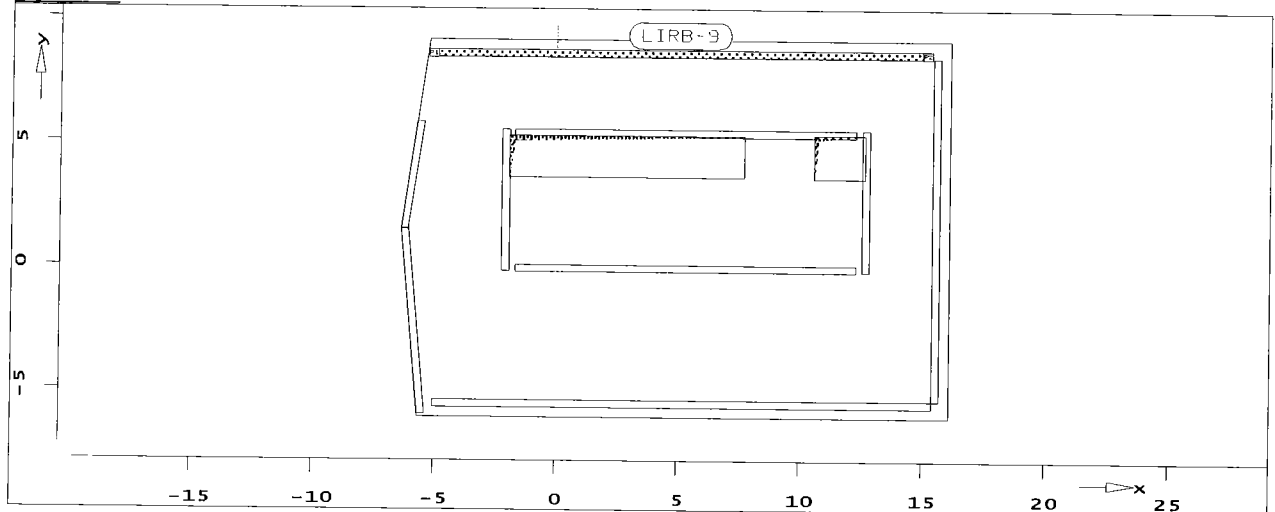
Auswertung mit MIN/MAX-Überlagerung (über LFN und LKN)

Linienlager-Auswertung knotenbezogen**Linienlager-Auswertung als Resultierende**

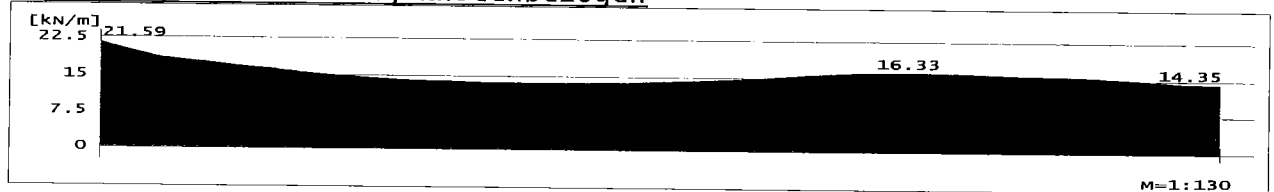
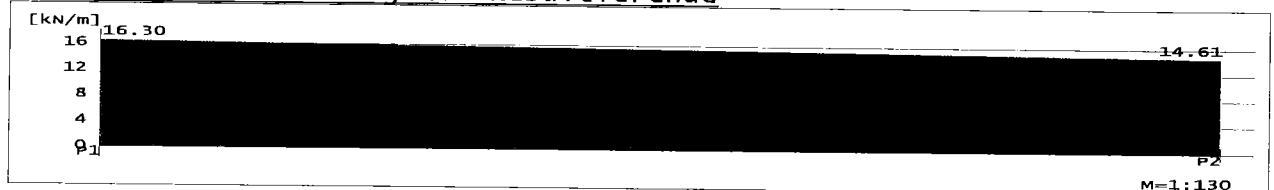
		P1	Mitte	P2
min Fx	[kN/m]	-2.17	-0.54	1.08
max Fx	[kN/m]	-0.19	0.69	1.57

Pos. LIRB-9 - Auflagergröße F_y $X_a = -5.10 \text{ m}, \quad X_e = 15.15 \text{ m}$ $Y_a = 8.58 \text{ m}, \quad Y_e = 8.58 \text{ m}$

Länge = 20.26 m

Translationssteifigkeit in $Y = 3.00\text{e}+006 \text{ kN/m}^2$ **System**

Auswertung mit MIN/MAX-Überlagerung (über LFN und LKN)

Linienlager-Auswertung knotenbezogen**Linienlager-Auswertung als Resultierende**

		P1	Mitte	P2
min F_y	[kN/m]	12.77	11.81	10.86
max F_y	[kN/m]	16.30	15.45	14.61

D PROSPETTO DEI CARICHI/LASTABTRAGUNG

Il successivo calcolo illustra il percorso dei carichi che è necessario soprattutto per il calcolo delle fondazioni necessarie. Degli elementi verranno elaborati e controllati dettagliatamente nei seguenti capitoli prendendo in considerazione ogni carico. Seguono i carichi degli appoggi per i calcoli delle fondazioni.

Die nachfolgende Lastabtragung zeigt den Kraftverlauf auf und ist vor allem für die Fundamentbemessung notwendig. Einzelne Bauteile werden in den nachstehenden Kapiteln nochmals mittels Lastabtragung genauer auf Ihre Belastung bzw. Einwirkungen untersucht.

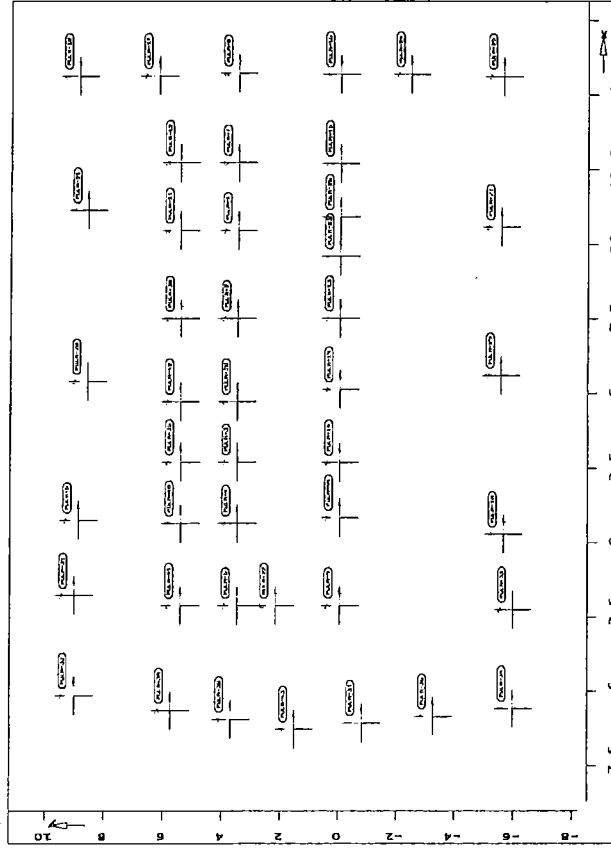
Il calcolo considera parzialmente la diminuzione, secondo EC -1 oppure EC - 2. Le aree e linee di azione sono considerate parzialmente con cambio di appoggio plastico.

Die Lastableitung berücksichtigt teilweise die Abminderungen, die gemäß EC -1 bzw. EC - 2 vorgesehen sind. Einflussbreiten bzw. Einflussflächen werden teilweise mittels plastischen Umlagerungen berücksichtigt.

Lastfallübersicht

Lastfall	Lfn	Typ	Lastfallbeschreibung
LF-1	1	ständig	Lastfall 1
LF-2	2*	veränderlich	Lastfall 2
(DE_01_01)-1	3	veränderlich	Lastfall automatisch generiert

* = leerer Lastfall

Protokoll der Lastübergabe für MicroFe (DE 01 1B.UEB)

Die vertikalen Anteile der Auflagerreaktionen werden lastfallweise zur Lastübernahme bereitgestellt. Einspannmomente bleiben unberücksichtigt.

$LF = 0$: Kleine Lasten ($< 0.01 \text{ kN bzw. kN/m}$) werden nicht lastfallweise ausgegeben.

$LF = \sim$: Lasten bis zu einer Summe von 0.01 kN pro Position werden lastfallweise ausgegeben.

Punktlasten

<u>PULA-1</u>	aus ST_01_01 x = 10.46 m, y = 3.46 m			
LF	PT	LF	PT	
1	[kN]	3	[kN]	
1	-12.260	0	0.00000	
		LF	PT	
		~	[kN]	
			~	0.00000
			LF	PT
			~	[kN]
				~ 0.00000
<u>PULA-2</u>	aus ST_01_2 x = 7.51 m, y = 3.48 m			
LF	PT	LF	PT	
1	[kN]	3	[kN]	
1	-14.047	0	0.00000	
		LF	PT	
		~	[kN]	
			~	0.00000
			LF	PT
			~	[kN]
				~ 0.00000
<u>PULA-3</u>	aus ST_01_3 x = 2.69 m, y = 3.48 m			
LF	PT	LF	PT	
1	[kN]	3	[kN]	
1	-8.615	0	0.00000	
		LF	PT	
		~	[kN]	
			~	0.00000
			LF	PT
			~	[kN]
				~ 0.00000
<u>PULA-4</u>	aus ST_01_4 x = 0.64 m, y = 3.48 m			
LF	PT	LF	PT	
1	[kN]	3	[kN]	
1	-7.907	0	0.00000	
		LF	PT	
		~	[kN]	
			~	0.00000
			LF	PT
			~	[kN]
				~ 0.00000
<u>PULA-5</u>	aus ST_01_5 x = 0.74 m, y = 8.89 m			
LF	PT	LF	PT	
1	[kN]	3	[kN]	
1	-26.701	0	0.00000	
		LF	PT	
		~	[kN]	
			~	0.00000
			LF	PT
			~	[kN]
				~ 0.00000
<u>PULA-6</u>	aus ST_01_6 x = -2.13 m, y = 3.48 m			
LF	PT	LF	PT	
1	[kN]	3	[kN]	
1	-16.148	0	0.00000	
		LF	PT	
		~	[kN]	
			~	0.00000
			LF	PT
			~	[kN]
				~ 0.00000
<u>PULA-7</u>	aus ST_01_7 x = 12.73 m, y = 3.46 m			
LF	PT	LF	PT	
1	[kN]	3	[kN]	
1	-17.742	0	0.00000	
		LF	PT	
		~	[kN]	
			~	0.00000
			LF	PT
			~	[kN]
				~ 0.00000
<u>PULA-8</u>	aus ST_01_8 x = 15.73 m, y = 3.46 m			
LF	PT	LF	PT	
1	[kN]	3	[kN]	
1	-17.742	0	0.00000	
		LF	PT	
		~	[kN]	
			~	0.00000
			LF	PT
			~	[kN]
				~ 0.00000

Proj. Bez.	Decke über OG - Dach	Seite	D - 4
Bez.		FE-Mod.	DE_01_1B
Datum		ProjektS0962 KG Rodeneck	

MicroFe 2008.140

LF	PT	LF	PT	LF	PT	LF	PT
1	-3.000	1	-24.172	0	0.00000	~	0.00000
3	-32.230	3	-79.073	0	0.00000	~	0.00000
aus ST_01_9		aus ST_01_10					
x = -2.13 m, y = -0.05 m		x = 0.27 m, y = -5.66 m					
PULA-9		PULA-10					
LF	PT	LF	PT	LF	PT	LF	PT
1	-3.000	1	-3.000	1	-3.000	1	-3.000
1	-59.305	1	-48.158	1	-48.158	1	-48.158
aus ST_01_11		aus ST_01_12					
x = 10.46 m, y = 5.43 m		x = 12.73 m, y = 5.43 m					
PULA-11		PULA-12					
LF	PT	LF	PT	LF	PT	LF	PT
1	-3.000	1	-3.000	1	-3.000	1	-3.000
1	-21.700	1	-21.700	1	-21.700	1	-21.700
aus ST_01_13		aus ST_01_14					
x = 7.51 m, y = -0.05 m		x = 2.68 m, y = -0.05 m					
PULA-13		PULA-14					
LF	PT	LF	PT	LF	PT	LF	PT
1	-3.000	1	-3.000	1	-3.000	1	-3.000
1	-37.694	1	-36.596	1	-36.596	1	-36.596
aus ST_01_15		aus ST_01_16					
x = 12.71 m, y = -0.05 m		x = 12.71 m, y = -0.05 m					
PULA-15		PULA-16					
LF	PT	LF	PT	LF	PT	LF	PT
1	-3.000	1	-3.000	1	-3.000	1	-3.000
1	-40.796	1	-40.796	1	-40.796	1	-40.796

Proj. Bez.	Decke über OG - Dach	Seite	D - 5
Bez.		FE-Mod.	DE_01_1B
Datum		ProjektS0962 KG Rodeneck	

MicroFe 2008.140

LF	PT	LF	PT	LF	PT	LF	PT
1	-3.000	1	-25.651	0	0.00000	~	0.00000
1	-19.238	1	-19.238	1	-19.238	1	-19.238
aus ST_01_16		aus ST_01_17					
x = 15.70 m, y = -0.05 m		x = 15.65 m, y = 6.17 m					
PULA-16		PULA-17					
LF	PT	LF	PT	LF	PT	LF	PT
1	-3.000	1	-3.000	1	-3.000	1	-3.000
1	-21.298	1	-21.298	1	-21.298	1	-21.298
aus ST_01_18		aus ST_01_19					
x = 15.63 m, y = 8.89 m		x = 5.13 m, y = -0.05 m					
PULA-18		PULA-19					
LF	PT	LF	PT	LF	PT	LF	PT
1	-3.000	1	-3.000	1	-3.000	1	-3.000
1	-22.030	1	-22.030	1	-22.030	1	-22.030
aus ST_01_20		aus ST_01_21					
x = 5.40 m, y = 8.58 m		x = 11.15 m, y = 8.58 m					
PULA-20		PULA-21					
LF	PT	LF	PT	LF	PT	LF	PT
1	-3.000	1	-3.000	1	-3.000	1	-3.000
1	-46.101	1	-46.101	1	-46.101	1	-46.101
aus ST_01_22		aus ST_01_23					
x = -2.13 m, y = 2.16 m		x = 9.59 m, y = -0.05 m					
PULA-22		PULA-23					
LF	PT	LF	PT	LF	PT	LF	PT
1	-3.000	1	-3.000	1	-3.000	1	-3.000
1	-9.835	1	-9.835	1	-9.835	1	-9.835

Proj.Bez	Decke über OG - Dach	MicroFe 2008.140	Seite	D - 6
Bez			FE-Mod.	DE_01_1B
Datum			ProjektS0962 KG Rodeneck	

LF	PT	LF	PT	LF	PT	LF	PT
1	-3.000	1	-27.873	0	0.00000	~	0.00000
PULA-24		aus ST_01_24					
		x = 15.70 m, y = -2.47 m					
LF	PT	LF	PT	LF	PT	LF	PT
1	-3.000	3	-39.919	0	0.00000	~	0.00000
PULA-25		aus ST_01_25					
		x = 15.62 m, y = -5.64 m					
LF	PT	LF	PT	LF	PT	LF	PT
1	-3.000	3	-37.034	0	0.00000	~	0.00000
PULA-26		aus ST_01_26					
		x = 10.91 m, y = -0.05 m					
LF	PT	LF	PT	LF	PT	LF	PT
1	-3.000	3	-28.665	0	0.00000	~	0.00000
PULA-27		aus ST_01_27					
		x = 10.58 m, y = -5.56 m					
LF	PT	LF	PT	LF	PT	LF	PT
1	-3.000	3	-78.799	0	0.00000	~	0.00000
PULA-28		aus ST_01_28					
		x = 4.73 m, y = 3.48 m					
LF	PT	LF	PT	LF	PT	LF	PT
1	-3.000	3	-16.266	0	0.00000	~	0.00000
PULA-29		aus ST_01_29					
		x = 5.60 m, y = -5.56 m					
LF	PT	LF	PT	LF	PT	LF	PT
1	-3.000	3	-77.394	0	0.00000	~	0.00000
PULA-30		aus ST_01_30					
		x = 7.51 m, y = 5.40 m					
LF	PT	LF	PT	LF	PT	LF	PT
1	-3.000	3	-41.377	0	0.00000	~	0.00000

Proj.Bez	Decke über OG - Dach	MicroFe 2008.140	Seite	D - 7
Bez			FE-Mod.	DE_01_1B
Datum			ProjektS0962 KG Rodeneck	

PULA-31		aus ST_01_31					
		x = -1.78 m, y = 9.02 m					
LF	PT	LF	PT	LF	PT	LF	PT
1	-3.000	3	-29.357	0	0.00000	~	0.00000
PULA-32		aus ST_01_32					
		x = -5.15 m, y = 9.02 m					
LF	PT	LF	PT	LF	PT	LF	PT
1	-3.000	3	-23.374	0	0.00000	~	0.00000
PULA-33		aus ST_01_33					
		x = -2.26 m, y = -5.99 m					
LF	PT	LF	PT	LF	PT	LF	PT
1	-3.000	3	-33.786	0	0.00000	~	0.00000
PULA-34		aus ST_01_34					
		x = -5.58 m, y = -5.99 m					
LF	PT	LF	PT	LF	PT	LF	PT
1	-3.000	3	-15.667	0	0.00000	~	0.00000
PULA-35		aus ST_01_35					
		x = 2.69 m, y = 5.40 m					
LF	PT	LF	PT	LF	PT	LF	PT
1	-3.000	3	-27.242	0	0.00000	~	0.00000
PULA-36		aus ST_01_36					
		x = -5.84 m, y = -3.27 m					
LF	PT	LF	PT	LF	PT	LF	PT
1	-3.000	3	-39.694	0	0.00000	~	0.00000
PULA-37		aus ST_01_37					
		x = -6.07 m, y = -0.82 m					
LF	PT	LF	PT	LF	PT	LF	PT
1	-3.000	3	-23.456	0	0.00000	~	0.00000
PULA-38		aus ST_01_38					
		x = -5.94 m, y = 3.69 m					

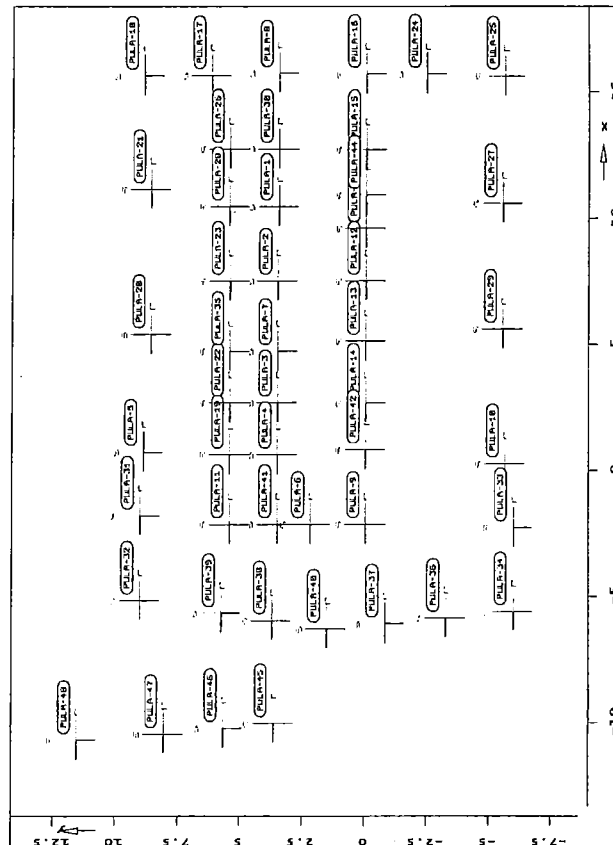
Lastfallübersicht

Lastfall	Lfn	Typ	Lastfallbeschreibung
LF-1	1	ständig	Lastfall 1
LF-2	2*	veränderlich	Lastfall 2
LF-3	3	veränderlich	Lastfall 3
(OE_00_01)-1	4	veränderlich	Lastfall automatisch generiert
(OE_00_02)-1	5	veränderlich	Lastfall automatisch generiert

* = leerer Lastfall

* = leerer Lastfall

Protokoll der Lastübergabe für MicroFe (DE 00 1B.UEB)



Die vertikalen Anteile der Auflagerreaktionen werden lastfallweise zur Lastübernahme bereitgestellt. Einspannmomente bleiben unberücksichtigt.

$LF = 0$: Kleine Lasten ($< 0.01 \text{ kN bzw. kN/m}$) werden nicht lastfallweise ausgegeben.

$LF = \sim$: Lasten bis zu einer Summe von 0.01 kN pro Position werden vernachlässigt; die Auswertung erfolgt getrennt nach positiver und negativer Wirkungsrichtung.

Punktlasten

Proj.Bez	Decke über EG	MicroFe 2008.140	Seite	D-12
Bez			FE-Mod.	DE_00_1B
Datum			ProjektS0962 KG Rodeneck	

LF	PT	LF	PT	LF	PT	LF	PT	LF	PT
1	-3.000	3	-32.201	0	0.00000	~	-0.00085	~	0.00000
1	-67.041	4	-14.959						
PULA-9									
aus ST_00_9									
x = -2.13 m, y = -0.05 m									
LF	PT	LF	PT	LF	PT	LF	PT	LF	PT
1	-3.000	3	-78.928	5	0.608	~	0.00000	~	0.00000
1	-233.348	4	-64.410	0	0.00000				
PULA-10									
aus ST_00_10									
x = 0.27 m, y = -5.66 m									
LF	PT	LF	PT	LF	PT	LF	PT	LF	PT
1	-3.000	3	-64.196	0	0.00000	~	-0.00037	~	0.00000
1	-149.588	4	-36.916						
PULA-11									
aus ST_00_11									
x = -2.13 m, y = 5.40 m									
LF	PT	LF	PT	LF	PT	LF	PT	LF	PT
1	-3.000	3	-46.785	5	13.987	~	0.00000	~	0.00000
1	-117.620	4	-35.075	0	0.00000				
PULA-12									
aus ST_00_12									
x = 7.51 m, y = -0.05 m									
LF	PT	LF	PT	LF	PT	LF	PT	LF	PT
1	-3.000	3	-50.249	0	0.00000	~	0.00000	~	0.00179
1	-145.546	4	-39.323						
PULA-13									
aus ST_00_13									
x = 5.13 m, y = -0.05 m									
LF	PT	LF	PT	LF	PT	LF	PT	LF	PT
1	-3.000	3	-55.683	5	-0.010	~	0.00000	~	0.00000
1	-160.978	4	-43.577	0	0.00000				
PULA-14									
aus ST_00_14									
x = 2.68 m, y = -0.05 m									
LF	PT	LF	PT	LF	PT	LF	PT	LF	PT
1	-3.000	3	-48.810	5	0.274	~	0.00000	~	0.00000
1	-140.404	4	-37.901	0	0.00000				
PULA-15									
aus ST_00_15									
x = 12.71 m, y = -0.05 m									
LF	PT	LF	PT	LF	PT	LF	PT	LF	PT
1	-3.000	3	-54.272	0	0.00000	~	0.00000	~	0.00032
1	-169.583	4	-47.204						

Proj.Bez	Decke über EG	MicroFe 2008.140	Seite	D-13
Bez			FE-Mod.	DE_00_1B
Datum			ProjektS0962 KG Rodeneck	

<u>PULA-16</u>									
aus ST_00_16									
x = 15.70 m, y = -0.05 m									
LF	PT	LF	PT	LF	PT	LF	PT	LF	PT
1	-3.000	3	-25.675	0	0.00000	~	0.00000	~	0.00011
1	-50.434	4	-10.567						
<u>PULA-17</u>									
aus ST_00_17									
x = 15.65 m, y = 6.17 m									
LF	PT	LF	PT	LF	PT	LF	PT	LF	PT
1	-3.000	3	-28.402	0	0.00000	~	0.00095	~	0.00000
1	-67.875	4	-16.340						
<u>PULA-18</u>									
aus ST_00_18									
x = 15.63 m, y = 8.89 m									
LF	PT	LF	PT	LF	PT	LF	PT	LF	PT
1	-3.000	3	-29.361	0	0.00000	~	0.00000	~	0.00440
1	-50.242	4	-9.460						
<u>PULA-19</u>									
aus ST_00_19									
x = 0.64 m, y = 5.40 m									
LF	PT	LF	PT	LF	PT	LF	PT	LF	PT
1	-3.000	3	-28.891	5	-2.912	~	0.00000	~	0.00000
1	-62.111	4	-12.947	0	0.00000				
<u>PULA-20</u>									
aus ST_00_20									
x = 5.40 m, y = 8.58 m									
LF	PT	LF	PT	LF	PT	LF	PT	LF	PT
1	-3.000	3	-61.456	5	0.274	~	0.00000	~	0.00000
1	-134.876	4	-32.272	0	0.00000				
<u>PULA-21</u>									
aus ST_00_21									
x = 11.15 m, y = 8.58 m									
LF	PT	LF	PT	LF	PT	LF	PT	LF	PT
1	-3.000	3	-61.291	5	-0.033	~	0.00000	~	0.00000
1	-135.620	4	-32.482	0	0.00000				
<u>PULA-22</u>									
aus ST_00_22									
x = 2.69 m, y = 5.40 m									
LF	PT	LF	PT	LF	PT	LF	PT	LF	PT
1	-3.000	3	-27.201	5	0.778	~	0.00000	~	0.00000
1	-135.620	4	-32.482	0	0.00000				
<u>PULA-23</u>									
aus ST_00_23									
x = 7.51 m, y = 5.40 m									

Proj.Bez	Decke über EG	Seite	D - 16
Bez		FE-Mod.	DE_00_1B
Datum		ProjektS0962 KG Rodeneck	

MicroFe 2008.140

LF	PT	LF	PT	LF	PT	LF	PT
1	-3.000	3	-19.302	5	-24.103		
1	-76.284	4	-13.019	0	0.00000		
PULA-39		aus ST_00_39					
		x = -5.65 m, y = 5.74 m					

LF	PT	LF	PT	LF	PT	LF	PT
1	-3.000	3	-29.957	5	-38.283		
1	-112.446	4	-18.256	0	0.00000		
PULA-40		aus ST_00_40					
		x = -6.27 m, y = 1.51 m					

LF	PT	LF	PT	LF	PT	LF	PT
1	-3.000	3	-19.606	5	-0.885		
1	-40.663	4	-8.277	0	0.00000		
PULA-41		aus ST_00_41					
		x = -2.13 m, y = 3.48 m					

LF	PT	LF	PT	LF	PT	LF	PT
1	-3.000	3	-21.609	5	1.772		
1	-59.891	4	-15.917	0	0.00000		
PULA-42		aus ST_00_42					
		x = 0.83 m, y = -0.05 m					

LF	PT	LF	PT	LF	PT	LF	PT
1	-3.000	3	-50.079	5	-0.940		
1	-144.539	4	-38.640	0	0.00000		
PULA-43		aus ST_00_43					
		x = 9.59 m, y = -0.05 m					

LF	PT	LF	PT	LF	PT	LF	PT
1	-3.000	3	-37.105	0	0.00000		
1	-109.365	4	-29.450				
PULA-44		aus ST_00_44					
		x = 10.91 m, y = -0.05 m					

LF	PT	LF	PT	LF	PT	LF	PT
1	-3.000	3	-28.866	0	0.00000		
1	-83.288	4	-21.989				
PULA-45		aus ST_00_45					
		x = -10.02 m, y = 3.64 m					

LF	PT	LF	PT	LF	PT	LF	PT
1	-3.000	4	1.015	0	0.00000		
1	-9.489	5	-12.190				

Proj.Bez	Decke über EG	Seite	D - 17
Bez		FE-Mod.	DE_00_1B
Datum		ProjektS0962 KG Rodeneck	

MicroFe 2008.140

LF	PT	LF	PT	LF	PT	LF	PT
1	-3.000	4	0.795	0	0.00000		
1	-18.216	5	-20.540				
PULA-46		aus ST_00_X2					
		x = -10.21 m, y = 5.66 m					

LF	PT	LF	PT	LF	PT	LF	PT
1	-3.000	4	0.324	0	0.00000		
1	-29.756	5	-30.622				
PULA-47		aus ST_00_X3					
		x = -10.44 m, y = 8.05 m					

LF	PT	LF	PT	LF	PT	LF	PT
1	-3.000	4	0.368	0	0.00000		
1	-35.510	5	-36.490				
PULA-48		aus ST_00_X4					
		x = -10.67 m, y = 11.54 m					

Vernachlässigte Punktlasten (Zusammenfassung)

Folgende Punktlastanteile werden wegen ihres geringen Einflusses bei der Lastübergabe vernachlässigt:

LF	PT	LF	PT
3	0.00489	5	-0.00270

Protokoll der Lastübergabe für BauStatik

E PILASTRI/STÜTZEN

E.1 Generalità/Allgemeines

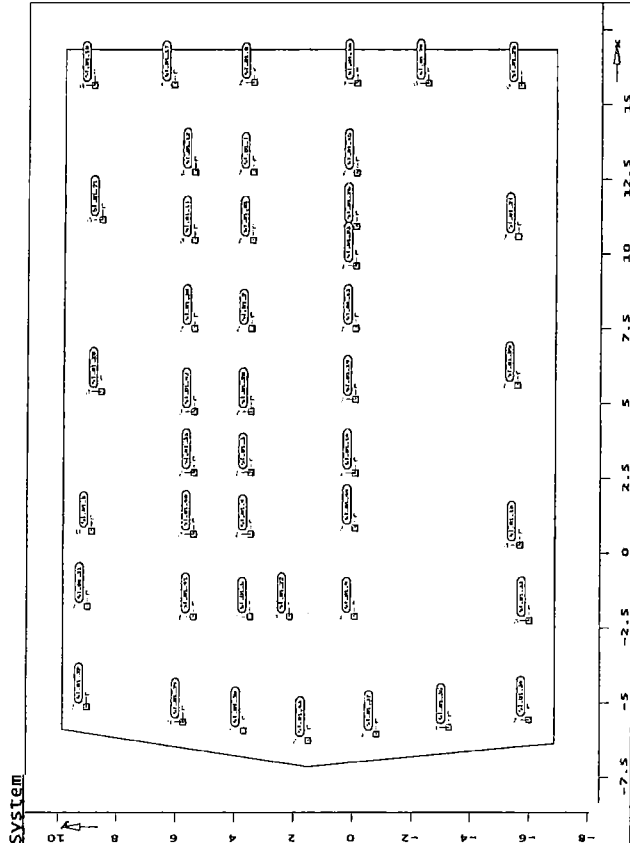
Il seguente calcolo illustra pilastri che Die nachfolgende Berechnung non sono validi come pilastri standard. berücksichtigt Stützen, die nicht als Pilastri standard sono armati Standardstützen gelten. Standardstützen costruttivamente secondo EC – 2 con sind nur konstruktiv gemäß EC - 2 lunghezze minime e staffature. bewehrte Stützen mit Mindestlängsbewehrung und Mindestquerbewehrung sowie ohne Verbügelung.

E.2 Dettagli costruttivi/Konstruktive Details

Vedi/siehe DM cap. 4.1.6

Proj.Bez	Decke über OG - Dach	Seite	E - 3
Bez.	Decke über OG - Dach	FE-Mod.	DE_01_1B
Datum	MicroFe 2008.140	Projekt	S0962 KG Rodeneck

Stützenkräfte



Auswertung mit MIN/MAX-Überlagerung

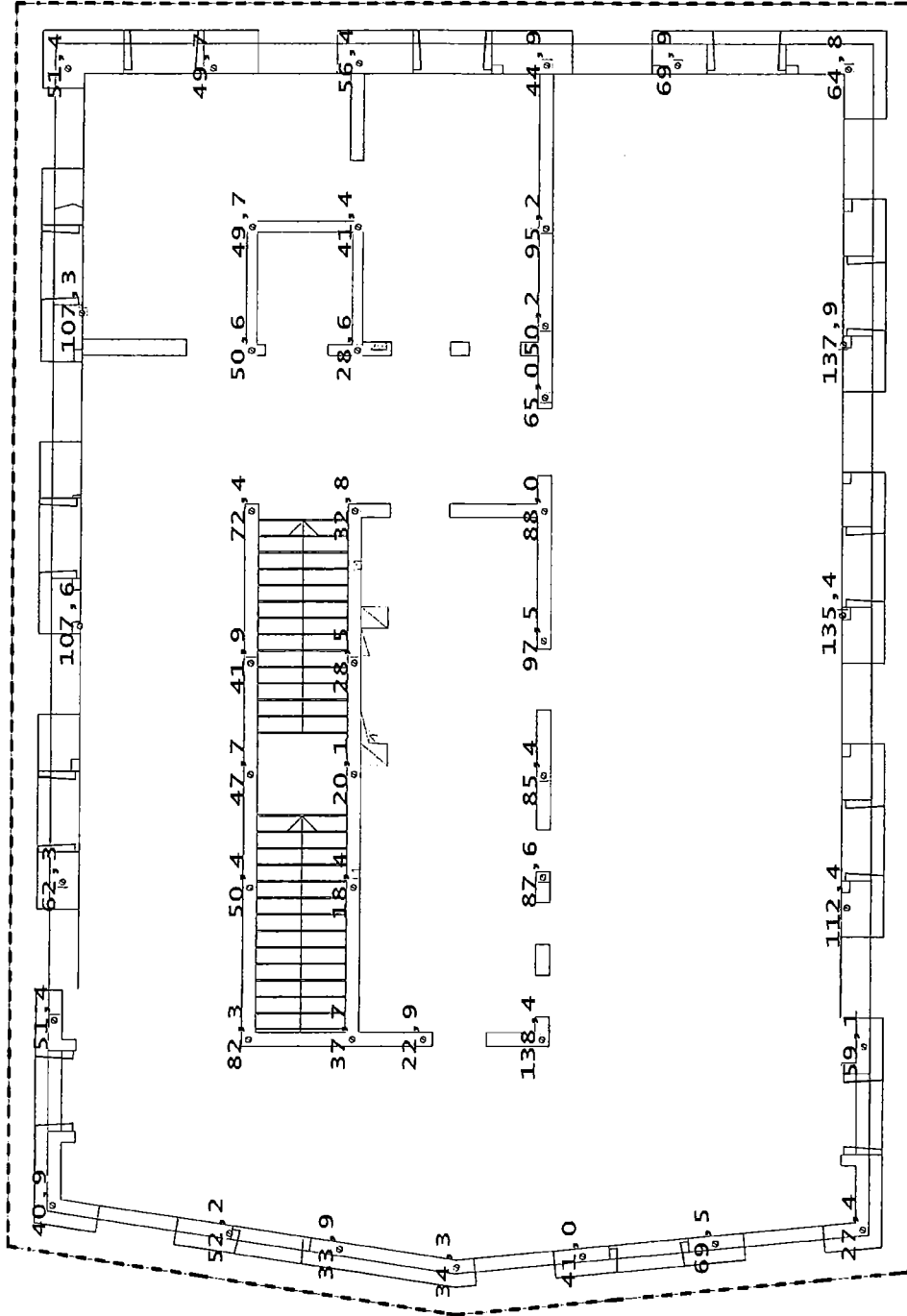
Position	X	Y	FT [kN]	MR	MS [kNm]
ST_01_01	10.46	3.46	min 12.26 max 28.61	0.00	0.00
ST_01_02	7.51	3.48	min 14.05 max 32.78	0.00	0.00
ST_01_03	2.69	3.48	min 8.61 max 20.10	0.00	0.00
ST_01_04	0.64	3.48	min 7.91 max 18.45	0.00	0.00
ST_01_05	0.74	8.89	min 26.70 max 62.30	0.00	0.00
ST_01_06	-2.13	3.48	min 16.15 max 37.68	0.00	0.00

Proj.Bez	Decke über OG - Dach	Seite	E - 4
Bez.	Decke über OG - Dach	FE-Mod.	DE_01_1B
Datum	MicroFe 2008.140	Projekt	S0962 KG Rodeneck

Position	X	Y	FT [kN]	MR	MS [kNm]
ST_01_07	12.73	3.46	min 17.74 max 41.40	0.00	0.00
ST_01_08	15.73	3.46	min 24.17 max 56.40	0.00	0.00
ST_01_09	-2.13	-0.05	min 59.31 max 138.38	0.00	0.00
ST_01_10	0.27	-5.66	min 48.16 max 112.37	0.00	0.00
ST_01_11	10.46	5.43	min 21.70 max 50.63	0.00	0.00
ST_01_12	12.73	5.43	min 21.30 max 49.70	0.00	0.00
ST_01_13	7.51	-0.05	min 37.69 max 87.95	0.00	0.00
ST_01_14	2.68	-0.05	min 36.60 max 85.39	0.00	0.00
ST_01_15	12.71	-0.05	min 40.80 max 95.19	0.00	0.00
ST_01_16	15.70	-0.05	min 19.24 max 44.89	0.00	0.00
ST_01_17	15.65	6.17	min 21.30 max 49.69	0.00	0.00
ST_01_18	15.63	8.89	min 22.03 max 51.40	0.00	0.00
ST_01_19	5.13	-0.05	min 41.77 max 97.46	0.00	0.00
ST_01_20	5.40	8.58	min 46.10 max 107.57	0.00	0.00
ST_01_21	11.15	8.58	min 45.98 max 107.29	0.00	0.00
ST_01_22	-2.13	2.16	min 9.83 max 22.95	0.00	0.00
ST_01_23	9.59	-0.05	min 27.87 max 65.04	0.00	0.00
ST_01_24	15.70	-2.47	min 29.94 max 69.86	0.00	0.00
ST_01_25	15.62	-5.64	min 27.78 max 64.81	0.00	0.00
ST_01_26	10.91	-0.05	min 21.50 max 50.16	0.00	0.00

Proj.Bez	Decke über OG - Dach	Seite	E - 5
Bez.		FE-Mod	DE_01_1B
Datum	MicroFe 2008.140	Projekt	S0962 KG Rodeneck

Position	X	Y	FT	MR	MS
		[m]	[kN]		[kNm]
ST_01_27	10.58	-5.56	min 59.10 max 137.90	0.00 0.00	0.00 0.00
ST_01_28	4.73	3.48	min 12.20 max 28.47	0.00 0.00	0.00 0.00
ST_01_29	5.60	-5.56	min 58.05 max 135.44	0.00 0.00	0.00 0.00
ST_01_30	7.51	5.40	min 31.03 max 72.41	0.00 0.00	0.00 0.00
ST_01_31	-1.78	9.02	min 22.02 max 51.38	0.00 0.00	0.00 0.00
ST_01_32	-5.15	9.02	min 17.53 max 40.90	0.00 0.00	0.00 0.00
ST_01_33	-2.26	-5.99	min 25.34 max 59.13	0.00 0.00	0.00 0.00
ST_01_34	-5.58	-5.99	min 11.75 max 27.42	0.00 0.00	0.00 0.00
ST_01_35	2.69	5.40	min 20.43 max 47.67	0.00 0.00	0.00 0.00
ST_01_36	-5.84	-3.27	min 29.77 max 69.46	0.00 0.00	0.00 0.00
ST_01_37	-6.07	-0.82	min 17.59 max 41.05	0.00 0.00	0.00 0.00
ST_01_38	-5.94	3.69	min 14.52 max 33.88	0.00 0.00	0.00 0.00
ST_01_39	-5.65	5.74	min 22.39 max 52.24	0.00 0.00	0.00 0.00
ST_01_40	0.64	5.40	min 21.60 max 50.40	0.00 0.00	0.00 0.00
ST_01_41	-2.13	5.40	min 35.28 max 82.32	0.00 0.00	0.00 0.00
ST_01_42	4.73	5.40	min 17.95 max 41.87	0.00 0.00	0.00 0.00
ST_01_43	-6.27	1.51	min 14.71 max 34.33	0.00 0.00	0.00 0.00
ST_01_44	0.83	-0.05	min 37.53 max 87.57	0.00 0.00	0.00 0.00



Stützenkräfte

Lagerkraft in t-Richtung in [kN]

Maßstab: 1:125
MicroFe 2008.140

BauCon - Dr. Ing. Simon Neulichedl - www.baucon.it

MAX aus LFN/LKN-Überlagerung
MAX = 138.4, MIN = 18.4

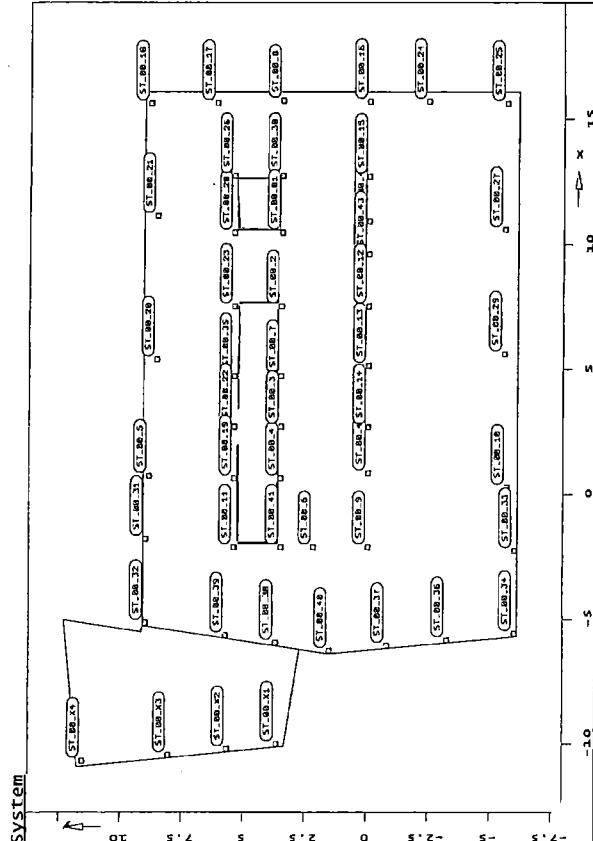
Decke über OG - Dach

Projekt S0962 KG Rodeneck
FE-Modell DE_01_1B

Datum
Seite E - 6

Proj. Bez.	Decke über EG	Seite	E-7
Bez.		FE-Mod.	DE_00_1B
Datum		Projekt	S0962 KG Rodeneck

Stützenkräfte



Auswertung mit MIN/MAX-Überlagerung

Position	X	Y	Ft [kN]	Mr	Ms [kNm]
ST_00_01	10.46	3.46	min 35.20 max 59.03	0.00	0.00
ST_00_02	7.51	3.48	min 59.07 max 93.62	0.00	0.00
ST_00_03	2.69	3.48	min 45.16 max 69.82	0.00	0.00
ST_00_04	0.64	3.48	min 30.48 max 49.37	0.00	0.00
ST_00_05	0.74	8.89	min 82.30 max 139.62	0.00	0.00
ST_00_06	-2.13	2.16	min 29.89 max 54.63	0.00	0.00
ST_00_07	4.73	3.48	min 39.75 max 65.24	0.00	0.00

Proj. Bez.	Decke über EG	Seite	E-8
Bez.		FE-Mod.	DE_00_1B
Datum		Projekt	S0962 KG Rodeneck

MicroFe 2008.140

Position	X	Y	Ft [kN]	Mr	Ms [kNm]
ST_00_08	15.73	3.46	min 67.04 max 114.20	0.00	0.00
ST_00_09	-2.13	-0.05	min 232.74 max 376.69	0.00	0.00
ST_00_10	0.27	-5.66	min 149.59 max 250.70	0.00	0.00
ST_00_11	-2.13	5.40	min 103.63 max 199.48	0.00	0.00
ST_00_12	7.51	-0.05	min 145.54 max 235.12	0.00	0.00
ST_00_13	5.13	-0.05	min 160.98 max 260.25	0.00	0.00
ST_00_14	2.68	-0.05	min 140.13 max 227.12	0.00	0.00
ST_00_15	12.71	-0.05	min 169.58 max 271.06	0.00	0.00
ST_00_16	15.70	-0.05	min 50.43 max 86.68	0.00	0.00
ST_00_17	15.65	6.17	min 67.87 max 112.62	0.00	0.00
ST_00_18	15.63	8.89	min 50.24 max 89.06	0.00	0.00
ST_00_19	0.64	5.40	min 62.11 max 106.86	0.00	0.00
ST_00_20	5.40	8.58	min 134.60 max 228.60	0.00	0.00
ST_00_21	11.15	8.58	min 135.62 max 229.43	0.00	0.00
ST_00_22	2.69	5.40	min 106.54 max 166.28	0.00	0.00
ST_00_23	7.51	5.40	min 117.68 max 190.44	0.00	0.00
ST_00_24	15.70	-2.47	min 95.58 max 158.98	0.00	0.00
ST_00_25	15.62	-5.64	min 67.49 max 118.29	0.00	0.00
ST_00_26	12.73	5.43	min 81.74 max 131.72	0.00	0.00
ST_00_27	10.58	-5.56	min 184.00 max 308.50	0.00	0.00

Proj.Bez	Decke über EG	Seite	E - 9
Bez		FE-Mod.	DE_00_1B
Datum		Projekt	S0962 KG Rodeneck

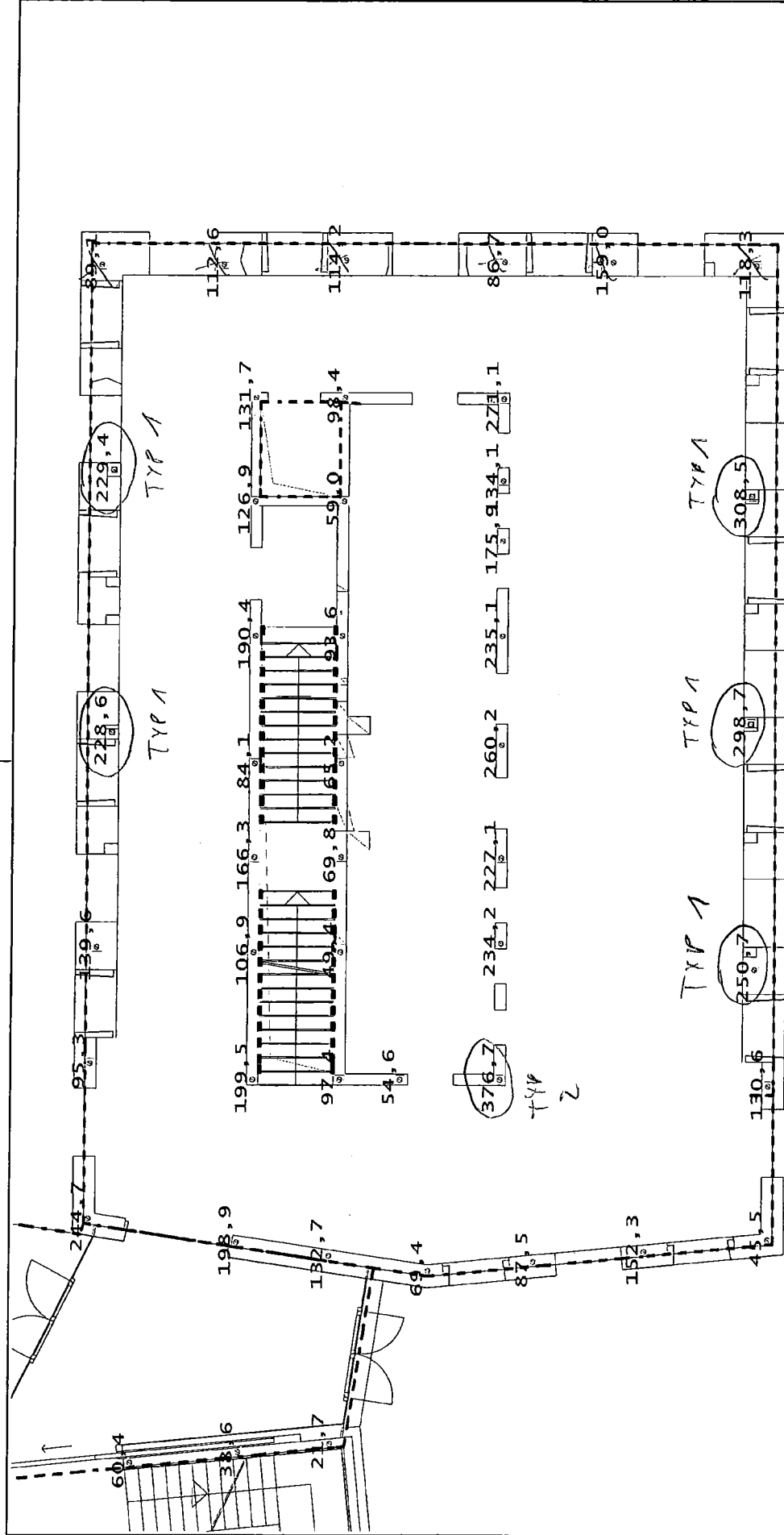
MicroFe 2008.140

Position	X	Y	FT	Mr	MS
		[m]	[kN]		[kNm]
ST_00_28	10.46	5.43	77.95	0.00	0.00
		min	max		
ST_00_29	5.60	-5.56	177.62	0.00	0.00
		min	max		
ST_00_30	12.73	3.46	60.00	0.00	0.00
		min	max		
ST_00_31	-1.78	9.02	38.49	0.00	0.00
		min	max		
ST_00_32	-5.15	9.02	128.30	0.00	0.00
		min	max		
ST_00_33	-2.26	-5.99	78.09	0.00	0.00
		min	max		
ST_00_34	-5.58	-5.99	25.68	0.00	0.00
		min	max		
ST_00_35	4.73	5.40	49.44	0.00	0.00
		min	max		
ST_00_36	-5.84	-3.27	90.77	0.00	0.00
		min	max		
ST_00_37	-6.07	-0.82	51.66	0.00	0.00
		min	max		
ST_00_38	-5.94	3.69	76.28	0.00	0.00
		min	max		
ST_00_39	-5.65	5.74	112.45	0.00	0.00
		min	max		
ST_00_40	-6.27	1.51	40.66	0.00	0.00
		min	max		
ST_00_41	-2.13	3.48	58.12	0.00	0.00
		min	max		
ST_00_42	0.83	-0.05	144.54	0.00	0.00
		min	max		
ST_00_43	9.59	-0.05	109.36	0.00	0.00
		min	max		
ST_00_44	10.91	-0.05	83.29	0.00	0.00
		min	max		
ST_00_X1	-10.02	3.64	8.47	0.00	0.00
		min	max		
ST_00_X2	-10.21	5.66	17.41	0.00	0.00
		min	max		

Proj.Bez	Decke über EG	Seite	E - 10
Bez		FE-Mod.	DE_00_1B
Datum		Projekt	S0962 KG Rodeneck

MicroFe 2008.140

Position	X	Y	FT	Mr	MS
		[m]	[kN]		[kNm]
ST_00_X3	-10.44	8.05	29.43	0.00	0.00
		min	max		
ST_00_X4	-10.67	11.54	35.14	0.00	0.00
		min	max		



Stützenkräfte

Lagerkraft in t-Richtung in [kN]

Maßstab: 1:125
MicroFe 2008.140

BauCon - Dr. Ing. Simon Neulichedl - www.baucon.it

MAX aus LFN/LKN-Überlagerung
MAX = 376.7, MIN = 21.7

Decke über EG

Projekt	S0962 KG Rodeneck	Datum
FE-Modell	DE_00_1B	Seite
		E - 11

Typ 1

Schneider Bautabellen für Ingenieure, 17. Auflage, Werner Verlag

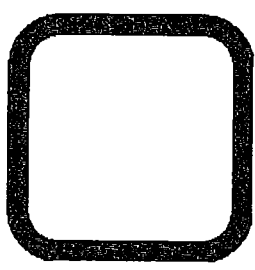
Info

- ☒ I-Profile
 - Querschnittswerte
 - V-N-M Interaktionen
 - Knicken
- ☒ Kreisförmige Hohlprofile
 - Querschnittswerte
 - Grenzschnittgrößen
 - Knicken
- ☒ Rechteckhohlprofile
 - Querschnittswerte
 - Grenzschnittgrößen
 - Knicken

Rechteckhohlprofile.Knicken

120 x 120 x 10 kaltgefertigt

a	120	mm		
b	120	mm		
t	10	mm		
r _o	25	mm	f _{y,k}	235 N/mm
r _i	15	mm	γ _M	1,1



Biegeknicken: y-Achse

N _z	450	kN
L	3,3	m
β _y	1	
N _{y,Rd}	626,2	kN
M _{y,d}	0	kNm
β _m	1	
TSN	0,719	

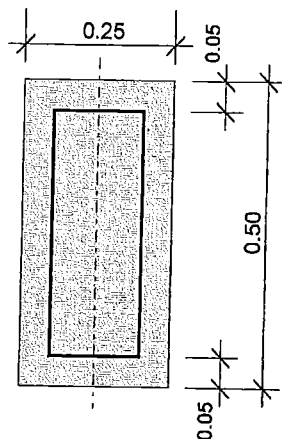
Biegeknicken: z-Achse

N _z	450	kN
L	3,3	m
β _z	1	
N _{z,Rd}	626,2	kN
M _{z,d}	0	kNm
β _m	1	
TSN	0,719	

Aktualisiere

BETONBEMESSUNG mit ConDim™ V 5.04**Bauteil:** Stützen EG**Position:** Typ 2**Norm:** EC 2**Beton:** C25/30**Bewehrung:** BSt 420

Druck negativ !

Lastsicherheit: $\gamma_f = 1.45$ **Bemessungsschnittgrößen:** $M_d = 0.00 \text{ kNm}$ $N_d = -551.00 \text{ kN}$ $Q_d = 0.00 \text{ kN}$ $T_d = 0.00 \text{ kNm}$ **Gebrauchsschnittgrößen:** $M = 0.00 \text{ kNm}$ $N = -380.00 \text{ kN}$ $Q = 0.00 \text{ kN}$ $T = 0.00 \text{ kNm}$ **Querschnitt** Maße in [m]min $A_s = 3.75 \text{ cm}^2$ **Bemessung für Biegung und Längskraft**

Erforderliche Bewehrung:

erf $A_s = 0.00 \text{ cm}^2 = 0.00 \text{ cm}^2/\text{m}$

Mindestbewehrung:

min $A_s = 3.75 \text{ cm}^2 = 3.41 \text{ cm}^2/\text{m}$

Gewählte Bewehrung:

vorh $A_s = 4.52 \text{ cm}^2 = 4.11 \text{ cm}^2/\text{m} \quad (4\phi 12)$ **Stabilitätsberechnung um y-Achse:**

Modellstützenverfahren nach EC 2 / 4.3.5.6.3

Knicklänge:

 $L_{ky} = 3.30 \text{ m}$

kein Einfluß der Theorie 2. Ordnung

Schlankheit:

 $\lambda_y = 23$

Ausmitte 1. Ordnung:

 $e_0 = 0.0000 \text{ m}$

Imperfektion:

 $e_a = 0.0500 \text{ m}$ Gesamtausmitte ($\geq h/10$): $e_{tot} = 0.0500 \text{ m}$ **Stabilitätsberechnung um z-Achse:**

Modellstützenverfahren nach EC 2 / 4.3.5.6.3

Knicklänge:

 $L_{kz} = 3.30 \text{ m}$

Ausmitte 1. Ordnung:

 $e_0 = 0.0000 \text{ m}$

Schlankheit:

 $\lambda_z = 46$

Ausmitte 2. Ordnung:

 $e_2 = 0.0221 \text{ m}$

Imperfektion:

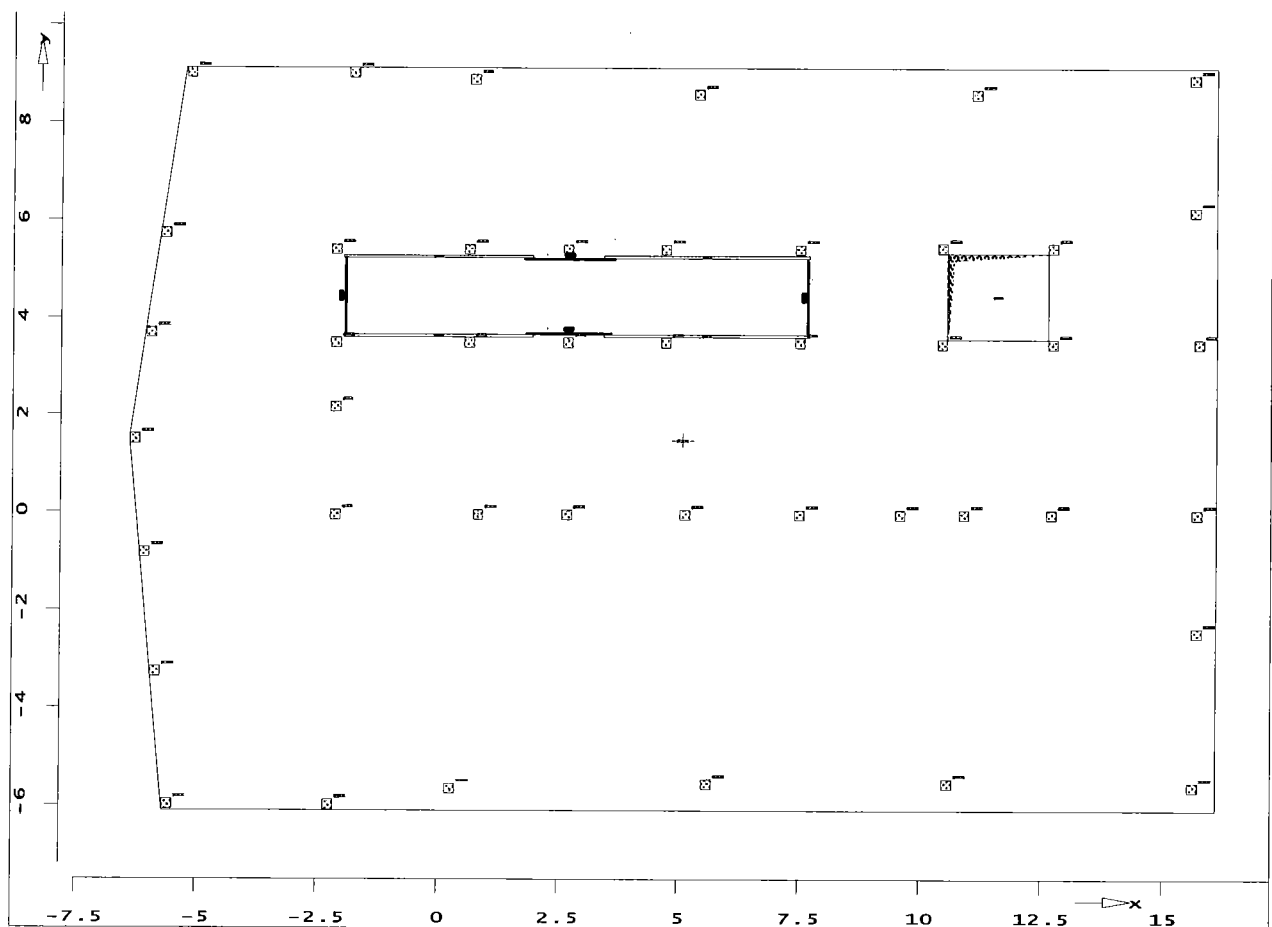
 $e_a = 0.0083 \text{ m}$ Gesamtausmitte ($\geq h/10$): $e_{tot} = 0.0303 \text{ m}$

\Rightarrow in Wände keine
zusätzliche Bewehrung

F SOLAI/DECKEN

Il seguente calcolo illustra solai che non sono validi come solai standard. Solai standard sono armati costruttivamente secondo EC – 2 con lunghezze minime e staffature.

Die nachfolgende Berechnung berücksichtigt Decken, die nicht als Standarddecken gelten. Standarddecken sind nur konstruktiv gemäß EC - 2 bewehrte Decken mit Mindestlängsbewehrung und Mindestquerbewehrung sowie ohne Verbügelung.

Positionsplan**Pos. DE 00 01 - Plattenbereich**

System
 $x = -5.68 \quad 16.09 \quad 16.10 \quad 16.09 \quad -5.25 \text{ m}$
 $y = -6.10 \quad -6.10 \quad 1.81 \quad 9.12 \quad 9.12 \text{ m}$
 $x = -6.39 \text{ m}$
 $y = 1.53 \text{ m}$

Material
 Isotrope Platte
 Dicke = 20.00 cm
 Wichte = 25.00 kN/m³
 E-Modul = 3.05e+007 kN/m²
 Mue = 0.20

Pos. ST 00 01 - Rechteckstütze

System
 $x = 10.46 \text{ m}, \quad b = 0.20 \text{ m}$
 $y = 3.46 \text{ m}, \quad d = 0.20 \text{ m}$

Lagerung
 Druck-/Zugfeder
 Transl.steifigkeit in t-Richtung = 9.00e+006 kN/m
 (A = 0.040 m², h = 3.00 m, E-Mod = 3.05e+007 kN/m²)
 (Wichte = 25.00 kN/m³ für Lastweiterleitung)

Pos. ST 00 2 - Rechteckstütze

System $x = 7.51 \text{ m}, b = 0.20 \text{ m}$
 $y = 3.48 \text{ m}, d = 0.20 \text{ m}$

Lagerung Druck-/Zugfeder
 Transl.steifigkeit in t-Richtung = $9.00\text{e}+006 \text{ kN/m}$
 ($A = 0.040 \text{ m}^2, h = 3.00 \text{ m}, E\text{-Mod} = 3.05\text{e}+007 \text{ kN/m}^2$)
 (Wichte = 25.00 kN/m^3 für Lastweiterleitung)

Pos. ST 00 3 - Rechteckstütze

System $x = 2.69 \text{ m}, b = 0.20 \text{ m}$
 $y = 3.48 \text{ m}, d = 0.20 \text{ m}$

Lagerung Druck-/Zugfeder
 Transl.steifigkeit in t-Richtung = $9.00\text{e}+006 \text{ kN/m}$
 ($A = 0.040 \text{ m}^2, h = 3.00 \text{ m}, E\text{-Mod} = 3.05\text{e}+007 \text{ kN/m}^2$)
 (Wichte = 25.00 kN/m^3 für Lastweiterleitung)

Pos. ST 00 4 - Rechteckstütze

System $x = 0.64 \text{ m}, b = 0.20 \text{ m}$
 $y = 3.48 \text{ m}, d = 0.20 \text{ m}$

Lagerung Druck-/Zugfeder
 Transl.steifigkeit in t-Richtung = $9.00\text{e}+006 \text{ kN/m}$
 ($A = 0.040 \text{ m}^2, h = 3.00 \text{ m}, E\text{-Mod} = 3.05\text{e}+007 \text{ kN/m}^2$)
 (Wichte = 25.00 kN/m^3 für Lastweiterleitung)

Pos. ST 00 5 - Rechteckstütze

System $x = 0.74 \text{ m}, b = 0.20 \text{ m}$
 $y = 8.89 \text{ m}, d = 0.20 \text{ m}$

Lagerung Druck-/Zugfeder
 Transl.steifigkeit in t-Richtung = $9.00\text{e}+006 \text{ kN/m}$
 ($A = 0.040 \text{ m}^2, h = 3.00 \text{ m}, E\text{-Mod} = 3.05\text{e}+007 \text{ kN/m}^2$)
 (Wichte = 25.00 kN/m^3 für Lastweiterleitung)
 mit Verfeinerung und Koppelfederelement

Pos. ST 00 6 - Rechteckstütze

System $x = -2.13 \text{ m}, b = 0.20 \text{ m}$
 $y = 2.16 \text{ m}, d = 0.20 \text{ m}$

Lagerung Druck-/Zugfeder
 Transl.steifigkeit in t-Richtung = $9.00\text{e}+006 \text{ kN/m}$
 ($A = 0.040 \text{ m}^2, h = 3.00 \text{ m}, E\text{-Mod} = 3.05\text{e}+007 \text{ kN/m}^2$)
 (Wichte = 25.00 kN/m^3 für Lastweiterleitung)
 mit Verfeinerung und Koppelfederelement

Pos. ST 00 7 - Rechteckstütze

System $x = 4.73 \text{ m}, b = 0.20 \text{ m}$
 $y = 3.48 \text{ m}, d = 0.20 \text{ m}$

Lagerung Druck-/Zugfeder
 Transl.steifigkeit in t-Richtung = $9.00\text{e}+006 \text{ kN/m}$
 ($A = 0.040 \text{ m}^2, h = 3.00 \text{ m}, E\text{-Mod} = 3.05\text{e}+007 \text{ kN/m}^2$)
 (Wichte = 25.00 kN/m^3 für Lastweiterleitung)

Pos. ST 00 8 - Rechteckstütze

System $x = 15.73 \text{ m}, b = 0.20 \text{ m}$
 $y = 3.46 \text{ m}, d = 0.20 \text{ m}$

Lagerung Druck-/Zugfeder
 Transl.steifigkeit in t-Richtung = $9.00\text{e}+006 \text{ kN/m}$
 ($A = 0.040 \text{ m}^2, h = 3.00 \text{ m}, E\text{-Mod} = 3.05\text{e}+007 \text{ kN/m}^2$)
 (Wichte = 25.00 kN/m^3 für Lastweiterleitung)
 mit Verfeinerung und Koppelfederelement

Pos. ST 00 9 - Rechteckstütze

System $x = -2.13 \text{ m}, b = 0.20 \text{ m}$
 $y = -0.05 \text{ m}, d = 0.20 \text{ m}$

Lagerung Druck-/Zugfeder
 Transl.steifigkeit in t-Richtung = $9.00\text{e}+006 \text{ kN/m}$
 ($A = 0.040 \text{ m}^2, h = 3.00 \text{ m}, E\text{-Mod} = 3.05\text{e}+007 \text{ kN/m}^2$)
 (Wichte = 25.00 kN/m^3 für Lastweiterleitung)
 mit Verfeinerung und Koppelfederelement

Pos. ST 00 10 - Rechteckstütze

System $x = 0.27 \text{ m}, b = 0.20 \text{ m}$
 $y = -5.66 \text{ m}, d = 0.20 \text{ m}$

Lagerung Druck-/Zugfeder
 Transl.steifigkeit in t-Richtung = $9.00\text{e}+006 \text{ kN/m}$
 ($A = 0.040 \text{ m}^2, h = 3.00 \text{ m}, E\text{-Mod} = 3.05\text{e}+007 \text{ kN/m}^2$)
 (Wichte = 25.00 kN/m^3 für Lastweiterleitung)

Pos. ST 00 11 - Rechteckstütze

System $x = -2.13 \text{ m}, b = 0.20 \text{ m}$
 $y = 5.40 \text{ m}, d = 0.20 \text{ m}$

Lagerung Druck-/Zugfeder
 Transl.steifigkeit in t-Richtung = $9.00\text{e}+006 \text{ kN/m}$
 ($A = 0.040 \text{ m}^2, h = 3.00 \text{ m}, E\text{-Mod} = 3.05\text{e}+007 \text{ kN/m}^2$)
 (Wichte = 25.00 kN/m^3 für Lastweiterleitung)

Pos. ST 00 12 - Rechteckstütze

System $x = 7.51 \text{ m}, b = 0.20 \text{ m}$
 $y = -0.05 \text{ m}, d = 0.20 \text{ m}$

Lagerung Druck-/Zugfeder
 Transl.steifigkeit in t-Richtung = $9.00\text{e}+006 \text{ kN/m}$
 ($A = 0.040 \text{ m}^2, h = 3.00 \text{ m}, E\text{-Mod} = 3.05\text{e}+007 \text{ kN/m}^2$)
 (Wichte = 25.00 kN/m^3 für Lastweiterleitung)
 mit Verfeinerung und Koppelfederelement

Pos. ST 00 13 - Rechteckstütze

System $x = 5.13 \text{ m}, b = 0.20 \text{ m}$
 $y = -0.05 \text{ m}, d = 0.20 \text{ m}$

Lagerung Druck-/Zugfeder
 Transl.steifigkeit in t-Richtung = $9.00\text{e}+006 \text{ kN/m}$
 ($A = 0.040 \text{ m}^2, h = 3.00 \text{ m}, E\text{-Mod} = 3.05\text{e}+007 \text{ kN/m}^2$)
 (Wichte = 25.00 kN/m^3 für Lastweiterleitung)
 mit Verfeinerung und Koppelfederelement

Pos. ST 00 14 - Rechteckstütze

System $x = 2.68 \text{ m}, b = 0.20 \text{ m}$
 $y = -0.05 \text{ m}, d = 0.20 \text{ m}$

Lagerung Druck-/Zugfeder
 Transl.steifigkeit in t-Richtung = $9.00\text{e}+006 \text{ kN/m}$
 ($A = 0.040 \text{ m}^2, h = 3.00 \text{ m}, E\text{-Mod} = 3.05\text{e}+007 \text{ kN/m}^2$)
 (Wichte = 25.00 kN/m^3 für Lastweiterleitung)
 mit Verfeinerung und Koppelfederelement

Pos. ST 00 15 - Rechteckstütze

System $x = 12.71 \text{ m}, b = 0.20 \text{ m}$
 $y = -0.05 \text{ m}, d = 0.20 \text{ m}$

Lagerung Druck-/Zugfeder
 Transl.steifigkeit in t-Richtung = $9.00\text{e}+006 \text{ kN/m}$
 ($A = 0.040 \text{ m}^2, h = 3.00 \text{ m}, E\text{-Mod} = 3.05\text{e}+007 \text{ kN/m}^2$)
 (Wichte = 25.00 kN/m^3 für Lastweiterleitung)
 mit Verfeinerung und Koppelfederelement

Pos. ST 00 16 - Rechteckstütze

System $x = 15.70 \text{ m}, b = 0.20 \text{ m}$
 $y = -0.05 \text{ m}, d = 0.20 \text{ m}$

Lagerung Druck-/Zugfeder
 Transl.steifigkeit in t-Richtung = $9.00\text{e}+006 \text{ kN/m}$
 ($A = 0.040 \text{ m}^2, h = 3.00 \text{ m}, E\text{-Mod} = 3.05\text{e}+007 \text{ kN/m}^2$)
 (Wichte = 25.00 kN/m^3 für Lastweiterleitung)
 mit Verfeinerung und Koppelfederelement

Pos. ST 00 17 - Rechteckstütze

System $x = 15.65 \text{ m}, b = 0.20 \text{ m}$
 $y = 6.17 \text{ m}, d = 0.20 \text{ m}$

Lagerung Druck-/Zugfeder
 Transl.steifigkeit in t-Richtung = $9.00\text{e}+006 \text{ kN/m}$
 ($A = 0.040 \text{ m}^2, h = 3.00 \text{ m}, E\text{-Mod} = 3.05\text{e}+007 \text{ kN/m}^2$)
 (Wichte = 25.00 kN/m^3 für Lastweiterleitung)
 mit Verfeinerung und Koppelfederelement

Pos. ST 00 18 - Rechteckstütze

System $x = 15.63 \text{ m}, b = 0.20 \text{ m}$
 $y = 8.89 \text{ m}, d = 0.20 \text{ m}$

Lagerung Druck-/Zugfeder
 Transl.steifigkeit in t-Richtung = $9.00\text{e}+006 \text{ kN/m}$
 ($A = 0.040 \text{ m}^2, h = 3.00 \text{ m}, E\text{-Mod} = 3.05\text{e}+007 \text{ kN/m}^2$)
 (Wichte = 25.00 kN/m^3 für Lastweiterleitung)
 mit Verfeinerung und Koppelfederelement

Pos. ST 00 19 - Rechteckstütze

System $x = 0.64 \text{ m}, b = 0.20 \text{ m}$
 $y = 5.40 \text{ m}, d = 0.20 \text{ m}$

Lagerung Druck-/Zugfeder
 Transl.steifigkeit in t-Richtung = $9.00\text{e}+006 \text{ kN/m}$
 ($A = 0.040 \text{ m}^2, h = 3.00 \text{ m}, E\text{-Mod} = 3.05\text{e}+007 \text{ kN/m}^2$)
 (Wichte = 25.00 kN/m^3 für Lastweiterleitung)

Pos. ST 00 20 - Rechteckstütze

System $x = 5.40 \text{ m}, b = 0.20 \text{ m}$
 $y = 8.58 \text{ m}, d = 0.20 \text{ m}$

Lagerung Druck-/Zugfeder
 Transl.steifigkeit in t-Richtung = $9.00\text{e}+006 \text{ kN/m}$
 ($A = 0.040 \text{ m}^2, h = 3.00 \text{ m}, E\text{-Mod} = 3.05\text{e}+007 \text{ kN/m}^2$)
 (Wichte = 25.00 kN/m^3 für Lastweiterleitung)
 mit Verfeinerung und Koppelfederelement

Pos. ST 00 21 - Rechteckstütze

System $x = 11.15 \text{ m}, b = 0.20 \text{ m}$
 $y = 8.58 \text{ m}, d = 0.20 \text{ m}$

Lagerung Druck-/Zugfeder
 Transl.steifigkeit in t-Richtung = $9.00\text{e}+006 \text{ kN/m}$
 ($A = 0.040 \text{ m}^2, h = 3.00 \text{ m}, E\text{-Mod} = 3.05\text{e}+007 \text{ kN/m}^2$)
 (Wichte = 25.00 kN/m^3 für Lastweiterleitung)
 mit Verfeinerung und Koppelfederelement

Pos. ST 00 22 - Rechteckstütze

System $x = 2.69 \text{ m}, b = 0.20 \text{ m}$
 $y = 5.40 \text{ m}, d = 0.20 \text{ m}$

Lagerung Druck-/Zugfeder
 Transl.steifigkeit in t-Richtung = $9.00\text{e}+006 \text{ kN/m}$
 ($A = 0.040 \text{ m}^2, h = 3.00 \text{ m}, E\text{-Mod} = 3.05\text{e}+007 \text{ kN/m}^2$)
 (Wichte = 25.00 kN/m^3 für Lastweiterleitung)

Pos. ST 00 23 - Rechteckstütze

System $x = 7.51 \text{ m}, b = 0.20 \text{ m}$
 $y = 5.40 \text{ m}, d = 0.20 \text{ m}$

Lagerung Druck-/Zugfeder
 Transl.steifigkeit in t-Richtung = $9.00\text{e}+006 \text{ kN/m}$
 ($A = 0.040 \text{ m}^2, h = 3.00 \text{ m}, E\text{-Mod} = 3.05\text{e}+007 \text{ kN/m}^2$)
 (Wichte = 25.00 kN/m^3 für Lastweiterleitung)

Pos. ST 00 24 - Rechteckstütze

System $x = 15.70 \text{ m}, b = 0.20 \text{ m}$
 $y = -2.47 \text{ m}, d = 0.20 \text{ m}$

Lagerung Druck-/Zugfeder
 Transl.steifigkeit in t-Richtung = $9.00\text{e}+006 \text{ kN/m}$
 ($A = 0.040 \text{ m}^2, h = 3.00 \text{ m}, E\text{-Mod} = 3.05\text{e}+007 \text{ kN/m}^2$)
 (Wichte = 25.00 kN/m^3 für Lastweiterleitung)
 mit Verfeinerung und Koppelfederelement

Pos. ST 00 25 - Rechteckstütze

System $x = 15.62 \text{ m}, b = 0.20 \text{ m}$
 $y = -5.64 \text{ m}, d = 0.20 \text{ m}$

Lagerung Druck-/Zugfeder
 Transl.steifigkeit in t-Richtung = $9.00\text{e}+006 \text{ kN/m}$
 ($A = 0.040 \text{ m}^2, h = 3.00 \text{ m}, E\text{-Mod} = 3.05\text{e}+007 \text{ kN/m}^2$)
 (Wichte = 25.00 kN/m^3 für Lastweiterleitung)
 mit Verfeinerung und Koppelfederelement

Pos. ST 00 26 - Rechteckstütze

System $x = 12.73 \text{ m}, b = 0.20 \text{ m}$
 $y = 5.43 \text{ m}, d = 0.20 \text{ m}$

Lagerung Druck-/Zugfeder
 Transl.steifigkeit in t-Richtung = $9.00\text{e}+006 \text{ kN/m}$
 ($A = 0.040 \text{ m}^2, h = 3.00 \text{ m}, E\text{-Mod} = 3.05\text{e}+007 \text{ kN/m}^2$)
 (Wichte = 25.00 kN/m^3 für Lastweiterleitung)

Pos. ST 00 27 - Rechteckstütze

System $x = 10.58 \text{ m}, b = 0.20 \text{ m}$
 $y = -5.56 \text{ m}, d = 0.20 \text{ m}$

Lagerung Druck-/Zugfeder
 Transl.steifigkeit in t-Richtung = $9.00\text{e}+006 \text{ kN/m}$
 ($A = 0.040 \text{ m}^2, h = 3.00 \text{ m}, E\text{-Mod} = 3.05\text{e}+007 \text{ kN/m}^2$)
 (Wichte = 25.00 kN/m^3 für Lastweiterleitung)
 mit Verfeinerung und Koppelfederelement

Pos. ST 00 28 - Rechteckstütze

System $x = 10.46 \text{ m}, b = 0.20 \text{ m}$
 $y = 5.43 \text{ m}, d = 0.20 \text{ m}$

Lagerung Druck-/Zugfeder
 Transl.steifigkeit in t-Richtung = $9.00\text{e}+006 \text{ kN/m}$
 ($A = 0.040 \text{ m}^2, h = 3.00 \text{ m}, E\text{-Mod} = 3.05\text{e}+007 \text{ kN/m}^2$)
 (Wichte = 25.00 kN/m^3 für Lastweiterleitung)

Pos. ST 00 29 - Rechteckstütze

System $x = 5.60 \text{ m}, b = 0.20 \text{ m}$
 $y = -5.56 \text{ m}, d = 0.20 \text{ m}$

Lagerung Druck-/Zugfeder
 Transl.steifigkeit in t-Richtung = $9.00\text{e}+006 \text{ kN/m}$
 ($A = 0.040 \text{ m}^2, h = 3.00 \text{ m}, E\text{-Mod} = 3.05\text{e}+007 \text{ kN/m}^2$)
 (Wichte = 25.00 kN/m^3 für Lastweiterleitung)
 mit Verfeinerung und Koppelfederelement

Pos. ST 00 30 - Rechteckstütze

System $x = 12.73 \text{ m}, b = 0.20 \text{ m}$
 $y = 3.46 \text{ m}, d = 0.20 \text{ m}$

Lagerung Druck-/Zugfeder
 Transl.steifigkeit in t-Richtung = $9.00\text{e}+006 \text{ kN/m}$
 ($A = 0.040 \text{ m}^2, h = 3.00 \text{ m}, E\text{-Mod} = 3.05\text{e}+007 \text{ kN/m}^2$)
 (Wichte = 25.00 kN/m^3 für Lastweiterleitung)

Pos. ST 00 31 - Rechteckstütze

System $x = -1.78 \text{ m}, b = 0.20 \text{ m}$
 $y = 9.02 \text{ m}, d = 0.20 \text{ m}$

Lagerung Druck-/Zugfeder
 Transl.steifigkeit in t-Richtung = $9.00\text{e}+006 \text{ kN/m}$
 ($A = 0.040 \text{ m}^2, h = 3.00 \text{ m}, E\text{-Mod} = 3.05\text{e}+007 \text{ kN/m}^2$)
 (Wichte = 25.00 kN/m^3 für Lastweiterleitung)
 mit Verfeinerung und Koppelfederelement

Pos. ST 00 32 - Rechteckstütze

System $x = -5.15 \text{ m}, b = 0.20 \text{ m}$
 $y = 9.02 \text{ m}, d = 0.20 \text{ m}$

Lagerung Druck-/Zugfeder
 Transl.steifigkeit in t-Richtung = $9.00\text{e}+006 \text{ kN/m}$
 ($A = 0.040 \text{ m}^2, h = 3.00 \text{ m}, E\text{-Mod} = 3.05\text{e}+007 \text{ kN/m}^2$)
 (Wichte = 25.00 kN/m^3 für Lastweiterleitung)

Pos. ST 00 33 - Rechteckstütze

System $x = -2.26 \text{ m}, b = 0.20 \text{ m}$
 $y = -5.99 \text{ m}, d = 0.20 \text{ m}$

Lagerung Druck-/Zugfeder
 Transl.steifigkeit in t-Richtung = $9.00\text{e}+006 \text{ kN/m}$
 ($A = 0.040 \text{ m}^2, h = 3.00 \text{ m}, E\text{-Mod} = 3.05\text{e}+007 \text{ kN/m}^2$)
 (Wichte = 25.00 kN/m^3 für Lastweiterleitung)

Pos. ST 00 34 - Rechteckstütze

System $x = -5.58 \text{ m}, \quad b = 0.20 \text{ m}$
 $y = -5.99 \text{ m}, \quad d = 0.20 \text{ m}$

Lagerung Druck-/Zugfeder
 Transl.steifigkeit in t-Richtung = $9.00\text{e}+006 \text{ kN/m}$
 ($A = 0.040 \text{ m}^2, \quad h = 3.00 \text{ m}, \quad E\text{-Mod} = 3.05\text{e}+007 \text{ kN/m}^2$)
 (Wichte = 25.00 kN/m^3 für Lastweiterleitung)

Pos. ST 00 35 - Rechteckstütze

System $x = 4.73 \text{ m}, \quad b = 0.20 \text{ m}$
 $y = 5.40 \text{ m}, \quad d = 0.20 \text{ m}$

Lagerung Druck-/Zugfeder
 Transl.steifigkeit in t-Richtung = $9.00\text{e}+006 \text{ kN/m}$
 ($A = 0.040 \text{ m}^2, \quad h = 3.00 \text{ m}, \quad E\text{-Mod} = 3.05\text{e}+007 \text{ kN/m}^2$)
 (Wichte = 25.00 kN/m^3 für Lastweiterleitung)

Pos. ST 00 36 - Rechteckstütze

System $x = -5.84 \text{ m}, \quad b = 0.20 \text{ m}$
 $y = -3.27 \text{ m}, \quad d = 0.20 \text{ m}$

Lagerung Druck-/Zugfeder
 Transl.steifigkeit in t-Richtung = $9.00\text{e}+006 \text{ kN/m}$
 ($A = 0.040 \text{ m}^2, \quad h = 3.00 \text{ m}, \quad E\text{-Mod} = 3.05\text{e}+007 \text{ kN/m}^2$)
 (Wichte = 25.00 kN/m^3 für Lastweiterleitung)

Pos. ST 00 37 - Rechteckstütze

System $x = -6.07 \text{ m}, \quad b = 0.20 \text{ m}$
 $y = -0.82 \text{ m}, \quad d = 0.20 \text{ m}$

Lagerung Druck-/Zugfeder
 Transl.steifigkeit in t-Richtung = $9.00\text{e}+006 \text{ kN/m}$
 ($A = 0.040 \text{ m}^2, \quad h = 3.00 \text{ m}, \quad E\text{-Mod} = 3.05\text{e}+007 \text{ kN/m}^2$)
 (Wichte = 25.00 kN/m^3 für Lastweiterleitung)

Pos. ST 00 38 - Rechteckstütze

System $x = -5.94 \text{ m}, \quad b = 0.20 \text{ m}$
 $y = 3.69 \text{ m}, \quad d = 0.20 \text{ m}$

Lagerung Druck-/Zugfeder
 Transl.steifigkeit in t-Richtung = $9.00\text{e}+006 \text{ kN/m}$
 ($A = 0.040 \text{ m}^2, \quad h = 3.00 \text{ m}, \quad E\text{-Mod} = 3.05\text{e}+007 \text{ kN/m}^2$)
 (Wichte = 25.00 kN/m^3 für Lastweiterleitung)

Pos. ST 00 39 - Rechteckstütze

System $x = -5.65 \text{ m}, \quad b = 0.20 \text{ m}$
 $y = 5.74 \text{ m}, \quad d = 0.20 \text{ m}$

Lagerung Druck-/Zugfeder
 Transl.steifigkeit in t-Richtung = $9.00\text{e}+006 \text{ kN/m}$
 ($A = 0.040 \text{ m}^2, \quad h = 3.00 \text{ m}, \quad E\text{-Mod} = 3.05\text{e}+007 \text{ kN/m}^2$)
 (Wichte = 25.00 kN/m^3 für Lastweiterleitung)

Pos. ST 00 40 - Rechteckstütze

System $x = -6.27 \text{ m}, \quad b = 0.20 \text{ m}$
 $y = 1.51 \text{ m}, \quad d = 0.20 \text{ m}$

Lagerung Druck-/Zugfeder
 Transl.steifigkeit in t-Richtung = $9.00\text{e}+006 \text{ kN/m}$
 ($A = 0.040 \text{ m}^2, \quad h = 3.00 \text{ m}, \quad E\text{-Mod} = 3.05\text{e}+007 \text{ kN/m}^2$)
 (Wichte = 25.00 kN/m^3 für Lastweiterleitung)

Pos. ST 00 41 - Rechteckstütze

System $x = -2.13 \text{ m}, \quad b = 0.20 \text{ m}$
 $y = 3.48 \text{ m}, \quad d = 0.20 \text{ m}$

Lagerung Druck-/Zugfeder
 Transl.steifigkeit in t-Richtung = $9.00\text{e}+006 \text{ kN/m}$
 ($A = 0.040 \text{ m}^2, \quad h = 3.00 \text{ m}, \quad E\text{-Mod} = 3.05\text{e}+007 \text{ kN/m}^2$)
 (Wichte = 25.00 kN/m^3 für Lastweiterleitung)

Pos. ST 00 42 - Rechteckstütze

System $x = 0.83 \text{ m}, \quad b = 0.20 \text{ m}$
 $y = -0.05 \text{ m}, \quad d = 0.20 \text{ m}$

Lagerung Druck-/Zugfeder
 Transl.steifigkeit in t-Richtung = $9.00\text{e}+006 \text{ kN/m}$
 ($A = 0.040 \text{ m}^2, \quad h = 3.00 \text{ m}, \quad E\text{-Mod} = 3.05\text{e}+007 \text{ kN/m}^2$)
 (Wichte = 25.00 kN/m^3 für Lastweiterleitung)
 mit Verfeinerung und Koppelfederelement

Pos. ST 00 43 - Rechteckstütze

System $x = 9.59 \text{ m}, \quad b = 0.20 \text{ m}$
 $y = -0.05 \text{ m}, \quad d = 0.20 \text{ m}$

Lagerung Druck-/Zugfeder
 Transl.steifigkeit in t-Richtung = $9.00\text{e}+006 \text{ kN/m}$
 ($A = 0.040 \text{ m}^2, \quad h = 3.00 \text{ m}, \quad E\text{-Mod} = 3.05\text{e}+007 \text{ kN/m}^2$)
 (Wichte = 25.00 kN/m^3 für Lastweiterleitung)
 mit Verfeinerung und Koppelfederelement

Pos. ST 00 44 - Rechteckstütze

System $x = 10.91 \text{ m}, \quad b = 0.20 \text{ m}$
 $y = -0.05 \text{ m}, \quad d = 0.20 \text{ m}$

Lagerung Druck-/Zugfeder
 Transl.steifigkeit in t-Richtung = $9.00\text{e}+006 \text{ kN/m}$
 ($A = 0.040 \text{ m}^2, \quad h = 3.00 \text{ m}, \quad E\text{-Mod} = 3.05\text{e}+007 \text{ kN/m}^2$)
 (Wichte = 25.00 kN/m^3 für Lastweiterleitung)
 mit Verfeinerung und Koppelfederelement

Pos. GELE-1 - Gelenk

System $x = 7.67 \quad 7.67 \text{ m}$
 $y = 5.18 \quad 3.69 \text{ m}$
 Verdrehung um r-Achse beidseitig 0 kNm/rad/m

Pos. GELE-2 - Gelenk

<u>System</u>	x =	-1.94	-1.94 m		
	y =	5.21	3.69 m		
	Verdrehung um	r-Achse		beidseitig	0 kNm/rad/m

Pos. GELE-4 - Gelenk

<u>System</u>	x =	1.82	3.58 m		
	y =	3.68	3.68 m		
	Verdrehung um	r-Achse		beidseitig	0 kNm/rad/m

Pos. GELE-5 - Gelenk

<u>System</u>	x =	1.78	3.66 m		
	y =	5.21	5.21 m		
	Verdrehung um	r-Achse		beidseitig	0 kNm/rad/m

Pos. AUSP-1 - Aussparung

<u>System</u>	x =	-1.98	1.96	1.96	-1.98 m
	y =	5.28	5.28	5.23	5.23 m

Pos. AUSP-2 - Aussparung

<u>System</u>	x =	3.43	7.71	7.71	3.43 m
	y =	5.28	5.28	5.22	5.22 m

Pos. AUSP-3 - Aussparung

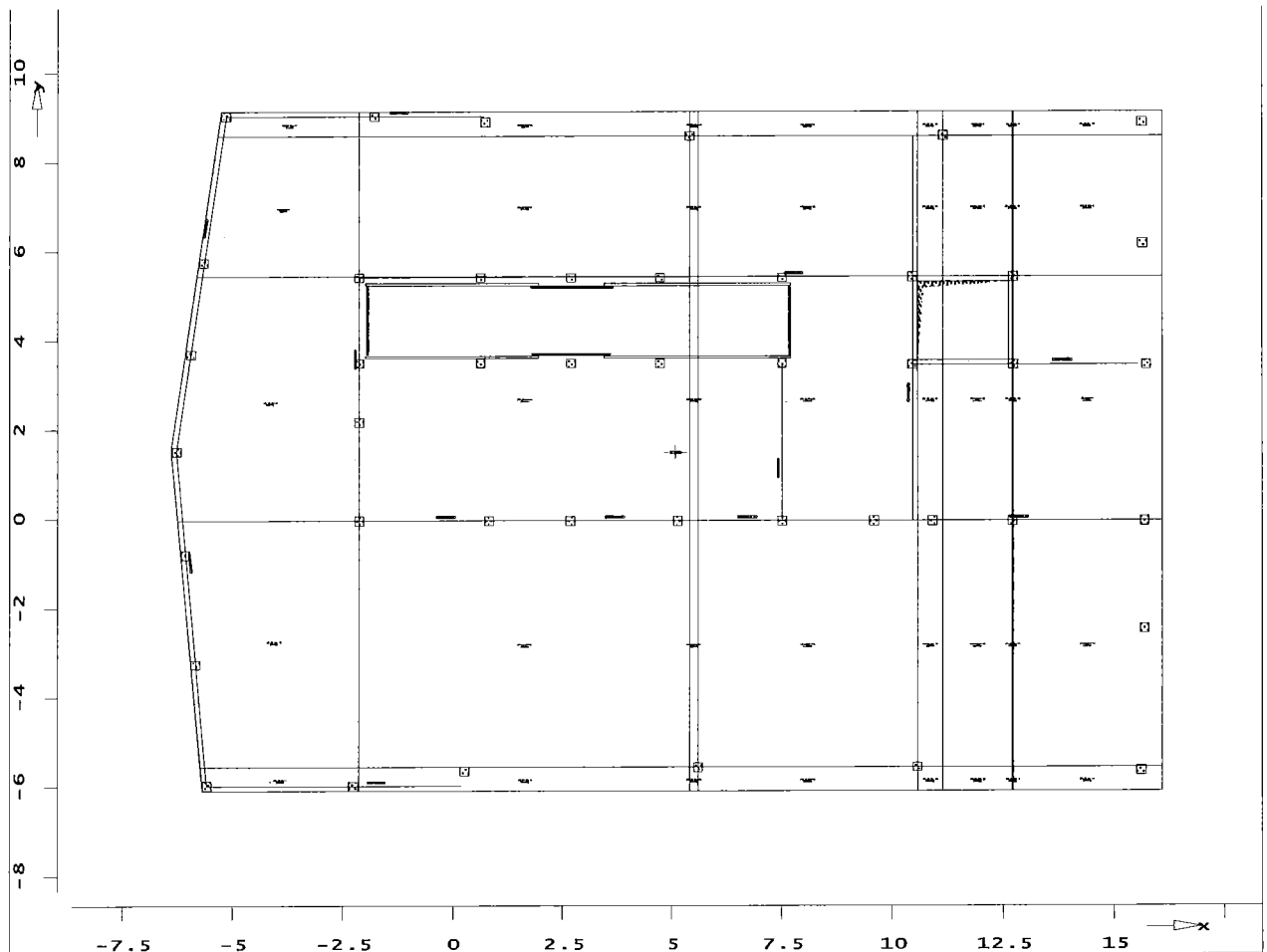
<u>System</u>	x =	-1.98	1.96	1.96	-1.98 m
	y =	3.61	3.61	3.66	3.66 m

Pos. AUSP-4 - Aussparung

<u>System</u>	x =	12.63	10.56	10.56	12.63 m
	y =	5.33	5.33	3.56	3.56 m

Pos. AUSP-5 - Aussparung

<u>System</u>	x =	3.43	7.71	7.71	3.43 m
	y =	3.61	3.61	3.66	3.66 m

Lastplan**Eigengewicht / Ausbaulast / Nutzlast Platten**

Platte	Dicke [m]	g (aus wichte) [kN/m ²]	g (Ausbau) [kN/m ²]	q (Nutzlast) [kN/m ²]
DE_00_01	0.20	-5.00	-3.00	-3.00

Die Eigenlasten g wirken in Lastfall 1, die Nutzlasten q wirken je nach Lastfeldern in eigenen Lastfällen.

Linienlasten

Lastrichtung lokal, Lastspur entspr. r-Achse des Last-KS

AUSSENMAUER-1	Aussenmauer
x =	-5.58 -6.27 m
y =	-5.99 1.51 m

LF	Anfang	Ende
	[kN/m] bzw. [kNm/m]	
1 pt	-10.000	-10.000

AUSSENMAUER-2	Aussenmauer
x =	-6.27 -5.15 m
y =	1.51 9.02 m

LF	Anfang	Ende
	[kN/m] bzw. [kNm/m]	
1 pt	-10.000	-10.000

AUSSENMAUER-3 Aussenmauer
x = -5.15 0.74 m
y = 9.02 9.02 m

LF	Anfang	Ende
	[kN/m] bzw. [kNm/m]	
1 pt	-10.000	-10.000

AUSSENMAUER-4 Aussenmauer
x = -5.58 0.20 m
y = -5.99 -5.99 m

LF	Anfang	Ende
	[kN/m] bzw. [kNm/m]	
1 pt	-10.000	-10.000

AUSSENMAUER-6 Aussenmauer
x = -2.13 -2.13 m
y = -0.05 5.40 m

LF	Anfang	Ende
	[kN/m] bzw. [kNm/m]	
1 pt	-10.000	-10.000

AUSSENMAUER-7 Aussenmauer
x = -2.13 12.73 m
y = 5.40 5.43 m

LF	Anfang	Ende
	[kN/m] bzw. [kNm/m]	
1 pt	-10.000	-10.000

AUSSENMAUER-8 Holzkonstruktion
x = 7.51 7.51 m
y = 3.48 -0.05 m

LF	Anfang	Ende
	[kN/m] bzw. [kNm/m]	
1 pt	-10.000	-10.000

AUSSENMAUER-9 Holzkonstruktion
x = 10.46 10.46 m
y = 8.57 -0.05 m

LF	Anfang	Ende
	[kN/m] bzw. [kNm/m]	
1 pt	-10.000	-10.000

AUSSENMAUER-10 Holzkonstruktion
x = 10.46 15.54 m
y = 3.46 3.46 m

LF	Anfang	Ende
	[kN/m] bzw. [kNm/m]	
1 pt	-10.000	-10.000

AUSSENMAUER-11 AUSSENMAUER

$x = -2.13 \quad 0.83 \text{ m}$
 $y = -0.05 \quad -0.05 \text{ m}$

LF	Anfang [kN/m]	Ende bzw. [kNm/m]
1 pt	-10.000	-10.000

AUSSENMAUER-12 AUSSENMAUER
 $x = 0.83 \quad 5.13 \text{ m}$
 $y = -0.05 \quad -0.05 \text{ m}$

LF	Anfang [kN/m]	Ende bzw. [kNm/m]
1 pt	-10.000	-10.000

AUSSENMAUER-13 AUSSENMAUER
 $x = 5.13 \quad 7.51 \text{ m}$
 $y = -0.05 \quad -0.05 \text{ m}$

LF	Anfang [kN/m]	Ende bzw. [kNm/m]
1 pt	-10.000	-10.000

AUSSENMAUER-14 AUSSENMAUER
 $x = 7.51 \quad 15.54 \text{ m}$
 $y = -0.05 \quad -0.05 \text{ m}$

LF	Anfang [kN/m]	Ende bzw. [kNm/m]
1 pt	-10.000	-10.000

Einwirkungen nach Eurocode 2

Tabelle

Typ	Beschreibung	Einwirkungen
0	ständige Einwirkung	EW-1
1	Verkehrslast auf Decken - Wohnräume; Büroräume; Verkaufsräume bis 50m ² ; Flure; Balkone; Räume in Krankenhäusern	EW-2
2	- Versammlungsräume; Garagen und Parkhäuser; Turnhallen; Tribünen; Flure in Lehrgebäuden; Büchereien, Archive	
3	- Ausstellungs- und Verkaufsräume; Geschäfts- und Warenhäuser	
4	Windlasten	
5	Schneelasten	
6	alle anderen Einwirkungen	

Komponenten der Einwirkungen

EW-1 = LF-1

EW-2 = (DE_00_01)-1 (DE_00_01)-2 (DE_00_01)-3 (DE_00_01)-4
 (DE_00_01)-5 (DE_00_01)-6 (DE_00_01)-7 (DE_00_01)-8
 (DE_00_01)-9 (DE_00_01)-10 (DE_00_01)-11 (DE_00_01)-12
 (DE_00_01)-13 (DE_00_01)-14 (DE_00_01)-15 (DE_00_01)-16
 (DE_00_01)-17 (DE_00_01)-18 (DE_00_01)-19 (DE_00_01)-20
 (DE_00_01)-21 (DE_00_01)-22 (DE_00_01)-23 (DE_00_01)-24
 (DE_00_01)-25 (DE_00_01)-26 (DE_00_01)-27 (DE_00_01)-28
 (DE_00_01)-29 (DE_00_01)-30 (DE_00_01)-31 (DE_00_01)-32
 (DE_00_01)-33 (DE_00_01)-34 (DE_00_01)-35 (DE_00_01)-36
 (DE_00_01)-37 (DE_00_01)-38 (DE_00_01)-39 (DE_00_01)-40
 LF-2 LF-3

Lastkombinationen für lineare Berechnung

Auswertung mit MIN/MAX-Überlagerung über Lfn und Lkn

Lf = Lastfall

Lfn = Lastfallnummer

Erläuterung:

'automat.' Der Lastfall wird für ein Lastfeld benötigt und bekommt eine freie Lfn. automatisch zugewiesen.
 'auto. 17' Der Lastfall erhielt automatisch die Lfn 17.

Lk = Lastkombination

Lf	LF-1	LF-2	LF-3	(DE_00_01)	(DE_00_01)
Lfn	1	2	3	auto. 7	auto. 4
LK-1	1.00	1.00	1.00	1.00	1.00

Proj.Bez		Seite	F - 16
Bez.	Decke über EG	FE-Mod.	F_DE_00_1B
Datum	02.12.10	Projekt	S0962 KG Rodeneck
	MicroFe	2008.140	

Lf	(DE_00_01	(DE_00_01	(DE_00_01	(DE_00_01	(DE_00_01
Lfn	auto. 13	auto. 41	auto. 38	auto. 29	auto. 6
LK-1	1.00	1.00	1.00	1.00	1.00

Lf	(DE_00_01	(DE_00_01	(DE_00_01	(DE_00_01	(DE_00_01
Lfn	auto. 40	auto. 34	auto. 36	auto. 43	auto. 11
LK-1	1.00	1.00	1.00	1.00	1.00

Lf	(DE_00_01	(DE_00_01	(DE_00_01	(DE_00_01	(DE_00_01
Lfn	auto. 5	auto. 17	auto. 23	auto. 32	auto. 37
LK-1	1.00	1.00	1.00	1.00	1.00

Lf	(DE_00_01	(DE_00_01	(DE_00_01	(DE_00_01	(DE_00_01
Lfn	auto. 14	auto. 42	auto. 21	auto. 19	auto. 28
LK-1	1.00	1.00	1.00	1.00	1.00

Lf	(DE_00_01	(DE_00_01	(DE_00_01	(DE_00_01	(DE_00_01
Lfn	auto. 22	auto. 26	auto. 18	auto. 25	auto. 8
LK-1	1.00	1.00	1.00	1.00	1.00

Lf	(DE_00_01	(DE_00_01	(DE_00_01	(DE_00_01	(DE_00_01
Lfn	auto. 39	auto. 35	auto. 16	auto. 12	auto. 15
LK-1	1.00	1.00	1.00	1.00	1.00

Lf	(DE_00_01	(DE_00_01	(DE_00_01	(DE_00_01	(DE_00_01
Lfn	auto. 9	auto. 10	auto. 20	auto. 24	auto. 27
LK-1	1.00	1.00	1.00	1.00	1.00

Lf	(DE_00_01	(DE_00_01	(DE_00_01
Lfn	auto. 33	auto. 31	auto. 30
LK-1	1.00	1.00	1.00

Lastfallübersicht

Lastfall	Lfn	Typ	Lastfallbeschreibung
LF-1	1	ständig	Lastfall 1
LF-2	2*	veränderlich	Lastfall 2
LF-3	3*	veränderlich	Lastfall 3
(DE_00_01)-1	7	veränderlich	Lastfall automatisch generiert
(DE_00_01)-2	4	veränderlich	Lastfall automatisch generiert
(DE_00_01)-3	13	veränderlich	Lastfall automatisch generiert
(DE_00_01)-4	41	veränderlich	Lastfall automatisch generiert
(DE_00_01)-5	38*	veränderlich	Lastfall automatisch generiert
(DE_00_01)-6	29	veränderlich	Lastfall automatisch generiert
(DE_00_01)-7	6	veränderlich	Lastfall automatisch generiert
(DE_00_01)-8	40	veränderlich	Lastfall automatisch generiert
(DE_00_01)-9	34*	veränderlich	Lastfall automatisch generiert
(DE_00_01)-10	36*	veränderlich	Lastfall automatisch generiert
(DE_00_01)-11	43	veränderlich	Lastfall automatisch generiert
(DE_00_01)-12	11	veränderlich	Lastfall automatisch generiert
(DE_00_01)-13	5	veränderlich	Lastfall automatisch generiert
(DE_00_01)-14	17	veränderlich	Lastfall automatisch generiert
(DE_00_01)-15	23	veränderlich	Lastfall automatisch generiert
(DE_00_01)-16	32	veränderlich	Lastfall automatisch generiert
(DE_00_01)-17	37*	veränderlich	Lastfall automatisch generiert
(DE_00_01)-18	14	veränderlich	Lastfall automatisch generiert
(DE_00_01)-19	42	veränderlich	Lastfall automatisch generiert
(DE_00_01)-20	21	veränderlich	Lastfall automatisch generiert
(DE_00_01)-21	19	veränderlich	Lastfall automatisch generiert
(DE_00_01)-22	28	veränderlich	Lastfall automatisch generiert
(DE_00_01)-23	22	veränderlich	Lastfall automatisch generiert
(DE_00_01)-24	26	veränderlich	Lastfall automatisch generiert
(DE_00_01)-25	18	veränderlich	Lastfall automatisch generiert
(DE_00_01)-26	25	veränderlich	Lastfall automatisch generiert
(DE_00_01)-27	8	veränderlich	Lastfall automatisch generiert
(DE_00_01)-28	39	veränderlich	Lastfall automatisch generiert
(DE_00_01)-29	35*	veränderlich	Lastfall automatisch generiert
(DE_00_01)-30	16	veränderlich	Lastfall automatisch generiert
(DE_00_01)-31	12	veränderlich	Lastfall automatisch generiert
(DE_00_01)-32	15	veränderlich	Lastfall automatisch generiert
(DE_00_01)-33	9	veränderlich	Lastfall automatisch generiert
(DE_00_01)-34	10	veränderlich	Lastfall automatisch generiert
(DE_00_01)-35	20	veränderlich	Lastfall automatisch generiert
(DE_00_01)-36	24	veränderlich	Lastfall automatisch generiert
(DE_00_01)-37	27	veränderlich	Lastfall automatisch generiert
(DE_00_01)-38	33	veränderlich	Lastfall automatisch generiert
(DE_00_01)-39	31	veränderlich	Lastfall automatisch generiert
(DE_00_01)-40	30	veränderlich	Lastfall automatisch generiert

* = leerer Lastfall

Pos. DE 00 01 - Plattenbemessung (Isolinien)**Bemessung**

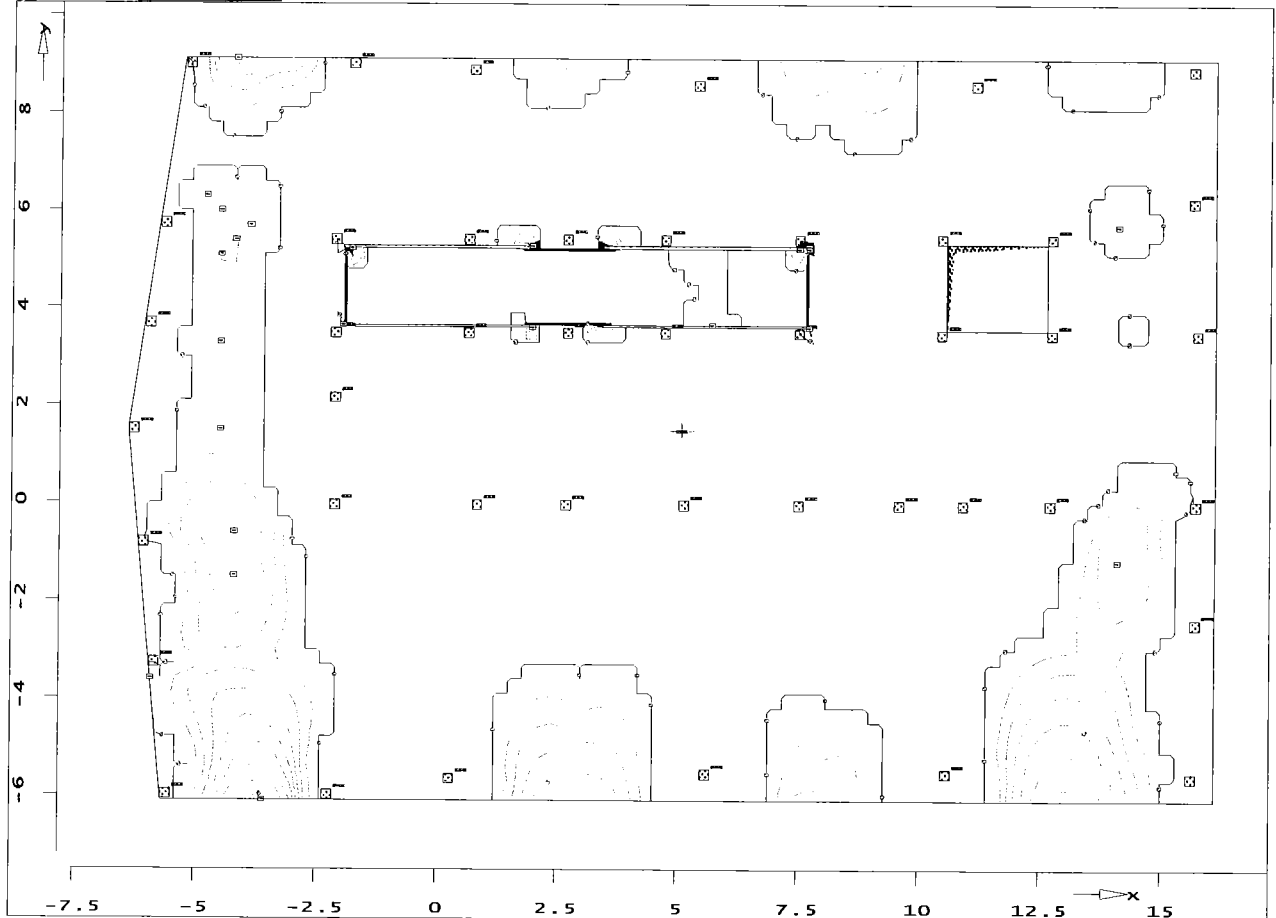
gem. Eurocode 2, C25/30/S450

Extremierung gem. Einwirkungstypisierung

Dicke $d = 20.00$ cm

		r_o	s_o	r_u	s_u
Bew.abstände	h'	4.0	4.0	4.0	4.0 cm
Grundbewehrung	a_{sg}	3.4	3.4	3.4	3.4 cm ² /m
Bemessungswinkel	w	0.0	90.0	0.0	90.0 Grad

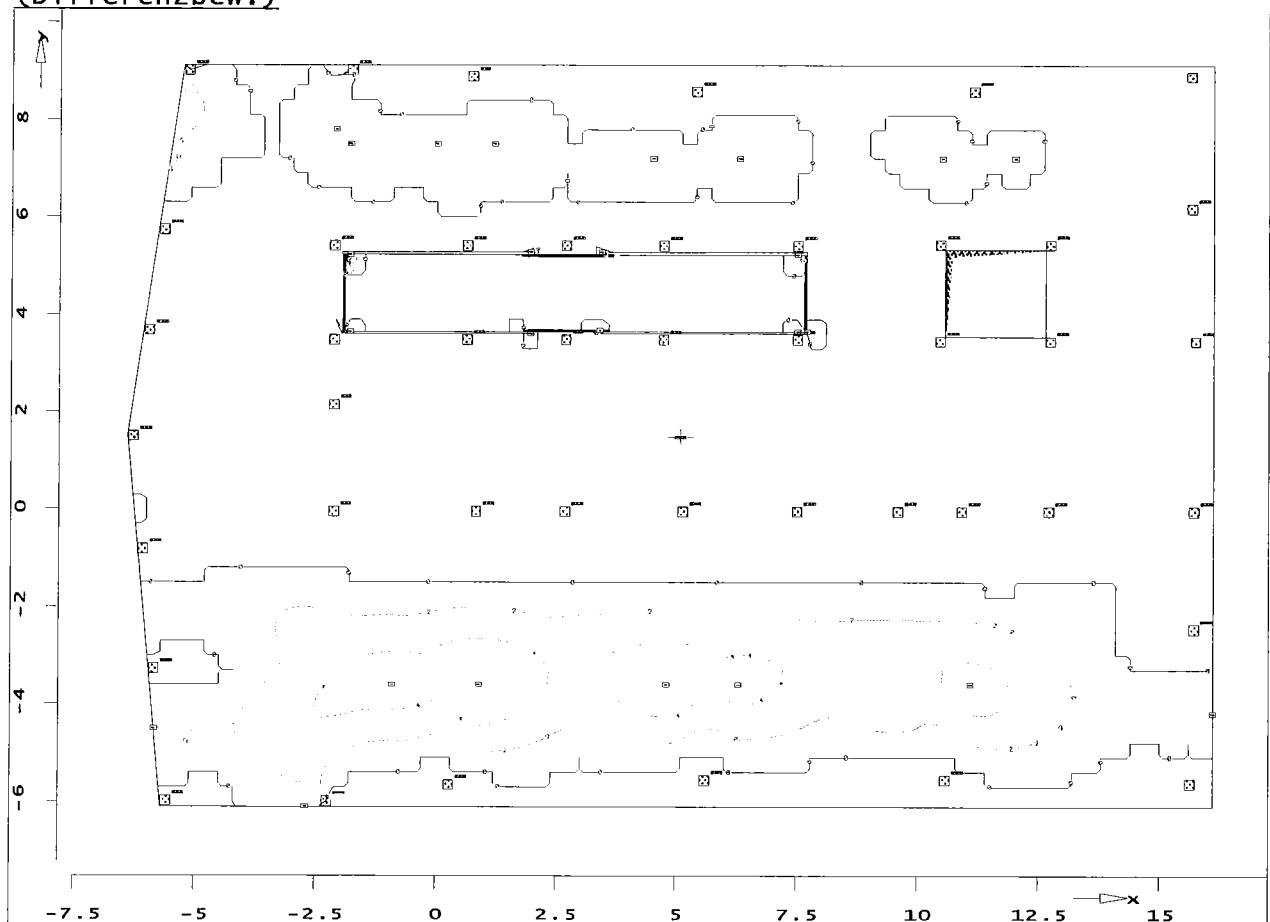
Tragfähigkeitsnachweis: untere Bewehrung $a_{s,ru}$ [cm²/m]
(Differenzbew.)

Isolinienstufen = 0.75 cm²/m

Punkt	X	Y [m]	m_x	m_y	m_{xy} [kNm/m]	a_{sru} [cm ² /m]	a_{ssu} [cm ² /m]
F01	-4.80	6.30	16.01	2.01	4.82	0.5	0.0
F02	-4.50	6.00	19.64	-1.00	1.13	0.5	0.0
F03	14.10	5.70	15.38	-2.68	4.33	0.3	0.0
F04	-3.90	5.70	19.97	-1.71	-1.87	0.7	0.0
F05	-4.20	5.40	20.86	-3.53	-2.14	0.8	0.0
F06	-4.50	5.10	19.62	-3.17	-2.86	0.8	0.0
F07	-4.50	3.30	18.80	3.77	-2.26	0.6	0.0
F08	-4.50	1.50	20.35	2.72	-0.69	0.6	0.0
F09	-4.20	-0.60	22.85	-2.25	10.31	2.9	0.0
F10	14.10	-1.20	17.08	-0.96	-11.98	2.1	0.0
F11	-4.20	-1.50	21.41	7.71	11.51	2.9	0.3

Punkt	X	Y	mx	my	mxy	asru	assu
		[m]			[kNm/m]		[cm ² /m]
R01	7.71	3.61	31.97	-7.53	-9.75	4.7	0.0
R02	5.70	3.66	18.66	0.03	-0.49	0.2	0.0
R03	1.96	3.61	19.25	1.31	17.31	3.6	0.1
R04	-1.98	3.66	-133.93	14.37	23.06	0.3	0.2
R05	7.71	5.28	45.11	-58.42	36.97	10.5	0.0
R06	7.71	5.22	-152.56	-61.83	-59.58	13.5	0.0
R07	7.50	5.22	-4.13	15.82	33.22	2.1	6.2
R08	1.96	5.28	24.41	-11.89	-34.67	8.3	1.0
R09	-1.80	5.23	-3.37	59.85	65.92	9.1	26.1
R10	-3.60	-6.10	34.16	0.90	-15.57	6.3	0.0
R11	-4.20	9.12	25.86	0.94	-9.52	3.4	0.0
R12	-5.91	-3.60	8.29	-12.53	-12.46	0.5	0.0

Tragfähigkeitsnachweis: untere Bewehrung $a_{s,u}$ [cm²/m]
(Differenzbew.)

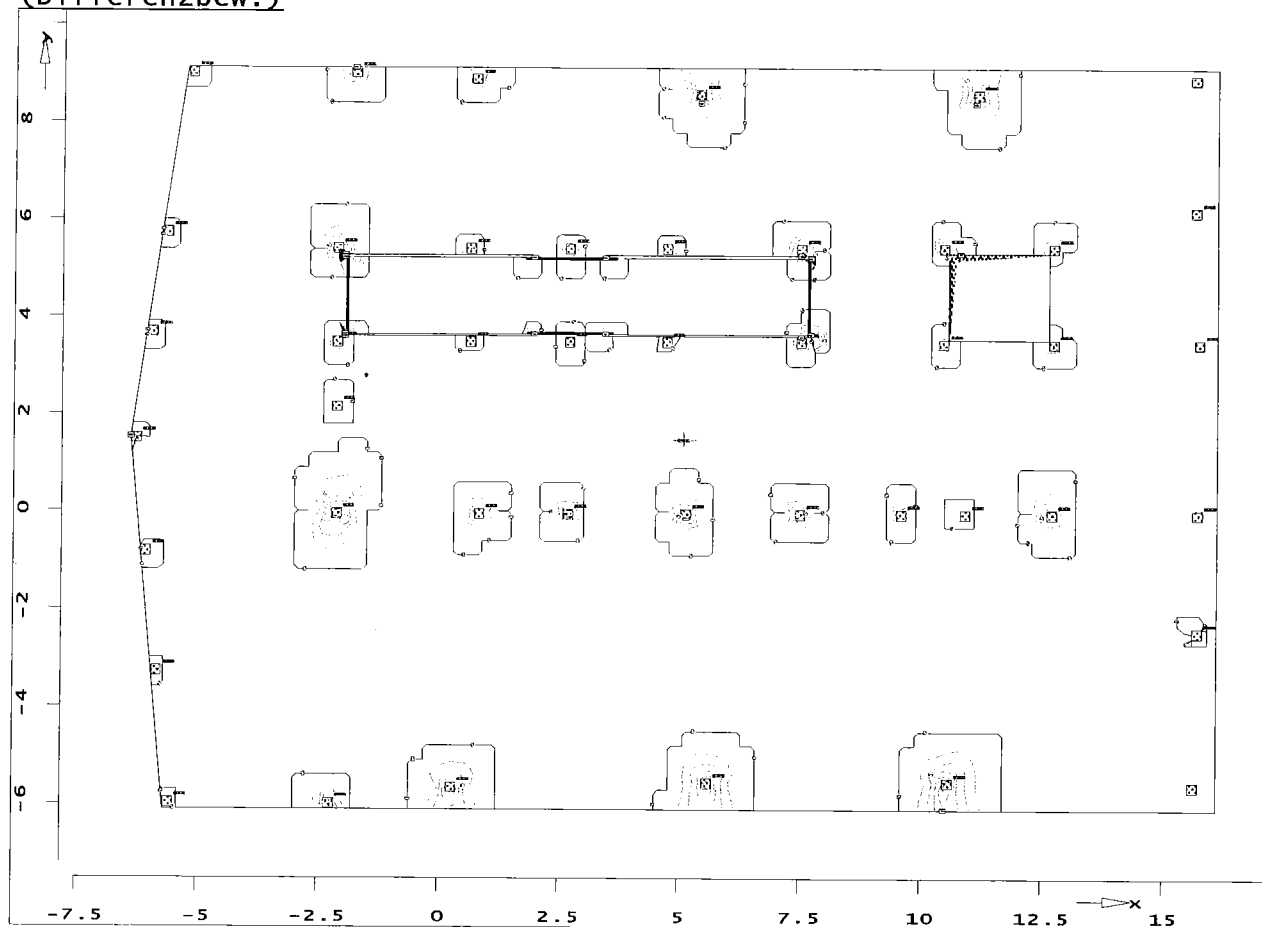


Isolinienstufen = 2.00 cm²/m

Punkt	X	Y [m]	mx	my	mxy [kNm/m]	asru [cm ² /m]	assu [cm ² /m]
F01	3.40	3.68	-20.18	-1.60	-21.53	0.0	0.4
F02	-2.10	7.80	-0.67	20.46	4.31	0.0	1.3
F03	1.20	7.50	1.84	20.39	-4.07	0.0	1.2
F04	0.00	7.50	0.81	19.90	0.84	0.0	0.5
F05	-1.80	7.50	-1.32	21.62	2.99	0.0	1.3
F06	12.00	7.20	-3.36	16.08	-4.04	0.0	0.4
F07	10.50	7.20	-0.06	18.96	4.73	0.0	1.1
F08	6.30	7.20	-0.08	16.09	-7.26	0.0	1.0
F09	4.50	7.20	-0.73	17.70	4.31	0.0	0.8
F10	11.10	-3.60	3.46	35.05	5.52	0.0	4.4
F11	6.30	-3.60	2.51	37.92	2.45	0.0	4.4
F12	4.80	-3.60	4.54	38.06	-4.80	0.0	4.9
F13	0.90	-3.60	5.40	39.42	4.38	0.0	5.1
F14	-0.90	-3.60	5.68	38.63	-2.68	0.0	4.6
R01	7.71	3.66	-70.87	19.41	10.74	0.0	0.6
R02	7.51	3.66	-14.03	10.90	-19.20	0.0	2.3
R03	1.96	3.61	19.25	1.31	17.31	3.6	0.1
R04	-1.80	3.66	-20.88	49.02	-26.48	0.0	12.1
R05	3.43	5.28	29.68	-10.41	37.99	10.4	1.8
R06	7.50	5.22	-4.13	15.82	33.22	2.1	6.2
R07	1.96	5.28	24.41	-11.89	-34.67	8.3	1.0

Punkt	X	Y	mx	my	mxy	asru	assu
		[m]			[kNm/m]		[cm ² /m]
R08	-1.80	5.23	-3.37	59.85	65.92	9.1	26.1
R09	-2.70	-6.10	2.00	3.35	-22.22	1.2	1.4
R10	16.09	-4.20	0.03	21.49	0.81	0.0	0.8
R11	-5.83	-4.50	4.64	25.22	-11.59	0.0	3.6

Tragfähigkeitsnachweis: obere Bewehrung $a_{s,ro}$ [cm^2/m]
(Differenzbew.)

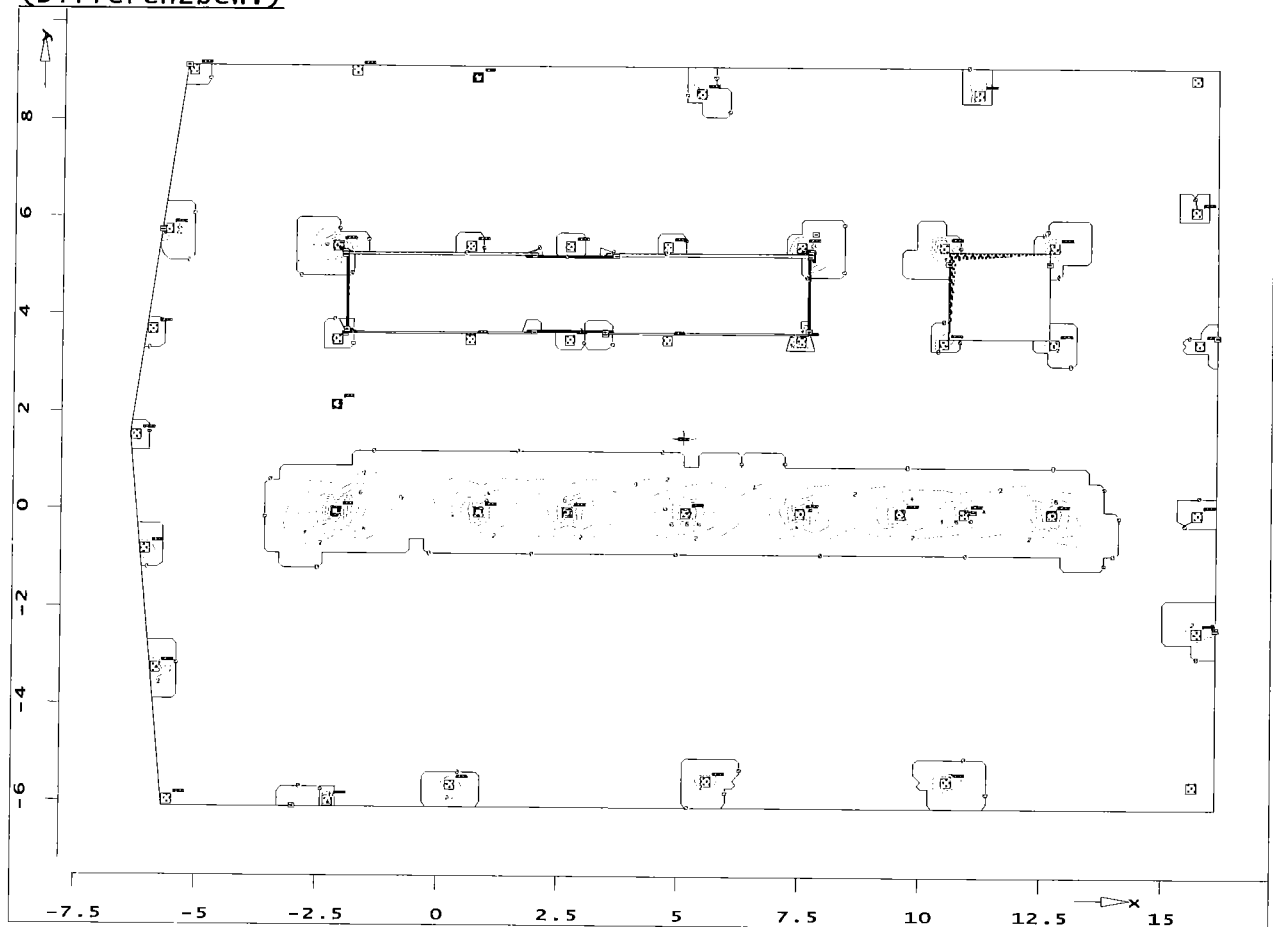


Isolinienstufen = $2.50 \text{ cm}^2/\text{m}$

Punkt	X	Y [m]	mx	my	mxy [kNm/m]	asro [cm^2/m]	asso [cm^2/m]
ST_00_01			-37.85	-39.36	6.45	5.2	5.5
ST_00_2			-35.58	-32.15	-11.44	5.8	5.0
ST_00_3			-33.12	-28.93	0.80	3.1	2.3
ST_00_4			-21.01	-11.52	-0.98	0.8	0.0
ST_00_5			-42.47	-17.48	-1.46	5.1	0.2
ST_00_6			-31.46	-20.25	-0.15	2.6	0.4
ST_00_7			-24.92	-12.60	1.59	1.6	0.0
ST_00_9			-101.06	-110.67	3.38	19.6	22.4
ST_00_10			-83.27	-48.23	2.99	14.7	6.6
ST_00_11			-83.20	-76.68	-17.30	18.5	16.7
ST_00_12			-60.82	-83.07	-1.16	9.0	14.2
ST_00_13			-64.81	-84.43	-1.50	10.0	14.6
ST_00_14			-53.79	-76.53	-0.58	7.3	12.5
ST_00_15			-71.03	-86.43	-4.45	12.1	15.9
ST_00_19			-44.17	-22.36	-0.62	5.3	0.9
ST_00_20			-55.56	-23.13	-9.71	9.7	2.9
ST_00_21			-57.43	-23.21	9.52	10.1	2.8
ST_00_22			-46.10	-33.23	0.82	5.7	3.1
ST_00_23			-65.57	-60.58	16.27	13.6	12.6
ST_00_24			-23.57	-36.50	-4.55	1.9	4.5
ST_00_26			-53.51	-50.08	10.58	9.5	8.7

Punkt	X	Y [m]	mx	my	mxy [kNm/m]	asro	asso [cm ² /m]
ST_00_27			-84.69	-46.96	3.73	15.3	6.5
ST_00_28			-62.44	-66.54	-6.40	10.5	11.5
ST_00_29			-80.76	-43.28	-0.61	13.5	5.1
ST_00_30			-50.68	-43.05	-7.09	8.1	6.5
ST_00_31			-45.33	-6.75	10.90	7.7	0.0
ST_00_32			-21.47	-16.28	-12.48	3.1	2.1
ST_00_33			-65.44	-33.15	-10.42	12.2	5.0
ST_00_34			-12.77	-11.32	6.63	0.3	0.0
ST_00_35			-40.72	-19.57	0.00	4.5	0.3
ST_00_36			-38.65	-73.63	6.24	5.3	13.2
ST_00_37			-15.58	-33.52	7.80	1.0	5.0
ST_00_38			-16.48	-32.50	-3.02	0.3	3.4
ST_00_39			-25.15	-59.87	-3.26	2.0	9.3
ST_00_41			-45.05	-35.76	0.29	5.4	3.5
ST_00_42			-58.82	-79.21	1.33	8.6	13.4
ST_00_43			-43.51	-68.16	-0.45	5.1	10.5
ST_00_44			-31.68	-57.13	-1.08	2.9	8.4
F01	11.10	8.40	-47.98	-12.00	3.29	6.7	0.0
F02	5.40	8.40	-47.30	-13.10	-1.96	6.2	0.0
R01	7.51	3.61	-41.63	-1.68	-10.22	6.8	0.0
R02	7.71	3.66	-97.83	7.15	17.92	22.9	0.0
R03	3.43	3.66	-64.15	-15.02	-22.64	14.9	3.8
R04	10.80	5.33	-17.24	12.52	-6.03	0.4	0.0
R05	-1.98	3.61	-28.53	-11.96	6.52	3.3	0.2
R06	1.96	3.66	-44.69	-11.48	25.23	10.8	3.7
R07	-1.98	3.66	-133.93	14.37	23.06	35.6	0.0
R08	7.51	5.28	-76.25	0.04	18.10	16.8	0.1
R09	7.71	5.22	-152.56	-61.83	-59.58	48.8	24.6
R10	3.43	5.22	-34.91	-6.17	24.94	8.5	2.6
R11	-1.98	5.28	-59.39	-87.54	-45.36	19.6	28.6
R12	1.96	5.23	-35.46	-12.00	-26.21	8.9	3.9
R13	-1.98	5.23	-135.22	-58.91	-21.21	35.4	13.2
R14	10.50	-6.10	-59.03	-0.25	4.52	9.3	0.0
R15	-1.79	9.12	-59.38	-4.96	2.93	9.1	0.0
R16	-6.39	1.53	-12.37	-26.35	-10.15	0.8	3.6

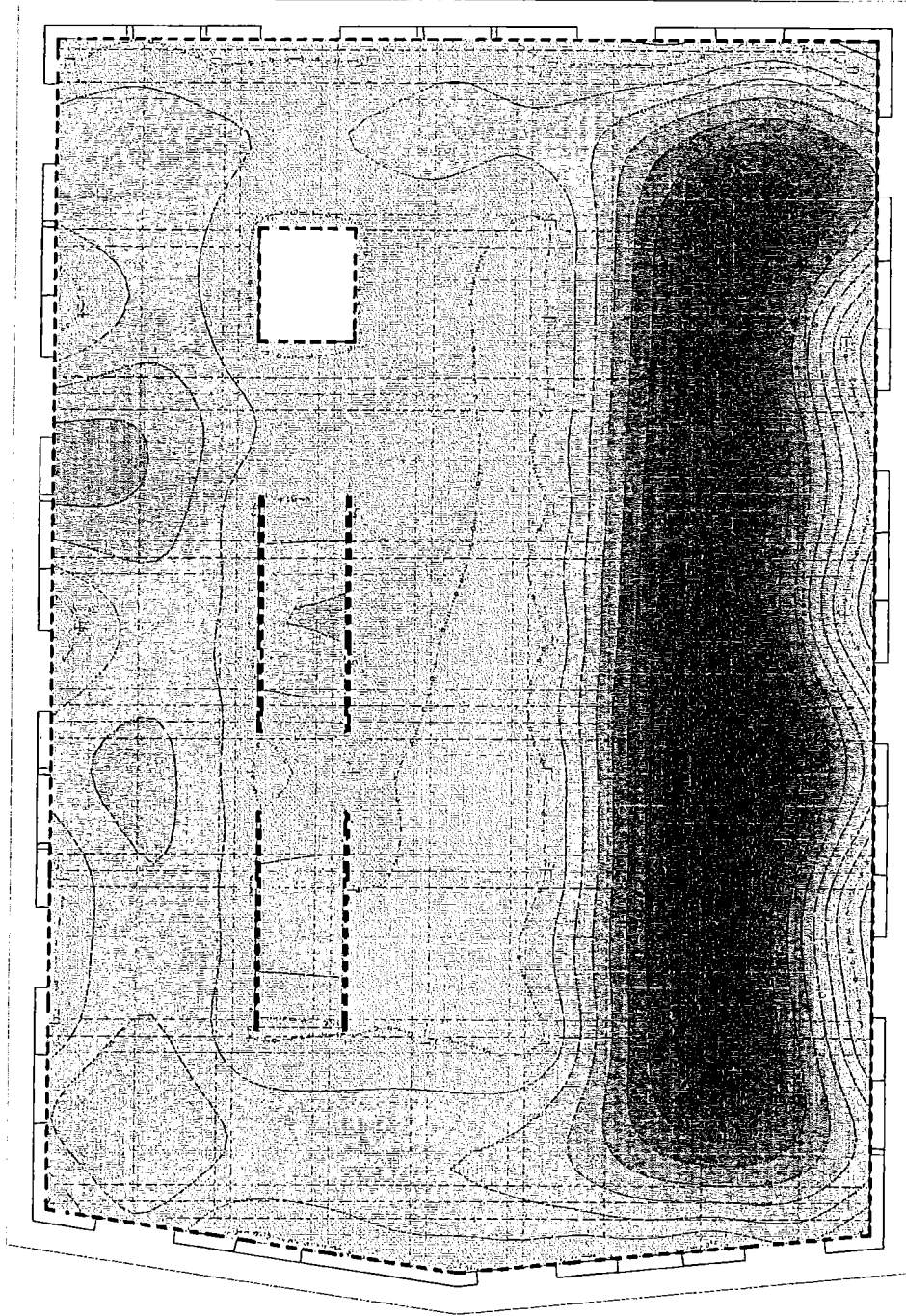
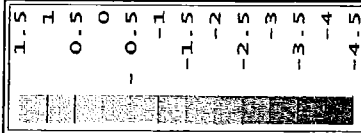
Tragfähigkeitsnachweis: obere Bewehrung $a_{s,so}$ [cm^2/m]
(Differenzbew.)



Isolinienstufen = 2.00 cm^2/m

Punkt	X	Y [m]	mx	my	mxy [kNm/m]	asro [cm^2/m]	asso [cm^2/m]
ST_00_01			-37.85	-39.36	6.45	5.2	5.5
ST_00_2			-35.58	-32.15	-11.44	5.8	5.0
ST_00_3			-33.12	-28.93	0.80	3.1	2.3
ST_00_5			-42.47	-17.48	-1.46	5.1	0.2
ST_00_6			-31.46	-20.25	-0.15	2.6	0.4
ST_00_8			-14.66	-25.73	0.69	0.0	1.6
ST_00_9			-101.06	-110.67	3.38	19.6	22.4
ST_00_10			-83.27	-48.23	2.99	14.7	6.6
ST_00_11			-83.20	-76.68	-17.30	18.5	16.7
ST_00_12			-60.82	-83.07	-1.16	9.0	14.2
ST_00_13			-64.81	-84.43	-1.50	10.0	14.6
ST_00_14			-53.79	-76.53	-0.58	7.3	12.5
ST_00_15			-71.03	-86.43	-4.45	12.1	15.9
ST_00_16			-10.23	-20.01	-6.29	0.0	1.6
ST_00_17			-14.04	-22.75	0.70	0.0	1.0
ST_00_19			-44.17	-22.36	-0.62	5.3	0.9
ST_00_20			-62.11	-37.09	-1.97	9.5	4.1
ST_00_21			-65.66	-38.99	-0.32	9.9	4.2
ST_00_22			-46.10	-33.23	0.82	5.7	3.1
ST_00_23			-65.57	-60.58	16.27	13.6	12.6
ST_00_24			-23.57	-36.50	-4.55	1.9	4.5

Punkt	X	Y [m]	mx	my	mxy [kNm/m]	asro	asso [cm ² /m]
ST_00_26			-53.51	-50.08	10.58	9.5	8.7
ST_00_27			-84.69	-46.96	3.73	15.3	6.5
ST_00_28			-62.44	-66.54	-6.40	10.5	11.5
ST_00_29			-80.76	-43.28	-0.61	13.5	5.1
ST_00_30			-50.68	-43.05	-7.09	8.1	6.5
ST_00_32			-21.47	-16.28	-12.48	3.1	2.1
ST_00_33			-65.44	-33.15	-10.42	12.2	5.0
ST_00_35			-40.72	-19.57	0.00	4.5	0.3
ST_00_36			-38.65	-73.63	6.24	5.3	13.2
ST_00_37			-2.73	-36.44	10.69	0.0	5.8
ST_00_38			-16.48	-32.50	-3.02	0.3	3.4
ST_00_39			-25.15	-59.87	-3.26	2.0	9.3
ST_00_40			-14.26	-28.51	-0.87	0.0	2.2
ST_00_41			-45.05	-35.76	0.29	5.4	3.5
ST_00_42			-58.82	-79.21	1.33	8.6	13.4
ST_00_43			-43.51	-68.16	-0.45	5.1	10.5
ST_00_44			-31.68	-57.13	-1.08	2.9	8.4
F01	7.80	5.70	-11.39	-15.22	10.12	0.8	1.4
F02	11.10	0.00	-11.53	-46.61	1.87	0.0	6.1
F03	-1.94	3.69	-56.08	-21.42	6.80	9.2	2.0
F04	7.67	3.69	-42.71	-45.36	47.41	15.7	16.4
R01	3.43	3.61	8.32	-14.54	-30.77	0.8	5.4
R02	3.43	3.66	-64.15	-15.02	-22.64	14.9	3.8
R03	10.56	5.10	11.61	-22.70	-2.97	0.0	1.0
R04	12.63	5.10	10.36	-21.22	8.09	0.0	1.8
R05	-1.98	3.61	-28.53	-11.96	6.52	3.3	0.2
R06	1.96	3.66	-44.69	-11.48	25.23	10.8	3.7
R07	7.71	5.28	35.57	-60.72	39.17	0.0	18.3
R08	7.71	5.22	-152.56	-61.83	-59.58	48.8	24.6
R09	3.65	5.22	-11.01	2.46	38.07	6.2	3.4
R10	-1.98	5.28	-59.39	-87.54	-45.36	19.6	28.6
R11	1.96	5.23	-35.46	-12.00	-26.21	8.9	3.9
R12	-1.98	5.23	-135.22	-58.91	-21.21	35.4	13.2
R13	-3.00	-6.10	18.58	0.47	-22.21	0.0	0.7
R14	16.09	-2.40	-0.11	-27.90	-3.57	0.0	2.6
R15	16.10	3.60	-0.06	-18.95	0.70	0.0	0.3
R16	-5.25	9.12	-12.25	-5.01	-17.99	2.4	0.9
R17	-5.76	5.72	-5.59	-60.25	-4.26	0.0	9.6



Verformungen

Ergebnisse aus Lastkombination LK-1 in [mm]

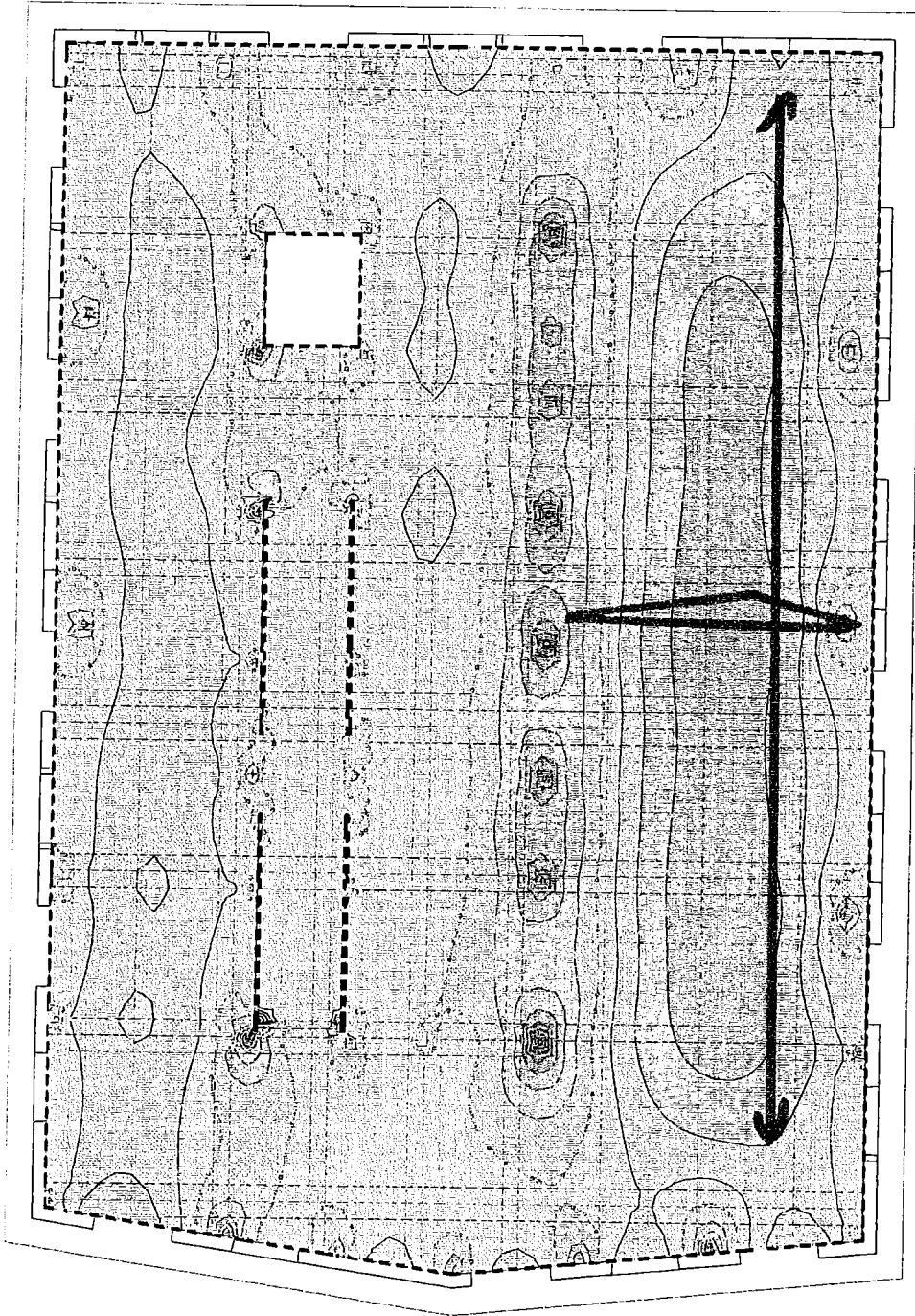
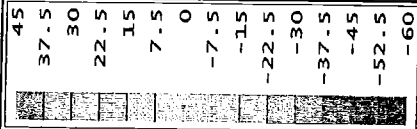
Maßstab: 1:125

MicroFe 2008.140

BauCon - Dr. Ing. Simon Neulicherl - www.baucon.it

Projekt S0962 KG Rodeneck Datum
FE-Modell F_DE_00_1B Seite F - 26

uz: MAX = 1.2 (Kn. 116), MIN = -4.2 (Kn. 772), STEP = 0.5



Achse
Überhöhen!

Plattenschnittgrößen
Moment ms in [kNm/m]

Maßstab: 1:125

MicroFe 2008.140

BauCon - Dr. Ing. Simon Neulicherl - www.baucon.it

MAX aus LFN/LKN-Überlagerung

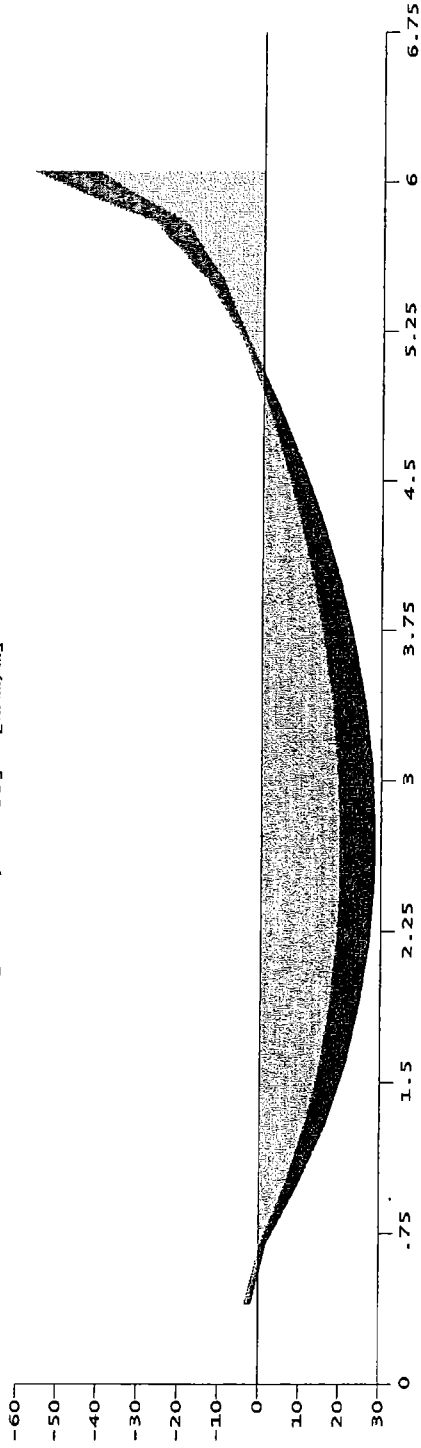
MAX = 44.67 (Kn. 2819), MIN = -59.01 (Kn. 15), STEP = 7.5

Projekt S0962 KG Rodeneck Datum

FE-Modell F_DE_00_1B Seite F - 27

Decke über EG

Momentengrenzlinie ms [-57.46, 28.53] [kNm/m]



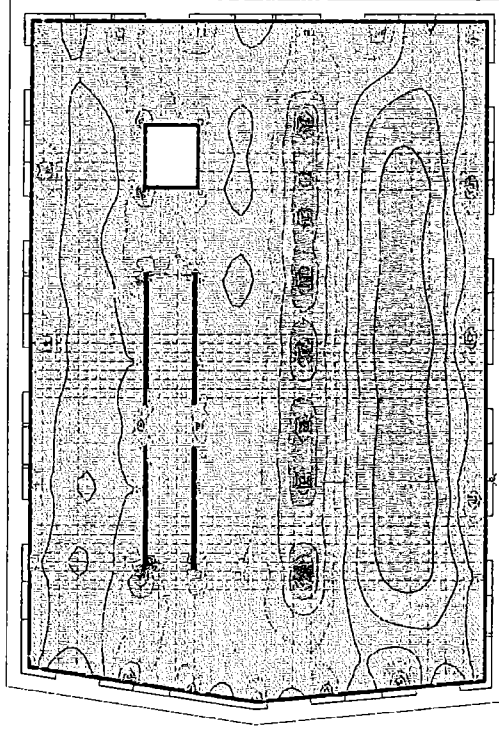
Korrektur:

$$q: 0,2 \times (25 + 1) = 5,7 \text{ kN/m}^2$$

$$M \approx \frac{q \cdot l^2}{9} = \frac{5,7 \times 5,5^2}{9} =$$

$$= 37,4 \text{ kNm}$$

$$M \approx \frac{q \cdot l^2}{10} = \frac{5,7 \times 5,5^2}{10} = 33,7 \text{ kNm}$$



Plattenschnittgrößen

Moment ms in [kNm/m]

MicroFe 2008.140

BauCon - Dr. Ing. Simon Neulichedl - www.baucon.it

MAX aus LFN/LKN-Überlagerung

MAX = 44.67 (Kn. 2819), MIN = -59.01 (Kn. 15), STEP = 7.5

Projekt S0962 KG Rodeneck Datum

FE-Modell F_DE_00_1B Seite

F - 28

Decke über EG

Durchbiegung 2

Durchbiegung

×

ANGABEN

Gebrauchslasten: $M =$ [kNm]

$N =$ [kN]

Bewehrung: $A_{s,u} =$ [cm²]

$A_{s,o} =$ [cm²]

Kriechzahl: $\phi =$ $\frac{d}{cm}$

Stützweite: $L =$ [m]

Dauerlast: $p_d/p =$ $\frac{d}{cm}$

System

☐

☐

☐

☐

Belastungsart

☐

☐

Bemessungsort

☐

☐

☐

ERGEBNISSE

Rißmoment: $M_r =$ kNm

Kurzzeit: Dauerlasten: $w_{p,d} =$ cm = $L \div 614 = 3.334 \times w_{p,d} (1)$

Gesamtlast: $w_p =$ cm = $L \div 315 = 4.743 \times w_p (1)$

Verkehrslast: $dw_q =$ cm = $L \div 1622 = 3.411 \times dw_q (1)$

Langzeit: Dauerlasten: $w_{p,d} =$ cm = $L \div 284 = 7.197 \times w_{p,d} (1)$

Gesamtlast: $w_p =$ cm = $L \div 211 = 7.068 \times w_p (1)$

Berechnen

Beenden

< 1/500 ✓
< 1/500
< 1/250

Überhöhung notwendig

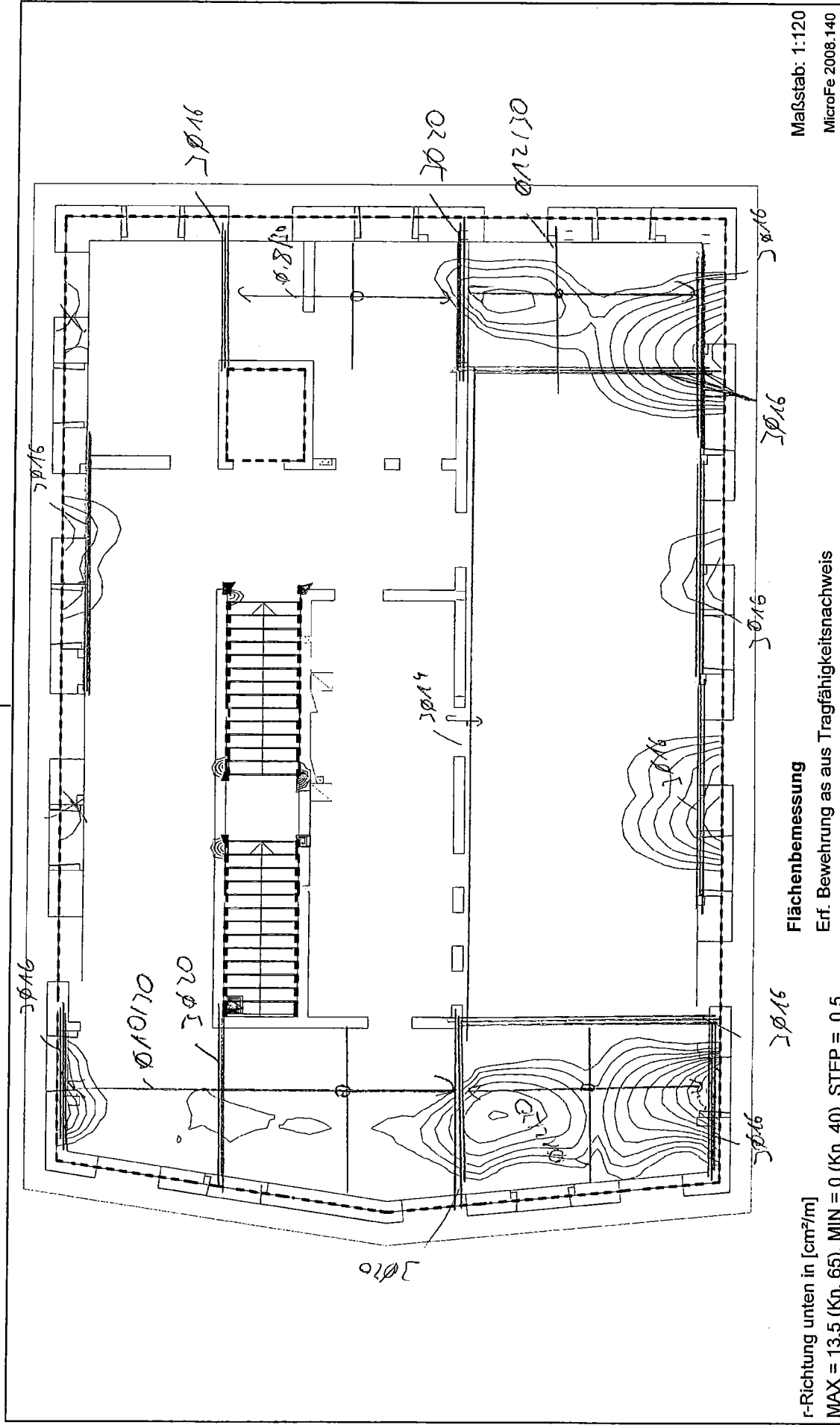
gew: 1,00 cm

Max Überhöhung = $l/250 = 2,20$

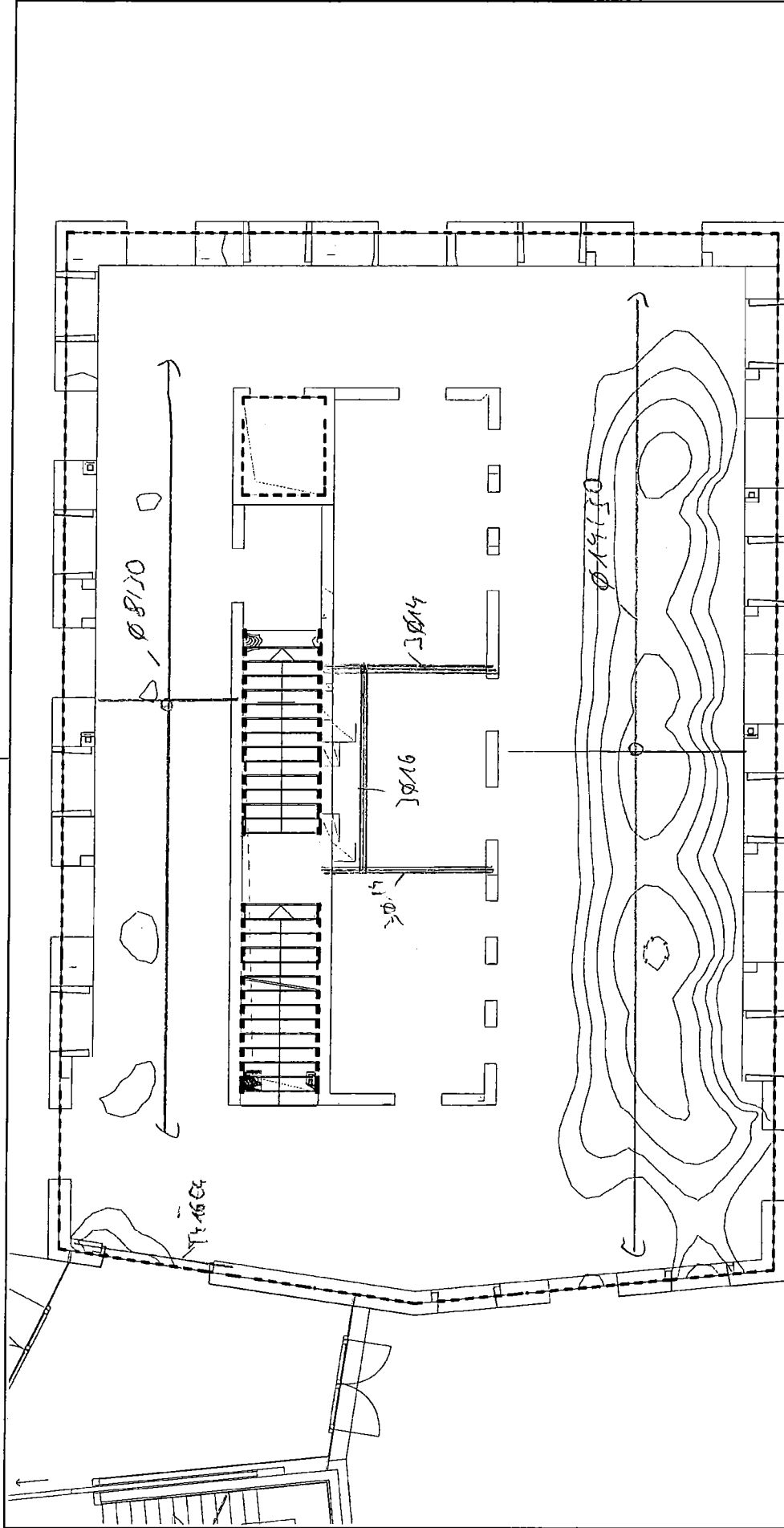
Restl. Langzeit – Durchbiegung:

Dauerlasten: 0,93 => $l/500 = 1,10 > \text{Durchbiegung } \checkmark$

Gesamtlasten: 1,60 => $l/250 = 2,20 > \text{Durchbiegung } \checkmark$



Decke über EG		BauCon - Dr. Ing. Simon Neulichedl - www.baucon.it	
Projekt	S0962 KG Rodeneck	Datum	Seite
FE-Modell	F_DE_00_1B		F - 30

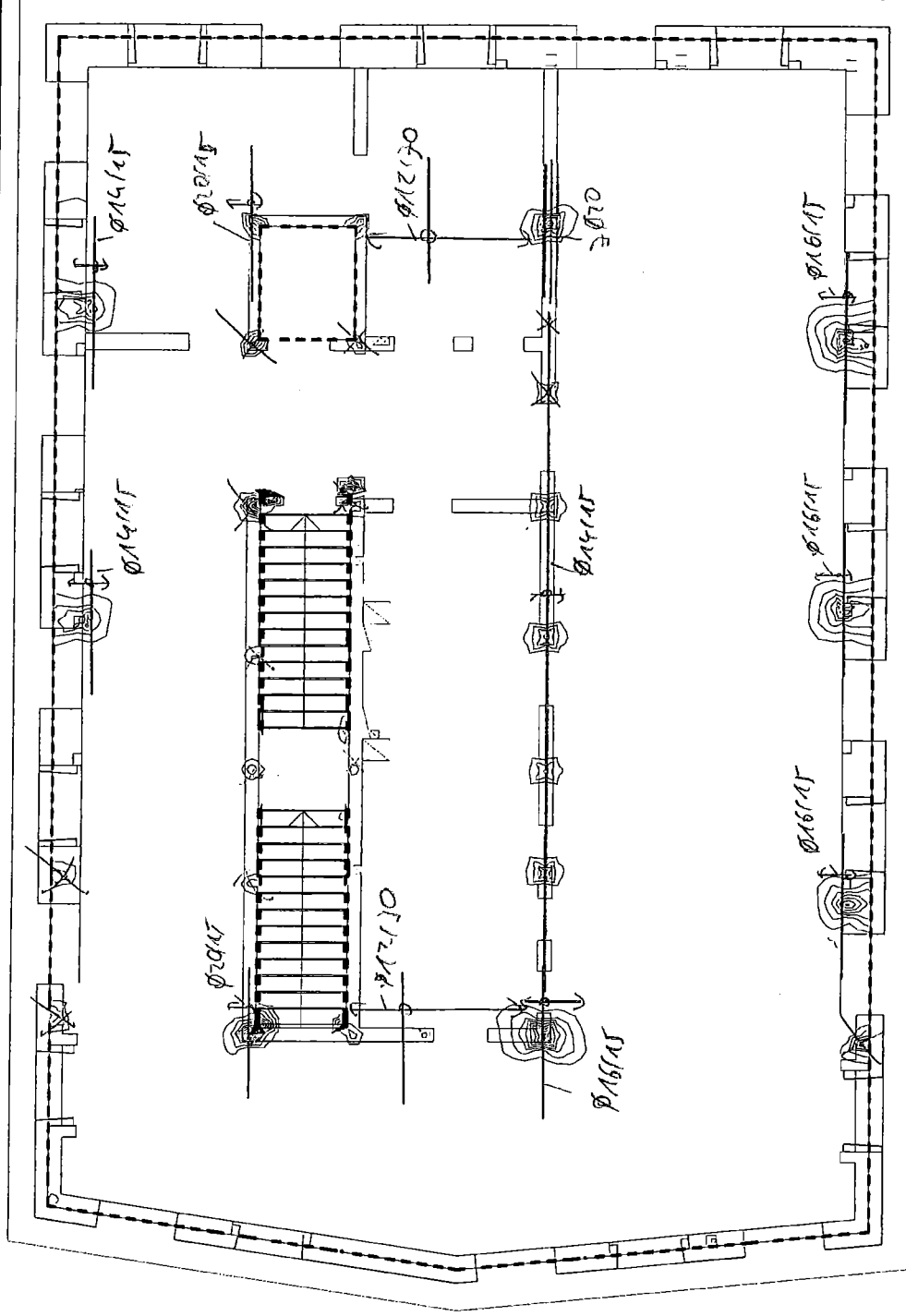


s-Richtung unten in [cm²/m]
MAX = 26.1 (Kn. 2819), MIN = 0 (Kn. 40), STEP = 1
C25/30, S450, Betondicke = 20.0 cm
Überdeckung [cm]: h₁r = 4.0, h₁'s = 4.0
Grundbewehrung: asgru = 3.4, asgsu = 3.4 0.0/90.0 Grad
Stahlmasse = 1021.6 kg (ohne Grundbewehrung 152.0 kg)

Flächenbemessung
Erf. Bewehrung as aus Tragfähigkeitsnachweis

Maßstab: 1:120
MicroFe 2008.140

BauCon - Dr. Ing. Simon Neulichedl - www.baucon.it			
Decke über EG			
Projekt	S0962 KG Rodeneck	Datum	
FE-Modell	F_DE_00_1B	Seite	F - 31



r-Richtung oben in [cm²/m]
 MAX = 48.8 (Kn. 65), MIN = 0 (Kn. 81), STEP = 2
 C25/30, S450, Betondicke = 20.0 cm
 Überdeckung [cm]: h'r = 4.0, h's = 4.0
 Grundbewehrung: asgro = 3.4, asgso = 3.4 0.0/90.0 Grad
 Stahlmasse = 926.1 kg (ohne Grundbewehrung 56.5 kg)

Flächenbemessung

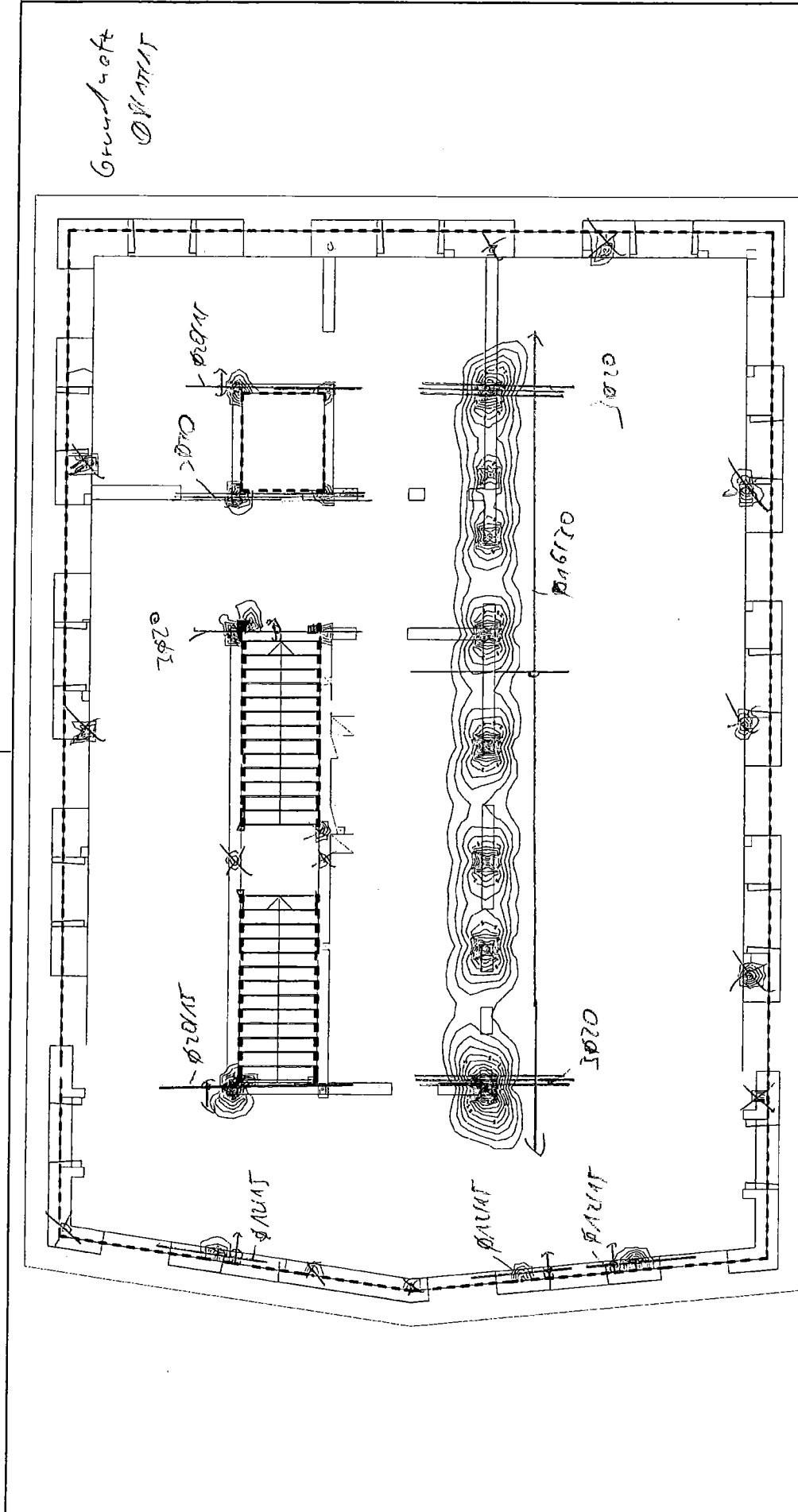
Erf. Bewehrung as aus Tragfähigkeitsnachweis

Maßstab: 1:120
 MicroFe 2008.140

BauCon - Dr. Ing. Simon Neulicherl - www.baucon.it

Projekt S0962 KG Rodeneck Datum 02.12.10
 FE-Modell F_DE_00_1B Seite F - 32

Decke über EG



s-Richtung oben in [cm²/m]
 MAX = 28.6 (Kn. 59), MIN = 0 (Kn. 236), STEP = 1
 C25/30, S450, Betondicke = 20.0 cm
 Überdeckung [cm]: h'r = 4.0, h's = 4.0
 Grundbewehrung: asgro = 3.4, asgo = 3.4 0.0/90.0 Grad
 Stahlmasse = 950.6 kg (ohne Grundbewehrung 81.0 kg)

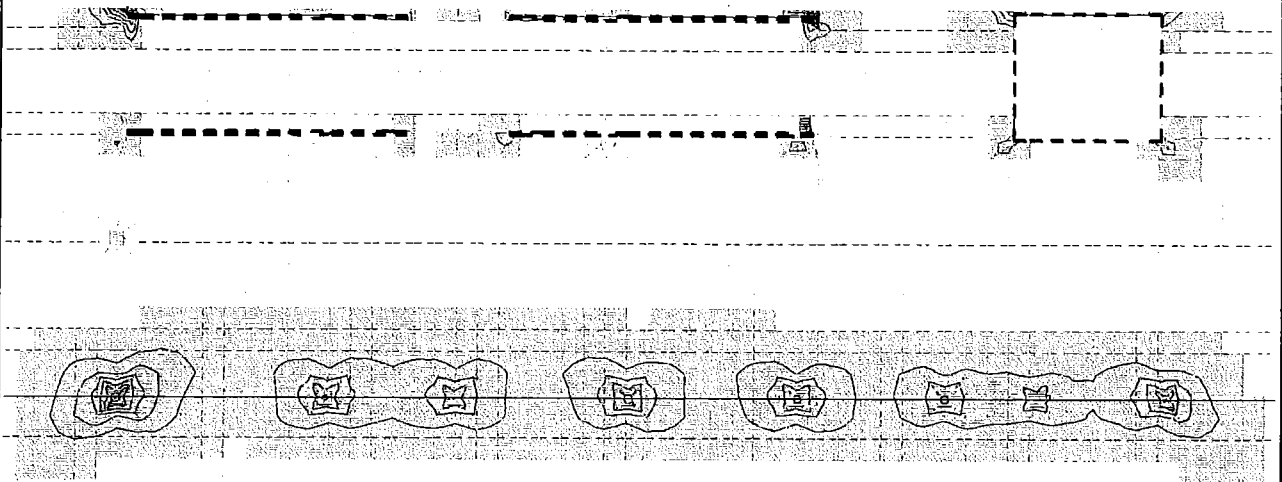
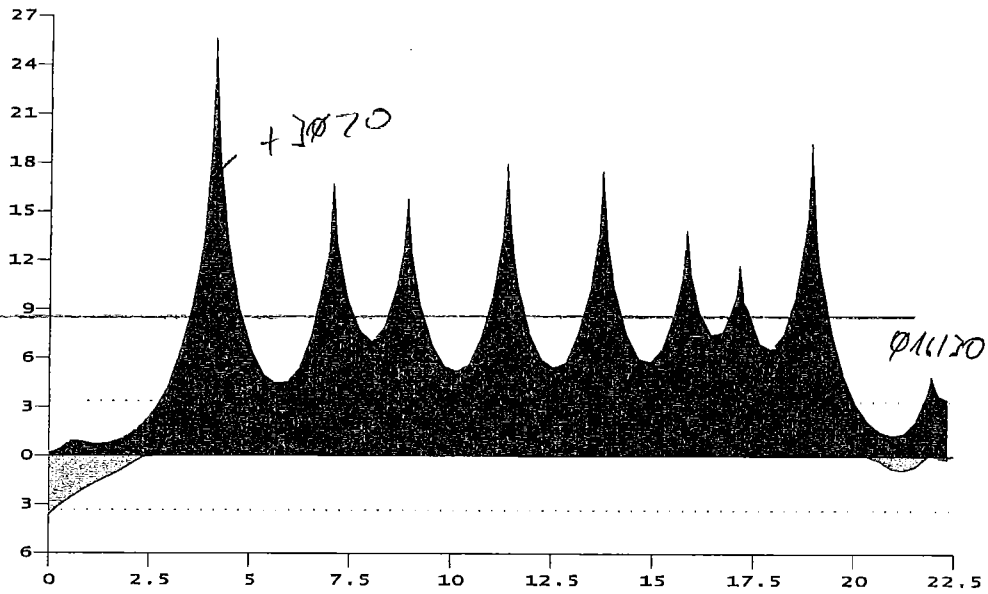
Flächenbemessung
 Erf. Bewehrung as aus Tragfähigkeitsnachweis

Maßstab: 1:120
 MicroFe 2008.140

BauCon - Dr. Ing. Simon Neuhaedl - www.baucon.it

Decke über EG	Projekt	S0962 KG Rodeneck	Datum	02.12.10
	FE-Modell	F_DE_00_1B	Seite	F - 33

Differenzbewehrung as,so/su [25.7 / 3.6] [cm²/m]



s-Richtung oben in [cm²/m]

MAX = 28.6 (Kn. 59), MIN = 0 (Kn. 236), STEP = 3

C25/30, S450, Betondicke = 20.0 cm

Überdeckung [cm]: h'r = 4.0, h's = 4.0

Grundbewehrung: asgro = 3.4, asgso = 3.4 0.0/90.0 Grad

Stahlmasse = 1021.6 kg (ohne Grundbewehrung 152.0 kg)

Flächenbemessung

Erf. Bewehrung as aus Tragfähigkeitsnachweis

MicroFe 2008.140

BauCon - Dr. Ing. Simon Neulichedl - www.baucon.it

Decke über EG

Projekt S0962 KG Rodeneck Datum

FE-Modell F_DE_00_1B

Seite

F - 34

G TRAVI/TRÄGER

G.1 Generalità/Allgemeines

Il seguente calcolo illustra travi che non sono validi come travi standard. Travi standard sono armati costruttivamente secondo EC – 2 con lunghezze minime e staffature.

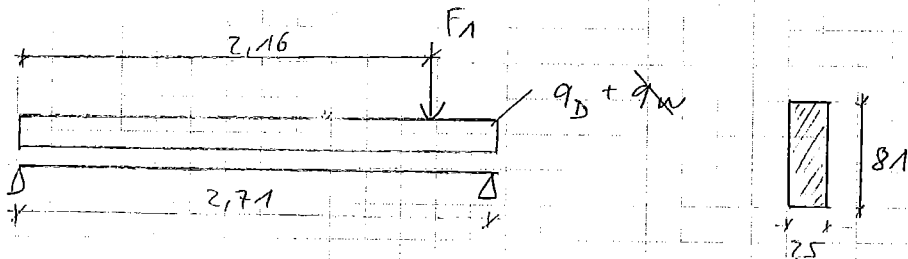
Die nachfolgende Berechnung berücksichtigt Träger, die nicht als Standardträger gelten. Standardträger sind nur konstruktiv gemäß EC - 2 bewehrte Träger mit Mindestlängsbewehrung und Mindestquerbewehrung sowie ohne Verbügelung.

G.2 Dettagli costruttivi/Konstruktive Details

Vedi/siehe DM cap. 4.1.6

LASTANNAHMEN TRÄGER:TRÄGER BECKE ÜBER EG:

TR_00_01:



$$q_{\text{Decke}}: \left. \begin{array}{l} g_0 = 0,2m \times 25 \text{ kN/m}^2 \\ g_1 = 3 \text{ kN/m}^2 \\ p = 3 \text{ kN/m}^2 \end{array} \right\} g = 8 \text{ kN/m}^2$$

$$b_{\text{Einfluss}} = 2,0m$$

$$\Rightarrow g = 16 \text{ kN/m}$$

$$p = 6 \text{ kN/m}$$

~~$$q_{\text{Windfang}}: \left. \begin{array}{l} g_0 = 3 \text{ kN/m}^2 \\ g_1 = 2 \text{ kN/m}^2 \\ p = 5 \text{ kN/m}^2 \end{array} \right\} g = 5 \text{ kN/m}^2$$~~

~~$$b_{\text{Einfluss}} = 3,1m + 1,5 \text{ (Ausladung)}$$~~

~~$$\Rightarrow g = 23 \text{ kN/m}$$~~

~~$$p = 23 \text{ kN/m}$$~~

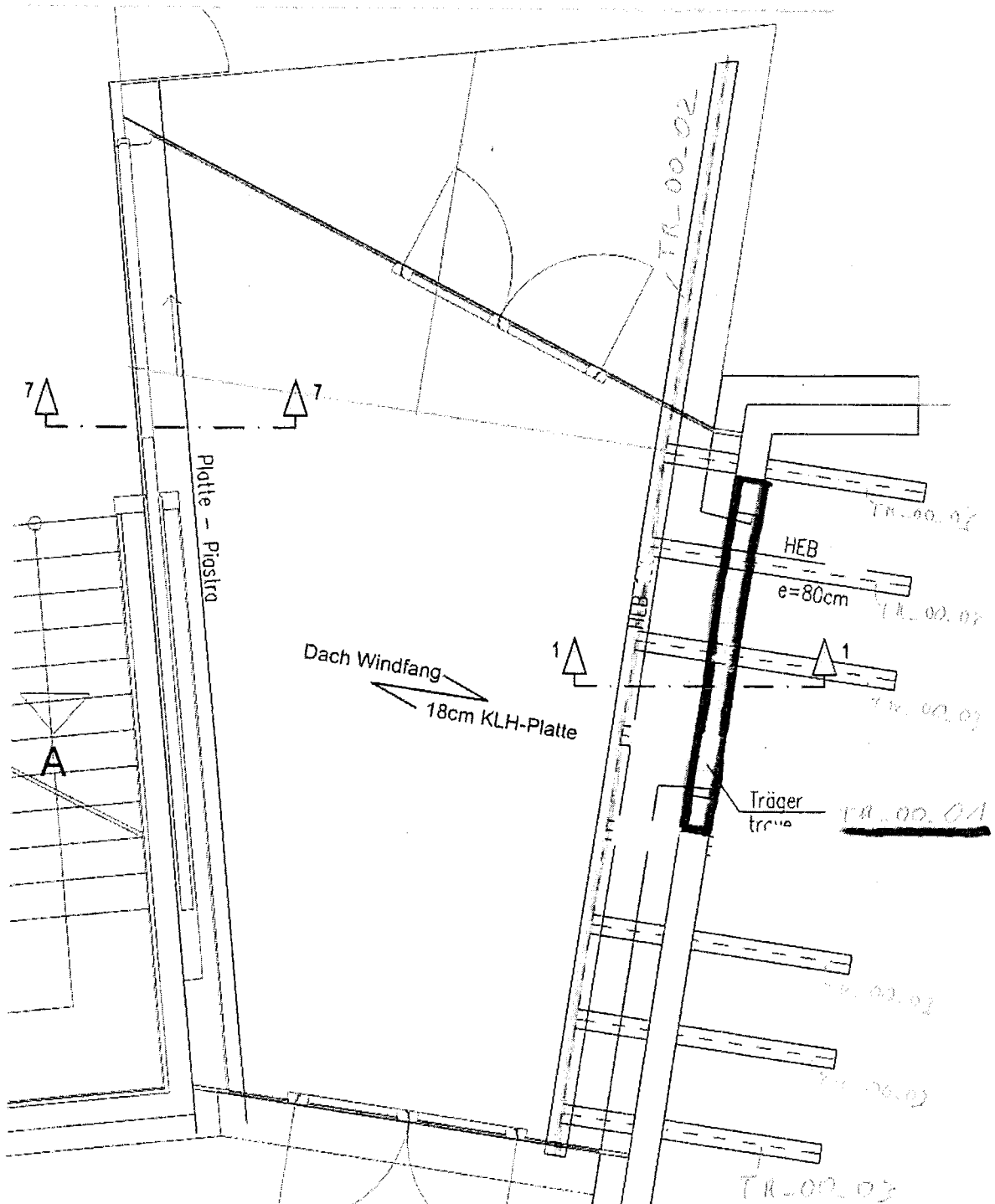
→ Einzellast
Auflager

$$F_1 = 140,29$$

Auftrags-Nr. 50962

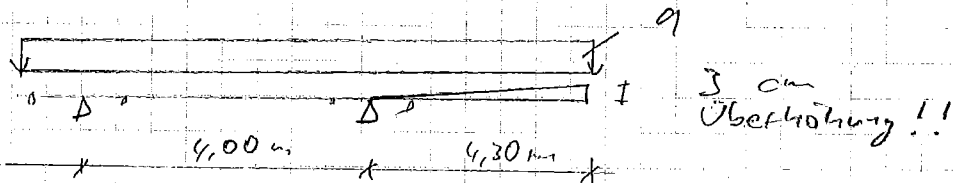
Seite: 6-4

GRUNDRISS UND STATISCHES SYSTEM



BALCON

TA_00.02:

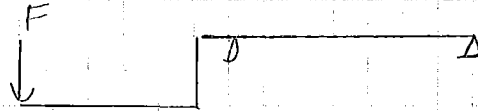


$q:$
 $q_0 = 2 \text{ kN/m}^2$
 $q_1 = 1 \text{ kN/m}^2$
 $p = 3 \text{ kN/m}^2$

→ gew: Schweißträger + 3 cm
 55550 Überhöhung!

Details von IS 200/200/20/40				IS 200/200/20/40	
Bezeichnung	Name	Größe	Einheit		
Querschnittsfläche	A	184.00	cm ²		
Schubfläche	A _y	133.90	cm ²	<input type="checkbox"/> Spannungspunkte <input type="checkbox"/> Nummerieren	
Schubfläche	A _z	30.05	cm ²		
Trägheitsmoment (Flächenmoment 2.)	I _y	10741.30	cm ⁴	<input type="checkbox"/> (b/I)-Felder <input type="checkbox"/> Nummerieren	
Trägheitsmoment (Flächenmoment 2.)	I _z	5341.33	cm ⁴		
Polares Trägheitsmoment	I _p	16082.70	cm ⁴	<input type="checkbox"/> Werte... <input type="checkbox"/> Werte...	
Trägheitsradius	I _y	7.64	cm		
Trägheitsradius	I _z	5.39	cm	<input type="button" value="Abbruch"/> <input type="button" value="Hilfe"/>	
Polarer Trägheitsradius	I _p	9.35	cm		
Trägheitsradius des Gurtquerschnitts	I _z	5.61	cm		
Eigenlast	G	144.44	kg/m		
Mantelfläche	U	1.160	m ² /m		
Torsionsträgheitsmoment	I _t	788.71	cm ⁴		
Wölbwiderstand bezogen auf M	I _ω	341333.00	cm ⁶		
Abklingfaktor	χ	0.029854	1/cm		
Widerstandsmoment	W _y	1074.13	cm ³		
Widerstandsmoment	W _z	534.13	cm ³		
Wölbwiderstandsmoment	W _ω	4266.67	cm ⁴		
Statisches Moment	S _{y,max}	676.00	cm ³		
Statisches Moment	S _{z,max}	199.65	cm ³		
Wölbordinate	ω _{max}	80.00	cm ²		
Wölbfläche (Flächenmoment 1. Grad)	S _{ω,max}	1600.00	cm ⁴		
Plastisches Widerstandsmoment	W _{pl,y}	1352.00	cm ³		
Plastisches Widerstandsmoment	W _{pl,z}	812.00	cm ³		
Plastisches Wölbwiderstandsmoment	W _{pl,ω}	6400.00	cm ⁴		
Plastischer Formbeiwert	α _{pl,y}	1.26			
Plastischer Formbeiwert	α _{pl,z}	1.52			
Plastischer Formbeiwert	α _{pl,ω}	1.50			
Knickspannungslinie	Ks _{ly}	b			
Knickspannungslinie	Ks _{lz}	c			

TR_00_02 :



$F \approx$ Auflager von TR-00-02 / 3 Stück

\Rightarrow gear: 3 x HED 140
5255 JO

Details von HE-B 140				HE-B 140	
Bezeichnung	Name	Größe	Einheit		
Profilhöhe	h	140.00	mm		
Profilbreite	b	140.00	mm		
Stegdicke	t _s	7.00	mm		
Flanschdicke	t _f	12.00	mm		
Ausrundungsradius	r	12.00	mm		
Querschnittsfläche	A	43.00	cm ²		
Schubfläche	A ₂	28.04	cm ²		
Schubfläche	A ₃	8.23	cm ²		
Wirksame Schubfläche nach EC 3	A _{v-y}	34.93	cm ²		
Wirksame Schubfläche nach EC 3	A _{v-z}	13.12	cm ²		
Stegfläche	A _{steg}	8.12	cm ²		
Trägheitsmoment (Flächenmoment)	I _y	1510.00	cm ⁴		
Trägheitsmoment (Flächenmoment)	I _z	550.00	cm ⁴		
Trägheitsradius	i _y	5.93	cm		
Trägheitsradius	i _z	3.58	cm		
Polarer Trägheitsradius	i _p	6.93	cm		
Trägheitsradius des Gurtquerschnitt	i _{zz}	3.80	cm		
Eigenlast	G	33.76	kg/m		
Mantelfläche	U	0.81	m ² /m		
Torsionsträgheitsmoment	I _t	20.10	cm ⁴		
Wölbwiderstand	I _ω	22480.00	cm ⁶		
Widerstandsmoment	W _y	216.00	cm ³		
Widerstandsmoment	W _z	78.50	cm ³		
Wölbwiderstandsmoment	W _ω	501.79	cm ⁴		
Statisches Moment	S _y	123.00	cm ³		
Statisches Moment	S _z	29.40	cm ³		
Wölbordinate	ω _{max}	44.80	cm ²		
Wölbfläche (Flächenmoment 1. Gra	S _{ω, max}	188.16	cm ⁴		
Plastisches Widerstandsmoment	W _{pl,y}	246.00	cm ³		
Plastisches Widerstandsmoment	W _{pl,z}	119.79	cm ³		

SD 962

G-6-1

Schneider Bautabellen für Ingenieure, 17. Auflage, Werner Verlag

Info

- I-Profile
 - Querschnittswerte
 - V-N-M Interaktionen
 - Knicken
- Kreisförmige Hohlprofile
 - Querschnittswerte
 - Grenzschnittgrößen
 - Knicken
- Rechteckhohlprofile
 - Querschnittswerte
 - Grenzschnittgrößen
 - Knicken

I-Profile, V-N-M Interaktion

HEB 140

h 140 mm

b 140 mm

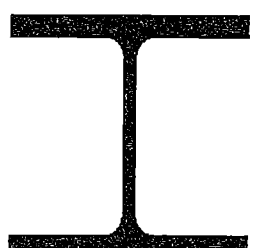
s 7 mm

t 12 mm

r 12 mm

$f_{y,k}$ 335 N/mm

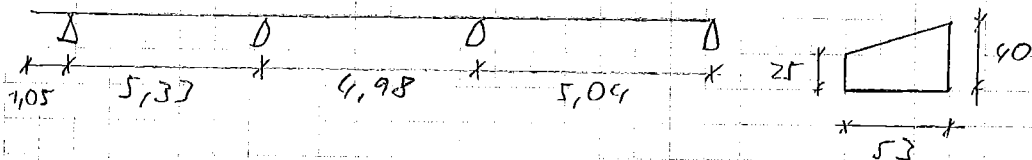
γ_M 1.1



			y-Achse	z-Achse	Doppelbiegung		
$N_{pl,d}$	1308	kN	N_d	0	0	0	kN
$M_{pl,y,d}$	74,74	kNm	$M_{y,d}$	0		0	kNm
$V_{pl,z,d}$	157,5	kN	$V_{z,d}$	70 ✓		0	kN
$M_{pl,z,d,red}$	29,89	kNm	$M_{z,d}$		0	0	kNm
$V_{pl,y,d}$	590,8	kN	$V_{y,d}$		0	0	kN
TSN			0	0	0		

Aktualisiere

TR-01-01:

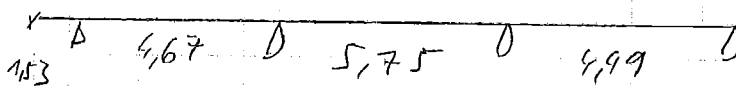


$$q \hat{=} \begin{aligned} g_{\text{an}} &= 3 \text{ kN/m}^2 \\ p &= 4 \text{ kN/m}^2 \\ b_{\text{Einfluss}} &= 4,2 \text{ m} \end{aligned}$$

$$\Rightarrow \begin{aligned} g &= 12,6 \text{ kN/m} \\ p &= 16,8 \text{ kN/m} \end{aligned}$$

TR-01-02:

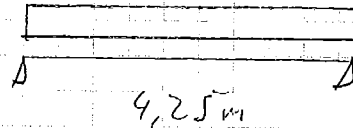
Deckbreite
wie Tk-01-01



$$q \hat{=} \begin{aligned} g &= 3 \text{ kN/m}^2 \\ p &= 4 \text{ kN/m}^2 \\ b_{\text{Einfluss}} &= 2,85 \text{ m} \end{aligned}$$

$$\Rightarrow \begin{aligned} g &= 8,55 \text{ kN/m} \\ p &= 11,4 \text{ kN/m} \end{aligned}$$

TR_01_03 = TR_01_04



gew: HEB 220

$$q = \begin{aligned} g_0 &= 3 \text{ kN/m}^2 \\ p &= 4 \text{ kN/m}^2 \\ \text{beim Aufl.} &= 4,73 \text{ m} \end{aligned}$$

$$\Rightarrow \left. \begin{aligned} g &= 14,19 \text{ kN/m} \\ p &= 18,92 \text{ kN/m} \end{aligned} \right\} q = 33,11 \text{ kN/m}$$

$$M = \frac{q \cdot l^2}{8} = \frac{33,11 \cdot 4,25^2}{8} = 74,76 \text{ kNm}$$

$$M_{ed} = 109 \text{ kNm} \Rightarrow \text{gew: HEB 220}$$

Schneider Datentabellen für Ingenieure, 17. Auflage, Werner Verlag

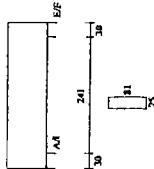
I-Profile V-N-M Interaktion

HEB 220

h	220	mm		
b	220	mm		
a	9,5	mm		
l	16	mm	$I_{y,k}$	235 N/mm
r	18	mm	γ_M	1,1

	y-Achse	z-Achse	Doppelbiegung	
$N_{p,d}$	0	0	0	kN
$M_{p,y,d}$	109	0	109	kNm
$V_{p,z,d}$	0	0	0	kN
$M_{p,z,d,red}$	0	0	0	kNm
$V_{p,y,d}$	0	0	0	kN

TSN 0,617 ✓ 0 0,329



Metodo di calcolo: stati limite EC2. Valori in daN/cm.

FATTORI DI SICUREZZA INIZIALI PER LE PROSPETTIVE DEI MATERIALI
Gamma a (fattore di sicurezza parziale dell'acciaio) 1.10
Gamma b (fattore di sicurezza parziale del calcestruzzo) 1.40

FATTORI DI SICUREZZA PARZIALI PER LE AZIONI

Gamma c inf. (azioni permanenti, effetto sfavorevole) 1.00
Gamma c sup. (azioni permanenti, effetto sfavorevole) 1.40
Gamma d inf. (azioni variabili, effetto sfavorevole) 1.00
Gamma d sup. (azioni variabili, effetto sfavorevole) 1.50

COEFFICIENTI DI COMBINAZIONE DEI CARICHI VARIABILI PER STATI LIMITE DI ESERCIZIO

Combinazioni rare 1.00
Combinazioni frequenti 0.50
Combinazioni quasi permanenti 0.20

GEOMETRIA DELLE SEZIONI INIZIALI

n. 1 sezione rettangolare h 81.0 B 25.0 Cs 3.0 Ci 3.0

GEOMETRIA DELLE CENERE

campata n. 1 luce sezione altezza finale X area
271.0 1 81.0 0.10

CARATTERISTICHE DEGLI APOGGI

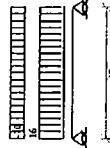
appoggio n. nome ampiezza coeff. elastico verticale
1 A/I 30.0 diretto
2 A/I 30.0 diretto

CARATTERISTICHE DEI MATERIALI

Resistenza caratteristica cubica del calcestruzzo Rck= 300
Tensione di snervamento caratteristica dell'acciaio fyk= 4300
Valore finale del coefficiente di viscosità EC2 Tab.3.3) = 1
Valore finale della deformazione di ritiro (EC2 Tab.3.4) = -0.004

Schema statico

87-700



AZIONI CARATTERISTICHE APPLICATE ALLA TRAVE

CARICATA n. 1
peso proprio 5.06
carico uniforme peso proprio permanente portato variabile
7100.00 0.00 7100.00 4.00
forza concentrata peso proprio permanente portata variabile da sin. ampiezza
7100.00 0.00 7100.00 216.0 15.0

Diagramma dei momenti (daN/cm)

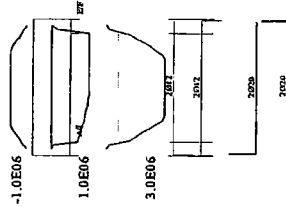
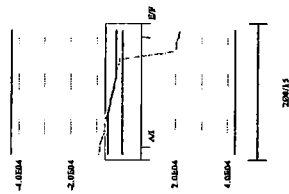
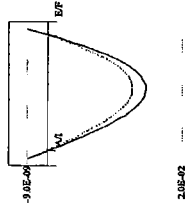


Diagramma dei tagli (daN)



Deformata condizione rara (cm)



[illegible]

0	-1770	17	259	-944	9	0.00	0.00	0.00	0.00
15	205	2	28	-577	5	0.00	0.00	0.00	0.00

Campione N. 1									
strati limite ultimi									
	Asp	Asp	Asp	Asp	Asp	Asp	Asp	Asp	Asp
	15	15	15	15	15	15	15	15	15
15	1342	12	154	573	0	19,3	0,15	0,10	0,07
178	7826	50	1681	4232	49	19,3	0,15	0,10	0,07
213	8282	95	1930	4485	52	19,3	0,17	0,11	0,08
235	8585	135	2080	4802	54	19,3	0,11	0,06	0,06
255	8776	175	2208	5082	56	19,3	0,11	0,06	0,06
275	8822	215	2208	5110	58	19,3	0,11	0,06	0,06
295	8822	255	2208	5110	60	19,3	0,11	0,06	0,06
315	8822	295	2208	5110	62	19,3	0,11	0,06	0,06
335	8822	335	2208	5110	64	19,3	0,11	0,06	0,06
355	8822	375	2208	5110	66	19,3	0,11	0,06	0,06
375	8822	415	2208	5110	68	19,3	0,11	0,06	0,06
395	8822	455	2208	5110	70	19,3	0,11	0,06	0,06
415	8822	495	2208	5110	72	19,3	0,11	0,06	0,06
435	8822	535	2208	5110	74	19,3	0,11	0,06	0,06
455	8822	575	2208	5110	76	19,3	0,11	0,06	0,06
475	8822	615	2208	5110	78	19,3	0,11	0,06	0,06
495	8822	655	2208	5110	80	19,3	0,11	0,06	0,06
515	8822	695	2208	5110	82	19,3	0,11	0,06	0,06
535	8822	735	2208	5110	84	19,3	0,11	0,06	0,06
555	8822	775	2208	5110	86	19,3	0,11	0,06	0,06
575	8822	815	2208	5110	88	19,3	0,11	0,06	0,06
595	8822	855	2208	5110	90	19,3	0,11	0,06	0,06
615	8822	895	2208	5110	92	19,3	0,11	0,06	0,06
635	8822	935	2208	5110	94	19,3	0,11	0,06	0,06
655	8822	975	2208	5110	96	19,3	0,11	0,06	0,06
675	8822	1015	2208	5110	98	19,3	0,11	0,06	0,06
695	8822	1055	2208	5110	100	19,3	0,11	0,06	0,06
715	8822	1095	2208	5110	102	19,3	0,11	0,06	0,06
735	8822	1135	2208	5110	104	19,3	0,11	0,06	0,06
755	8822	1175	2208	5110	106	19,3	0,11	0,06	0,06
775	8822	1215	2208	5110	108	19,3	0,11	0,06	0,06
795	8822	1255	2208	5110	110	19,3	0,11	0,06	0,06
815	8822	1295	2208	5110	112	19,3	0,11	0,06	0,06
835	8822	1335	2208	5110	114	19,3	0,11	0,06	0,06
855	8822	1375	2208	5110	116	19,3	0,11	0,06	0,06
875	8822	1415	2208	5110	118	19,3	0,11	0,06	0,06
895	8822	1455	2208	5110	120	19,3	0,11	0,06	0,06
915	8822	1495	2208	5110	122	19,3	0,11	0,06	0,06
935	8822	1535	2208	5110	124	19,3	0,11	0,06	0,06
955	8822	1575	2208	5110	126	19,3	0,11	0,06	0,06
975	8822	1615	2208	5110	128	19,3	0,11	0,06	0,06
995	8822	1655	2208	5110	130	19,3	0,11	0,06	0,06
1015	8822	1695	2208	5110	132	19,3	0,11	0,06	0,06
1035	8822	1735	2208	5110	134	19,3	0,11	0,06	0,06
1055	8822	1775	2208	5110	136	19,3	0,11	0,06	0,06
1075	8822	1815	2208	5110	138	19,3	0,11	0,06	0,06
1095	8822	1855	2208	5110	140	19,3	0,11	0,06	0,06
1115	8822	1895	2208	5110	142	19,3	0,11	0,06	0,06
1135	8822	1935	2208	5110	144	19,3	0,11	0,06	0,06
1155	8822	1975	2208	5110	146	19,3	0,11	0,06	0,06
1175	8822	2015	2208	5110	148	19,3	0,11	0,06	0,06
1195	8822	2055	2208	5110	150	19,3	0,11	0,06	0,06
1215	8822	2095	2208	5110	152	19,3	0,11	0,06	0,06
1235	8822	2135	2208	5110	154	19,3	0,11	0,06	0,06
1255	8822	2175	2208	5110	156	19,3	0,11	0,06	0,06
1275	8822	2215	2208	5110	158	19,3	0,11	0,06	0,06
1295	8822	2255	2208	5110	160	19,3	0,11	0,06	0,06
1315	8822	2295	2208	5110	162	19,3	0,11	0,06	0,06
1335	8822	2335	2208	5110	164	19,3	0,11	0,06	0,06
1355	8822	2375	2208	5110	166	19,3	0,11	0,06	0,06
1375	8822	2415	2208	5110	168	19,3	0,11	0,06	0,06
1395	8822	2455	2208	5110	170	19,3	0,11	0,06	0,06
1415	8822	2495	2208	5110	172	19,3	0,11	0,06	0,06
1435	8822	2535	2208	5110	174	19,3	0,11	0,06	0,06
1455	8822	2575	2208	5110	176	19,3	0,11	0,06	0,06
1475	8822	2615	2208	5110	178	19,3	0,11	0,06	0,06
1495	8822	2655	2208	5110	180	19,3	0,11	0,06	0,06
1515	8822	2695	2208	5110	182	19,3	0,11	0,06	0,06
1535	8822	2735	2208	5110	184	19,3	0,11	0,06	0,06
1555	8822	2775	2208	5110	186	19,3	0,11	0,06	0,06
1575	8822	2815	2208	5110	188	19,3	0,11	0,06	0,06
1595	8822	2855	2208	5110	190	19,3	0,11	0,06	0,06
1615	8822	2895	2208	5110	192	19,3	0,11	0,06	0,06
1635	8822	2935	2208	5110	194	19,3	0,11	0,06	0,06
1655	8822	2975	2208	5110	196	19,3	0,11	0,06	0,06
1675	8822	3015	2208	5110	198	19,3	0,11	0,06	0,06
1695	8822	3055	2208	5110	200	19,3	0,11	0,06	0,06
1715	8822	3095	2208	5110	202	19,3	0,11	0,06	0,06
1735	8822	3135	2208	5110	204	19,3	0,11	0,06	0,06
1755	8822	3175	2208	5110	206	19,3	0,11	0,06	0,06
1775	8822	3215	2208	5110	208	19,3	0,11	0,06	0,06
1795	8822	3255	2208	5110	210	19,3	0,11	0,06	0,06
1815	8822	3295	2208	5110	212	19,3	0,11	0,06	0,06
1835	8822	3335	2208	5110	214	19,3	0,11	0,06	0,06
1855	8822	3375	2208	5110	216	19,3	0,11	0,06	0,06
1875	8822	3415	2208	5110	218	19,3	0,11	0,06	0,06
1895	8822	3455	2208	5110	220	19,3	0,11	0,06	0,06
1915	8822	3495	2208	5110	222	19,3	0,11	0,06	0,06
1935	8822	3535	2208	5110	224	19,3	0,11	0,06	0,06
1955	8822	3575	2208	5110	226	19,3	0,11	0,06	0,06
1975	8822	3615	2208	5110	228	19,3	0,11	0,06	0,06
1995	8822	3655	2208	5110	230	19,3	0,11	0,06	0,06
2015	8822	3695	2208	5110	232	19,3	0,11	0,06	0,06
2035	8822	3735	2208	5110	234	19,3	0,11	0,06	0,06
2055	8822	3775	2208	5110	236	19,3	0,11	0,06	0,06
2075	8822	3815	2208	5110	238	19,3	0,11	0,06	0,06
2095	8822	3855	2208	5110	240	19,3	0,11	0,06	0,06
2115	8822	3895	2208	5110	242	19,3	0,11	0,06	0,06
2135	8822	3935	2208	5110	244	19,3	0,11	0,06	0,06
2155	8822	3975	2208	5110	246	19,3	0,11	0,06	0,06
2175	8822	4015	2208	5110	248	19,3	0,11	0,06	0,06
2195	8822	4055	2208	5110	250	19,3	0,11	0,06	0,06
2215	8822	4095	2208	5110	252	19,3	0,11	0,06	0,06
2235	8822	4135	2208	5110	254	19,3	0,11	0,06	0,06
2255	8822	4175	2208	5110	256	19,3	0,11	0,06	0,06
2275	8822	4215	2208	5110	258	19,3	0,11	0,06	0,06
2295	8822	4255	2208	5110	260	19,3	0,11	0,06	0,06
2315	8822	4295	2208	5110	262	19,3	0,11	0,06	0,06
2335	8822	4335	2208	5110	264	19,3	0,11	0,06	0,06
2355	8822	4375	2208	5110	266	19,3	0,11	0,06	0,06
2375	8822	4415	2208	5110	268	19,3	0,11	0,06	0,06
2395	8822	4455	2208	5110	270	19,3	0,11	0,06	0,06
2415	8822	4495	2208	5110	272	19,3	0,11	0,06	0,06
2435	8822	4535	2208	5110	274	19,3	0,11	0,06	0,06
2455	8822	4575	2208	5110	276	19,3	0,11	0,06	0,06
2475	8822	4615	2208	5110	278	19,3	0,11	0,06	0,06
2495	8822	4655	2208	5110	280	19,3	0,11	0,06	0,06
2515	8822	4695	2208	5110	282	19,3	0,11	0,06	0,06
2535	8822	4735	2208	5110	284	19,3	0,11	0,06	0,06
2555	8822	4775	2208	5110	286	19,3	0,11	0,06	0,06
2575	8822	4815	2208	5110	288	19,3	0,11	0,06	0,06
2595	8822	4855	2208	5110	290	19,3	0,11	0,06	0,06
2615	8822	4895	2208	5110	292	19,3	0,11	0,06	0,06
2635	8822	4935	2208	5110	294	19,3	0,11	0,06	0,06
2655	8822	4975	2208	5110	296	19,3	0,11	0,06	0,06
2675	8822	5015	2208	5110	298	19,3	0,11	0,06	0,06
2695	8822	5055	2208	5110	300	19,3	0,11	0,06	0,06
2715	8822	5095	2208	5110	302	19,3	0,11	0,06	0,06
2735	8822	5135	2208	5110	304	19,3	0,11	0,06	0,06
2755	8822	5175	2208	5110	306	19,3	0,11	0,06	0,06
2775	8822	5215	2208	5110	308	19,3	0,11	0,06	0,06
2795	8822	5255	2208	5110	310	19,3	0,11	0,06	0,06
2815	8822	5295							

x	Mose.R	zc-R	zf.R	Mose.QP	zc.QP	zmI	wkIR	wkIF	wkIQP	zmg	wLKH	wLKF	wLQF	zg-R	zg-QP	zg-QP	zg-QP
creep																	

[illegible]

compare n. 3 tra gli appoggi -2/5

sezioni n. 1		sezioni n. 2		sezioni n. 3		sezioni n. 4		sezioni n. 5		sezioni n. 6		sezioni n. 7		sezioni n. 8		sezioni n. 9		sezioni n. 10		sezioni n. 11		sezioni n. 12		sezioni n. 13		sezioni n. 14		sezioni n. 15		sezioni n. 16		sezioni n. 17		sezioni n. 18		sezioni n. 19		sezioni n. 20		sezioni n. 21		sezioni n. 22		sezioni n. 23		sezioni n. 24		sezioni n. 25		sezioni n. 26		sezioni n. 27		sezioni n. 28		sezioni n. 29		sezioni n. 30		sezioni n. 31		sezioni n. 32		sezioni n. 33		sezioni n. 34		sezioni n. 35		sezioni n. 36		sezioni n. 37		sezioni n. 38		sezioni n. 39		sezioni n. 40		sezioni n. 41		sezioni n. 42		sezioni n. 43		sezioni n. 44		sezioni n. 45		sezioni n. 46		sezioni n. 47		sezioni n. 48		sezioni n. 49		sezioni n. 50		sezioni n. 51		sezioni n. 52		sezioni n. 53		sezioni n. 54		sezioni n. 55		sezioni n. 56		sezioni n. 57		sezioni n. 58		sezioni n. 59		sezioni n. 60		sezioni n. 61		sezioni n. 62		sezioni n. 63		sezioni n. 64		sezioni n. 65		sezioni n. 66		sezioni n. 67		sezioni n. 68		sezioni n. 69		sezioni n. 70		sezioni n. 71		sezioni n. 72		sezioni n. 73		sezioni n. 74		sezioni n. 75		sezioni n. 76		sezioni n. 77		sezioni n. 78		sezioni n. 79		sezioni n. 80		sezioni n. 81		sezioni n. 82		sezioni n. 83		sezioni n. 84		sezioni n. 85		sezioni n. 86		sezioni n. 87		sezioni n. 88		sezioni n. 89		sezioni n. 90		sezioni n. 91		sezioni n. 92		sezioni n. 93		sezioni n. 94		sezioni n. 95		sezioni n. 96		sezioni n. 97		sezioni n. 98		sezioni n. 99		sezioni n. 100	
1	2	3	4	5	6	7	8	9	10	11	12	13	14	15	16	17	18	19	20	21	22	23	24	25	26	27	28	29	30	31	32	33	34	35	36	37	38	39	40	41	42	43	44	45	46	47	48	49	50	51	52	53	54	55	56	57	58	59	60	61	62	63	64	65	66	67	68	69	70	71	72	73	74	75	76	77	78	79	80	81	82	83	84	85	86	87	88	89	90	91	92	93	94	95	96	97	98	99	100																																																																																																				
1	2	3	4	5	6	7	8	9	10	11	12	13	14	15	16	17	18	19	20	21	22	23	24	25	26	27	28	29	30	31	32	33	34	35	36	37	38	39	40	41	42	43	44	45	46	47	48	49	50	51	52	53	54	55	56	57	58	59	60	61	62	63	64	65	66	67	68	69	70	71	72	73	74	75	76	77	78	79	80	81	82	83	84	85	86	87	88	89	90	91	92	93	94	95	96	97	98	99	100																																																																																																				
1	2	3	4	5	6	7	8	9	10	11	12	13	14	15	16	17	18	19	20	21	22	23	24	25	26	27	28	29	30	31	32	33	34	35	36	37	38	39	40	41	42	43	44	45	46	47	48	49	50	51	52	53	54	55	56	57	58	59	60	61	62	63	64	65	66	67	68	69	70	71	72	73	74	75	76	77	78	79	80	81	82	83	84	85	86	87	88	89	90	91	92	93	94	95	96	97	98	99	100																																																																																																				
1	2	3	4	5	6	7	8	9	10	11	12	13	14	15	16	17	18	19	20	21	22	23	24	25	26	27	28	29	30	31	32	33	34	35	36	37	38	39	40	41	42	43	44	45	46	47	48	49	50	51	52	53	54	55	56	57	58	59	60	61	62	63	64	65	66	67	68	69	70	71	72	73	74	75	76	77	78	79	80	81	82	83	84	85	86	87	88	89	90	91	92	93	94	95	96	97	98	99	100																																																																																																				
1	2	3	4	5	6	7	8	9	10	11	12	13	14	15	16	17	18	19	20	21	22	23	24	25	26	27	28	29	30	31	32	33	34	35	36	37	38	39	40	41	42	43	44	45	46	47	48	49	50	51	52	53	54	55	56	57	58	59	60	61	62	63	64	65	66	67	68	69	70	71	72	73	74	75	76	77	78	79	80	81	82	83	84	85	86	87	88	89	90	91	92	93	94	95	96	97	98	99	100																																																																																																				
1	2	3	4	5	6	7	8	9	10	11	12	13	14	15	16	17	18	19	20	21	22	23	24	25	26	27	28	29	30	31	32	33	34	35	36	37	38	39	40	41	42	43	44	45	46	47	48	49	50	51	52	53	54	55	56	57	58	59	60	61	62	63	64	65	66	67	68	69	70	71	72	73	74	75	76	77	78	79	80	81	82	83	84	85	86	87	88	89	90	91	92	93	94	95	96	97	98	99	100																																																																																																				
1	2	3	4	5	6	7	8	9	10	11	12	13	14	15	16	17	18	19	20	21	22	23	24	25	26	27	28	29	30	31	32	33	34	35	36	37	38	39	40	41	42	43	44	45	46	47	48	49	50	51	52	53	54	55	56	57	58	59	60	61	62	63	64	65	66	67	68	69	70	71	72	73	74	75	76	77	78	79	80	81	82	83	84	85	86	87	88	89	90	91	92	93	94	95	96	97	98	99	100																																																																																																				
1	2	3	4	5	6	7	8	9	10	11	12	13	14	15	16	17	18	19	20	21	22	23	24	25	26	27	28	29	30	31	32	33	34	35	36	37	38	39	40	41	42	43	44	45	46	47	48	49	50	51	52	53	54	55	56	57	58	59	60	61	62	63	64	65	66	67	68	69	70	71	72	73	74	75	76	77	78	79	80	81	82	83	84	85	86	87	88	89	90	91	92	93	94	95	96	97	98	99	100																																																																																																				
1	2	3	4	5	6	7	8	9	10	11	12	13	14	15	16	17	18	19	20	21	22	23	24	25	26	27	28	29	30	31	32	33	34	35	36	37	38	39	40	41	42	43	44	45	46	47	48	49	50	51	52	53	54	55	56	57	58	59	60	61	62	63	64	65	66	67	68	69	70	71	72	73	74	75	76	77	78	79	80	81	82	83	84	85	86	87	88	89	90	91	92	93	94	95	96	97	98	99	100																																																																																																				
1	2	3	4	5	6	7	8	9	10	11	12	13	14	15	16	17	18	19	20	21	22	23	24	25	26	27	28	29	30	31	32	33	34	35	36	37	38	39	40	41	42	43	44	45	46	47	48	49	50	51	52	53	54	55	56	57	58	59	60	61	62	63	64	65	66	67	68	69	70	71	72	73	74	75	76	77	78	79	80	81	82	83	84	85	86	87	88	89	90	91	92	93	94	95	96	97	98	99	100																																																																																																				
1	2	3	4	5	6	7	8	9	10	11	12	13	14	15	16	17	18	19	20	21	22	23	24	25	26	27	28	29	30	31	32	33	34	35	36	37	38	39	40	41	42	43	44	45	46	47	48	49	50	51	52	53	54	55	56	57	58	59	60	61	62	63	64	65	66	67	68	69	70	71	72	73	74	75	76	77	78	79	80	81	82	83	84	85	86	87	88	89	90	91	92	93	94	95	96	97	98	99	100																																																																																																				
1	2	3	4	5	6	7	8	9	10	11	12	13	14	15	16	17	18	19	20	21	22	23	24	25	26	27	28	29	30	31	32	33	34	35	36	37	38	39	40	41	42	43	44	45	46	47	48	49	50	51	52	53	54	55	56	57	58	59	60	61	62	63	64	65	66	67	68	69	70	71	72	73	74	75	76	77	78	79	80	81	82	83	84	85	86	87	88	89	90	91	92	93	94	95	96	97	98	99	100																																																																																																				
1	2	3	4	5	6	7	8	9	10	11	12	13	14	15	16	17	18	19	20	21	22	23	24	25	26	27	28	29	30	31	32	33	34	35	36	37	38	39	40	41	42	43	44	45	46	47	48	49	50	51	52	53	54	55	56	57	58	59	60	61	62	63	64	65	66	67	68	69	70	71	72	73	74	75	76	77	78	79	80	81	82	83	84	85	86	87	88	89	90	91	92	93	94	95	96	97	98	99	100																																																																																																				
1	2	3	4	5	6	7	8	9	10	11	12	13	14	15	16	17	18	19	20	21	22	23	24	25	26	27	28	29	30	31	32	33	34	35	36	37	38	39	40	41	42	43	44	45	46	47	48	49	50	51	52	53	54	55	56	57	58	59	60	61	62	63	64	65	66	67	68	69	70	71	72	73	74	75	76	77	78	79	80	81	82	83	84	85	86	87	88	89	90	91	92	93	94	95	96	97	98	99	100																																																																																																				
1	2	3	4	5	6	7	8	9	10	11	12	13	14	15	16	17	18	19	20	21	22	23	24	25	26	27	28	29	30	31	32	33	34	35	36	37	38	39	40	41	42	43	44	45	46	47	48	49	50	51	52	53	54	55	56	57	58	59	60	61	62	63	64	65	66	67	68	69	70	71	72	73	74	75	76	77	78	79	80	81	82	83	84	85	86	87	88	89	90	91	92	93	94	95	96	97	98	99	100																																																																																																				
1	2	3	4	5	6	7	8	9	10	11	12	13	14	15	16	17	18	19	20	21	22	23	24	25	26	27	28	29	30	31	32	33	34	35	36	37	38	39	40	41	42	43	44	45	46	47	48	49	50	51	52	53	54	55	56	57	58	59	60	61	62	63	64	65</																																																																																																																																							

[illegible]

ULTIMATE	PAUSE	FREQUENCY	QUASI PERMANENT
			

BAUDIN

Nr di progetto S0962

pagina **G-19**

[illegible]

REAZIONI VINCOLARY

	ULTIME		RARE		FREQUENTI		QUASI FREQUENTI	
	massima	minima	massima	minima	massima	minima	massima	minima
appoggio n.								

Nr di progetto S0962

pagina **G-20**

	7862
1 M/I	3880 9524 4311 7146 4539 5719 4876
2	5593 14647 6389 10549 6826 9731 7082
3	22013 6795 15053 7223 13485 7450 9152 7586
4 E/F	6986 1191 4652 1671 3416 1325 2674 2077

CON
U
A
B

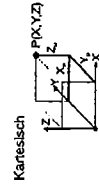
INHALT

Inhalt	
Beschreibungen	
Struktur	
Knoten	
Materialien	
Schritte	
Schritte	
Auflager	
Bezeichnungen	
LF 2, Aufbau	
LF 3 - Schmelze	
LF 4 - Schmelze	
LF 5 - Schmelze	
LF 6 - Schmelze	
LF 7 - Schmelze	
LF 8 - Schmelze	
Materialien/Schritte/Schmelzen einblenden	
Material/Schritte/Schmelzen einblenden	
Material/Schritte/Schmelzen einblenden	
Material/Schritte/Schmelzen einblenden	
Material/Schritte/Schmelzen einblenden	
Material/Schritte/Schmelzen einblenden	
Material/Schritte/Schmelzen einblenden	
Material/Schritte/Schmelzen einblenden	
Material/Schritte/Schmelzen einblenden	
Material/Schritte/Schmelzen einblenden	
Material/Schritte/Schmelzen einblenden	
Material/Schritte/Schmelzen einblenden	
Material/Schritte/Schmelzen einblenden	
Material/Schritte/Schmelzen einblenden	
Material/Schritte/Schmelzen einblenden	
Material/Schritte/Schmelzen einblenden	
Material/Schritte/Schmelzen einblenden	
Material/Schritte/Schmelzen einblenden	
Material/Schritte/Schmelzen einblenden	
Material/Schritte/Schmelzen einblenden	
Material/Schritte/Schmelzen einblenden	
Material/Schritte/Schmelzen einblenden	
Material/Schritte/Schmelzen einblenden	
Material/Schritte/Schmelzen einblenden	
Material/Schritte/Schmelzen einblenden	
Material/Schritte/Schmelzen einblenden	
Material/Schritte/Schmelzen einblenden	
Material/Schritte/Schmelzen einblenden	
Material/Schritte/Schmelzen einblenden	
Material/Schritte/Schmelzen einblenden	
Material/Schritte/Schmelzen einblenden	
Material/Schritte/Schmelzen einblenden	
Material/Schritte/Schmelzen einblenden	
Material/Schritte/Schmelzen einblenden	
Material/Schritte/Schmelzen einblenden	
Material/Schritte/Schmelzen einblenden	
Material/Schritte/Schmelzen einblenden	
Material/Schritte/Schmelzen einblenden	
Material/Schritte/Schmelzen einblenden	
Material/Schritte/Schmelzen einblenden	
Material/Schritte/Schmelzen einblenden	
Material/Schritte/Schmelzen einblenden	
Material/Schritte/Schmelzen einblenden	
Material/Schritte/Schmelzen einblenden	
Material/Schritte/Schmelzen einblenden	
Material/Schritte/Schmelzen einblenden	
Material/Schritte/Schmelzen einblenden	
Material/Schritte/Schmelzen einblenden	
Material/Schritte/Schmelzen einblenden	
Material/Schritte/Schmelzen einblenden	
Material/Schritte/Schmelzen einblenden	
Material/Schritte/Schmelzen einblenden	
Material/Schritte/Schmelzen einblenden	
Material/Schritte/Schmelzen einblenden	
Material/Schritte/Schmelzen einblenden	
Material/Schritte/Schmelzen einblenden	
Material/Schritte/Schmelzen einblenden	
Material/Schritte/Schmelzen einblenden	
Material/Schritte/Schmelzen einblenden	
Material/Schritte/Schmelzen einblenden	
Material/Schritte/Schmelzen einblenden	
Material/Schritte/Schmelzen einblenden	
Material/Schritte/Schmelzen einblenden	
Material/Schritte/Schmelzen einblenden	
Material/Schritte/Schmelzen einblenden	
Material/Schritte/Schmelzen einblenden	
Material/Schritte/Schmelzen einblenden	
Material/Schritte/Schmelzen einblenden	
Material/Schritte/Schmelzen einblenden	
Material/Schritte/Schmelzen einblenden	
Material/Schritte/Schmelzen einblenden	
Material/Schritte/Schmelzen einblenden	
Material/Schritte/Schmelzen einblenden	
Material/Schritte/Schmelzen einblenden	
Material/Schritte/Schmelzen einblenden	
Material/Schritte/Schmelzen einblenden	
Material/Schritte/Schmelzen einblenden	
Material/Schritte/Schmelzen einblenden	
Material/Schritte/Schmelzen einblenden	
Material/Schritte/Schmelzen einblenden	
Material/Schritte/Schmelzen einblenden	
Material/Schritte/Schmelzen einblenden	
Material/Schritte/Schmelzen einblenden	
Material/Schritte/Schmelzen einblenden	
Material/Schritte/Schmelzen einblenden	
Material/Schritte/Schmelzen einblenden	
Material/Schritte/Schmelzen einblenden	
Material/Schritte/Schmelzen einblenden	
Material/Schritte/Schmelzen einblenden	
Material/Schritte/Schmelzen einblenden	
Material/Schritte/Schmelzen einblenden	
Material/Schritte/Schmelzen einblenden	
Material/Schritte/Schmelzen einblenden	
Material/Schritte/Schmelzen einblenden	
Material/Schritte/Schmelzen einblenden	
Material/Schritte/Schmelzen einblenden	
Material/Schritte/Schmelzen einblenden	
Material/Schritte/Schmelzen einblenden	
Material/Schritte/Schmelzen einblenden	
Material/Schritte/Schmelzen einblenden	
Material/Schritte/Schmelzen einblenden	
Material/Schritte/Schmelzen einblenden	
Material/Schritte/Schmelzen einblenden	
Material/Schritte/Schmelzen einblenden	
Material/Schritte/Schmelzen einblenden	
Material/Schritte/Schmelzen einblenden	
Material/Schritte/Schmelzen einblenden	
Material/Schritte/Schmelzen einblenden	
Material/Schritte/Schmelzen einblenden	
Material/Schritte/Schmelzen einblenden	
Material/Schritte/Schmelzen einblenden	
Material/Schritte/Schmelzen einblenden	
Material/Schritte/Schmelzen einblenden	
Material/Schritte/Schmelzen einblenden	
Material/Schritte/Schmelzen einblenden	
Material/Schritte/Schmelzen einblenden	
Material/Schritte/Schmelzen einblenden	
Material/Schritte/Schmelzen einblenden	
Material/Schritte/Schmelzen einblenden	
Material/Schritte/Schmelzen einblenden	
Material/Schritte/Schmelzen einblenden	
Material/Schritte/Schmelzen einblenden	
Material/Schritte/Schmelzen einblenden	
Material/Schritte/Schmelzen einblenden	
Material/Schritte/Schmelzen einblenden	
Material/Schritte/Schmelzen einblenden	
Material/Schritte/Schmelzen einblenden	
Material/Schritte/Schmelzen einblenden	
Material/Schritte/Schmelzen einblenden	
Material/Schritte/Schmelzen einblenden	
Material/Schritte/Schmelzen einblenden	
Material/Schritte/Schmelzen einblenden	
Material/Schritte/Schmelzen einblenden	
Material/Schritte/Schmelzen einblenden	
Material/Schritte/Schmelzen einblenden	
Material/Schritte/Schmelzen einblenden	
Material/Schritte/Schmelzen einblenden	
Material/Schritte/Schmelzen einblenden	
Material/Schritte/Schmelzen einblenden	
Material/Schritte/Schmelzen einblenden	
Material/Schritte/Schmelzen einblenden	
Material/Schritte/Schmelzen einblenden	
Material/Schritte/Schmelzen einblenden	
Material/Schritte/Schmelzen einblenden	
Material/Schritte/Schmelzen einblenden	
Material/Schritte/Schmelzen einblenden	
Material/Schritte/Schmelzen einblenden	
Material/Schritte/Schmelzen einblenden	
Material/Schritte/Schmelzen einblenden	
Material/Schritte/Schmelzen einblenden	
Material/Schritte/Schmelzen einblenden	
Material/Schritte/Schmelzen einblenden	
Material/Schritte/Schmelzen einblenden	
Material/Schritte/Schmelzen einblenden	
Material/Schritte/Schmelzen einblenden	
Material/Schritte/Schmelzen einblenden	
Material/Schritte/Schmelzen einblenden	
Material/Schritte/Schmelzen einblenden	
Material/Schritte/Schmelzen einblenden	
Material/Schritte/Schmelzen einblenden	
Material/Schritte/Schmelzen einblenden	
Material/Schritte/Schmelzen einblenden	
Material/Schritte/Schmelzen einblenden	
Material/Schritte/Schmelzen einblenden	
Material/Schritte/Schmelzen einblenden	
Material/Schritte/Schmelzen einblenden	
Material/Schritte/Schmelzen einblenden	
Material/Schritte/Schmelzen einblenden	
Material/Schritte/Schmelzen einblenden	
Material/Schritte/Schmelzen einblenden	
Material/Schritte/Schmelzen einblenden	
Material/Schritte/Schmelzen einblenden	
Material/Schritte/Schmelzen einblenden	
Material/Schritte/Schmelzen einblenden	
Material/Schritte/Schmelzen einblenden	
Material/Schritte/Schmelzen einblenden	
Material/Schritte/Schmelzen einblenden	
Material/Schritte/Schmelzen einblenden	
Material/Schritte/Schmelzen einblenden	
Material/Schritte/Schmelzen einblenden	

BASISANGABEN

BERECHNUNGSART		STRUKTURENKENNENTE	
<input checked="" type="checkbox"/> Statik	<input checked="" type="checkbox"/> Theorie / Ordnung	9 Knoten	10-Durchlaufträger
<input checked="" type="checkbox"/> Netzwerke	<input checked="" type="checkbox"/> Theorie / Ordnung	2 Materiallin.	20 Stabwerk
<input checked="" type="checkbox"/> Dynamik	<input type="checkbox"/> Seilstraße	5 Querschnitte	10 Stabwerk
<input checked="" type="checkbox"/> Lastfälle	<input checked="" type="checkbox"/> Bemessungssfälle	0 Stützpunktlaste	1 Tragwerk
<input checked="" type="checkbox"/> L-Gruppen	<input type="checkbox"/> Knickfiguren		
<input checked="" type="checkbox"/> LF-Kombinationen			

STRUKTUR



Knoten-Nr.	Koordinatensystem	Bezugs-Knoten	X [m]	Y [m]	Z [m]
2	Karnisch	-	0,000	0,000	0,000
3	Karnisch	-	0,000	0,000	0,000
4	Karnisch	-	1,500	0,000	0,000
5	Karnisch	-	2,400	0,000	0,000
6	Karnisch	-	3,200	0,000	0,000
7	Karnisch	-	4,000	0,000	0,000
8	Karnisch	-	4,800	0,000	0,000
9	Gelagert	-	5,600	0,000	0,000
10	Karnisch	-	6,400	0,000	0,000

MATERIALIJEN

Material-Nr.	Material-Bezeichnung	E-Modul [N/mm ²]	Schubmodul [N/mm ²]	Sp. Gewicht [N/mm ³]	Wärmeleith. [1/°C]
1	StB	21005-05	81005-04	7,850E-05	1,200E-05
2	StB 50	21005-05	81005-04	7,850E-05	1,200E-05

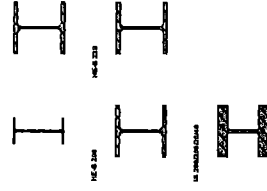
QUERSCHNITTE

Quer-Nr.	Maker-Nr.	Querschichts-Bezeichnung	l_2 [mm ²]	A [mm ²]	A ₃ [mm ²]
4	2	IPF 330	11770000	6360,0	
5	2	HE 8-10	38300000	6520,0	

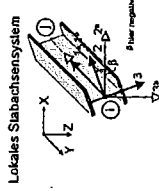
 RSTAB 5.14.861 Räumliche Stahlwerke

QUERSCHNITTE

Querf.- Nr.	Material- Nr.	Querschnitts- Bezeichnung	l_2 [mm ²]	A [mm ²]	A ₂ [mm ²]
5	1	HE-B 200	57000000	7610,0	
7	2	HE-B 220	64000000	8100,0	
8	2	IS 200/230/240	102413000	10241,3	



STÄBE



Sub- Nr.	Sub- typ	Knoten Ant.	Knoten Ente	Querschnitt Ente	Gelenk Ant.	Gelenk Ente	Tal- Nr.	Länge [m]	Sub- lage
2	Balken	3	3	0,0	6	6	-	0,90	HGR
3	Balken	2	3	0,0	6	6	-	0,90	HGR
4	Balken	4	4	0,0	6	6	-	0,90	HGR
5	Balken	4	5	0,0	6	6	-	0,90	HGR
6	Balken	6	7	0,0	6	6	-	0,90	HGR
7	Balken	7	6	0,0	6	6	-	0,90	HGR
8	Balken	6	7	0,0	6	6	-	0,90	HGR
9	Balken	6	10	0,0	6	6	-	0,90	HGR

AUFLAGER

Lager-Nr.	Gelagerte Knoten	Drehung [°]		Festes Auflager bzw. Feder [N/mm]		(Nm/rad)	
		Alpha	Beta	in X	in Y	in X	in Y
2	3	0,0	0,0	Nicht	Ja	un X	un Y
3	3	0,0	0,0	Nicht	Ja	un X	un Y
4	Gelenkig						Nicht
							Nach
							un Z

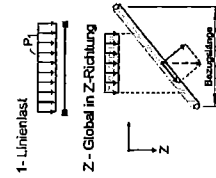
BEI AUSTUNG

BASISANGABEN DER LASTFÄLLE

LF-Nr.	LF-Bezeichnung	Faktor	Überlagerungssatz	Eigengewicht
1	Eigengewicht	1,00	Ständig	-1,00
2	Auftrieb	2,50	Ständig	-
3	Schwebelast	2,50	Ständig	-

STABILASTEN

Nr.	Belastete Stäbe	Last- art	Last- Richtung	Parameter [N, kNm, m, °C, kN/m, kNm/m] P ₁
2	2-8	1	2	-3.000



STABLASTEN

Nr.	Belastete Stäbe	Last- art	Last- Richtung	Parameter [kN, kNm, m, °C, kN/m, kNm/m] P ₁
2	2.0	1	2	2.000

Projekt: S0962 Position: TR_00_02a Seite: 23 Kapitel G

LF-KOMBINATIONEN

UK-Nr.	UK-Bezeichnung	Kombinationskriterium
1	Standg.	LF1/S + LF2/S
2	Gebrauchslast	LF1/S + LF3
3	Troglast	1.401*LF1/S + 1.50*LF3

MAXIMINZUGGEH-SCHNITTGRÖSSEN STABBEZOGEN

Stab-Nr.	UK-Nr.	x [m]	N	Kräfte [kN]	Q ₃	T	Momente [kNm]	M ₂	M ₃
2	LK1	.00	max	LF1 in Mac	.00	.00	.00	.00	.00
			min	LF1 in Mac	.00	.00	.00	.00	.00
			max	LF1 in Mac	.00	.00	.00	.00	.00
			min	LF1 in Mac	.00	.00	.00	.00	.00
			max	LF1 in Mac	.00	.00	.00	.00	.00
			min	LF1 in Mac	.00	.00	.00	.00	.00
			max	LF1 in Mac	.00	.00	.00	.00	.00
			min	LF1 in Mac	.00	.00	.00	.00	.00
			max	LF1 in Mac	.00	.00	.00	.00	.00
			min	LF1 in Mac	.00	.00	.00	.00	.00
			max	LF1 in Mac	.00	.00	.00	.00	.00
			min	LF1 in Mac	.00	.00	.00	.00	.00
3	LK1	.00	max	LF1 in Mac	.00	.00	.00	.00	.00
			min	LF1 in Mac	.00	.00	.00	.00	.00
			max	LF1 in Mac	.00	.00	.00	.00	.00
			min	LF1 in Mac	.00	.00	.00	.00	.00
			max	LF1 in Mac	.00	.00	.00	.00	.00
			min	LF1 in Mac	.00	.00	.00	.00	.00
			max	LF1 in Mac	.00	.00	.00	.00	.00
			min	LF1 in Mac	.00	.00	.00	.00	.00
			max	LF1 in Mac	.00	.00	.00	.00	.00
			min	LF1 in Mac	.00	.00	.00	.00	.00
			max	LF1 in Mac	.00	.00	.00	.00	.00
			min	LF1 in Mac	.00	.00	.00	.00	.00

Projekt: S0962 Position: TR_00_02a Seite: 24 Kapitel G

MAXIMINZUGGEH-SCHNITTGRÖSSEN STABBEZOGEN

Stab-Nr.	UK-Nr.	x [m]	N	Kräfte [kN]	Q ₃	T	Momente [kNm]	M ₂	M ₃
4	LK1	.00	max	LF1 in Mac	.00	.00	.00	.00	.00
			min	LF1 in Mac	.00	.00	.00	.00	.00
			max	LF1 in Mac	.00	.00	.00	.00	.00
			min	LF1 in Mac	.00	.00	.00	.00	.00
			max	LF1 in Mac	.00	.00	.00	.00	.00
			min	LF1 in Mac	.00	.00	.00	.00	.00
			max	LF1 in Mac	.00	.00	.00	.00	.00
			min	LF1 in Mac	.00	.00	.00	.00	.00
			max	LF1 in Mac	.00	.00	.00	.00	.00
			min	LF1 in Mac	.00	.00	.00	.00	.00
			max	LF1 in Mac	.00	.00	.00	.00	.00
			min	LF1 in Mac	.00	.00	.00	.00	.00

MAXIMINZUGGEH-SCHNITTGRÖSSEN STABBEZOGEN

Stab-Nr.	LK-Nr.	x [m]	N	Kräfte [kN]	Q ₁	T	Momente [kNm]	M ₂	M ₃
4	L03	.00	max	0.00	0.00	0.00	0.00	0.00	0.00
			min	0.00	0.00	0.00	0.00	0.00	0.00
			max	0.00	0.00	0.00	0.00	0.00	0.00
			min	0.00	0.00	0.00	0.00	0.00	0.00
			max	0.00	0.00	0.00	0.00	0.00	0.00
			min	0.00	0.00	0.00	0.00	0.00	0.00
			max	0.00	0.00	0.00	0.00	0.00	0.00
			min	0.00	0.00	0.00	0.00	0.00	0.00
			max	0.00	0.00	0.00	0.00	0.00	0.00
			min	0.00	0.00	0.00	0.00	0.00	0.00
5	L04	.00	max	0.00	0.00	0.00	0.00	0.00	0.00
			min	0.00	0.00	0.00	0.00	0.00	0.00
			max	0.00	0.00	0.00	0.00	0.00	0.00
			min	0.00	0.00	0.00	0.00	0.00	0.00
			max	0.00	0.00	0.00	0.00	0.00	0.00
			min	0.00	0.00	0.00	0.00	0.00	0.00
			max	0.00	0.00	0.00	0.00	0.00	0.00
			min	0.00	0.00	0.00	0.00	0.00	0.00
			max	0.00	0.00	0.00	0.00	0.00	0.00
			min	0.00	0.00	0.00	0.00	0.00	0.00

MAXIMINZUGGEH-SCHNITTGRÖSSEN STABBEZOGEN

Stab-Nr.	LK-Nr.	x [m]	N	Kräfte [kN]	Q ₁	T	Momente [kNm]	M ₂	M ₃
6	L04	.00	max	0.00	0.00	0.00	0.00	0.00	0.00
			min	0.00	0.00	0.00	0.00	0.00	0.00
			max	0.00	0.00	0.00	0.00	0.00	0.00
			min	0.00	0.00	0.00	0.00	0.00	0.00
			max	0.00	0.00	0.00	0.00	0.00	0.00
			min	0.00	0.00	0.00	0.00	0.00	0.00
			max	0.00	0.00	0.00	0.00	0.00	0.00
			min	0.00	0.00	0.00	0.00	0.00	0.00
			max	0.00	0.00	0.00	0.00	0.00	0.00
			min	0.00	0.00	0.00	0.00	0.00	0.00
7	L03	.00	max	0.00	0.00	0.00	0.00	0.00	0.00
			min	0.00	0.00	0.00	0.00	0.00	0.00
			max	0.00	0.00	0.00	0.00	0.00	0.00
			min	0.00	0.00	0.00	0.00	0.00	0.00
			max	0.00	0.00	0.00	0.00	0.00	0.00
			min	0.00	0.00	0.00	0.00	0.00	0.00
			max	0.00	0.00	0.00	0.00	0.00	0.00
			min	0.00	0.00	0.00	0.00	0.00	0.00
			max	0.00	0.00	0.00	0.00	0.00	0.00
			min	0.00	0.00	0.00	0.00	0.00	0.00

MAXIMINZUGGEH-SCHNITTGRÖSSEN STABBEZOGEN

Stab-Nr.	LK-Nr.	x [m]	N	Kräfte [kN] Q ₂	T	Momente [kNm] M ₂	M ₃
7	LK1	.00	LF ₂ in Max. LF1 LF3	.00	.00	-43.97	.00
			rh ₁	.00	.00	-43.97	.00
			LF ₂ in Max. LF1 LF3	.00	.00	-43.97	.00
			rh ₁	.00	.00	-43.97	.00
			LF ₂ in Max. LF1 LF3	.00	.00	-43.97	.00
			rh ₁	.00	.00	-43.97	.00
			LF ₂ in Max. LF1 LF3	.00	.00	-43.97	.00
			rh ₁	.00	.00	-43.97	.00
			LF ₂ in Max. LF1 LF3	.00	.00	-43.97	.00
			rh ₁	.00	.00	-43.97	.00
			LF ₂ in Max. LF1 LF3	.00	.00	-43.97	.00
			rh ₁	.00	.00	-43.97	.00
8	LK1	.00	LF ₂ in Max. LF1 LF3	.00	.00	-43.97	.00
			rh ₁	.00	.00	-43.97	.00
			LF ₂ in Max. LF1 LF3	.00	.00	-43.97	.00
			rh ₁	.00	.00	-43.97	.00
			LF ₂ in Max. LF1 LF3	.00	.00	-43.97	.00
			rh ₁	.00	.00	-43.97	.00
			LF ₂ in Max. LF1 LF3	.00	.00	-43.97	.00
			rh ₁	.00	.00	-43.97	.00
			LF ₂ in Max. LF1 LF3	.00	.00	-43.97	.00
			rh ₁	.00	.00	-43.97	.00
			LF ₂ in Max. LF1 LF3	.00	.00	-43.97	.00
			rh ₁	.00	.00	-43.97	.00

MAXIMINZUGGEH-SCHNITTGRÖSSEN STABBEZOGEN

Stab-Nr.	LK-Nr.	x [m]	N	Kräfte [kN] Q ₂	T	Momente [kNm] M ₂	M ₃
9	LK1	.00	LF ₂ in Max. LF1 LF3	.00	.00	-43.97	.00
			rh ₁	.00	.00	-43.97	.00
			LF ₂ in Max. LF1 LF3	.00	.00	-43.97	.00
			rh ₁	.00	.00	-43.97	.00
			LF ₂ in Max. LF1 LF3	.00	.00	-43.97	.00
			rh ₁	.00	.00	-43.97	.00
			LF ₂ in Max. LF1 LF3	.00	.00	-43.97	.00
			rh ₁	.00	.00	-43.97	.00
			LF ₂ in Max. LF1 LF3	.00	.00	-43.97	.00
			rh ₁	.00	.00	-43.97	.00
			LF ₂ in Max. LF1 LF3	.00	.00	-43.97	.00
			rh ₁	.00	.00	-43.97	.00
10	LK1	.00	LF ₂ in Max. LF1 LF3	.00	.00	-43.97	.00
			rh ₁	.00	.00	-43.97	.00
			LF ₂ in Max. LF1 LF3	.00	.00	-43.97	.00
			rh ₁	.00	.00	-43.97	.00
			LF ₂ in Max. LF1 LF3	.00	.00	-43.97	.00
			rh ₁	.00	.00	-43.97	.00
			LF ₂ in Max. LF1 LF3	.00	.00	-43.97	.00
			rh ₁	.00	.00	-43.97	.00
			LF ₂ in Max. LF1 LF3	.00	.00	-43.97	.00
			rh ₁	.00	.00	-43.97	.00
			LF ₂ in Max. LF1 LF3	.00	.00	-43.97	.00
			rh ₁	.00	.00	-43.97	.00

MAX/MIN/ZUGEH-SCHNITTGRÖSSEN STABBEZOGEN

Stab-Nr.	LK-Nr.	x [m]	N	Kräfte [kN]	Q ₃	T	Momente [kNm]	M ₂	M ₃
9	LK1	3.50	max min	0 0	0 0	0 0	0 0	0 0	0 0
			LF in Max LF in Min	LF1 LF2					
	LK3	.00	max min	0 0	0 0	0 0	0 0	-54.78 -54.78	0 0
			LF in Max LF in Min	LK1 LK3					
			max min	0 0	0 0	0 0	0 0	-100.72 -100.72	0 0
			LF in Max LF in Min	LK1 LK3					
			max min	0 0	0 0	0 0	0 0	-54.78 -100.72	0 0
			LF in Max LF in Min	LK1 LK3					
		3.50	max min	0 0	0 0	0 0	0 0	0 0	0 0
			LF in Max LF in Min	LK1 LK3					
10			max min	0 0	0 0	0 0	0 0	0 0	0 0
			LF in Max LF in Min	LK1 LK3					
			max min	0 0	0 0	0 0	0 0	0 0	0 0
			LF in Max LF in Min	LK1 LK3					
			max min	0 0	0 0	0 0	0 0	-78.69 -78.69	0 0
			LF in Max LF in Min	LK1 LK3					
		.00	max min	0 0	0 0	0 0	0 0	-145.50 -145.50	0 0
			LF in Max LF in Min	LK1 LK3					
			max min	0 0	0 0	0 0	0 0	-78.69 -145.50	0 0
			LF in Max LF in Min	LK1 LK3					
11		3.50	max min	0 0	0 0	0 0	0 0	0 0	0 0
			LF in Max LF in Min	LK1 LK3					
			max min	0 0	0 0	0 0	0 0	0 0	0 0
			LF in Max LF in Min	LK1 LK3					
			max min	0 0	0 0	0 0	0 0	0 0	0 0
			LF in Max LF in Min	LK1 LK3					
			max min	0 0	0 0	0 0	0 0	0 0	0 0
			LF in Max LF in Min	LK1 LK3					
			max min	0 0	0 0	0 0	0 0	0 0	0 0
			LF in Max LF in Min	LK1 LK3					

MAX/MINZUGEH-SCHNITTGRÖSSEN QUERSCHNITTSBEZOGEN

Sub- No.	LC- No.	\bar{x} [m]	N	Krads [m] Q_2	Q_3	T	Moments [Nm] M_2	M_3
Querschnitt Nr. 2: IS 200/200/20/40								
Z-LIT								
		.00	max min	.00 .00	.00 .00	.00 .00	.00 .00	.00 .00
			IF 1 in 10 max min	.00 .00	.00 .00	.00 .00	.00 .00	.00 .00
			IF 2 in 10 max min	.00 .00	.00 .00	.00 .00	.00 .00	.00 .00
			IF 3 in 10 max min	.00 .00	.00 .00	.00 .00	.00 .00	.00 .00
		.50	max min	.00 .00	-7.16 7.16	.00 .00	-3.86 -3.86	.00 .00
			IF 1 in 10 max min	.00 .00	-7.16 7.16	.00 .00	-3.86 -3.86	.00 .00
			IF 2 in 10 max min	.00 .00	-7.16 7.16	.00 .00	-3.86 -3.86	.00 .00
			IF 3 in 10 max min	.00 .00	-7.16 7.16	.00 .00	-3.86 -3.86	.00 .00
		.00	MAX min	.00 .00	.00 .00	.00 .00	.00 .00	.00 .00
		.00	IF 1 in 10 max min	.00 .00	.00 .00	.00 .00	.00 .00	.00 .00

MAX/MIN/ZUGEH-SCHNITTGRÖSSEN QUERSCHNITTSBEZOGEN

Sub- Nr.	LK- Nr.	Y [m]	N	Kette [kN]		Q ₃	T	Momente [kNm]	
				Q ₂	Q ₁			M ₂	M ₃
2	LK1	.00	MAX	.00	.00	.00	.00	.00	.00
		.00	LF% in Max	.00	.00	-7.16	.00	-2.86	.00
		.00	LF% in Max	.00	.00	.00	.00	.00	.00
		.00	MAX	.00	.00	.00	.00	.00	.00
		.00	LF% in Max	.00	.00	-7.16	.00	-2.86	.00
		.00	LF% in Max	.00	.00	.00	.00	.00	.00
	LK3	.00	max	.00	.00	.00	.00	.00	.00
		.00	LF% in Max	.00	.00	.00	.00	.00	.00
		.00	LF% in Max	.00	.00	.00	.00	.00	.00
		.00	max	.00	.00	.00	.00	.00	.00
		.00	LF% in Max	.00	.00	.00	.00	.00	.00
		.00	LF% in Max	.00	.00	.00	.00	.00	.00
LK4	LK1	.00	max	.00	.00	.00	.00	.00	.00
		.00	LF% in Max	.00	.00	-7.16	.00	-2.86	.00
		.00	LF% in Max	.00	.00	-13.16	.00	-5.26	.00
		.00	max	.00	.00	.00	.00	.00	.00
		.00	LF% in Max	.00	.00	-7.16	.00	-2.86	.00
		.00	LF% in Max	.00	.00	-13.16	.00	-5.26	.00
	LK3	.00	MAX	.00	.00	.00	.00	.00	.00
		.00	MIN	.00	.00	.00	.00	.00	.00
		.00	LF% in Max	.00	.00	.00	.00	.00	.00
		.00	LF% in Max	.00	.00	-13.16	.00	-5.26	.00
		.00	MAX	.00	.00	.00	.00	.00	.00
		.00	MIN	.00	.00	.00	.00	.00	.00
3	LK1	.00	max	.00	.00	.00	.00	.00	.00
		.00	LF% in Max	.00	.00	.00	.00	.00	.00
		.00	LF% in Max	.00	.00	.00	.00	.00	.00
		.00	max	.00	.00	.00	.00	.00	.00
		.00	LF% in Max	.00	.00	.00	.00	.00	.00
		.00	LF% in Max	.00	.00	.00	.00	.00	.00
	LK3	.00	max	.00	.00	.00	.00	.00	.00
		.00	LF% in Max	.00	.00	-10.02	.00	-4.00	.00
		.00	LF% in Max	.00	.00	-10.02	.00	-4.00	.00
		.00	max	.00	.00	.00	.00	.00	.00
		.00	LF% in Max	.00	.00	-10.02	.00	-4.00	.00
		.00	LF% in Max	.00	.00	-10.02	.00	-4.00	.00
LK4	.00	MAX	.00	.00	.00	.00	.00	.00	
	.00	MIN	.00	.00	.00	.00	.00	.00	
	.00	LF% in Max	.00	.00	.00	.00	.00	.00	
	.00	LF% in Max	.00	.00	-10.02	.00	-4.00	.00	
	.00	MAX	.00	.00	.00	.00	.00	.00	
	.00	MIN	.00	.00	.00	.00	.00	.00	

MAX/MIN/ZUGGEH-SCHNITTGRÖSSEN QUERSCHNITTSBEZOGEN

Sub-Nr.	LK-Nr.	x [m]	N	Kräfte [kN] Q ₂	T	Momente [kNm] M ₂	M ₃
3	LK1	.00	FS in Mac LK1 min	.00	-2.07	.00	-2.89
		.80	FS in Mac LK1 max	.00	-4.22	.00	-7.38
		.00	FS in Mac LK1 min	.00	-4.22	.00	-7.38
		.00	FS in Mac LK1 max	.00	-4.22	.00	-7.38
		.00	FS in Mac LK1 min	.00	-4.22	.00	-7.38
		.00	FS in Mac LK1 max	.00	-4.22	.00	-7.38
		.00	FS in Mac LK1 min	.00	-4.22	.00	-7.38
		.00	FS in Mac LK1 max	.00	-4.22	.00	-7.38
		.00	FS in Mac LK1 min	.00	-4.22	.00	-7.38
		.00	FS in Mac LK1 max	.00	-4.22	.00	-7.38
4	LK2	.00	FS in Mac LK2 min	.00	-3.07	.00	-2.86
		.80	FS in Mac LK2 max	.00	-3.07	.00	-2.86
		.00	FS in Mac LK2 min	.00	-3.07	.00	-2.86
		.00	FS in Mac LK2 max	.00	-3.07	.00	-2.86
		.00	FS in Mac LK2 min	.00	-3.07	.00	-2.86
		.00	FS in Mac LK2 max	.00	-3.07	.00	-2.86
		.00	FS in Mac LK2 min	.00	-3.07	.00	-2.86
		.00	FS in Mac LK2 max	.00	-3.07	.00	-2.86
		.00	FS in Mac LK2 min	.00	-3.07	.00	-2.86
		.00	FS in Mac LK2 max	.00	-3.07	.00	-2.86
5	LK3	.00	FS in Mac LK3 min	.00	-3.07	.00	-2.86
		.80	FS in Mac LK3 max	.00	-3.07	.00	-2.86
		.00	FS in Mac LK3 min	.00	-3.07	.00	-2.86
		.00	FS in Mac LK3 max	.00	-3.07	.00	-2.86
		.00	FS in Mac LK3 min	.00	-3.07	.00	-2.86
		.00	FS in Mac LK3 max	.00	-3.07	.00	-2.86
		.00	FS in Mac LK3 min	.00	-3.07	.00	-2.86
		.00	FS in Mac LK3 max	.00	-3.07	.00	-2.86
		.00	FS in Mac LK3 min	.00	-3.07	.00	-2.86
		.00	FS in Mac LK3 max	.00	-3.07	.00	-2.86
6	LK4	.00	FS in Mac LK4 min	.00	-2.07	.00	-2.86
		.80	FS in Mac LK4 max	.00	-2.07	.00	-2.86
		.00	FS in Mac LK4 min	.00	-2.07	.00	-2.86
		.00	FS in Mac LK4 max	.00	-2.07	.00	-2.86
		.00	FS in Mac LK4 min	.00	-2.07	.00	-2.86
		.00	FS in Mac LK4 max	.00	-2.07	.00	-2.86
		.00	FS in Mac LK4 min	.00	-2.07	.00	-2.86
		.00	FS in Mac LK4 max	.00	-2.07	.00	-2.86
		.00	FS in Mac LK4 min	.00	-2.07	.00	-2.86
		.00	FS in Mac LK4 max	.00	-2.07	.00	-2.86

MAX/MIN/ZUGGEH-SCHNITTGRÖSSEN QUERSCHNITTSBEZOGEN

Sub-Nr.	LK-Nr.	x [m]	N	Kräfte [kN] Q ₂	T	Momente [kNm] M ₂	M ₃
4	LK1	.00	FS in Mac LK1 min	.00	-2.90	.00	-4.00
		.80	FS in Mac LK1 max	.00	-2.90	.00	-4.00
		.00	FS in Mac LK1 min	.00	-2.90	.00	-4.00
		.00	FS in Mac LK1 max	.00	-2.90	.00	-4.00
		.00	FS in Mac LK1 min	.00	-2.90	.00	-4.00
		.00	FS in Mac LK1 max	.00	-2.90	.00	-4.00
		.00	FS in Mac LK1 min	.00	-2.90	.00	-4.00
		.00	FS in Mac LK1 max	.00	-2.90	.00	-4.00
		.00	FS in Mac LK1 min	.00	-2.90	.00	-4.00
		.00	FS in Mac LK1 max	.00	-2.90	.00	-4.00
5	LK2	.00	FS in Mac LK2 min	.00	-4.22	.00	-7.38
		.80	FS in Mac LK2 max	.00	-4.22	.00	-7.38
		.00	FS in Mac LK2 min	.00	-4.22	.00	-7.38
		.00	FS in Mac LK2 max	.00	-4.22	.00	-7.38
		.00	FS in Mac LK2 min	.00	-4.22	.00	-7.38
		.00	FS in Mac LK2 max	.00	-4.22	.00	-7.38
		.00	FS in Mac LK2 min	.00	-4.22	.00	-7.38
		.00	FS in Mac LK2 max	.00	-4.22	.00	-7.38
		.00	FS in Mac LK2 min	.00	-4.22	.00	-7.38
		.00	FS in Mac LK2 max	.00	-4.22	.00	-7.38
6	LK3	.00	FS in Mac LK3 min	.00	-4.22	.00	-7.38
		.80	FS in Mac LK3 max	.00	-4.22	.00	-7.38
		.00	FS in Mac LK3 min	.00	-4.22	.00	-7.38
		.00	FS in Mac LK3 max	.00	-4.22	.00	-7.38
		.00	FS in Mac LK3 min	.00	-4.22	.00	-7.38
		.00	FS in Mac LK3 max	.00	-4.22	.00	-7.38
		.00	FS in Mac LK3 min	.00	-4.22	.00	-7.38
		.00	FS in Mac LK3 max	.00	-4.22	.00	-7.38
		.00	FS in Mac LK3 min	.00	-4.22	.00	-7.38
		.00	FS in Mac LK3 max	.00	-4.22	.00	-7.38
7	LK4	.00	FS in Mac LK4 min	.00	-4.22	.00	-7.38
		.80	FS in Mac LK4 max	.00	-4.22	.00	-7.38
		.00	FS in Mac LK4 min	.00	-4.22	.00	-7.38
		.00	FS in Mac LK4 max	.00	-4.22	.00	-7.38
		.00	FS in Mac LK4 min	.00	-4.22	.00	-7.38
		.00	FS in Mac LK4 max	.00	-4.22	.00	-7.38
		.00	FS in Mac LK4 min	.00	-4.22	.00	-7.38
		.00	FS in Mac LK4 max	.00	-4.22	.00	-7.38
		.00	FS in Mac LK4 min	.00	-4.22	.00	-7.38
		.00	FS in Mac LK4 max	.00	-4.22	.00	-7.38

MAX/MIN/ZUGGEH-SCHNITTGRÖSSEN QUERSCHNITTSBEZOGEN

Stab-Nr.	UK-Nr.	x [m]	N	Kräfte [kN]	Q ₂	T	Momente [kNm]	M ₂	M ₃
5	UK1	0.00	U ₂ in Max	UK1 U ₂	0.00	-12.91	0.00	-10.35	0.00
			U ₂ in Min	UK1 U ₂	0.00	-24.51	0.00	-19.67	0.00
			U ₂ in Max	UK1 U ₂	0.00	-22.93	0.00	-24.67	0.00
			U ₂ in Min	UK1 U ₂	0.00	-22.93	0.00	-24.67	0.00
			U ₂ in Max	UK1 U ₂	0.00	-22.93	0.00	-24.67	0.00
			U ₂ in Min	UK1 U ₂	0.00	-22.93	0.00	-24.67	0.00
			U ₂ in Max	UK1 U ₂	0.00	-22.93	0.00	-24.67	0.00
			U ₂ in Min	UK1 U ₂	0.00	-22.93	0.00	-24.67	0.00
			U ₂ in Max	UK1 U ₂	0.00	-22.93	0.00	-24.67	0.00
			U ₂ in Min	UK1 U ₂	0.00	-22.93	0.00	-24.67	0.00
			U ₂ in Max	UK1 U ₂	0.00	-22.93	0.00	-24.67	0.00
			U ₂ in Min	UK1 U ₂	0.00	-22.93	0.00	-24.67	0.00
6	UK1	0.00	U ₂ in Max	UK1 U ₂	0.00	-16.38	0.00	-17.62	0.00
			U ₂ in Min	UK1 U ₂	0.00	-16.38	0.00	-17.62	0.00
			U ₂ in Max	UK1 U ₂	0.00	-16.38	0.00	-17.62	0.00
			U ₂ in Min	UK1 U ₂	0.00	-16.38	0.00	-17.62	0.00
			U ₂ in Max	UK1 U ₂	0.00	-16.38	0.00	-17.62	0.00
			U ₂ in Min	UK1 U ₂	0.00	-16.38	0.00	-17.62	0.00
			U ₂ in Max	UK1 U ₂	0.00	-16.38	0.00	-17.62	0.00
			U ₂ in Min	UK1 U ₂	0.00	-16.38	0.00	-17.62	0.00
			U ₂ in Max	UK1 U ₂	0.00	-16.38	0.00	-17.62	0.00
			U ₂ in Min	UK1 U ₂	0.00	-16.38	0.00	-17.62	0.00
			U ₂ in Max	UK1 U ₂	0.00	-16.38	0.00	-17.62	0.00
			U ₂ in Min	UK1 U ₂	0.00	-16.38	0.00	-17.62	0.00
7	UK1	0.00	U ₂ in Max	UK1 U ₂	0.00	-16.38	0.00	-17.62	0.00
			U ₂ in Min	UK1 U ₂	0.00	-16.38	0.00	-17.62	0.00
			U ₂ in Max	UK1 U ₂	0.00	-16.38	0.00	-17.62	0.00
			U ₂ in Min	UK1 U ₂	0.00	-16.38	0.00	-17.62	0.00
			U ₂ in Max	UK1 U ₂	0.00	-16.38	0.00	-17.62	0.00
			U ₂ in Min	UK1 U ₂	0.00	-16.38	0.00	-17.62	0.00
			U ₂ in Max	UK1 U ₂	0.00	-16.38	0.00	-17.62	0.00
			U ₂ in Min	UK1 U ₂	0.00	-16.38	0.00	-17.62	0.00
			U ₂ in Max	UK1 U ₂	0.00	-16.38	0.00	-17.62	0.00
			U ₂ in Min	UK1 U ₂	0.00	-16.38	0.00	-17.62	0.00
			U ₂ in Max	UK1 U ₂	0.00	-16.38	0.00	-17.62	0.00
			U ₂ in Min	UK1 U ₂	0.00	-16.38	0.00	-17.62	0.00

MAX/MIN/ZUGGEH-SCHNITTGRÖSSEN QUERSCHNITTSBEZOGEN

Stab-Nr.	UK-Nr.	x [m]	N	Kräfte [kN]	Q ₂	T	Momente [kNm]	M ₂	M ₃
5	UK1	0.00	U ₂ in Max	UK1 U ₂	0.00	-16.38	0.00	-17.62	0.00
			U ₂ in Min	UK1 U ₂	0.00	-16.38	0.00	-17.62	0.00
			U ₂ in Max	UK1 U ₂	0.00	-16.38	0.00	-17.62	0.00
			U ₂ in Min	UK1 U ₂	0.00	-16.38	0.00	-17.62	0.00
			U ₂ in Max	UK1 U ₂	0.00	-16.38	0.00	-17.62	0.00
			U ₂ in Min	UK1 U ₂	0.00	-16.38	0.00	-17.62	0.00
			U ₂ in Max	UK1 U ₂	0.00	-16.38	0.00	-17.62	0.00
			U ₂ in Min	UK1 U ₂	0.00	-16.38	0.00	-17.62	0.00
			U ₂ in Max	UK1 U ₂	0.00	-16.38	0.00	-17.62	0.00
			U ₂ in Min	UK1 U ₂	0.00	-16.38	0.00	-17.62	0.00
			U ₂ in Max	UK1 U ₂	0.00	-16.38	0.00	-17.62	0.00
			U ₂ in Min	UK1 U ₂	0.00	-16.38	0.00	-17.62	0.00
6	UK1	0.00	U ₂ in Max	UK1 U ₂	0.00	-16.38	0.00	-17.62	0.00
			U ₂ in Min	UK1 U ₂	0.00	-16.38	0.00	-17.62	0.00
			U ₂ in Max	UK1 U ₂	0.00	-16.38	0.00	-17.62	0.00
			U ₂ in Min	UK1 U ₂	0.00	-16.38	0.00	-17.62	0.00
			U ₂ in Max	UK1 U ₂	0.00	-16.38	0.00	-17.62	0.00
			U ₂ in Min	UK1 U ₂	0.00	-16.38	0.00	-17.62	0.00
			U ₂ in Max	UK1 U ₂	0.00	-16.38	0.00	-17.62	0.00
			U ₂ in Min	UK1 U ₂	0.00	-16.38	0.00	-17.62	0.00
			U ₂ in Max	UK1 U ₂	0.00	-16.38	0.00	-17.62	0.00
			U ₂ in Min	UK1 U ₂	0.00	-16.38	0.00	-17.62	0.00
			U ₂ in Max	UK1 U ₂	0.00	-16.38	0.00	-17.62	0.00
			U ₂ in Min	UK1 U ₂	0.00	-16.38	0.00	-17.62	0.00
7	UK1	0.00	U ₂ in Max	UK1 U ₂	0.00	-16.38	0.00	-17.62	0.00
			U ₂ in Min	UK1 U ₂	0.00	-16.38	0.00	-17.62	0.00
			U ₂ in Max	UK1 U ₂	0.00	-16.38	0.00	-17.62	0.00
			U ₂ in Min	UK1 U ₂	0.00	-16.38	0.00	-17.62	0.00
			U ₂ in Max	UK1 U ₂	0.00	-16.38	0.00	-17.62	0.00
			U ₂ in Min	UK1 U ₂	0.00	-16.38	0.00	-17.62	0.00
			U ₂ in Max	UK1 U ₂	0.00	-16.38	0.00	-17.62	0.00
			U ₂ in Min	UK1 U ₂	0.00	-16.38	0.00	-17.62	0.00
			U ₂ in Max	UK1 U ₂	0.00	-16.38	0.00	-17.62	0.00
			U ₂ in Min	UK1 U ₂	0.00	-16.38	0.00	-17.62	0.00
			U ₂ in Max	UK1 U ₂	0.00	-16.38	0.00	-17.62	0.00
			U ₂ in Min	UK1 U ₂	0.00	-16.38	0.00	-17.62	0.00

MAXIMIN/ZUGGEH-SCHNITTGRÖSSEN QUERSCHNITTSSBEZOGEN

Sub- Nr.	LK- Nr.	x [m]	N	Kräfte [kN]	Q ₂	T	Momente [kNm]	M ₂	M ₃
9	LX1	.00	max	LF ₂ in Max	.00	38.46	.00	-42.69	.00
			min	LF ₂ in Min	.00	38.46	.00	-42.69	.00
			max	LF ₂ in Max	.00	38.46	.00	-42.69	.00
			min	LF ₂ in Min	.00	38.46	.00	-42.69	.00
			max	LF ₂ in Max	.00	38.46	.00	-42.69	.00
			min	LF ₂ in Min	.00	38.46	.00	-42.69	.00
			max	LF ₂ in Max	.00	38.46	.00	-42.69	.00
			min	LF ₂ in Min	.00	38.46	.00	-42.69	.00
			max	LF ₂ in Max	.00	38.46	.00	-42.69	.00
			min	LF ₂ in Min	.00	38.46	.00	-42.69	.00
			max	LF ₂ in Max	.00	38.46	.00	-42.69	.00
			min	LF ₂ in Min	.00	38.46	.00	-42.69	.00
10	LX2	.00	max	LF ₂ in Max	.00	38.46	.00	-42.69	.00
			min	LF ₂ in Min	.00	38.46	.00	-42.69	.00
			max	LF ₂ in Max	.00	38.46	.00	-42.69	.00
			min	LF ₂ in Min	.00	38.46	.00	-42.69	.00
			max	LF ₂ in Max	.00	38.46	.00	-42.69	.00
			min	LF ₂ in Min	.00	38.46	.00	-42.69	.00
			max	LF ₂ in Max	.00	38.46	.00	-42.69	.00
			min	LF ₂ in Min	.00	38.46	.00	-42.69	.00
			max	LF ₂ in Max	.00	38.46	.00	-42.69	.00
			min	LF ₂ in Min	.00	38.46	.00	-42.69	.00
			max	LF ₂ in Max	.00	38.46	.00	-42.69	.00
			min	LF ₂ in Min	.00	38.46	.00	-42.69	.00

MAXIMIN/ZUGGEH-SCHNITTGRÖSSEN QUERSCHNITTSSBEZOGEN

Sub- Nr.	LK- Nr.	x [m]	N	Kräfte [kN]	Q ₂	T	Momente [kNm]	M ₂	M ₃
9	LX1	.00	max	LF ₂ in Max	.00	43.83	.00	-76.69	.00
			min	LF ₂ in Min	.00	43.83	.00	-76.69	.00
			max	LF ₂ in Max	.00	43.83	.00	-76.69	.00
			min	LF ₂ in Min	.00	43.83	.00	-76.69	.00
			max	LF ₂ in Max	.00	43.83	.00	-76.69	.00
			min	LF ₂ in Min	.00	43.83	.00	-76.69	.00
			max	LF ₂ in Max	.00	43.83	.00	-76.69	.00
			min	LF ₂ in Min	.00	43.83	.00	-76.69	.00
			max	LF ₂ in Max	.00	43.83	.00	-76.69	.00
			min	LF ₂ in Min	.00	43.83	.00	-76.69	.00
			max	LF ₂ in Max	.00	43.83	.00	-76.69	.00
			min	LF ₂ in Min	.00	43.83	.00	-76.69	.00
10	LX2	.00	max	LF ₂ in Max	.00	43.83	.00	-76.69	.00
			min	LF ₂ in Min	.00	43.83	.00	-76.69	.00
			max	LF ₂ in Max	.00	43.83	.00	-76.69	.00
			min	LF ₂ in Min	.00	43.83	.00	-76.69	.00
			max	LF ₂ in Max	.00	43.83	.00	-76.69	.00
			min	LF ₂ in Min	.00	43.83	.00	-76.69	.00
			max	LF ₂ in Max	.00	43.83	.00	-76.69	.00
			min	LF ₂ in Min	.00	43.83	.00	-76.69	.00
			max	LF ₂ in Max	.00	43.83	.00	-76.69	.00
			min	LF ₂ in Min	.00	43.83	.00	-76.69	.00
			max	LF ₂ in Max	.00	43.83	.00	-76.69	.00
			min	LF ₂ in Min	.00	43.83	.00	-76.69	.00

MAXIMINZUGGEH-SCHNITTGRÖSSEN QUERSCHNITTBEZOGEN

Stab-Nr.	LK-Nr.	x [m]	N	Q _z	Q _y	T	Moment [Nm]	M _z
9	LK4	.00	min L ₁ in Max L ₁	.00	43.83	.00	-78.89	.00
			max L ₁ in Min L ₁	.00	83.21	.00	-145.80	.00
			min L ₁ in Max L ₁	.00	43.83	.00	-78.89	.00
			max L ₁ in Min L ₁	.00	83.21	.00	-145.80	.00
		3.50	min L ₁ in Max L ₁	.00	.00	.00	.00	.00
			max L ₁ in Min L ₁	.00	.00	.00	.00	.00
			min L ₁ in Max L ₁	.00	.00	.00	.00	.00
			max L ₁ in Min L ₁	.00	.00	.00	.00	.00
		.00	min L ₁ in Max L ₁	.00	43.83	.00	-78.89	.00
			max L ₁ in Min L ₁	.00	83.21	.00	-145.80	.00
		.00	min L ₁ in Max L ₁	.00	43.83	.00	-78.89	.00
			max L ₁ in Min L ₁	.00	83.21	.00	-145.80	.00
		3.50	min L ₁ in Max L ₁	.00	.00	.00	.00	.00
			max L ₁ in Min L ₁	.00	.00	.00	.00	.00
			min L ₁ in Max L ₁	.00	.00	.00	.00	.00
			max L ₁ in Min L ₁	.00	.00	.00	.00	.00
2	LK1	.00	min L ₁ in Max L ₁	.00	.00	.00	.00	.00
			max L ₁ in Min L ₁	.00	.00	.00	.00	.00
		.00	min L ₁ in Max L ₁	.00	.00	.00	.00	.00
			max L ₁ in Min L ₁	.00	.00	.00	.00	.00
6	LK4	.00	min L ₁ in Max L ₁	.00	102.22	.00	-218.77	.00
			max L ₁ in Min L ₁	.00	-100.39	.00	-218.77	.00
7	LK4	.00	min L ₁ in Max L ₁	.00	.00	.00	.00	.00
			max L ₁ in Min L ₁	.00	.00	.00	.00	.00
2	LK4	.00	min L ₁ in Max L ₁	.00	.00	.00	.00	.00
			max L ₁ in Min L ₁	.00	-100.39	.00	-218.77	.00

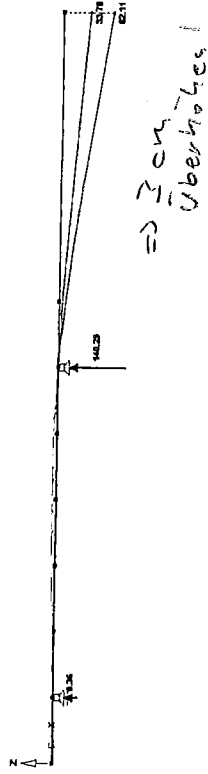
MAXIMINZUGGEH-AUFLAGERKRÄFTE UND -MOMENTE

Knoten-Nr.	LK-Nr.	Auflagerkräfte [kN]	P _z	M _z	Auflagerkräfte [kN]	M _y	M _z
3	LK1	Max P _z Min P _z	.00 .00	-5.09 -5.09	.00 .00	.00 .00	.00 .00
	LK3	Max P _z Min P _z	.00 .00	-5.09 -5.09	.00 .00	.00 .00	.00 .00
	LK4	Max P _z Min P _z	.00 .00	-5.09 -5.09	.00 .00	.00 .00	.00 .00
		Max P _z Min P _z	.00 .00	-5.09 -5.09	.00 .00	.00 .00	.00 .00
6	LK1	Max P _z Min P _z	.00 .00	-26.31 -26.31	.00 .00	.00 .00	.00 .00
		Max P _z Min P _z	.00 .00	-26.31 -26.31	.00 .00	.00 .00	.00 .00
	LK3	Max P _z Min P _z	.00 .00	-26.31 -26.31	.00 .00	.00 .00	.00 .00
		Max P _z Min P _z	.00 .00	-26.31 -26.31	.00 .00	.00 .00	.00 .00
	LK4	Max P _z Min P _z	.00 .00	-26.31 -26.31	.00 .00	.00 .00	.00 .00
		Max P _z Min P _z	.00 .00	-26.31 -26.31	.00 .00	.00 .00	.00 .00

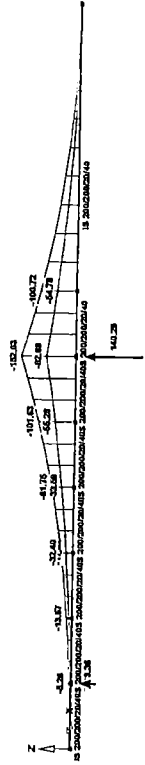
MAXIMINZUGGEH-AUFLAGERKRÄFTE UND -MOMENTE

Knoten-Nr.	LK-Nr.	Auflagerkräfte [kN]	P _z	M _z	Auflagerkräfte [kN]	M _y	M _z
		Max P _z Min P _z	.00 .00	.00 .00	.00 .00	.00 .00	.00 .00

In Y-Richtung



In Y-Richtung



STAHL1 - SPANNUNGSANALYSE

BASISANGABEN

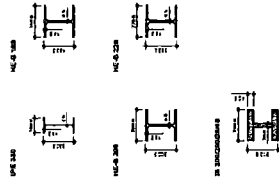
ZU BEMESSENDE STÄBE
Alle
ZU BEMESSENDE LASTFÄLLE
LK4 - Traglast

SPANNUNGEN

Mat.-Nr.	Mat.-Bezeichnung	Material-Nr.	Material-Nr.	Spannung [N/mm ²]	Spannung [N/mm ²]	Spannung [N/mm ²]
1	StB 1	1	1	21,62	21,62	21,62
2	StB 2	2	2	18,88	18,88	18,88

QUERSCHNITTE

Querschnitt-Nr.	Mat.-Nr.	Querschnittsbezeichnung	I ₁ [cm ⁴]	I ₂ [cm ⁴]	I ₃ [cm ⁴]	Alpha p1	Alpha p2	Alpha p3
1	2	PE 330	11770,00	0,00	0,00	1,14	0,00	0,00
2	2	HE 8 180	62,60	3920,00	3920,00	1,14	0,00	0,00
3	2	HE 8 200	62,60	5700,00	5700,00	1,14	0,00	0,00
4	2	HE 8 220	78,10	8000,00	8000,00	1,14	0,00	0,00
5	2	IS 200/200/20/40	10741,34	0,00	0,00	1,14	0,00	0,00



MAX. SPANNUNGEN IN QUERSCHNITTEN

Spannungsart	Sub-Nr.	x-Stelle [m]	S-Punkt Nr.	LF Nr.	Spannung [N/mm ²]	Spannung [N/mm ²]	Spannung [N/mm ²]	Ausnutzung
Querschnitt Nr. 8 - IS 200/200/20/40	7	0,000	1	LK4-Q3	20,48	20,48	20,48	0,83
Spanne gesamt	8	0,000	3	LK4-Q3	3,22	3,22	3,22	0,17
Spanne gesamt	8	0,000	3	LK4-Q3	20,50	20,50	20,50	0,83

MAX. SPANNUNGEN IN STÄBEN

Spannungsart	Sub-Nr.	x-Stelle [m]	S-Punkt Nr.	LF Nr.	Spannung [N/mm ²]	Spannung [N/mm ²]	Spannung [N/mm ²]	Ausnutzung
Sub-Nr. 2: Querschnitt Nr. 8 - IS 200/200/20/40	8	0,000	1	LK4-Q3	0,71	0,71	0,71	0,02
Spanne gesamt	8	0,000	13	LK4-Q3	4,80	4,80	4,80	0,03
Spanne gesamt	8	0,000	11	LK4-Q3	1,07	1,07	1,07	0,03
Sub-Nr. 3: Querschnitt Nr. 6 - IS 200/200/20/40	8	0,000	1	LK4-Q3	1,83	1,83	1,83	0,06
Spanne gesamt	8	0,000	13	LK4-Q3	4,77	4,77	4,77	0,14
Spanne gesamt	8	0,000	3	LK4-Q3	2,73	2,73	2,73	0,08
Sub-Nr. 4: Querschnitt Nr. 6 - IS 200/200/20/40	8	0,000	1	LK4-Q3	4,36	4,36	4,36	0,13
Spanne gesamt	8	0,000	13	LK4-Q3	1,37	1,37	1,37	0,07
Spanne gesamt	8	0,000	3	LK4-Q3	2,73	2,73	2,73	0,13
Sub-Nr. 5: Querschnitt Nr. 6 - IS 200/200/20/40	8	0,000	1	LK4-Q3	8,31	8,31	8,31	0,25
Spanne gesamt	8	0,000	13	LK4-Q3	1,97	1,97	1,97	0,10
Spanne gesamt	8	0,000	3	LK4-Q3	8,35	8,35	8,35	0,28
Sub-Nr. 6: Querschnitt Nr. 6 - IS 200/200/20/40	8	0,000	1	LK4-Q3	13,58	13,58	13,58	0,42
Spanne gesamt	8	0,000	13	LK4-Q3	2,57	2,57	2,57	0,14
Spanne gesamt	8	0,000	3	LK4-Q3	13,72	13,72	13,72	0,42
Sub-Nr. 7: Querschnitt Nr. 6 - IS 200/200/20/40	8	0,000	1	LK4-Q3	20,48	20,48	20,48	0,83
Spanne gesamt	8	0,000	13	LK4-Q3	3,17	3,17	3,17	0,17
Spanne gesamt	8	0,000	3	LK4-Q3	20,50	20,50	20,50	0,83
Sub-Nr. 8: Querschnitt Nr. 6 - IS 200/200/20/40	8	0,000	1	LK4-Q3	20,48	20,48	20,48	0,83
Spanne gesamt	8	0,000	13	LK4-Q3	3,22	3,22	3,22	0,17

STAHL2

MAX. SPANNUNGEN IN STÄBEN

Spannungsart	Sub-Nr.	x-Stelle [m]	S-Punkt Nr.	LF Nr.	Spannung [N/mm ²]	Spannung [N/mm ²]	Spannung [N/mm ²]	Ausnutzung
Sub-Nr. 9: Querschnitt Nr. 6 - IS 200/200/20/40	8	0,000	1	LK4-Q3	13,58	13,58	13,58	0,41
Spanne gesamt	8	0,000	13	LK4-Q3	2,62	2,62	2,62	0,14
Spanne gesamt	8	0,000	3	LK4-Q3	13,60	13,60	13,60	0,42

MAX. SPANNUNGEN IN X-STELLEN

Spannungsart	Sub-Nr.	x-Stelle [m]	S-Punkt Nr.	LF Nr.	Spannung [N/mm ²]	Spannung [N/mm ²]	Spannung [N/mm ²]	Ausnutzung
Sub-Nr. 2: Querschnitt Nr. 8 - IS 200/200/20/40, x = 0,00m	8	0,000	1	LK4-Q3	0,00	0,00	0,00	0,00
Spanne gesamt	8	0,000	1	LK4-Q3	0,00	0,00	0,00	0,00
Spanne gesamt	8	0,000	1	LK4-Q3	0,00	0,00	0,00	0,00
Sub-Nr. 3: Querschnitt Nr. 8 - IS 200/200/20/40, x = 0,27m	8	0,270	1	LK4-Q3	0,00	0,00	0,00	0,00
Spanne gesamt	8	0,270	13	LK4-Q3	-0,20	-0,20	-0,20	0,01
Spanne gesamt	8	0,270	13	LK4-Q3	0,31	0,31	0,31	0,01
Sub-Nr. 4: Querschnitt Nr. 8 - IS 200/200/20/40, x = 0,53m	8	0,530	1	LK4-Q3	-0,40	-0,40	-0,40	0,02
Spanne gesamt	8	0,530	13	LK4-Q3	0,89	0,89	0,89	0,02
Sub-Nr. 5: Querschnitt Nr. 8 - IS 200/200/20/40, x = 0,80m	8	0,800	1	LK4-Q3	0,71	0,71	0,71	0,02
Spanne gesamt	8	0,800	13	LK4-Q3	-0,60	-0,60	-0,60	0,03
Spanne gesamt	8	0,800	13	LK4-Q3	1,89	1,89	1,89	0,03
Sub-Nr. 6: Querschnitt Nr. 8 - IS 200/200/20/40, x = 1,07m	8	1,070	1	LK4-Q3	0,17	0,17	0,17	0,01
Spanne gesamt	8	1,070	13	LK4-Q3	-0,17	-0,17	-0,17	0,01
Spanne gesamt	8	1,070	13	LK4-Q3	0,71	0,71	0,71	0,02
Sub-Nr. 7: Querschnitt Nr. 8 - IS 200/200/20/40, x = 1,34m	8	1,340	1	LK4-Q3	0,82	0,82	0,82	0,03
Spanne gesamt	8	1,340	13	LK4-Q3	-0,37	-0,37	-0,37	0,02
Spanne gesamt	8	1,340	13	LK4-Q3	1,89	1,89	1,89	0,03
Sub-Nr. 8: Querschnitt Nr. 8 - IS 200/200/20/40, x = 1,61m	8	1,610	1	LK4-Q3	1,30	1,30	1,30	0,04
Spanne gesamt	8	1,610	13	LK4-Q3	-0,27	-0,27	-0,27	0,02
Spanne gesamt	8	1,610	13	LK4-Q3	1,50	1,50	1,50	0,04
Sub-Nr. 9: Querschnitt Nr. 8 - IS 200/200/20/40, x = 1,88m	8	1,880	1	LK4-Q3	1,83	1,83	1,83	0,06
Spanne gesamt	8	1,880	13	LK4-Q3	-0,71	-0,71	-0,71	0,04
Spanne gesamt	8	1,880	13	LK4-Q3	1,85	1,85	1,85	0,06
Sub-Nr. 10: Querschnitt Nr. 8 - IS 200/200/20/40, x = 2,15m	8	2,150	1	LK4-Q3	1,89	1,89	1,89	0,06
Spanne gesamt	8	2,150	13	LK4-Q3	-0,37	-0,37	-0,37	0,02
Spanne gesamt	8	2,150	13	LK4-Q3	1,85	1,85	1,85	0,06
Sub-Nr. 11: Querschnitt Nr. 8 - IS 200/200/20/40, x = 2,42m	8	2,420	1	LK4-Q3	2,51	2,51	2,51	0,08
Spanne gesamt	8	2,420	13	LK4-Q3	-0,71	-0,71	-0,71	0,05
Spanne gesamt	8	2,420	13	LK4-Q3	2,54	2,54	2,54	0,08
Sub-Nr. 12: Querschnitt Nr. 8 - IS 200/200/20/40, x = 2,69m	8	2,690	1	LK4-Q3	3,36	3,36	3,36	0,10
Spanne gesamt	8	2,690	13	LK4-Q3	-0,71	-0,71	-0,71	0,08
Spanne gesamt	8	2,690	13	LK4-Q3	3,39	3,39	3,39	0,10
Sub-Nr. 13: Querschnitt Nr. 8 - IS 200/200/20/40, x = 2,96m	8	2,960	1	LK4-Q3	4,36	4,36	4,36	0,13
Spanne gesamt	8	2,960	13	LK4-Q3	-0,71	-0,71	-0,71	0,07
Spanne gesamt	8	2,960	13	LK4-Q3	4,39	4,39	4,39	0,13
Sub-Nr. 14: Querschnitt Nr. 8 - IS 200/200/20/40, x = 3,23m	8	3,230	1	LK4-Q3	5,28	5,28	5,28	0,17
Spanne gesamt	8	3,230	13	LK4-Q3	-0,71	-0,71	-0,71	0,13
Spanne gesamt	8	3,230	13	LK4-Q3	5,56	5,56	5,56	0,17
Sub-Nr. 15: Querschnitt Nr. 8 - IS 200/200/20/40, x = 3,50m	8	3,500	1	LK4-Q3	6,84	6,84	6,84	0,21
Spanne gesamt	8	3,500	13	LK4-Q3	-0,71	-0,71	-0,71	0,21
Spanne gesamt	8	3,500	13	LK4-Q3	6,97	6,97	6,97	0,21
Sub-Nr. 16: Querschnitt Nr. 8 - IS 200/200/20/40, x = 3,77m	8	3,770	1	LK4-Q3	8,31	8,31	8,31	0,25
Spanne gesamt	8	3,770	13	LK4-Q3	-0,71	-0,71	-0,71	0,25
Spanne gesamt	8	3,770	13	LK4-Q3	8,35	8,35	8,35	0,25
Sub-Nr. 17: Querschnitt Nr. 8 - IS 200/200/20/40, x = 4,04m	8	4,040	1	LK4-Q3	9,94	9,94	9,94	0,30
Spanne gesamt	8	4,040	13	LK4-Q3	-0,71	-0,71	-0,71	0,30
Spanne gesamt	8	4,040	13	LK4-Q3	9,97	9,97	9,97	0,30
Sub-Nr. 18: Querschnitt Nr. 8 - IS 200/200/20/40, x = 4,31m	8	4,310	1	LK4-Q3	11,73	11,73	11,73	0,36
Spanne gesamt	8	4,310	13	LK4-Q3	-0,71	-0,71	-0,71	0,36
Spanne gesamt	8	4,310	13	LK4-Q3	11,77	11,77	11,77	0,36

Projekt: S0962	Position: TR_00_02a	Seite: 45	Kapitel G
----------------	---------------------	-----------	-----------

MAX SPANNUNGEN IN X-STELLEN

Spannungs- art	x-Statik [m]	Schmitt Nr.	UF Nr.	Spannung [kN/m ²] vert	Spannung [kN/m ²] genz	Aus- nutzung
Stab Nr. 6: Querschnitt Nr. 6-IS 200/200/2040, x = 0,80m						
Stab gesamt	8,000	1	U4-O-3	13,91	32,73	0,42
Stab gesamt	8,000	3	U4-O-3	13,91	32,73	0,42
Stab Nr. 7: Querschnitt Nr. 6-IS 200/200/2040, x = 0,00m						
Stab gesamt	0,000	1	U4-O-3	13,99	32,73	0,42
Stab gesamt	0,000	3	U4-O-3	13,99	32,73	0,42
Stab Nr. 7: Querschnitt Nr. 8-IS 200/200/2040, x = 0,27m						
Stab gesamt	0,270	1	U4-O-3	15,78	32,73	0,46
Stab gesamt	0,270	3	U4-O-3	15,78	32,73	0,46
Stab Nr. 7: Querschnitt Nr. 8-IS 200/200/2040, x = 0,53m						
Stab gesamt	0,530	1	U4-O-3	18,04	32,73	0,55
Stab gesamt	0,530	3	U4-O-3	18,04	32,73	0,55
Stab Nr. 7: Querschnitt Nr. 8-IS 200/200/2040, x = 0,80m						
Stab gesamt	0,800	1	U4-O-3	20,48	32,73	0,63
Stab gesamt	0,800	3	U4-O-3	20,48	32,73	0,63
Stab Nr. 7: Querschnitt Nr. 8-IS 200/200/2040, x = 0,00m						
Stab gesamt	0,000	1	U4-O-3	20,48	32,73	0,63
Stab gesamt	0,000	3	U4-O-3	20,48	32,73	0,63
Stab Nr. 8: Querschnitt Nr. 6-IS 200/200/2040, x = 0,27m						
Stab gesamt	0,270	1	U4-O-3	16,00	32,73	0,55
Stab gesamt	0,270	3	U4-O-3	16,00	32,73	0,55
Stab Nr. 8: Querschnitt Nr. 8-IS 200/200/2040, x = 0,53m						
Stab gesamt	0,530	1	U4-O-3	18,04	32,73	0,55
Stab gesamt	0,530	3	U4-O-3	18,04	32,73	0,55
Stab Nr. 8: Querschnitt Nr. 8-IS 200/200/2040, x = 0,80m						
Stab gesamt	0,800	1	U4-O-3	20,48	32,73	0,63
Stab gesamt	0,800	3	U4-O-3	20,48	32,73	0,63
Stab Nr. 8: Querschnitt Nr. 8-IS 200/200/2040, x = 0,00m						
Stab gesamt	0,000	1	U4-O-3	20,48	32,73	0,63
Stab gesamt	0,000	3	U4-O-3	20,48	32,73	0,63
Stab Nr. 9: Querschnitt Nr. 6-IS 200/200/2040, x = 0,70m						
Stab gesamt	0,700	1	U4-O-3	19,88	32,73	0,58
Stab gesamt	0,700	3	U4-O-3	19,88	32,73	0,58
Stab Nr. 9: Querschnitt Nr. 8-IS 200/200/2040, x = 0,00m						
Stab gesamt	0,000	1	U4-O-3	20,99	32,73	0,61
Stab gesamt	0,000	3	U4-O-3	20,99	32,73	0,61
Stab Nr. 9: Querschnitt Nr. 8-IS 200/200/2040, x = 0,27m						
Stab gesamt	0,270	1	U4-O-3	18,89	32,73	0,57
Stab gesamt	0,270	3	U4-O-3	18,89	32,73	0,57
Stab Nr. 9: Querschnitt Nr. 8-IS 200/200/2040, x = 0,53m						
Stab gesamt	0,530	1	U4-O-3	21,12	32,73	0,62
Stab gesamt	0,530	3	U4-O-3	21,12	32,73	0,62
Stab Nr. 9: Querschnitt Nr. 8-IS 200/200/2040, x = 0,80m						
Stab gesamt	0,800	1	U4-O-3	23,35	32,73	0,73
Stab gesamt	0,800	3	U4-O-3	23,35	32,73	0,73
Stab Nr. 9: Querschnitt Nr. 8-IS 200/200/2040, x = 0,00m						
Stab gesamt	0,000	1	U4-O-3	23,35	32,73	0,73
Stab gesamt	0,000	3	U4-O-3	23,35	32,73	0,73
Stab Nr. 9: Querschnitt Nr. 8-IS 200/200/2040, x = 0,70m						
Stab gesamt	0,700	1	U4-O-3	26,62	32,73	0,84
Stab gesamt	0,700	3	U4-O-3	26,62	32,73	0,84
Stab Nr. 9: Querschnitt Nr. 8-IS 200/200/2040, x = 0,00m						
Stab gesamt	0,000	1	U4-O-3	28,68	32,73	0,90
Stab gesamt	0,000	3	U4-O-3	28,68	32,73	0,90
Stab Nr. 9: Querschnitt Nr. 8-IS 200/200/2040, x = 0,27m						
Stab gesamt	0,270	1	U4-O-3	28,68	32,73	0,90
Stab gesamt	0,270	3	U4-O-3	28,68	32,73	0,90
Stab Nr. 9: Querschnitt Nr. 8-IS 200/200/2040, x = 0,53m						
Stab gesamt	0,530	1	U4-O-3	31,50	32,73	0,96
Stab gesamt	0,530	3	U4-O-3	31,50	32,73	0,96
Stab Nr. 9: Querschnitt Nr. 8-IS 200/200/2040, x = 0,80m						
Stab gesamt	0,800	1	U4-N	3,560	32,73	0,00
Stab gesamt	0,800	3	U4-N	3,560	32,73	0,00
Stab Nr. 9: Querschnitt Nr. 8-IS 200/200/2040, x = 0,00m						
Stab gesamt	0,000	1	U4-N	3,560	32,73	0,00
Stab gesamt	0,000	3	U4-N	3,560	32,73	0,00

MASSGEBENDE SCHNITTGRÖSSEN - [SIGMA-V]

Stab-Nr.	x-Stelle [m]	LF Nr.	Kräfte [kN]			Momente [kNm]		
			N	Q-Z	Q-3	M-T	M-2	M-3
2	0,800	1 k4	0,00	0,00	0,00	0,00	0,00	0,00

MASSGEBENDE SCHNITTGRÖSSEN - [SIGMA-V]

Sub- No.	x-State [m]	LF Nr.	N	Korfa [μV] Q-2	Q-3	M-T	Moments [μN] M-2	M-3
3	0.800	LK4		0.00	-24.51	0.00	-19.61	0.00
4	0.800	LK4		0.00	-24.51	0.00	-48.27	0.00
5	0.800	LK4		0.00	-24.51	0.00	-48.27	0.00
6	0.800	LK4		0.00	-24.51	0.00	-148.82	0.00
7	0.800	LK4		0.00	-100.58	0.00	-219.77	0.00
8	0.800	LK4		0.00	-100.58	0.00	-145.69	0.00
9	0.000	LK4		0.00	83.21	0.00	-145.69	0.00

STÜCKLISTE STABBEZOGEN

Proz. Nr.	Anzahl Stäbe	Querschnitt	Länge [m]	G-Länge [m]	E-Gewicht [kg/m]	Gewicht [kg]	G-Gewicht [t]
1	7	IS 200/202/240	0,800	5,500	144,440	115,55	0,81
2	18	IS 200/202/240	3,500	144,460	144,460	305,94	0,91
Summe	8			6,000			

MAX/MIN/ZUGEH-SCHNITTGRÖSSEN STABBEZOGEN

Stab-Nr.	LK-Nr.	x [m]	N	Kräfte [kN] Q _z	Q _z	T	Momente [kNm] M _z	M _z
3	LQ2	.22	min		.00	.00	.00	.00
			LF _z in Max LF _z UZ		.00	.00	.00	.00
			min		.00	.00	.00	.00
			LF _z in Max LF _z UZ		.00	.00	.00	.00
			min		.00	.00	.00	.00
			LF _z in Max LF _z UZ		.00	.00	.00	.00
	LQ3	.00	min	48.24	.00	.00	-33.21	.00
			LF _z in Max LF _z UZ	24	.00	.00	-33.21	.00
			min	48.24	.00	.00	-33.21	.00
			LF _z in Max LF _z UZ	24	.00	.00	-33.21	.00
			min	48.24	.00	.00	-33.21	.00
			LF _z in Max LF _z UZ	24	.00	.00	-33.21	.00
4	LQ4	.00	min	48.24	.00	.00	-33.21	.00
			LF _z in Max LF _z UZ	24	.00	.00	-33.21	.00
			min	48.24	.00	.00	-33.21	.00
			LF _z in Max LF _z UZ	24	.00	.00	-33.21	.00
			min	48.24	.00	.00	-33.21	.00
			LF _z in Max LF _z UZ	24	.00	.00	-33.21	.00
	LQ5	.22	min	67.15	.00	.00	-48.15	.00
			LF _z in Max LF _z UZ	67.15	.00	.00	-48.15	.00
			min	67.15	.00	.00	-48.15	.00
			LF _z in Max LF _z UZ	67.15	.00	.00	-48.15	.00
			min	67.15	.00	.00	-48.15	.00
			LF _z in Max LF _z UZ	67.15	.00	.00	-48.15	.00
4	LQ6	.00	min	48.00	.00	.00	-33.12	.00
			LF _z in Max LF _z UZ	48.00	.00	.00	-33.12	.00
			min	48.00	.00	.00	-33.12	.00
			LF _z in Max LF _z UZ	48.00	.00	.00	-33.12	.00
			min	48.00	.00	.00	-33.12	.00
			LF _z in Max LF _z UZ	48.00	.00	.00	-33.12	.00
	LQ7	.00	min	48.00	.00	.00	-33.12	.00
			LF _z in Max LF _z UZ	48.00	.00	.00	-33.12	.00
			min	48.00	.00	.00	-33.12	.00
			LF _z in Max LF _z UZ	48.00	.00	.00	-33.12	.00
			min	48.00	.00	.00	-33.12	.00
			LF _z in Max LF _z UZ	48.00	.00	.00	-33.12	.00

MAX/MIN/ZUGEH-SCHNITTGRÖSSEN STABBEZOGEN

Stab-Nr.	LK-Nr.	x [m]	N	Kräfte [kN] Q _z	Q _z	T	Momente [kNm] M _z	M _z
	LQ2	.13	min		.00	.00	.00	.00
			LF _z in Max LF _z UZ		.00	.00	.00	.00
			min		.00	.00	.00	.00
			LF _z in Max LF _z UZ		.00	.00	.00	.00
			min		.00	.00	.00	.00
			LF _z in Max LF _z UZ		.00	.00	.00	.00
	LQ3	.00	min		.00	.00	.00	.00
			LF _z in Max LF _z UZ		.00	.00	.00	.00
			min		.00	.00	.00	.00
			LF _z in Max LF _z UZ		.00	.00	.00	.00
			min		.00	.00	.00	.00
			LF _z in Max LF _z UZ		.00	.00	.00	.00
	LQ4	.13	min		.00	.00	.00	.00
			LF _z in Max LF _z UZ		.00	.00	.00	.00
			min		.00	.00	.00	.00
			LF _z in Max LF _z UZ		.00	.00	.00	.00
			min		.00	.00	.00	.00
			LF _z in Max LF _z UZ		.00	.00	.00	.00
	LQ5	.00	min		.00	.00	.00	.00
			LF _z in Max LF _z UZ		.00	.00	.00	.00
			min		.00	.00	.00	.00
			LF _z in Max LF _z UZ		.00	.00	.00	.00
			min		.00	.00	.00	.00
			LF _z in Max LF _z UZ		.00	.00	.00	.00
	LQ6	.13	min		.00	.00	.00	.00
			LF _z in Max LF _z UZ		.00	.00	.00	.00
			min		.00	.00	.00	.00
			LF _z in Max LF _z UZ		.00	.00	.00	.00
			min		.00	.00	.00	.00
			LF _z in Max LF _z UZ		.00	.00	.00	.00

MAX/MIN/ZUGEH-SCHNITTGRÖSSEN STABBEZOGEN

Stah- Nr.	Lk- Nr.	x [m]		N	Kräfte [kN]		T	Momente [kNm]	
					Q ₂	Q ₃		M ₂	M ₃
	L05	.00	LF ₂ in Marc LF ₃ in Marc LF ₄ in Marc LF ₅ in Marc LF ₆ in Marc LF ₇ in Marc	LF ₂ in Marc	0.0 .00	0.0 -46.00	0.0 0.0	0.0 -33.12	0.0 0.0
				LF ₃ in Marc	0.0 .00	0.0 -46.00	0.0 0.0	0.0 -33.12	0.0 0.0
				LF ₄ in Marc	0.0 .00	0.0 -46.00	0.0 0.0	0.0 -33.12	0.0 0.0
				LF ₅ in Marc	0.0 .00	0.0 -46.00	0.0 0.0	0.0 -33.12	0.0 0.0
				LF ₆ in Marc	0.0 .00	0.0 -46.00	0.0 0.0	0.0 -33.12	0.0 0.0
				LF ₇ in Marc	0.0 .00	0.0 -46.00	0.0 0.0	0.0 -33.12	0.0 0.0
	L06	.13	LF ₂ in Marc LF ₃ in Marc LF ₄ in Marc LF ₅ in Marc LF ₆ in Marc LF ₇ in Marc	LF ₂ in Marc	0.0 .00	0.0 -46.00	0.0 0.0	0.0 -33.67	0.0 0.0
				LF ₃ in Marc	0.0 .00	0.0 -46.00	0.0 0.0	0.0 -33.67	0.0 0.0
				LF ₄ in Marc	0.0 .00	0.0 -46.00	0.0 0.0	0.0 -33.67	0.0 0.0
				LF ₅ in Marc	0.0 .00	0.0 -46.00	0.0 0.0	0.0 -33.67	0.0 0.0
				LF ₆ in Marc	0.0 .00	0.0 -46.00	0.0 0.0	0.0 -33.67	0.0 0.0
				LF ₇ in Marc	0.0 .00	0.0 -46.00	0.0 0.0	0.0 -33.67	0.0 0.0
	L07	.00	LF ₂ in Marc LF ₃ in Marc LF ₄ in Marc LF ₅ in Marc LF ₆ in Marc LF ₇ in Marc	LF ₂ in Marc	0.0 .00	0.0 -4.76	0.0 0.0	0.0 -1.18	0.0 0.0
				LF ₃ in Marc	0.0 .00	0.0 -4.76	0.0 0.0	0.0 -1.18	0.0 0.0
				LF ₄ in Marc	0.0 .00	0.0 -4.76	0.0 0.0	0.0 -1.18	0.0 0.0
				LF ₅ in Marc	0.0 .00	0.0 -4.76	0.0 0.0	0.0 -1.18	0.0 0.0
				LF ₆ in Marc	0.0 .00	0.0 -4.76	0.0 0.0	0.0 -1.18	0.0 0.0
				LF ₇ in Marc	0.0 .00	0.0 -4.76	0.0 0.0	0.0 -1.18	0.0 0.0
	L08	1.38	LF ₂ in Marc LF ₃ in Marc LF ₄ in Marc LF ₅ in Marc LF ₆ in Marc LF ₇ in Marc	LF ₂ in Marc	0.0 .00	0.0 -4.50	0.0 0.0	0.0 0.0	0.0 0.0
				LF ₃ in Marc	0.0 .00	0.0 -4.50	0.0 0.0	0.0 0.0	0.0 0.0
				LF ₄ in Marc	0.0 .00	0.0 -4.50	0.0 0.0	0.0 0.0	0.0 0.0
				LF ₅ in Marc	0.0 .00	0.0 -4.50	0.0 0.0	0.0 0.0	0.0 0.0
				LF ₆ in Marc	0.0 .00	0.0 -4.50	0.0 0.0	0.0 0.0	0.0 0.0
				LF ₇ in Marc	0.0 .00	0.0 -4.50	0.0 0.0	0.0 0.0	0.0 0.0
	L09	.00	LF ₂ in Marc LF ₃ in Marc LF ₄ in Marc LF ₅ in Marc LF ₆ in Marc LF ₇ in Marc	LF ₂ in Marc	0.0 .00	0.0 1.69	0.0 0.0	0.0 -0.02	0.0 0.0
				LF ₃ in Marc	0.0 .00	0.0 1.69	0.0 0.0	0.0 -0.02	0.0 0.0
				LF ₄ in Marc	0.0 .00	0.0 1.69	0.0 0.0	0.0 -0.02	0.0 0.0
				LF ₅ in Marc	0.0 .00	0.0 1.69	0.0 0.0	0.0 -0.02	0.0 0.0
				LF ₆ in Marc	0.0 .00	0.0 1.69	0.0 0.0	0.0 -0.02	0.0 0.0
				LF ₇ in Marc	0.0 .00	0.0 1.69	0.0 0.0	0.0 -0.02	0.0 0.0
	L10	1.38	LF ₂ in Marc LF ₃ in Marc LF ₄ in Marc LF ₅ in Marc LF ₆ in Marc LF ₇ in Marc	LF ₂ in Marc	0.0 .00	0.0 0.0	0.0 0.0	0.0 0.0	0.0 0.0
				LF ₃ in Marc	0.0 .00	0.0 0.0	0.0 0.0	0.0 0.0	0.0 0.0
				LF ₄ in Marc	0.0 .00	0.0 0.0	0.0 0.0	0.0 0.0	0.0 0.0
				LF ₅ in Marc	0.0 .00	0.0 0.0	0.0 0.0	0.0 0.0	0.0 0.0
				LF ₆ in Marc	0.0 .00	0.0 0.0	0.0 0.0	0.0 0.0	0.0 0.0
				LF ₇ in Marc	0.0 .00	0.0 0.0	0.0 0.0	0.0 0.0	0.0 0.0
	L11	.00	LF ₂ in Marc LF ₃ in Marc LF ₄ in Marc LF ₅ in Marc LF ₆ in Marc LF ₇ in Marc	LF ₂ in Marc	0.0 .00	0.0 4.76	0.0 0.0	0.0 -1.18	0.0 0.0
				LF ₃ in Marc	0.0 .00	0.0 4.76	0.0 0.0	0.0 -1.18	0.0 0.0
				LF ₄ in Marc	0.0 .00	0.0 4.76	0.0 0.0	0.0 -1.18	0.0 0.0
				LF ₅ in Marc	0.0 .00	0.0 4.76	0.0 0.0	0.0 -1.18	0.0 0.0
				LF ₆ in Marc	0.0 .00	0.0 4.76	0.0 0.0	0.0 -1.18	0.0 0.0
				LF ₇ in Marc	0.0 .00	0.0 4.76	0.0 0.0	0.0 -1.18	0.0 0.0
	L12	1.38	LF ₂ in Marc LF ₃ in Marc LF ₄ in Marc LF ₅ in Marc LF ₆ in Marc LF ₇ in Marc	LF ₂ in Marc	0.0 .00	0.0 34.89	0.0 0.0	0.0 -39.07	0.0 0.0
				LF ₃ in Marc	0.0 .00	0.0 4.76	0.0 0.0	0.0 -1.18	0.0 0.0
				LF ₄ in Marc	0.0 .00	0.0 4.76	0.0 0.0	0.0 -1.18	0.0 0.0
				LF ₅ in Marc	0.0 .00	0.0 33.04	0.0 0.0	0.0 -39.07	0.0 0.0
				LF ₆ in Marc	0.0 .00	0.0 4.76	0.0 0.0	0.0 -1.18	0.0 0.0
				LF ₇ in Marc	0.0 .00	0.0 4.76	0.0 0.0	0.0 -1.18	0.0 0.0

MAX/MIN/ZUGEH-SCHNITTGRÖSSEN STABBEZOGEN

Sub- No.	LC- No.	X [m]	N	K ₁ [Pa]	O ₂	T	M ₂	M ₃
5	LQ4	1.38	max	.00	.00	22.76	.00	.00
			LC in Max	.00	.00	-4.19	.00	.00
			LC in Min	.00	.00		.00	.00
			max	.00	.00	-4.30	.00	.00
			LC in Max	.00	.00		.00	.00
			LC in Min	.00	.00		.00	.00
	LQ4	.00	max	.00	.00	47.83	.00	-38.81
			LC in Max	.00	.00	47.83	.00	-38.81
			LC in Min	.00	.00		.00	.00
			max	.00	.00	39.04	.00	-38.84
			LC in Max	.00	.00	47.83	.00	-38.81
			LC in Min	.00	.00		.00	.00
LQ3	1.38	max	.00	.00	47.83	.00	-38.81	
		LC in Max	.00	.00	47.83	.00	-38.84	
		LC in Min	.00	.00		.00	.00	
		max	.00	.00	34.68	.00	.00	
		LC in Max	.00	.00	34.68	.00	.00	
		LC in Min	.00	.00		.00	.00	
	LQ3	.00	max	.00	.00	34.74	.00	.00
			LC in Max	.00	.00	32.22	.00	.00
			LC in Min	.00	.00		.00	.00
			max	.00	.00	34.68	.00	.00
			LC in Max	.00	.00	34.68	.00	.00
			LC in Min	.00	.00		.00	.00
LQ3	.00	max	.00	.00	28.27	.00	-38.87	
		LC in Max	.00	.00	28.27	.00	-38.87	
		LC in Min	.00	.00		.00	.00	
		max	.00	.00	28.27	.00	-38.87	
		LC in Max	.00	.00	28.27	.00	-38.87	
		LC in Min	.00	.00		.00	.00	
	LQ3	1.38	max	.00	.00	28.27	.00	-38.87
			LC in Max	.00	.00	28.27	.00	-38.87
			LC in Min	.00	.00		.00	.00
			max	.00	.00	28.27	.00	.00
			LC in Max	.00	.00	28.27	.00	.00
			LC in Min	.00	.00		.00	.00
LQ3	.00	max	.00	.00	28.27	.00	.00	
		LC in Max	.00	.00	28.27	.00	.00	
		LC in Min	.00	.00		.00	.00	
		max	.00	.00	28.27	.00	.00	
		LC in Max	.00	.00	28.27	.00	.00	
		LC in Min	.00	.00		.00	.00	

MAX/MIN/ZUGEH-AUFLAGERKRÄFTE UND -MOMENTE

Knoten- Nr.	LC- Nr.		P _x	Aufzugskette [N] F _x	P _z	Auflageelemente [tMin] M _x M _y M _z
5	LQ1	Max. P-X	.00	.00	-5.92	.00
		Min. P-X	.00	.00	-5.92	.00
		$\frac{F_{P_0} \text{ in Max. P-X}}{F_{P_0} \text{ in Min. P-X}}$				
		Max. P-Z	.00	.00	-5.92	.00
	LQ2	Min. P-Z	.00	.00	-5.92	.00
		$\frac{F_{P_0} \text{ in Min. P-Z}}{F_{P_0} \text{ in Max. P-Z}}$				
		Max. P-X	.00	.00	.00	.00
		Min. P-X	.00	.00	.00	.00
	LQ3	$\frac{F_{P_0} \text{ in Max. P-Z}}{F_{P_0} \text{ in Min. P-Z}}$.00	.00	.00
		Max. P-Z	.00	.00	-1.99	.00
		Min. P-Z	.00	.00	-1.99	.00
		$\frac{F_{P_0} \text{ in Max. P-X}}{F_{P_0} \text{ in Min. P-X}}$.00	.00	.00
	LQ4	Max. P-Z	.00	.00	-5.92	.00
		Min. P-Z	.00	.00	-5.92	.00
		$\frac{F_{P_0} \text{ in Max. P-Z}}{F_{P_0} \text{ in Min. P-Z}}$.00	.00	.00
		Max. P-X	.00	.00	-115.98	.00

MAX. SPANNUNGEN IN X-STELLEN

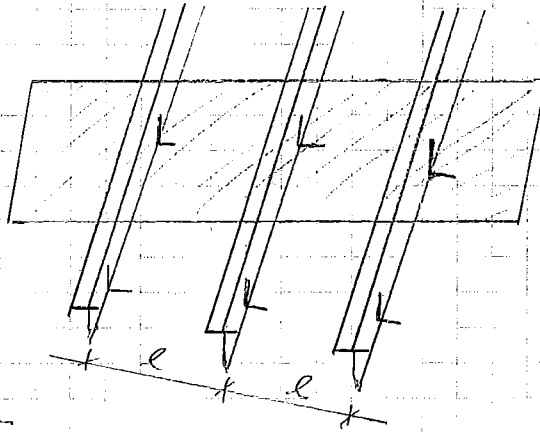
Spannungs- art	x-Stelle [m]	S-Punkt Nr.	LF Nr.	Spannung [N/mm ²] verb.	Spannung [N/mm ²] grenz	Aus- nutzung
Stab Nr. 2: Querschnitt Nr. 10 - HE-B 140, x = 0.14m	0.000	13	L04-N	13.37	32.73	0.41
Stab Nr. 2: Querschnitt Nr. 10 - HE-B 140, x = 0.14m	0.140	13	L04-N	4.45	32.73	0.14
Stab Nr. 2: Querschnitt Nr. 10 - HE-B 140, x = 0.14m	0.140	13	L04-N	-7.73	18.69	0.41
Stab Nr. 2: Querschnitt Nr. 10 - HE-B 140, x = 0.14m	0.140	13	L04-N	13.39	32.73	0.41
Stab Nr. 2: Querschnitt Nr. 10 - HE-B 140, x = 0.14m	0.290	13	L04-N	6.91	32.73	0.27
Stab Nr. 2: Querschnitt Nr. 10 - HE-B 140, x = 0.14m	0.290	13	L04-N	-7.74	18.69	0.41
Stab Nr. 2: Querschnitt Nr. 10 - HE-B 140, x = 0.14m	0.290	13	L04-N	13.89	32.73	0.42
Stab Nr. 2: Querschnitt Nr. 10 - HE-B 140, x = 0.14m	0.430	13	L04-N	3.74	32.73	0.41
Stab Nr. 2: Querschnitt Nr. 10 - HE-B 140, x = 0.14m	0.430	13	L04-N	-7.73	18.69	0.41
Stab Nr. 2: Querschnitt Nr. 10 - HE-B 140, x = 0.14m	0.430	13	L04-N	15.37	32.73	0.47
Stab Nr. 2: Querschnitt Nr. 10 - HE-B 140, x = 0.14m	0.580	13	L04-N	17.85	32.73	0.56
Stab Nr. 2: Querschnitt Nr. 10 - HE-B 140, x = 0.14m	0.580	13	L04-N	-7.75	18.69	0.41
Stab Nr. 2: Querschnitt Nr. 10 - HE-B 140, x = 0.14m	0.580	13	L04-N	18.19	32.73	0.58
Stab Nr. 2: Querschnitt Nr. 10 - HE-B 140, x = 0.14m	0.720	13	L04-N	22.32	32.73	0.68
Stab Nr. 2: Querschnitt Nr. 10 - HE-B 140, x = 0.14m	0.720	13	L04-N	-7.75	18.69	0.41
Stab Nr. 2: Querschnitt Nr. 10 - HE-B 140, x = 0.14m	0.720	13	L04-N	22.59	32.73	0.69
Stab Nr. 2: Querschnitt Nr. 10 - HE-B 140, x = 0.14m	0.860	13	L04-N	23.88	32.73	0.73
Stab Nr. 2: Querschnitt Nr. 10 - HE-B 140, x = 0.14m	0.860	13	L04-N	0.00	18.69	0.00
Stab Nr. 2: Querschnitt Nr. 10 - HE-B 140, x = 0.14m	0.860	13	L04-N	22.88	32.73	0.73
Stab Nr. 2: Querschnitt Nr. 10 - HE-B 140, x = 0.14m	0.110	13	L04-N	23.88	32.73	0.73
Stab Nr. 2: Querschnitt Nr. 10 - HE-B 140, x = 0.14m	0.110	13	L04-N	0.00	18.69	0.00
Stab Nr. 2: Querschnitt Nr. 10 - HE-B 140, x = 0.14m	0.110	13	L04-N	23.88	32.73	0.73
Stab Nr. 2: Querschnitt Nr. 10 - HE-B 140, x = 0.14m	0.220	13	L04-N	23.88	32.73	0.73
Stab Nr. 2: Querschnitt Nr. 10 - HE-B 140, x = 0.14m	0.220	13	L04-N	0.00	18.69	0.00
Stab Nr. 2: Querschnitt Nr. 10 - HE-B 140, x = 0.14m	0.220	13	L04-N	23.88	32.73	0.73
Stab Nr. 2: Querschnitt Nr. 10 - HE-B 140, x = 0.14m	0.000	13	L04-N	23.88	32.73	0.69
Stab Nr. 2: Querschnitt Nr. 10 - HE-B 140, x = 0.14m	0.000	13	L04-N	-7.77	18.69	0.41
Stab Nr. 2: Querschnitt Nr. 10 - HE-B 140, x = 0.14m	0.000	13	L04-N	22.59	32.73	0.69
Stab Nr. 2: Querschnitt Nr. 10 - HE-B 140, x = 0.14m	0.130	13	L04-N	26.28	32.73	0.89
Stab Nr. 2: Querschnitt Nr. 10 - HE-B 140, x = 0.14m	0.130	13	L04-N	-7.96	18.69	0.42
Stab Nr. 2: Querschnitt Nr. 10 - HE-B 140, x = 0.14m	0.130	13	L04-N	26.49	32.73	0.81
Stab Nr. 2: Querschnitt Nr. 10 - HE-B 140, x = 0.14m	0.000	13	L04-N	26.28	32.73	0.89
Stab Nr. 2: Querschnitt Nr. 10 - HE-B 140, x = 0.14m	0.000	13	L04-N	5.80	18.69	0.31
Stab Nr. 2: Querschnitt Nr. 10 - HE-B 140, x = 0.14m	0.000	13	L04-N	26.38	32.73	0.81
Stab Nr. 2: Querschnitt Nr. 10 - HE-B 140, x = 0.14m	0.140	13	L04-N	23.26	32.73	0.71
Stab Nr. 2: Querschnitt Nr. 10 - HE-B 140, x = 0.14m	0.140	13	L04-N	5.60	18.69	0.30
Stab Nr. 2: Querschnitt Nr. 10 - HE-B 140, x = 0.14m	0.140	13	L04-N	23.38	32.73	0.71
Stab Nr. 2: Querschnitt Nr. 10 - HE-B 140, x = 0.14m	0.280	13	L04-N	20.35	32.73	0.62
Stab Nr. 2: Querschnitt Nr. 10 - HE-B 140, x = 0.14m	0.280	13	L04-N	5.39	18.69	0.26
Stab Nr. 2: Querschnitt Nr. 10 - HE-B 140, x = 0.14m	0.280	13	L04-N	20.46	32.73	0.63
Stab Nr. 2: Querschnitt Nr. 10 - HE-B 140, x = 0.14m	0.410	13	L04-N	17.51	32.73	0.53
Stab Nr. 2: Querschnitt Nr. 10 - HE-B 140, x = 0.14m	0.410	13	L04-N	5.18	18.69	0.27
Stab Nr. 2: Querschnitt Nr. 10 - HE-B 140, x = 0.14m	0.410	13	L04-N	17.65	32.73	0.54
Stab Nr. 2: Querschnitt Nr. 10 - HE-B 140, x = 0.14m	0.550	13	L04-N	14.78	32.73	0.45
Stab Nr. 2: Querschnitt Nr. 10 - HE-B 140, x = 0.14m	0.550	13	L04-N	4.67	18.69	0.26
Stab Nr. 2: Querschnitt Nr. 10 - HE-B 140, x = 0.14m	0.550	13	L04-N	14.92	32.73	0.46
Stab Nr. 2: Querschnitt Nr. 10 - HE-B 140, x = 0.14m	0.690	13	L04-N	12.10	32.73	0.37
Stab Nr. 2: Querschnitt Nr. 10 - HE-B 140, x = 0.14m	0.690	13	L04-N	4.77	18.69	0.25
Stab Nr. 2: Querschnitt Nr. 10 - HE-B 140, x = 0.14m	0.690	13	L04-N	12.26	32.73	0.38
Stab Nr. 2: Querschnitt Nr. 10 - HE-B 140, x = 0.14m	0.830	13	L04-N	9.51	32.73	0.29
Stab Nr. 2: Querschnitt Nr. 10 - HE-B 140, x = 0.14m	0.830	13	L04-N	4.62	18.69	0.24
Stab Nr. 2: Querschnitt Nr. 10 - HE-B 140, x = 0.14m	0.830	13	L04-N	9.78	32.73	0.30
Stab Nr. 2: Querschnitt Nr. 10 - HE-B 140, x = 0.14m	0.970	13	L04-N	7.01	32.73	0.24
Stab Nr. 2: Querschnitt Nr. 10 - HE-B 140, x = 0.14m	0.970	13	L04-N	4.47	18.69	0.24
Stab Nr. 2: Querschnitt Nr. 10 - HE-B 140, x = 0.14m	0.970	13	L04-N	8.61	32.73	0.26
Stab Nr. 2: Querschnitt Nr. 10 - HE-B 140, x = 0.14m	1.100	13	L04-N	4.50	18.69	0.21
Stab Nr. 2: Querschnitt Nr. 10 - HE-B 140, x = 0.14m	1.100	13	L04-N	4.32	18.69	0.21
Stab Nr. 2: Querschnitt Nr. 10 - HE-B 140, x = 0.14m	1.100	13	L04-N	7.65	32.73	0.23
Stab Nr. 2: Querschnitt Nr. 10 - HE-B 140, x = 0.14m	1.240	13	L04-N	2.25	32.73	0.07
Stab Nr. 2: Querschnitt Nr. 10 - HE-B 140, x = 0.14m	1.240	13	L04-N	4.17	18.69	0.22
Stab Nr. 2: Querschnitt Nr. 10 - HE-B 140, x = 0.14m	1.240	13	L04-N	7.22	32.73	0.22
Stab Nr. 2: Querschnitt Nr. 10 - HE-B 140, x = 0.14m	1.380	13	L04-N	0.00	32.73	0.00
Stab Nr. 2: Querschnitt Nr. 10 - HE-B 140, x = 0.14m	1.380	13	L04-N	4.02	18.69	0.21
Stab Nr. 2: Querschnitt Nr. 10 - HE-B 140, x = 0.14m	1.380	13	L04-N	6.96	32.73	0.21

MASSGEBENDE SCHNITTGRÖSSEN - (SIGMA-V)

Stab- Nr.	x-Stelle [m]	LF Nr.	N	Kräfte [kN]	Q-3	M-T	Momente [kNm]	M-2	M-3
2	0.720	L04	0.00	67.15	0.00	47.04	-44.15	0.00	0.00
3	0.220	L04	0.00	0.00	0.00	0.00	-56.84	0.00	0.00
4	0.130	L04	0.00	0.00	0.00	-83.77	-56.84	0.00	0.00
5	0.000	L04	0.00	0.00	0.00	59.14	-56.84	0.00	0.00

STÜCKLISTE STABBEZOGEN

Pos- Nr.	Anzahl Stäbe	Querschnitt	Länge [m]	G-Länge [m]	E-Gewicht [kg/m]	Gewicht [kg]	G-Gewicht [N]
1	1	10 - HE-B 140	0.220	0.220	33.755	33.755	330.00
2	2	10 - HE-B 140	0.125	0.125	33.755	7.44	72.00
3	1	10 - HE-B 140	1.375	1.375	33.755	46.41	450.00
Summe	4			2.740			

BEFESTIGUNG ECKENIT PLATTEN:

$$e = 0,5m \checkmark$$

$$d = 8mm$$

$$M = \frac{q \cdot l^2}{8} = \frac{3,2 \cdot 0,5^2}{8} = 10,4 Nm$$

$$\sigma = \frac{M}{W} = \frac{10}{10,9} = 1 \leq 0,6 N/mm^2 \checkmark$$

$$W = \frac{0,8^2 \cdot 100}{6} = 10,7$$

$$\underline{d = 12mm}$$

$$M = \frac{q \cdot l^2}{8} = \frac{3,2 \cdot 0,5^2}{8} = 10,4 Nm$$

$$\sigma = \frac{M}{W} = \frac{10}{24} = 0,41 \leq 0,6 N/mm^2 \checkmark$$

$$W = \frac{1,2^2 \cdot 100}{6} = 24$$

$$\underline{e = 55cm}$$

$$\Rightarrow M = 12,14 Nm \quad W = 24$$

$$\sigma = \frac{12,1}{24} = 0,50 \leq 0,6 N/mm^2 \checkmark$$

Deckschlag T-Profil:

$$M = \frac{q \cdot l^2}{8} = \frac{1,76 \cdot 0,55^2}{8} = 0,0664 \text{ Nm}$$

$$q = 3,24 \text{ Nm}^{-2} \times 0,55 \text{ m} = 1,764 \text{ Nm/m}$$

$$\sigma = \frac{M}{W} = \frac{6,6}{3,36} = 1,96 < 16,5 \checkmark$$

523550

$$e = 1,0 \text{ m} \Rightarrow \sigma = 6,55 < 16,5 \checkmark$$

$$e = 1,2 \text{ m} \Rightarrow \sigma = 9,43 < 16,5 \checkmark$$

$$e = 2,0 \text{ m} \Rightarrow \sigma = 26,19 > 16,5 \checkmark$$

$$e = 1,5 \text{ m} \Rightarrow \sigma = 14,73 < 16,5 \checkmark$$

T

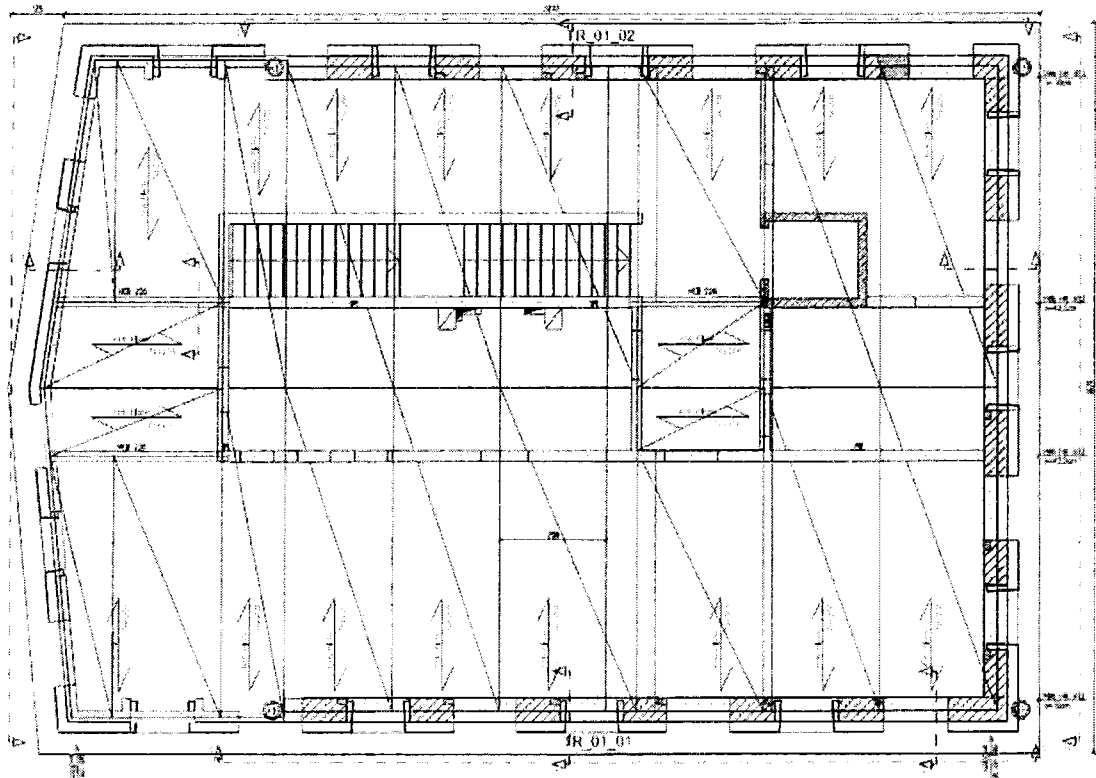
$$T50 \Rightarrow W_y = 3,36$$

\Rightarrow gen.: p10 Profile + T-PROFIL 2514

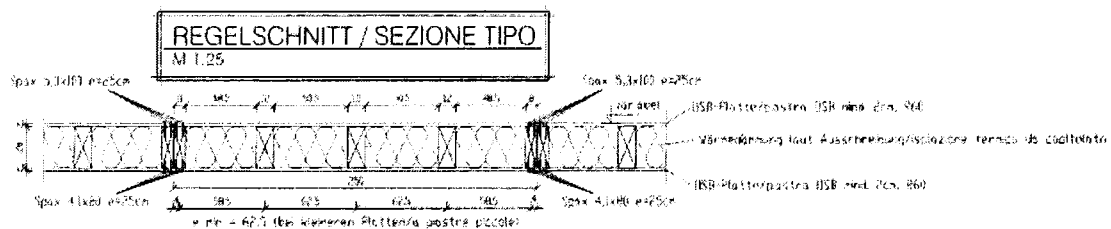
$$e = 1,0 \text{ m}$$

H DACH/TETTO

Das Dach besteht aus einem Einseitigen
Plattensystem, welches aus 117 mm
OSB-Platten, die parallel zum Dachstuhl



werden mit einem Abstand von 117 mm
geplant (nach DIN 1053-1)



Es wird ein Spax 117 mm Abstand
geplant (nach DIN 1053-1)

BERECHNUNG DER ANFLÄGER
UND TRÄGER SIEHE KAPITEL
6-Träger:

BERECHNUNG UND ANGABE
DER ANGENOMMENEN LASTEN
FÜR DIE BERECHNUNG DER
TRÄGER UND KHK-PLATTEN:

$$g = 3 \text{ kN/m}^2$$

$$p = q_{\text{schnee}} + q_{\text{windlasten}}$$

$$= 3,2 \text{ kN/m}^2 + 0,5 \text{ kN/m}^2 = 4 \text{ kN/m}^2$$

$$\Rightarrow g_{\text{tot}}: 246 \text{ kN}$$

Siehe Tabelle Seite 11-1

DACH WINDFANG:

$$g = 1$$

$$p = 1$$

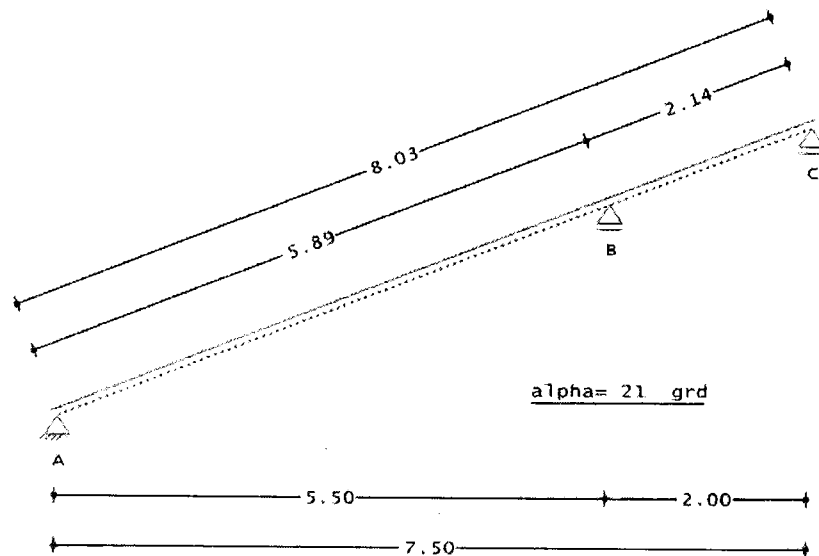
$$L = 5,0 \text{ m} \quad \Rightarrow \quad g_{\text{tot}}: 173 \text{ kN}$$

BAUCON

Pos. TR 01 01Allgemeiner SparrenSystem2-Feld Sparren
Dachneigungswinkel $\alpha = 21.00 \text{ grad}$ AbmessungenFeld 1
Feld 2

1	1	=	5.50	m
1	2	=	2.00	m

M 1:70

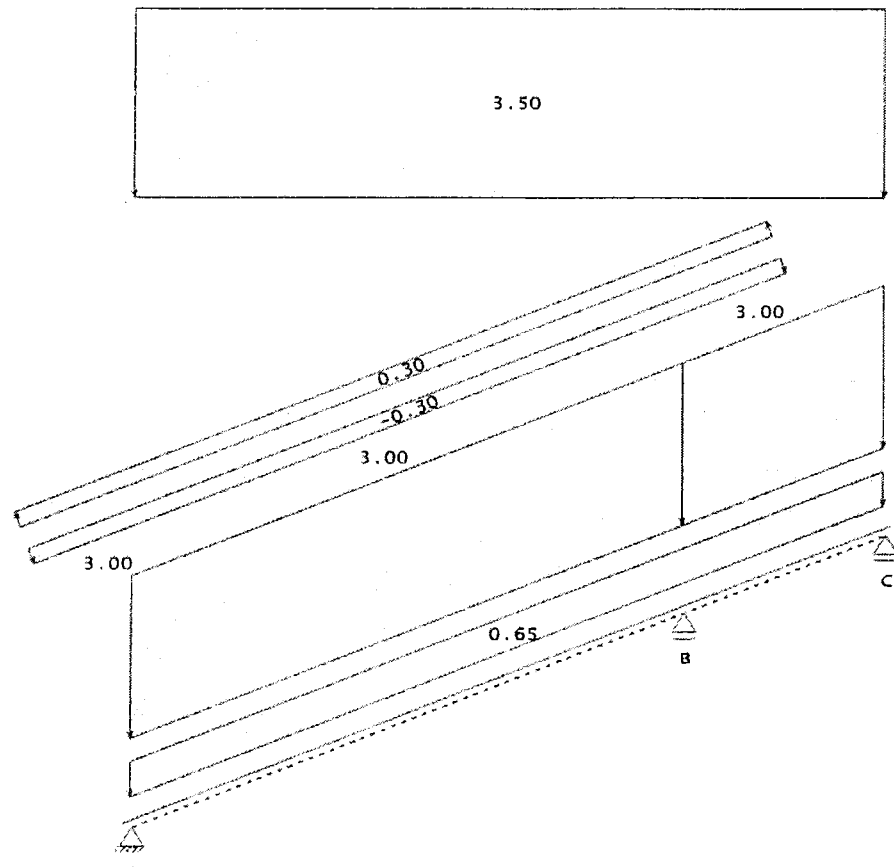
Belastung
Gleichlasten

Eindeckung und Konstruktion (DF)	$g_0 = 0.65 \text{ kN/m}^2$
Ausbaulast Feld 1 (DF)	$g_1 = 3.00 \text{ kN/m}^2$
Ausbaulast Feld 2 (DF)	$g_2 = 3.00 \text{ kN/m}^2$
Schneelast (GF)	$s_0 = 3.50 \text{ kN/m}^2$
	$s = 3.50 \text{ kN/m}^2$

Windlast nach DIN 1055 T4 (08.86)

Windstaudruck	$q_0 = 0.50 \text{ kN/m}^2$
Winddruck $(-0.60 \cdot 0.50)$	$w_d = -0.30 \text{ kN/m}^2$
Windsog $(-0.60 \cdot 0.50)$	$w_s = -0.30 \text{ kN/m}^2$
Sogspitzen für Teilbereiche des Daches	
Eckbereich $(-3.20 \cdot 0.50)$	$w_{SE} = -1.60 \text{ kN/m}^2$
Randbereich $(-1.80 \cdot 0.50)$	$w_{SR} = -0.90 \text{ kN/m}^2$

Gleichlasten
M 1:70



Schnittgrößen Überlagerungs-Lastfälle nach DIN 1055 T5 (06.75)
für $\alpha \leq 45$ grd Kombination 1 = $g + p + s/2 + wd$ (Lf H)
Kombination 2 = $g + p + s + wd/2$ (Lf H)

Stützkräfte [kN/m]

Aufl	Vg	Hg	Kombination 1		Kombination 2	
			max V	max H	max V	max H
A	8.69	0.00	12.57	-0.00	16.46	-0.00
B	22.41	0.00	32.44	0.00	42.47	0.00
C	-1.77	-0.00	-2.56	-0.00	-3.36	-0.00

inf. erhöht. sog

Aufl	Randbereich		Eckbereich	
	min V	min H	min V	min H
A	4.53	-1.30	3.52	-3.09
B	12.46	0.00	8.43	0.00
C	-0.82	-0.00	-0.47	-0.00

Momente [kNm/m]
Normalkräfte [kN/m]

Ort	Kombination 1		Kombination 2	
	max M	zugeh N	max M	zugeh N
Feld 1	13.97	-0.04	18.28	-0.06
Auflager B	-16.45	6.65	-21.53	8.71
Feld 2	-0.00	-0.92	-0.00	-1.20

Bemessung

Vollholz NH Sortierklasse S10/MS10

zul sig Z parall Lf H	=	7.00	MN/m ²
zul sig B Lf H	=	10.00	MN/m ²
zul sig B über Innenst. B	=	11.00	MN/m ²
Elastizitätsmodul	E =	10000	MN/m ²
Schwächung über Auflager	c =	2.50	cm

maßgebendes Moment	My =	-21.53	kNm/m
maßgebende Normalkraft	N =	8.71	kN/m

gewählt

Sparrenabstand	e =	0.625	m
Querschnitt	b / d =	12 / 28	cm
=====			

A =	336	cm ²	wy =	1568	cm ³	Iy =	21952	cm ⁴
An =	306	cm ²	wyn =	1301	cm ³			

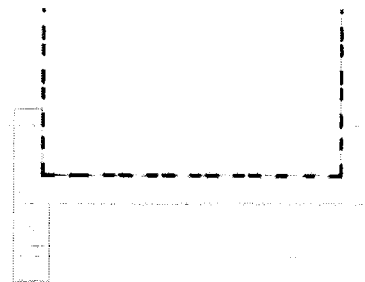
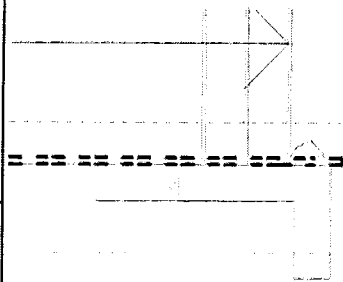
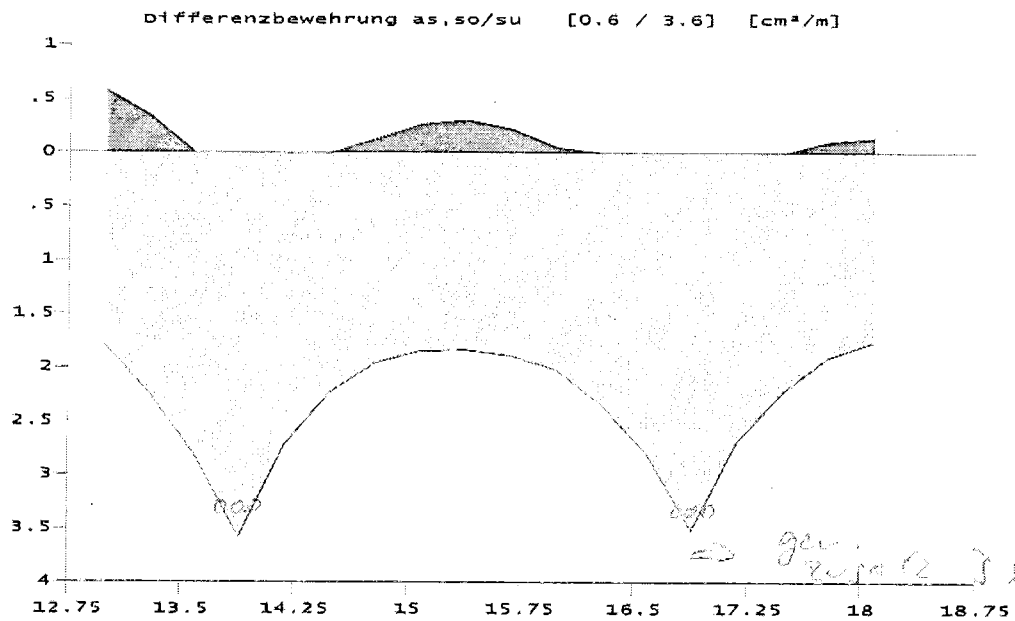
Nachweise

Anteil aus	N	My	Summe
Zug+Biegung	0.025	+ 0.941	= 0.97 <= 1

Verformungen

Ort	zul f [cm]	vorh f [cm]	erf Iy [cm ⁴]
Feld 1	l' / 300 = 1.96	1.58	17625
Feld 2	l' / 300 = 0.71	-0.13 *	4060

* negative Durchbiegung wird nicht berücksichtigt



s-Richtung unten in [cm²/m]

MAX = 26.1 (Kn. 2819), MIN = 0 (Kn. 221), STEP = 1

C25/30, S450, Betondicke = 20.0 cm

Überdeckung [cm]: $h'_{\text{r}} = 4.0$, $h'_{\text{s}} = 4.0$

Grundbewehrung: $a_{\text{sgru}} = 3.4$, $a_{\text{sgsu}} = 3.4$ 0.0/90.0 Grad

Stahlmasse = 1019.2 kg (ohne Grundbewehrung 149.6 kg)

Flächenbemessung

Erf. Bewehrung a_{s} aus Tragfähigkeitsnachweis

MicroFe 2008.140

BauCon - Dr. Ing. Simon Neulichedl - www.baucon.it

Decke über EG

Projekt S0962 KG Rodeneck Datum
FE-Modell F_DE_00_1B Seite

H - 5

DURCHSTANZNACHWEIS mit ConDim™ V 5.04

Bauteil: Stützlast Dach
Position: Decke über EG
Norm: ÖN B4700
Beton: C25/30
Bewehrung: BSt 420
Durchstanzlast: $V_{Sd} = 28.00 \text{ kN}$

Platte:

Plattenstärke: $h = 20.00 \text{ cm}$
Randabstand der Plattenzugbewehrung: $h_1 = 5.00 \text{ cm}$
Größte anschließende Plattenstützweite: $L = 600.00 \text{ cm}$
Zugbewehrung längs und quer: $a_{sx} = 3.00 \text{ cm}^2/\text{m}$
 $a_{sy} = 3.00 \text{ cm}^2/\text{m}$
Wirkungsrichtung der Durchstanzbewehrung: $\alpha = 90.00^\circ$

Stütze:

Rechteckquerschnitt (Innenstütze): $b = 35.00 \text{ cm}$
 $h = 25.00 \text{ cm}$

Ergebnis:

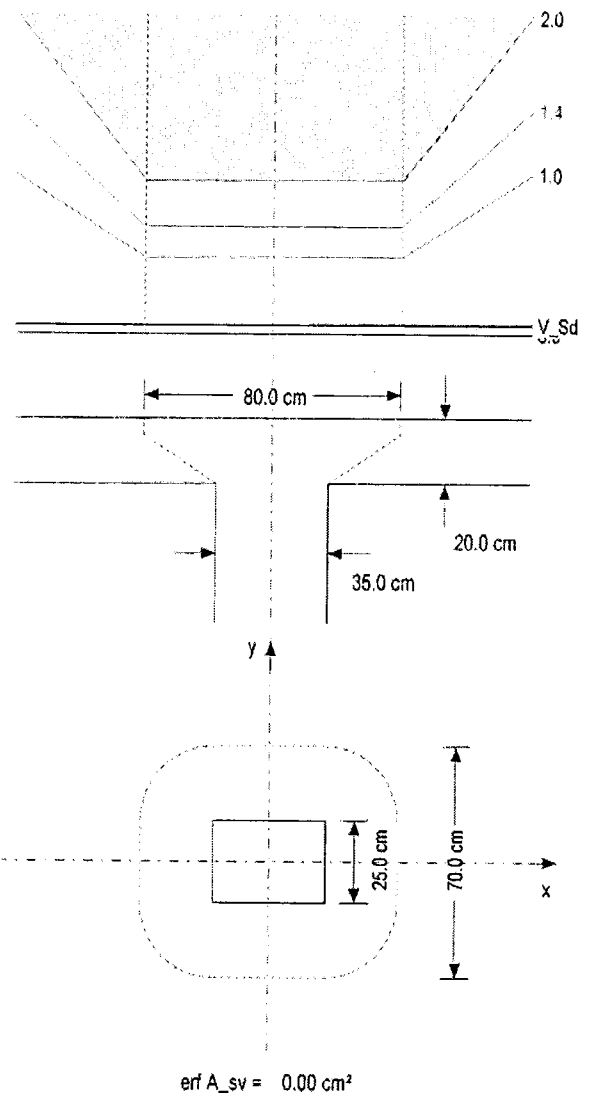
Rechenwert der Betonschubspannung: $\tau_{rd} = 0.26 \text{ MN/m}^2$
Mittlere Betonzugfestigkeit: $f_{ctm} = 2.60 \text{ MN/m}^2$
Bemessungswert Streckgrenze Bewehrung: $f_{yd} = 365.22 \text{ MN/m}^2$
Erhöhungsfaktor für unsym. Lastverteilung: $\text{kap}_e = 1.000$
Bewehrungsgrad der Zugbewehrungen: $\rho = 0.200 \%$
Nutzhöhenbeiwert: $\text{kap}_c = 1.450$
Mittlere Nutzhöhe: $d = 15.00 \text{ cm}$

Mindest-Durchstanzbewehrung: $\min A_{sv} = 0.00 \text{ cm}^2$
Erforderliche Durchstanzbewehrung: $\text{erf } A_{sv} = 0.00 \text{ cm}^2$
Erforderliche Länge Durchstanzbewehrung: $l_s = 0.00 \text{ cm}$
Umfang im äußeren Rundschnitt: $u_a = 0.00 \text{ cm}$
Umfang des kritischen Rundschnittes: $u = 261.37 \text{ cm}$
Vorhandene Plattenschlankheit: $\text{vorh } l/d = 40.00$
Rechnerische Plattenschlankheit (≥ 20): $\text{calc } l/d = 40.00$
Durchstanzwiderstand ohne Bewehrung: $V_{Rdc} = 230.58 \text{ kN}$

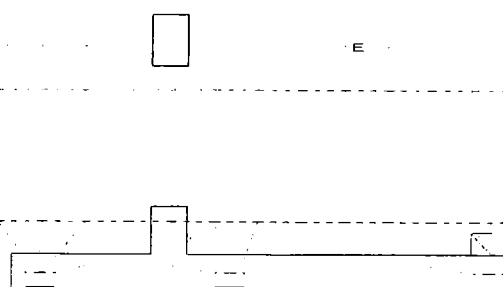
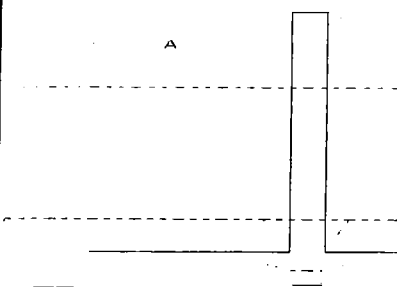
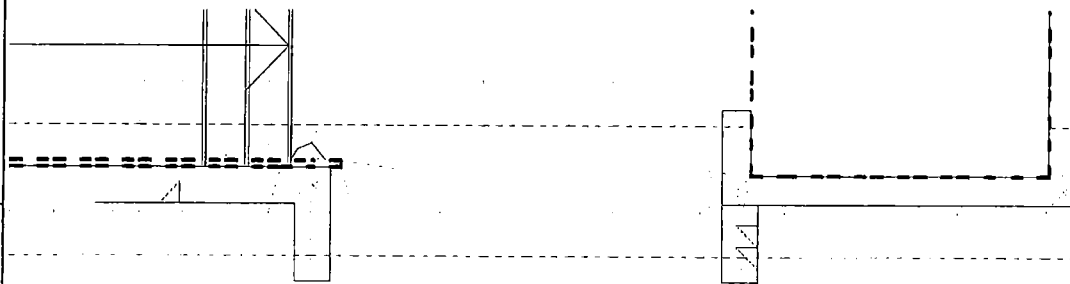
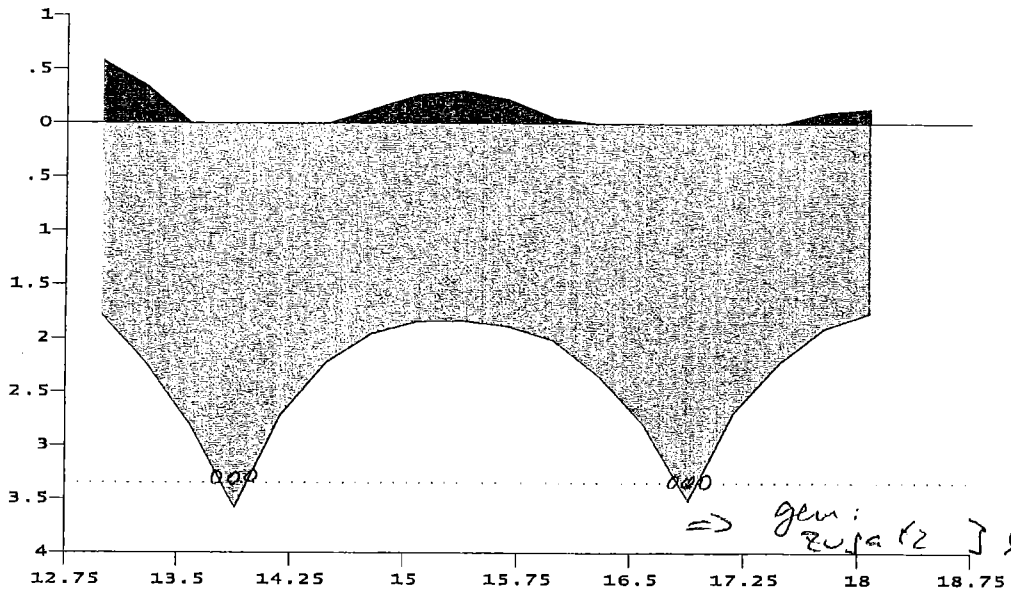
Nachweis:

$$V_{Sd} = 0.121 \times V_{Rdc} < 1.0 \times V_{Rdc} \quad \checkmark$$

Keine Durchstanzbewehrung erforderlich !



Differenzbewehrung as,so/su [0.6 / 3.6] [cm²/m]



s-Richtung unten in [cm²/m]

MAX = 26.1 (Kn. 2819), MIN = 0 (Kn. 221), STEP = 1

C25/30, S450, Betondicke = 20.0 cm

Überdeckung [cm]: h'r = 4.0, h's = 4.0

Grundbewehrung: asgru = 3.4, asgsu = 3.4 0.0/90.0 Grad

Stahlmasse = 1019.2 kg (ohne Grundbewehrung 149.6 kg)

Flächenbemessung

Erf. Bewehrung as aus Tragfähigkeitsnachweis

MicroFe 2008.140

BauCon - Dr. Ing. Simon Neulichedl - www.baucon.it

Decke über EG

Projekt S0962 KG Rodeneck Datum

FE-Modell F_DE_00_1B

Seite

H - 5

DURCHSTANZNACHWEIS mit ConDim™ V 5.04

Bauteil: Stützlast Dach
Position: Decke über EG
Norm: ÖN B4700
Beton: C25/30
Bewehrung: BSt 420
Durchstanzlast: $V_{Sd} = 28.00 \text{ kN}$

Platte:

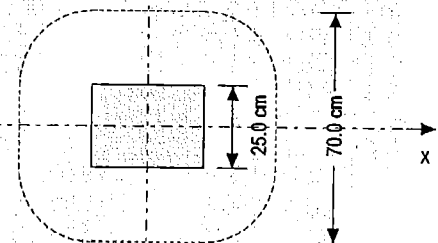
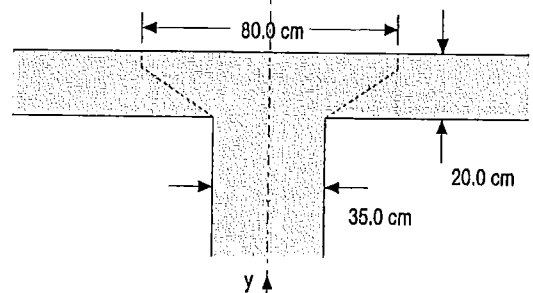
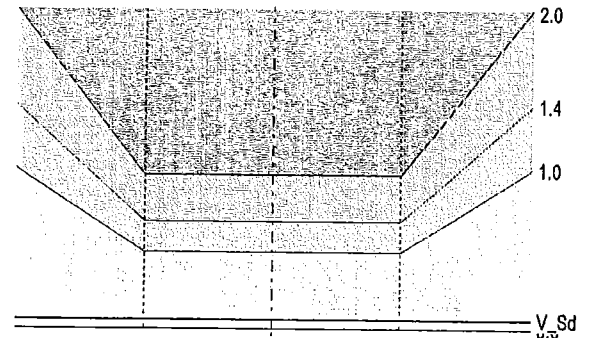
Plattenstärke: $h = 20.00 \text{ cm}$
Randabstand der Plattenzugbewehrung: $h_1 = 5.00 \text{ cm}$
Größte anschließende Plattenstützweite: $L = 600.00 \text{ cm}$
Zugbewehrung längs und quer: $a_{sx} = 3.00 \text{ cm}^2/\text{m}$
 $a_{sy} = 3.00 \text{ cm}^2/\text{m}$
Wirkungsrichtung der Durchstanzbewehrung: $\alpha = 90.00^\circ$

Stütze:

Rechteckquerschnitt (Innenstütze):
 $b = 35.00 \text{ cm}$
 $h = 25.00 \text{ cm}$

Ergebnis:

Rechenwert der Betonschubspannung: $\tau_{u,d} = 0.26 \text{ MN/m}^2$
Mittlere Betonzugfestigkeit: $f_{ctm} = 2.60 \text{ MN/m}^2$
Bemessungswert Streckgrenze Bewehrung: $f_{yd} = 365.22 \text{ MN/m}^2$
Erhöhungsfaktor für unsym. Lastverteilung: $\text{kap}_e = 1.000$
Bewehrungsgrad der Zugbewehrungen: $\rho = 0.200 \%$
Nutzhöhenbeiwert: $\text{kap}_c = 1.450$
Mittlere Nutzhöhe: $d = 15.00 \text{ cm}$
Mindest-Durchstanzbewehrung: $\min A_{sv} = 0.00 \text{ cm}^2$
Erforderliche Durchstanzbewehrung: $\text{erf } A_{sv} = 0.00 \text{ cm}^2$
Erforderliche Länge Durchstanzbewehrung: $l_s = 0.00 \text{ cm}$
Umfang im äußeren Rundschnitt: $u_a = 0.00 \text{ cm}$
Umfang des kritischen Rundschnittes: $u = 261.37 \text{ cm}$
Vorhandene Plattenschlankheit: $\text{vorh } l/d = 40.00$
Rechnerische Plattenschlankheit (≥ 20): $\text{calc } l/d = 40.00$
Durchstanzwiderstand ohne Bewehrung: $V_{Rdc} = 230.58 \text{ kN}$



$\text{erf } A_{sv} = 0.00 \text{ cm}^2$

Nachweis:

$$V_{Sd} = 0.121 \times V_{Rdc} < 1.0 \times V_{Rdc} \quad \checkmark$$

Keine Durchstanzbewehrung erforderlich!

I PARETI/WÄNDE

Il seguente calcolo illustra pareti che non sono validi come pareti standard. Pareti standard sono armati costruttivamente secondo EC – 2 con lunghezze minime e staffature.

Die nachfolgende Berechnung berücksichtigt Wände, die nicht als Standardwände gelten. Standardwände sind nur konstruktiv gemäß EC - 2 bewehrte Wände mit Mindestlängsbewehrung und Mindestquerbewehrung sowie ohne Verbügelung.

BERECHNUNG WANDSCHEIBEANSICHT A-A:

LASTANNAHMEN:

$$\text{DACH: } g = 3 \text{ kN/m}^2$$

$$p = 4 \text{ kN/m}^2$$

$$\text{Einflussbreite} = 2,96 \text{ m}$$

$$\Rightarrow q = (3+4) \times 2,96 = 20,72 \text{ kN/m}$$

$$\text{DECKE: } g_0 = 0,7 \times 25 \text{ kN/m}^2 = 17,5 \text{ kN/m}^2$$

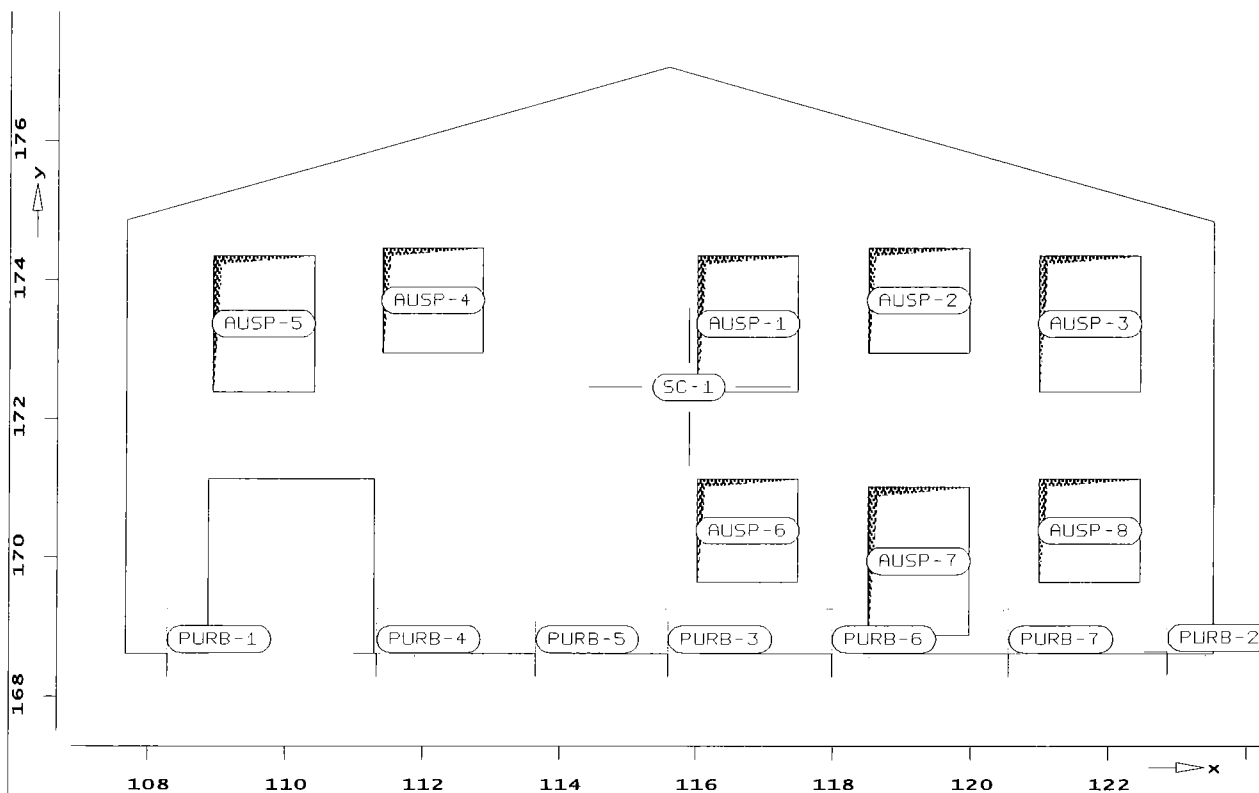
$$g_1 = 3 \text{ kN/m}^2$$

$$p = 3 \text{ kN/m}^2$$

$$\text{Einflussbreite} = 2,96 \text{ m}$$

$$\Rightarrow q = 17,5 \times 2,96 = 51,8 \text{ kN/m}$$

Positionsplan



Pos. SC-1 - Scheibenbereich

<u>System</u>	x =	107.68	115.60	123.52	123.52	111.30 m
	y =	174.85	177.07	174.84	168.62	168.62 m
	x =	111.30	108.88	108.88	107.68 m	
	y =	171.13	171.13	168.62	168.62 m	

Material

Scheibe	
Dicke	= 20.00 cm
Wichte	= 25.00 kN/m ³
E-Modul	= 2.67e+007 kN/m ²
Mue	= 0.20

Pos. PURB-1 - Punktlager

<u>System</u>	x = 108.28 m y = 168.62 m
---------------	---------------------------

<u>Lagerung</u>	Druck-/Zugfeder Transl. in r-Richtung = 3.00e+007 kN/m
	Druck-/Zugfeder Transl. in s-Richtung = 3.00e+007 kN/m

Pos. PURB-2 - Punktlager

<u>System</u>	x = 122.86 m y = 168.65 m
---------------	---------------------------

<u>Lagerung</u>	Druck-/Zugfeder Transl. in r-Richtung = 3.00e+007 kN/m
	Druck-/Zugfeder Transl. in s-Richtung = 3.00e+007 kN/m

Pos. PURB-3 - Punktlager

System x = 115.60 m y = 168.62 m

Lagerung Druck-/Zugfeder Transl. in r-Richtung = 3.00e+007 kN/m
 Druck-/Zugfeder Transl. in s-Richtung = 3.00e+007 kN/m

Pos. PURB-4 - Punktlager

System x = 111.34 m y = 168.62 m

Lagerung Druck-/Zugfeder Transl. in r-Richtung = 3.00e+007 kN/m
 Druck-/Zugfeder Transl. in s-Richtung = 3.00e+007 kN/m

Pos. PURB-5 - Punktlager

System x = 113.66 m y = 168.62 m

Lagerung Druck-/Zugfeder Transl. in r-Richtung = 3.00e+007 kN/m
 Druck-/Zugfeder Transl. in s-Richtung = 3.00e+007 kN/m

Pos. PURB-6 - Punktlager

System x = 117.99 m y = 168.62 m

Lagerung Druck-/Zugfeder Transl. in r-Richtung = 3.00e+007 kN/m
 Druck-/Zugfeder Transl. in s-Richtung = 3.00e+007 kN/m

Pos. PURB-7 - Punktlager

System x = 120.56 m y = 168.62 m

Lagerung Druck-/Zugfeder Transl. in r-Richtung = 3.00e+007 kN/m
 Druck-/Zugfeder Transl. in s-Richtung = 3.00e+007 kN/m

Pos. AUSP-1 - Aussparung

System x = 116.03 117.50 117.50 116.03 m
 y = 174.35 174.35 172.39 172.39 m

Pos. AUSP-2 - Aussparung

System x = 118.51 119.98 119.98 118.51 m
 y = 174.46 174.46 172.95 172.95 m

Pos. AUSP-3 - Aussparung

System x = 121.00 122.47 122.47 121.00 m
 y = 174.35 174.35 172.39 172.39 m

Pos. AUSP-4 - Aussparung

System x = 111.41 112.88 112.88 111.41 m
 y = 174.46 174.46 172.95 172.95 m

Pos. AUSP-5 - Aussparung

System x = 108.94 110.41 110.41 108.94 m
 y = 174.35 174.35 172.39 172.39 m

Pos. A USP-6 - Aussparung

<u>System</u>	x =	116.03	117.50	117.50	116.03	m
	y =	171.13	171.13	169.65	169.65	m

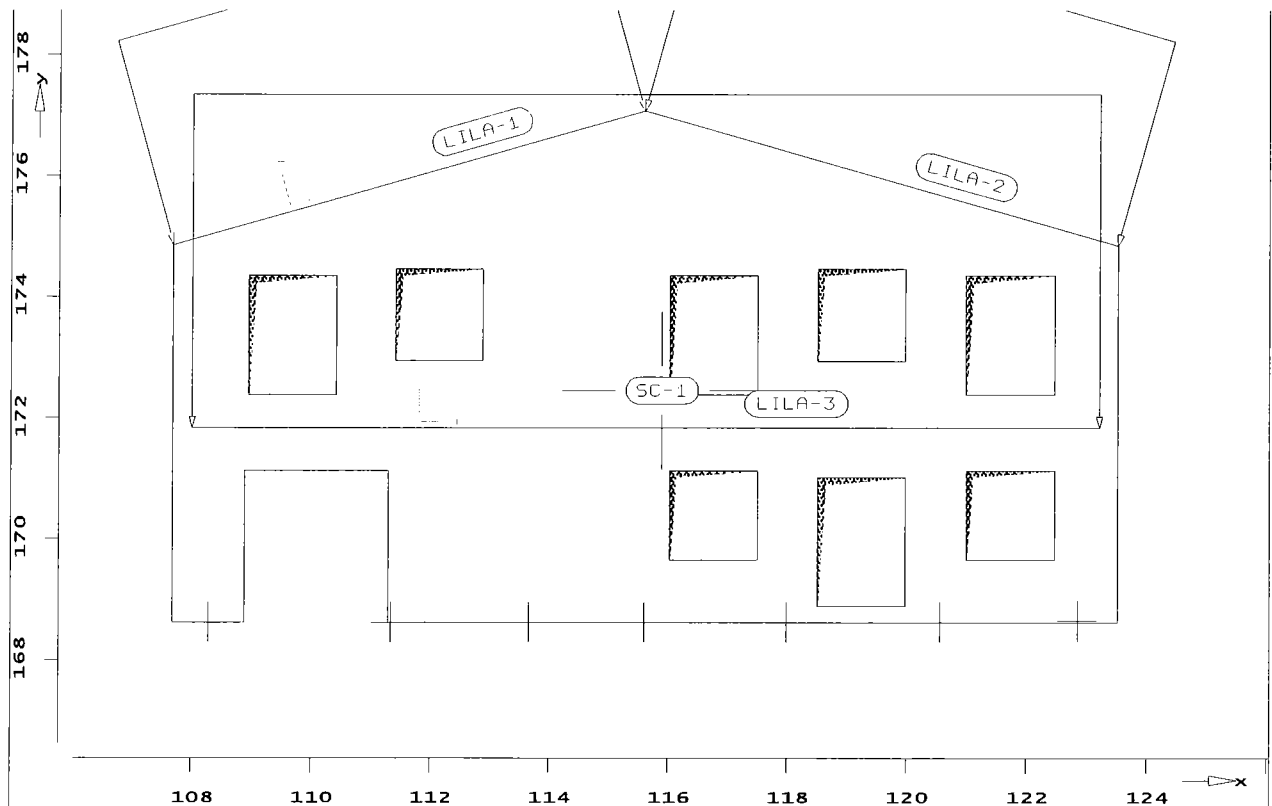
Pos. A USP-7 - Aussparung

<u>System</u>	x =	118.51	119.98	119.98	118.51	m
	y =	171.02	171.02	168.89	168.89	m

Pos. A USP-8 - Aussparung

<u>System</u>	x =	121.00	122.47	122.47	121.00	m
	y =	171.13	171.13	169.65	169.65	m

Lastplan



Eigengewicht / Ausbaulast / Nutzlast Platten

Platte	Dicke [m]	g (aus wichte) [kN/m ²]	g (Ausbau) [kN/m ²]	q (Nutzlast) [kN/m ²]
SC-1	0.20	-5.00	0.00	0.00

Die Eigenlasten g wirken in Lastfall 1, die Nutzlasten q wirken je nach Lastfeldern in eigenen Lastfällen.

Linienlasten

Lastrichtung global, Lastspur entspr. r-Achse des Last-KS

LILA-1

Dachlast

x = 107.68 115.60 m
y = 174.85 177.07 m

LF	Anfang [kN/m] bzw. [kNm/m]	Ende
2 py	-21.000	-21.000

LILA-2

Dachlast

x = 115.60 123.52 m
y = 177.07 174.84 m

LF	Anfang [kN/m] bzw. [kNm/m]	Ende
2 py	-21.000	-21.000

LILA-3

Deckenlast

Proj.Bez		Seite	I - 7
Bez.	Wandscheibe Ansicht A-A	FE-Mod.	WS_AA
Datum	03.12.10	MicroFe	2008.140
		Projekt	S0962 KG Rodeneck

x = 108.01 123.23 m
 y = 171.83 171.83 m

LF	Anfang	Ende
	[kN/m] bzw. [kNm/m]	
2 py	-33.000	-33.000

Einwirkungen nach Eurocode 2

Tabelle

Typ	Beschreibung	Einwirkungen
0	ständige Einwirkung	EW-1
1	Verkehrslast auf Decken - Wohnräume; Büroräume; Verkaufsräume bis 50m ² ; Flure; Balkone; Räume in Krankenhäusern	EW-2
2	- Versammlungsräume; Garagen und Parkhäuser; Turnhallen; Tribünen; Flure in Lehrgebäuden; Büchereien, Archive	
3	- Ausstellungs- und Verkaufsräume; Geschäfts- und Warenhäuser	
4	Windlasten	
5	Schneelasten	
6	alle anderen Einwirkungen	

Komponenten der Einwirkungen

EW-1 = LF-1

EW-2 = LF-2

Lastkombinationen für lineare Berechnung

Auswertung mit MIN/MAX-Überlagerung über Lfn und Lkn

Lf = Lastfall

Lfn = Lastfallnummer

Erläuterung:

'automat.' Der Lastfall wird für ein Lastfeld benötigt und bekommt eine freie Lfn. automatisch zugewiesen.

'auto. 17' Der Lastfall erhielt automatisch die Lfn 17.

Lk = Lastkombination

Lf	LF-1	LF-2
Lfn	1	2
LK-1	1.00	1.00

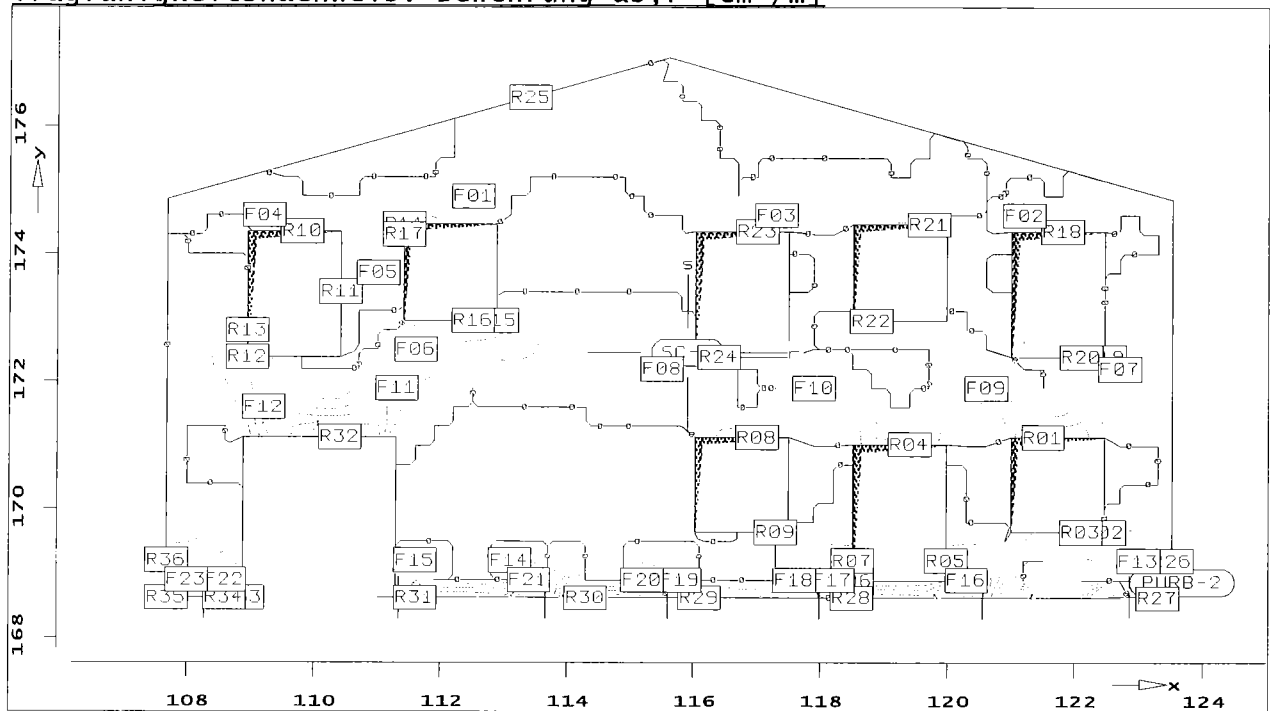
Lastfallübersicht

Lastfall	Lfn	Typ	Lastfallbeschreibung
LF-1	1	ständig	Lastfall 1
LF-2	2	veränderlich	Lastfall 2

Pos. SC-1 - Scheibenbemessung (Isolinien)**Bemessung**

gem. Eurocode 2, C25/30/S500

Extremierung gem. Einwirkungstypisierung

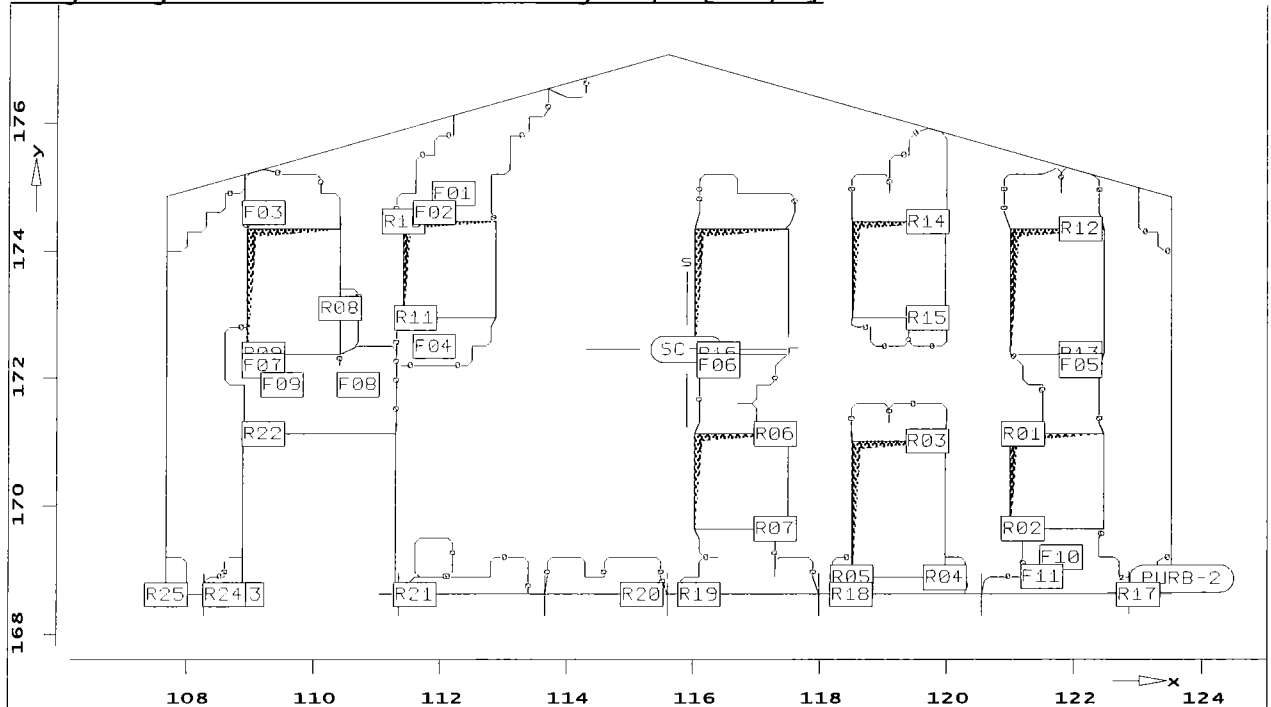
Dicke $d = 20.00$ cmBemessungswinkel w 0.0^x 90.0^y GradTragfähigkeitsnachweis: Bewehrung $a_{s,r}$ [cm^2/m]Isolinienstufen = $0.25 \text{ cm}^2/\text{m}$

Punkt	X	Y	sx	sy	sxy	asr	ass
		[m]			[kN/m^2]	[cm^2/m]	
F01	112.50	174.90	-146.53	-106.11	190.13	0.1	0.2
F02	121.20	174.60	-76.14	-128.35	-155.85	0.2	0.1
F03	117.30	174.60	6.98	-32.29	36.96	0.1	0.0
F04	109.20	174.60	-123.36	-142.95	-196.34	0.2	0.1
F05	111.00	173.70	-5.54	-354.40	144.72	0.1	0.0
F06	111.60	172.50	31.14	-257.71	277.96	0.7	0.1
F07	122.70	172.20	39.20	-284.24	48.40	0.1	0.0
F08	115.50	172.20	90.93	-494.29	-54.26	0.2	0.0
F09	120.60	171.90	110.54	-598.68	-40.23	0.3	0.0
F10	117.90	171.90	70.24	-629.18	29.27	0.2	0.0
F11	111.30	171.90	45.91	-363.13	285.02	0.6	0.0
F12	109.20	171.60	23.78	-211.13	-338.01	0.8	0.3
F13	123.00	169.20	185.82	-1184.24	-237.47	0.5	0.0
F14	113.10	169.20	-360.59	-535.94	505.05	0.3	0.0
F15	111.60	169.20	-240.73	-1347.07	-680.12	0.2	0.0
F16	120.30	168.90	87.18	-1007.68	659.09	1.2	0.0
F17	118.20	168.90	50.30	-1328.89	-704.45	1.0	0.0
F18	117.60	168.90	-164.33	-475.20	446.63	0.6	0.0
F19	115.80	168.90	-102.62	-1376.33	-681.92	0.5	0.0
F20	115.20	168.90	-318.90	-477.65	667.36	0.8	0.4
F21	113.40	168.90	-367.21	-1253.54	1096.88	1.4	0.0
F22	108.60	168.90	-11.94	-706.15	-548.33	1.0	0.0

Proj.Bez		Seite	I - 11
Bez.	Wandscheibe Ansicht A-A	FE-Mod.	WS_AA
Datum	03.12.10	MicroFe	2008.140
		Projekt	S0962 KG Rodeneck

Punkt	X	Y	sx	sy	sxy	asr	ass
		[m]			[kN/m ²]		[cm ² /m]
F23	108.00	168.90	18.04	-762.69	452.85	0.7	0.0
R01	121.50	171.13	457.08	22.34	7.59	1.1	0.1
R02	122.47	169.65	365.20	-810.28	3.32	0.8	0.0
R03	122.10	169.65	441.82	31.39	141.48	1.3	0.4
R04	119.40	171.02	314.99	25.97	-8.86	0.7	0.1
R05	119.98	169.20	132.80	-457.27	223.50	0.6	0.0
R06	118.51	168.89	-42.54	-49.28	-105.40	0.1	0.1
R07	118.51	169.20	148.49	-526.28	-245.12	0.6	0.0
R08	117.00	171.13	308.58	19.91	-13.66	0.7	0.1
R09	117.30	169.65	69.98	7.50	-150.61	0.5	0.4
R10	109.80	174.35	141.58	14.39	-5.27	0.3	0.1
R11	110.41	173.40	10.27	-49.96	48.64	0.1	0.0
R12	108.94	172.39	315.65	49.46	-101.08	1.0	0.4
R13	108.94	172.80	33.48	-91.60	-78.69	0.2	0.0
R14	111.41	174.46	368.72	27.80	66.02	1.0	0.3
R15	112.88	172.95	321.35	-342.32	-19.11	0.7	0.0
R16	112.50	172.95	479.32	13.94	49.24	1.2	0.1
R17	111.41	174.30	98.57	-75.29	63.38	0.4	0.0
R18	121.80	174.35	187.07	15.25	-6.88	0.5	0.1
R19	122.47	172.39	99.41	-97.53	-2.46	0.2	0.0
R20	122.10	172.39	2.36	7.47	56.17	0.1	0.1
R21	119.70	174.46	72.52	-3.55	77.14	0.3	0.2
R22	118.80	172.95	124.34	-4.07	-8.08	0.3	0.0
R23	117.00	174.35	62.70	14.54	-12.49	0.2	0.1
R24	116.40	172.39	96.25	11.16	-65.61	0.4	0.2
R25	113.40	176.45	86.73	-141.80	66.22	0.3	0.0
R26	123.52	169.20	41.08	-162.24	-122.06	0.3	0.0
R27	123.30	168.62	558.20	107.53	279.76	1.9	0.9
R28	118.50	168.62	792.29	147.44	235.77	2.4	0.9
R29	116.10	168.62	885.08	182.91	309.72	2.8	1.1
R30	114.30	168.62	646.71	90.80	44.24	1.6	0.3
R31	111.60	168.62	515.72	-236.62	-1604.53	4.9	3.1
R32	110.40	171.13	721.85	24.25	6.66	1.7	0.1
R33	108.88	168.62	441.80	71.25	236.62	1.6	0.7
R34	108.60	168.62	-492.24	-528.19	-622.76	0.3	0.2
R35	107.68	168.62	524.11	55.97	-297.30	1.9	0.8
R36	107.68	169.20	118.11	-204.03	177.97	0.6	0.0

Tragfähigkeitsnachweis: Bewehrung $a_{s,s}$ [cm^2/m]



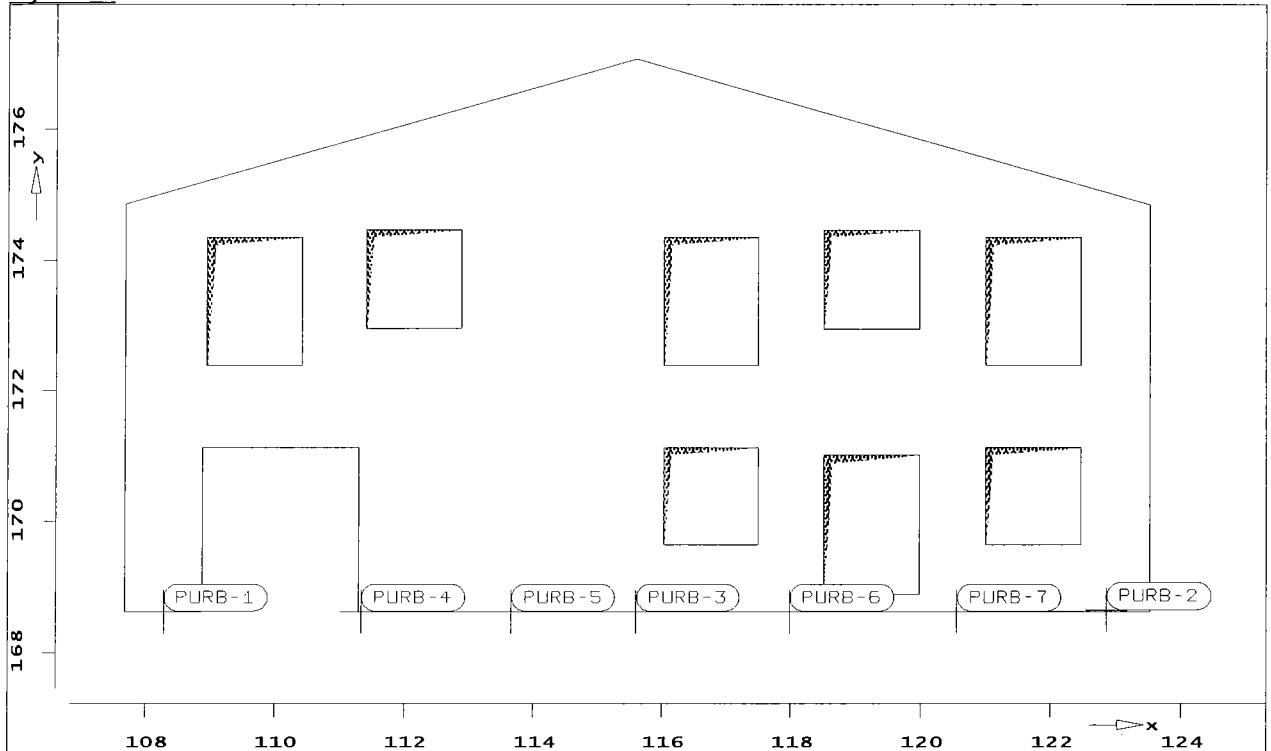
Isolinienstufen = 2.00 cm^2/m

Punkt	X	Y [m]	sx	sy	sxy [kn/m^2]	asr [cm^2/m]	ass [cm^2/m]
PURB-2			-3623.16	10905.50	50.85	0.0	25.1
F01	112.20	174.90	-124.40	-36.41	127.41	0.0	0.2
F02	111.90	174.60	44.66	2.90	40.02	0.2	0.1
F03	109.20	174.60	-123.36	-142.95	-196.34	0.2	0.1
F04	111.90	172.50	56.62	-130.56	207.69	0.6	0.2
F05	122.10	172.20	-26.26	12.00	67.03	0.1	0.2
F06	116.40	172.20	2.70	4.89	-78.63	0.2	0.2
F07	109.20	172.20	45.56	32.67	-213.32	0.6	0.6
F08	110.70	171.90	-46.36	-44.62	170.49	0.3	0.3
F09	109.50	171.90	-50.02	-19.97	-270.44	0.5	0.6
F10	121.80	169.20	-62.07	39.01	99.68	0.1	0.3
F11	121.50	168.90	-4.81	6.58	103.31	0.2	0.3
R01	121.20	171.13	211.58	-99.13	-209.52	1.0	0.3
R02	121.20	169.65	129.55	-4.35	203.65	0.8	0.5
R03	119.70	171.02	38.98	-149.78	192.00	0.5	0.1
R04	119.98	168.89	35.44	22.95	29.60	0.2	0.1
R05	118.51	168.89	-42.54	-49.28	-105.40	0.1	0.1
R06	117.30	171.13	8.65	-135.10	227.08	0.5	0.2
R07	117.30	169.65	69.98	7.50	-150.61	0.5	0.4
R08	110.41	173.10	8.18	66.21	23.31	0.1	0.2
R09	109.20	172.39	227.66	66.09	-173.80	0.9	0.6
R10	111.41	174.46	368.72	27.80	66.02	1.0	0.3
R11	111.60	172.95	-151.57	-73.14	217.38	0.1	0.3
R12	122.10	174.35	83.11	-19.95	68.41	0.4	0.1
R13	122.10	172.39	2.36	7.47	56.17	0.1	0.1
R14	119.70	174.46	72.52	-3.55	77.14	0.3	0.2
R15	119.70	172.95	11.85	-11.73	-84.71	0.2	0.2
R16	116.40	172.39	96.25	11.16	-65.61	0.4	0.2
R17	123.00	168.62	-313.88	3968.11	-425.91	0.3	10.1
R18	118.50	168.62	792.29	147.44	235.77	2.4	0.9

Punkt	X	Y	SX	Sy	sxy	asr	ass
		[m]			[kN/m ²]	[cm ² /m]	
R19	116.10	168.62	885.08	182.91	309.72	2.8	1.1
R20	115.20	168.62	-285.13	-201.91	451.04	0.4	0.6
R21	111.60	168.62	515.72	-236.62	-1604.53	4.9	3.1
R22	109.20	171.13	61.37	-77.60	-201.51	0.6	0.3
R23	108.88	168.62	441.80	71.25	236.62	1.6	0.7
R24	108.60	168.62	-492.24	-528.19	-622.76	0.3	0.2
R25	107.68	168.62	524.11	55.97	-297.30	1.9	0.8

Punktlager-Auswertung

System



Auswertung mit MIN/MAX-Überlagerung

PURB-1 $x/y = 108.28/168.62$ [m], globale Definition						
min Fx	min Fy	min Mz	max Fx	max Fy	max Mz	
[kN]	[kN]	[kNm]	[kN]	[kN]	[kNm]	
2.53	58.74	-	10.27	174.87	-	
PURB-2 $x/y = 122.86/168.65$ [m], globale Definition						
min Fx	min Fy	min Mz	max Fx	max Fy	max Mz	
[kN]	[kN]	[kNm]	[kN]	[kN]	[kNm]	
-3.68	50.37	-	-1.81	143.30	-	
PURB-3 $x/y = 115.60/168.62$ [m], globale Definition						
min Fx	min Fy	min Mz	max Fx	max Fy	max Mz	
[kN]	[kN]	[kNm]	[kN]	[kN]	[kNm]	
-35.09	73.27	-	-12.36	200.50	-	
PURB-4 $x/y = 111.34/168.62$ [m], globale Definition						
min Fx	min Fy	min Mz	max Fx	max Fy	max Mz	
[kN]	[kN]	[kNm]	[kN]	[kN]	[kNm]	
23.48	50.34	-	66.47	144.52	-	
PURB-5 $x/y = 113.66/168.62$ [m], globale Definition						
min Fx	min Fy	min Mz	max Fx	max Fy	max Mz	
[kN]	[kN]	[kNm]	[kN]	[kN]	[kNm]	
-14.86	88.25	-	-4.34	247.66	-	

PURB-6 $x/y = 117.99/168.62$ [m], globale Definition

min Fx [kN]	min Fy [kN]	min Mz [kNm]	max Fx [kN]	max Fy [kN]	max Mz [kNm]
-16.16	66.34	-	-6.48	191.48	-

PURB-7 $x/y = 120.56/168.62$ [m], globale Definition

min Fx [kN]	min Fy [kN]	min Mz [kNm]	max Fx [kN]	max Fy [kN]	max Mz [kNm]
-6.77	60.45	-	-1.03	180.22	-

J ASCENSORI/AUFZÜGE

Gli ascensori sono armati Die Aufzüge werden konstruktiv bewehrt,
costruttivamente, se le pareti non sono sofern die Scheiben nicht statisch als
state integrate nel calcolo di irrigidimento Aussteifung berücksichtigt wurden.
dell'edificio.

K SCALE/TREPPEN

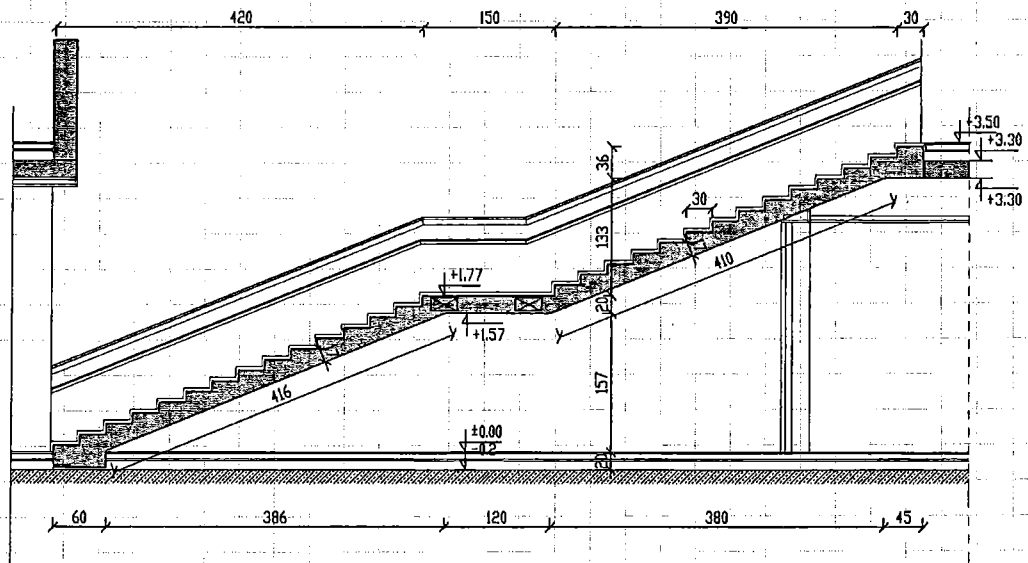
Nell'allegato prospetto si elencano le armature utilizzate per le scale in calcestruzzo armato presenti nella struttura, realizzate in opera con rampe di lunghezza ordinaria (3,00m÷6,00m):

Lungh. orizzontale	Pendenza	Lungh. inclinata	Carico variabile	Spessore piastra	Armatura longitud.	Armatura trasversale
3,25 m	30/18 (30°)	3,75 m	4,0 kN/m ²	15 cm	Ø 12/15	Ø 8/30
4,15 m	30/18 (30°)	4,79 m	4,0 kN/m ²	18 cm	Ø 14/15	Ø 8/25
5,00 m	30/18 (30°)	5,77 m	4,0 kN/m ²	20 cm	Ø 16/15	Ø 8/15
6,00 m	30/18 (30°)	6,93 m	4,0 kN/m ²	24 cm	Ø 18/15	Ø 10/15

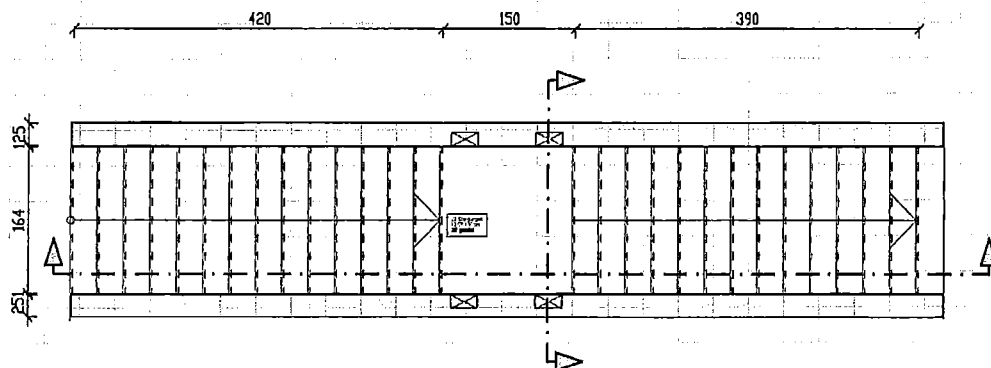
Die nachfolgende Berechnung berücksichtigt Treppen, die nicht als Standardtreppen gelten. Als Standardtreppen gelten einachsige gespannte Treppen mit folgenden Werten (3,00m÷6,00m):

Horiz. Länge	Steigung	Schr. Länge	Nutzlast	Plattenst.	Hauptbew.	Querbew.
3,25 m	30/18 (30°)	3,75 m	4,0 kN/m ²	15 cm	Ø 12/15	Ø 8/30
4,15 m	30/18 (30°)	4,79 m	4,0 kN/m ²	18 cm	Ø 14/15	Ø 8/25
5,00 m	30/18 (30°)	5,77 m	4,0 kN/m ²	20 cm	Ø 16/15	Ø 8/15
6,00 m	30/18 (30°)	6,93 m	4,0 kN/m ²	24 cm	Ø 18/15	Ø 10/15

SCHNITT 1-1
SEZIONE
M 1:50



Grundriss - Pianta
untere Bewehrung - armatura inferiore
M 1:50



Berechnung Bemessung:

LASTANNAHMEN:

$$g_1 = 2 \text{ kN/m}^2$$

$$p = 4 \text{ kN/m}^2$$

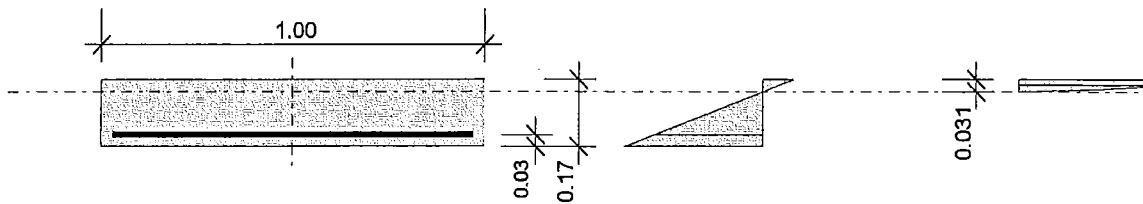
$$g_0 = (0,174 + 0,06 \text{ m}) \times 25 \text{ kN/m}^2 = 5,75 \text{ kN/m}^2$$

$$b = 1,0 \text{ m}$$

$$\Rightarrow M = \frac{q \cdot l^2}{8} = \frac{11,75 \cdot 4,4^2}{8} = 28,44 \text{ kNm}$$

BETONBEMESSUNG mit ConDim™ V 5.04

Bauteil:	Treppe	Bemessungsschnittgrößen:	Gebrauchsschnittgrößen:
Position:	Treppenlauf	$M_d = 42.05 \text{ kNm}$	$M = 29.00 \text{ kNm}$
Norm:	EC 2	$N_d = 0.00 \text{ kN}$	$N = 0.00 \text{ kN}$
Beton:	C25/30	$Q_d = 0.00 \text{ kN}$	$Q = 0.00 \text{ kN}$
Bewehrung:	BSt 420	$T_d = 0.00 \text{ kNm}$	$T = 0.00 \text{ kNm}$
	Druck negativ I		
	Lastsicherheit: $\gamma_f = 1.45$		

Querschnitt Maße in [m]**Dehnungen****Betonspannungen** $\epsilon_{s_o} = -3.50 \text{ ‰}$ $\sigma_{b_o} = -13.28 \text{ MN/m}^2$  $A_{s_u} = 9.05 \text{ cm}^2$ $\epsilon_{s_u} = 12.44 \text{ ‰}$ $\epsilon_{s_u} = 15.85 \text{ ‰}$ **Bemessung für Biegung und Längskraft**Maximales Gebrauchsmoment (ohne Sicherheit): $M_{\max} = 53.16 \text{ kNm}$ Erforderliche Bewehrung: $\text{erf } A_{s_u} = 9.05 \text{ cm}^2$ Mindestbewehrung: $\text{min } A_{s_u} = 2.10 \text{ cm}^2$ Maximalbewehrung: $\text{max } A_{s_u} = 68.00 \text{ cm}^2$ Gewählte Bewehrung: $\text{vorh } A_{s_u} = 15.39 \text{ cm}^2$
($\emptyset 14/10$)Stahldéhnung: $\epsilon_{s_u} = 12.44 \text{ ‰}$ Randdehnung: $\epsilon_{s_u} = 15.85 \text{ ‰}$ $\epsilon_{s_o} = -3.50 \text{ ‰}$

L FONDAZIONI/FUNDAMENTE

Il seguente calcolo illustra fondazioni che Die nachfolgende Berechnung
non sono validi come fondazioni berücksichtigt Fundamente, die nicht als
standard. fondazioni standard sono Standardfundamente gelten.
armati costruttivamente secondo EC – 2 Standardfundamente sind nur
con lunghezze minime e staffature. konstruktiv gemäß EC - 2 bewehrte
Fundamente mit
Mindestlängsbewehrung und
Mindestquerbewehrung sowie ohne
Verbügelung.

Zulässige Bodenpressungen/ carichi ammissibili per il terreno:

vedi relazione geotecnica/siehe geologisches Gutachten

Simboli usati nella verifica delle sezioni in c.a metodo Eurocodice

x	distanza da sinistra della sezione di verifica
Asup	area di acciaio efficace superiore
cs	distanza tra baricentro delle armature superiori e bordo della sezione
Ainf	area di acciaio efficace inferiore
ci	distanza tra baricentro delle armature inferiori e bordo della sezione
Mela	momento flettente derivante dal calcolo elastico lineare
Msd	momento di calcolo (a seguito di traslazione ed eventuale redistribuzione)
Mrd	momento ultimo
x/d	rapporto tra altezza dell'asse neutro ed altezza utile
Ast	area di staffatura (cmq/cm)
Afp+	area di staffatura equivalente per taglio positivo fornita dai sagomati
Afp-	area di staffatura equivalente per taglio negativo fornita dai sagomati
VRd,max	taglio che produce la rottura delle bielle compresse di calcestruzzo
Vod	taglio di verifica della sezione (per travi con sezione di altezza variabile in campata)
VED	taglio di calcolo (comprende l'effetto della variabilità della sezione)
VED,rid	taglio di calcolo ridotto secondo EC2 6.2.3 (5) o secondo EC2 6.2.2 (6) o secondo EC2 6.2.1 (8)
Vcd	resistenza a taglio della sezione priva di armatura a taglio
VRd,s	resistenza a taglio della sezione prodotta dalla armatura a taglio
Mese.R	momento di esercizio in condizione rara
sc.R	tensione di compressione nel calcestruzzo in condizione rara
sf.R	tensione di trazione nell'acciaio in condizione rara
Mese.QP	momento di esercizio in condizione quasi permanente
sc.QP	tensione di compressione nel calcestruzzo in condizione quasi permanente
srmi	intervallo tra le fessure al lembo inferiore
wkiR	ampiezza caratteristica delle fessure al lembo inferiore in condizione rara
wkiF	ampiezza caratteristica delle fessure al lembo inferiore in condizione frequente
wkiQP	ampiezza caratteristica delle fessure al lembo inferiore in condizione quasi permanente
srms	intervallo tra le fessure al lembo superiore
wksR	ampiezza caratteristica delle fessure al lembo superiore in condizione rara
wksF	ampiezza caratteristica delle fessure al lembo superiore in condizione frequente
wksQP	ampiezza caratteristica delle fessure al lembo superiore in condizione quasi permanente
fg.R	freccia con calcestruzzo interamente reagente in condizione rara
ff.R	freccia con calcestruzzo fessurato in condizione rara
fg.QP	freccia con calcestruzzo interamente reagente in condizione quasi permanente
ff.QP	freccia con calcestruzzo fessurato in condizione quasi permanente
f.QPcreep	freccia con calcestruzzo fessurato in condizione quasi permanente a viscosità esaurita
f.max	cedimento massimo (per suolo elastico positivo se di abbassamento)
teta	inclinazione delle bielle compresse del traliccio rispetto all'asse della trave (rad)
st.max	pressione massima sul terreno (per suolo elastico positiva se di pressione)
f.min	cedimento minimo (per suolo elastico positivo se di abbassamento)
st.min	pressione minima sul terreno (per suolo elastico positiva se di pressione)

Simboli generali usati per le travi in acciaio

Jx	=momento d'inerzia secondo l'asse x baricentrico (orizzontale) del profilo
Wx	=modulo di resistenza elastico secondo l'asse x baricentrico (orizzontale) del profilo
Wplx	=modulo di resistenza plastico secondo l'asse x baricentrico (orizzontale) del profilo
At	=area di taglio del profilo
gamma	=peso specifico
E	=modulo di elasticità assiale
ni	=coefficiente di Poisson
X	=ascissa lungo l'asse della trave

Simboli usati nella verifica delle sezioni in acciaio metodo Eurocodice

Gamma M0 = coefficiente di sicurezza del materiale per resistenza
Gamma M1 = coefficiente di sicurezza del materiale per svergolamento
Fy sp<=40mm = tensione di snervamento per spessore minore od uguale di 40 mm
Fy sp>40mm = tensione di snervamento per spessore maggiore di 40 mm
Msd = momento flettente di calcolo (resistenza)
Mrd = momento flettente resistente (resistenza)
Classe = classe della sezione (resistenza)
Ro = rapporto di taglio
Vsd = taglio di calcolo
VRd = taglio resistente
Msd.sv = momento flettente di calcolo (svergolamento)
Mrd.sv = momento flettente resistente (svergolamento)
Classe.sv = classe della sezione (svergolamento)
Chi = parametro per verifica a svergolamento
Lambda.ad = snellezza adimensionale per verifica a svergolamento
f qp = freccia (combinazione quasi-permanente)
L/f qp = rapporto luce/freccia (combinazione quasi-permanente)
f ra = freccia (combinazione rara)
L/f ra = rapporto luce/freccia (combinazione rara)
f fr = freccia (combinazione frequente)
L/f fr = rapporto luce/freccia (combinazione frequente)

Simboli generali usati per le travi in legno

B = base
H = altezza
L = lunghezza
Area = area della sezione
Vol u.(mc) = volume unitario in metri cubi
peso u. = peso unitario
s.v.u.(mq) = superficie verniciata unitaria
n° = numero di pezzi uguali
p.tot = peso totale
s.v.tot(mq) = superficie verniciata totale
mat = materiale utilizzato

Simboli usati nella verifica delle sezioni in legno metodo Eurocodice

x = ascissa
M = momento flettente
vf,max = valore di verifica a flessione
Kmod = valore del coefficiente per il calcolo della resistenza di progetto
Gamma = coefficiente parziale di sicurezza del materiale
T = taglio

vt,max = valore di verifica a taglio
fm,k = resistenza caratteristica a flessione
ft,0,k = resistenza caratteristica per trazione parallela alle fibre
ft,90,k = resistenza caratteristica per trazione ortogonale alle fibre
fc,0,k = resistenza caratteristica per compressione parallela alle fibre
fc,90,k = resistenza caratteristica per compressione ortogonale alle fibre
fv,k = resistenza caratteristica a taglio
E = modulo elastico longitudinale
G = modulo elastico tangenziale
gamma = peso specifico del materiale
alfa = coefficiente di dilatazione termica
f qp = freccia in combinazione quasi permanente
f ra = freccia in combinazione rara
f fr = freccia in combinazione frequente
L/f qp = rapporto luce su freccia in combinazione quasi permanente
L/f ra = rapporto luce su freccia in combinazione rara
L/f fr = rapporto luce su freccia in combinazione frequente

Simboli generali usati per le travi miste in legno-cls

B = base
H = altezza
L = lunghezza
Area = area della sezione
Vol u.(mc) = volume unitario in metri cubi
peso u. = peso unitario
s.v.u.(mq) = superficie verniciata unitaria
n° = numero di pezzi uguali
p.tot = peso totale
s.v.tot(mq) = superficie verniciata totale
mat = materiale utilizzato

Simboli usati nella verifica delle sezioni miste in legno-cls metodo Eurocodice

c.s. = coefficiente di sicurezza
Tr = taglio resistente
vf,max = valore di verifica a flessione
Kmod = valore del coefficiente per il calcolo della resistenza di progetto
Gamma,m = coefficiente parziale di sicurezza del materiale
T = taglio
vt,max = valore di verifica a taglio
fm,k = resistenza caratteristica a flessione
ft,0,k = resistenza caratteristica per trazione parallela alle fibre
ft,90,k = resistenza caratteristica per trazione ortogonale alle fibre
fc,0,k = resistenza caratteristica per compressione parallela alle fibre
fc,90,k = resistenza caratteristica per compressione ortogonale alle fibre
fv,k = resistenza caratteristica a taglio
E = modulo elastico longitudinale
G = modulo elastico tangenziale
gamma = peso specifico del materiale
alfa = coefficiente di dilatazione termica

f qp = freccia in combinazione quasi permanente
f ra = freccia in combinazione rara
f fr = freccia in combinazione frequente
L/f qp = rapporto luce su freccia in combinazione quasi permanente
L/f ra = rapporto luce su freccia in combinazione quasi permanente
L/f fr = rapporto luce su freccia in combinazione frequente

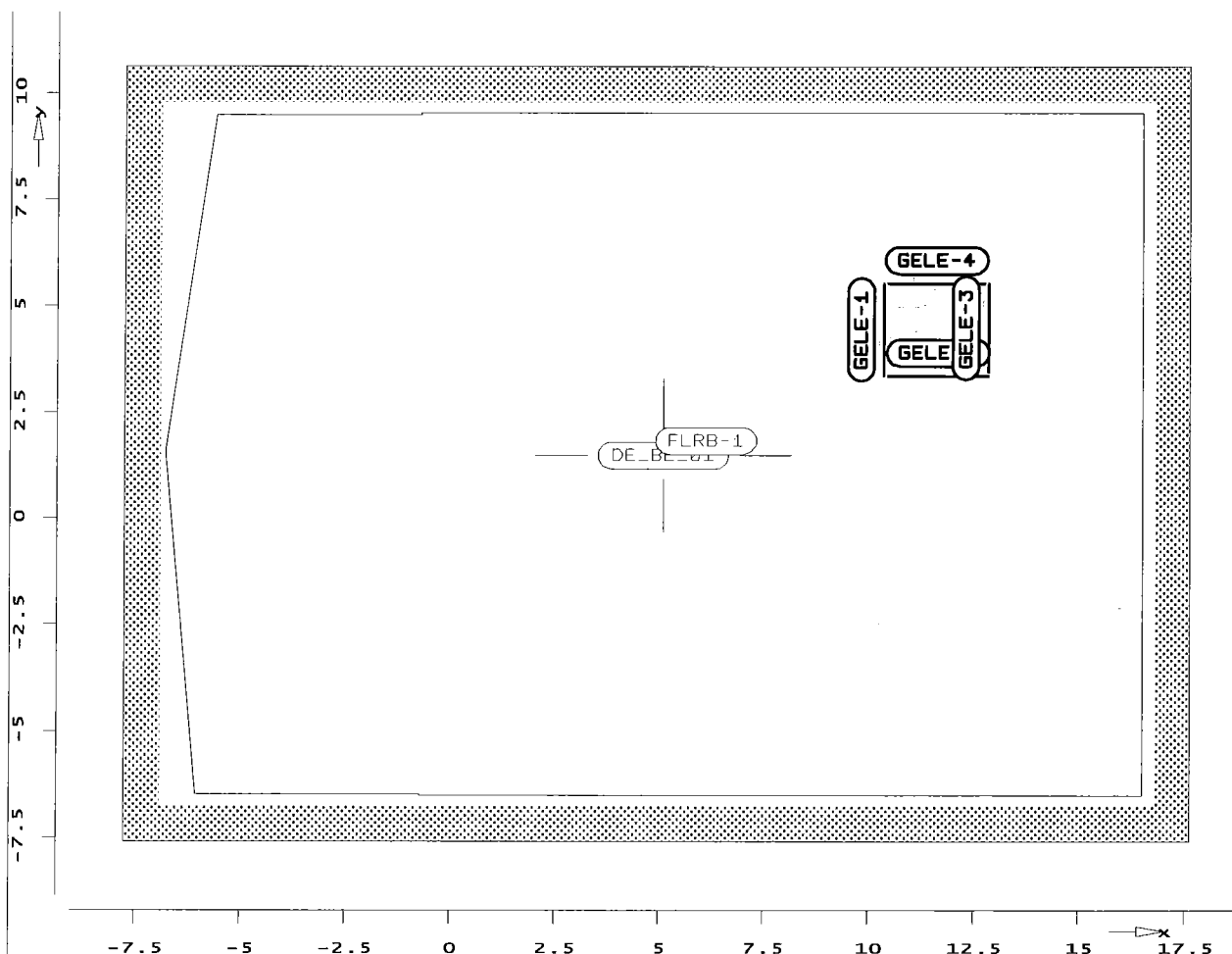
Simboli generali usati per le travi miste in acciaio-cl

ID = Identificativo numerico univoco
Nome = Nome attribuito alla sezione mista acciaio calcestruzzo
Profilo = Nome del profilo impiegato nella sezione mista
Ap = Area del profilo metallico
Jx,p = Inerzia del profilo metallico
W,p = Momento resistente del profilo metallico
Wpl,p = Momento resistente plastico del profilo metallico
At,p = Area a taglio del profilo metallico
Bs = Larghezza della soletta
Ss = Spessore della soletta
Bas = Spessore dell'anima della soletta
Has = Altezza dell'anima della soletta
Sva = Dimensione dello svaso d'anima della soletta
np = Numero di profili metallici a sostegno della soletta

Simboli usati nella verifica delle sezioni miste in acciaio-cl metodo Eurocodice

A = Campo di connettori in prossimità dell'appoggio sinistro
B = Campo di connettori nella zona centrale della campata
C = Campo di connettori in prossimità dell'appoggio destro
Passo = Passo dei connettori
X = Ascissa in cm misurata dal bordo sinistro della travatura
T+ = Taglio da assorbire positivo
Tr+ = Taglio resistente positivo
T- = Taglio da assorbire negativo
Tr- = Taglio resistente negativo
cls = Riferito alla soletta in calcestruzzo
f.qp = Freccia in combinazione quasi permanente
f.ra = Freccia in combinazione rara
f.fr = Freccia in combinazione frequente
S.cls,max = Tensione massima sulla soletta di calcestruzzo
S.arm.,max = Tensione massima sulle barri di armatura
S.prof.,n,max = Tensione normale massima sul profilo metallico
S.prof.,id,max = Tensione ideale massima sul profilo metallico

Positionsplan



Pos. DE_BE_01 - Plattenbereich

<u>System</u>	x =	-5.60	-0.70	-0.70	16.51	16.51 m
	y =	9.50	9.50	9.54	9.54	-6.52 m
	x =	-0.70	-0.70	-6.06	-6.79 m	
	y =	-6.52	-6.50	-6.50	1.57 m	

Material

Isotrope Platte
 Dicke = 30.00 cm
 Wichte = 25.00 kN/m³
 E-Modul = 3.05e+007 kN/m²
 Mue = 0.20

Pos. FLRB-1 - Flächenlager (Bettungszifferverfahren)

<u>System</u>	x =	17.61	-7.76	-7.76	17.61 m
	y =	-7.61	-7.61	10.64	10.64 m

Lagerung Druck-/Zugfeder Transl. in t-Richtung = 1.50e+004 kN/m³

Pos. GELE-1 - Gelenk

<u>System</u>	x =	10.36	10.36 m		
	y =	5.53	3.36 m		
	Verdrehung um	r-Achse		beidseitig	0 kNm/rad/m

Pos. GELE-2 - Gelenk

<u>System</u>	x =	10.45	12.83 m		
	y =	3.36	3.36 m		
	Verdrehung um	r-Achse		beidseitig	0 kNm/rad/m

Pos. GELE-3 - Gelenk

<u>System</u>	x =	12.83	12.83 m		
	y =	3.43	5.53 m		
	Verdrehung um	r-Achse		beidseitig	0 kNm/rad/m

Pos. GELE-4 - Gelenk

<u>System</u>	x =	12.75	10.46 m		
	y =	5.53	5.53 m		
	Verdrehung um	r-Achse		beidseitig	0 kNm/rad/m

Einwirkungen nach Eurocode 2**Tabelle**

Typ	Beschreibung	Einwirkungen
0	ständige Einwirkung	EW-1
1	Verkehrslast auf Decken - Wohnräume; Büroräume; Verkaufsräume bis 50m ² ; Flure; Balkone; Räume in Krankenhäusern	EW-2
2	- Versammlungsräume; Garagen und Parkhäuser; Turnhallen; Tribünen; Flure in Lehrgebäuden; Büchereien, Archive	
3	- Ausstellungs- und Verkaufsräume; Geschäfts- und Warenhäuser	
4	Windlasten	
5	Schneelasten	
6	alle anderen Einwirkungen	

Komponenten der Einwirkungen

EW-1 = LF-1

EW-2 = (DE_BE_01)-1 LF-2 LF-3 LF-4 LF-5

Lastkombinationen für lineare Berechnung

Auswertung mit MIN/MAX-Überlagerung über Lfn und Lkn

Lf = Lastfall

Lfn = Lastfallnummer

Erläuterung:

'automat.' Der Lastfall wird für ein Lastfeld benötigt und bekommt eine freie Lfn. automatisch zugewiesen.

'auto. 17' Der Lastfall erhielt automatisch die Lfn 17.

Lk = Lastkombination

Lf	LF-1	LF-2	LF-3	LF-4	LF-5
Lfn	1	2	3	4	5
LK-1	1.00	1.00	1.00	1.00	1.00

Lf	(DE_BE_01
Lfn	auto. 6
LK-1	1.00

Lastfallübersicht

Lastfall	Lfn	Typ	Lastfallbeschreibung
LF-1	1	ständig	Lastfall 1
LF-2	2*	veränderlich	Lastfall 2
LF-3	3*	veränderlich	Lastfall 3
LF-4	4	veränderlich	Lastfall 4
LF-5	5	veränderlich	Lastfall 5
(DE_BE_01)-1	6	veränderlich	Lastfall automatisch generiert

* = leerer Lastfall

PROTOKOLL DER STATISCHEN ANALYSE (MicroFe-26062006/19092006)

--Systemwerte Gesamt				
Elemente	Knoten	Gleichungen	Steifigkeiten	Speicherplatz
4129	4317	12951	1108658	8661 Kbyte

STATISCHE BERECHNUNG:

Erweiterte Optionen für die Berechnung	Einstellung
Knotenoptimierung	ja
vor der Berechnung Festplattenkapazität prüfen	ja
Abbruch bei beweglichen Systemen	ja
Konsistente Lasten	ja

Lastfälle : 6

--Speicherplatzbedarf

Arbeitsspeicher	benötigt	vorhanden
Kleiner Gleichungslöser	9 Mbyte	ja

Festplatte	benötigt	vorhanden	Laufwerk:\Pfad
Ergebnisse	6010 Kbyte	134 Gbyte	"L:\2009\S0962\D_..."

--Aufbereitung der Struktur : 1 sec

--Lösung der statischen Aufgabe

Berechnungszeit 2 sec

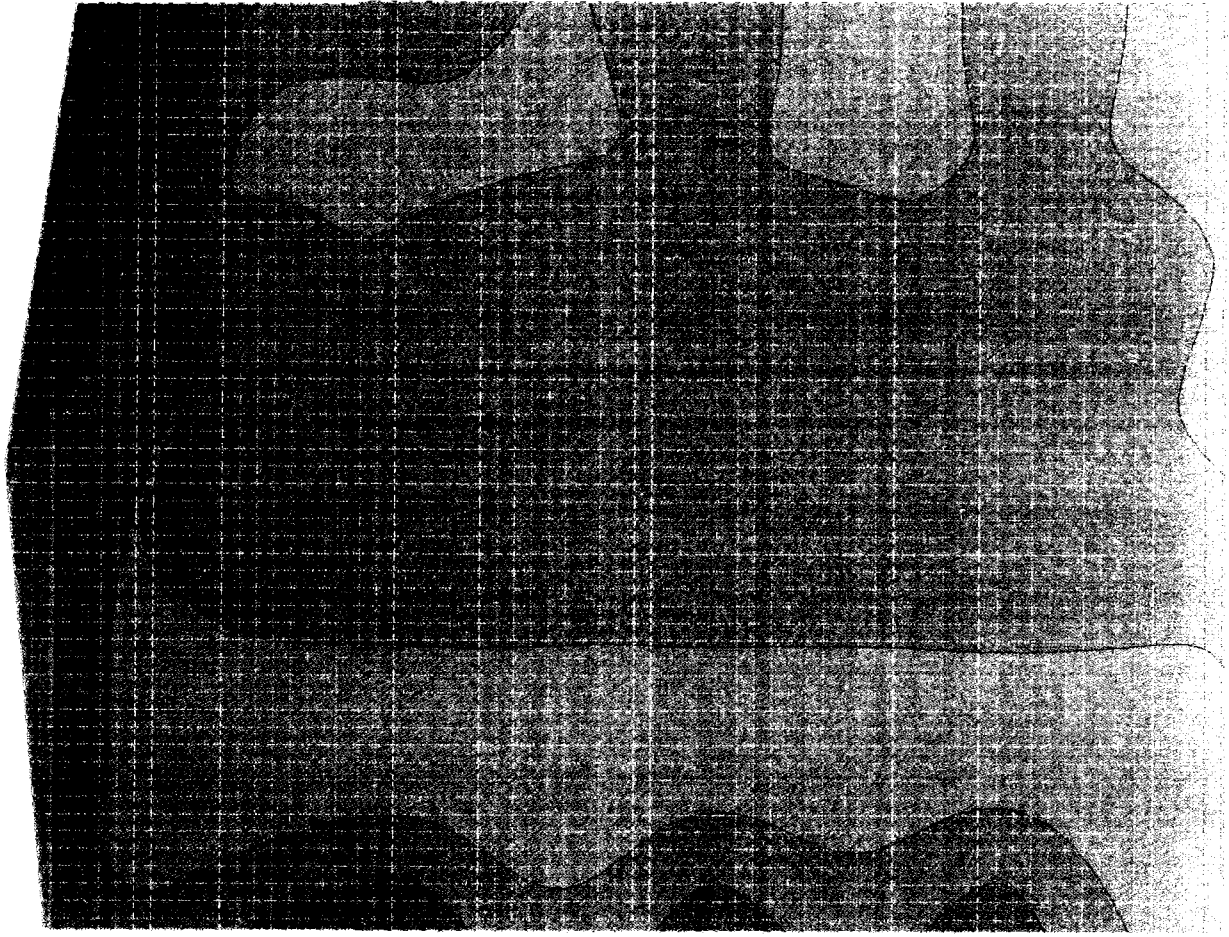
--Gesamtlast / Gesamtauflagerkraft

Lfn	Px / Ax [kN]	Py / Ay [kN]	Pz / Az [kN]
1	0.00 / 0.00	0.00 / 0.00	-8057.66 / 8057.66
2	0.00 / 0.00	0.00 / 0.00	0.00 / 0.00
3	0.00 / 0.00	0.00 / 0.00	-1567.03 / 1567.03
4	0.00 / 0.00	0.00 / 0.00	-994.56 / 994.56
5	0.00 / 0.00	0.00 / 0.00	-122.40 / 122.40
6	0.00 / 0.00	0.00 / 0.00	-995.76 / 995.76
Summe	0.00 / 0.00	0.00 / 0.00	-11737.42 / 11737.42

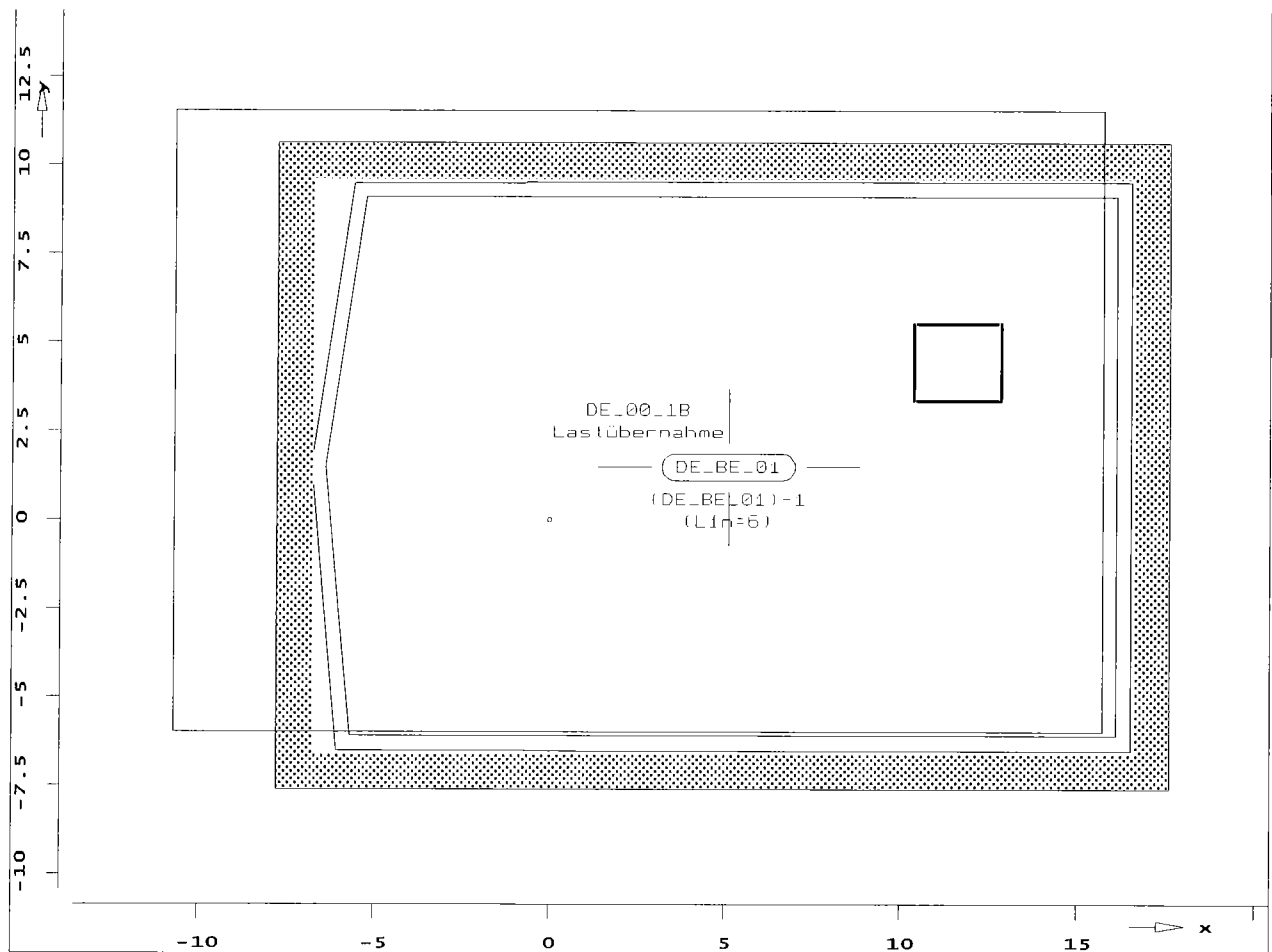
--Ende der statischen Analyse

Berechnungszeit : 7 sec

*** Berechnung erfolgreich abgeschlossen ***



Lastplan



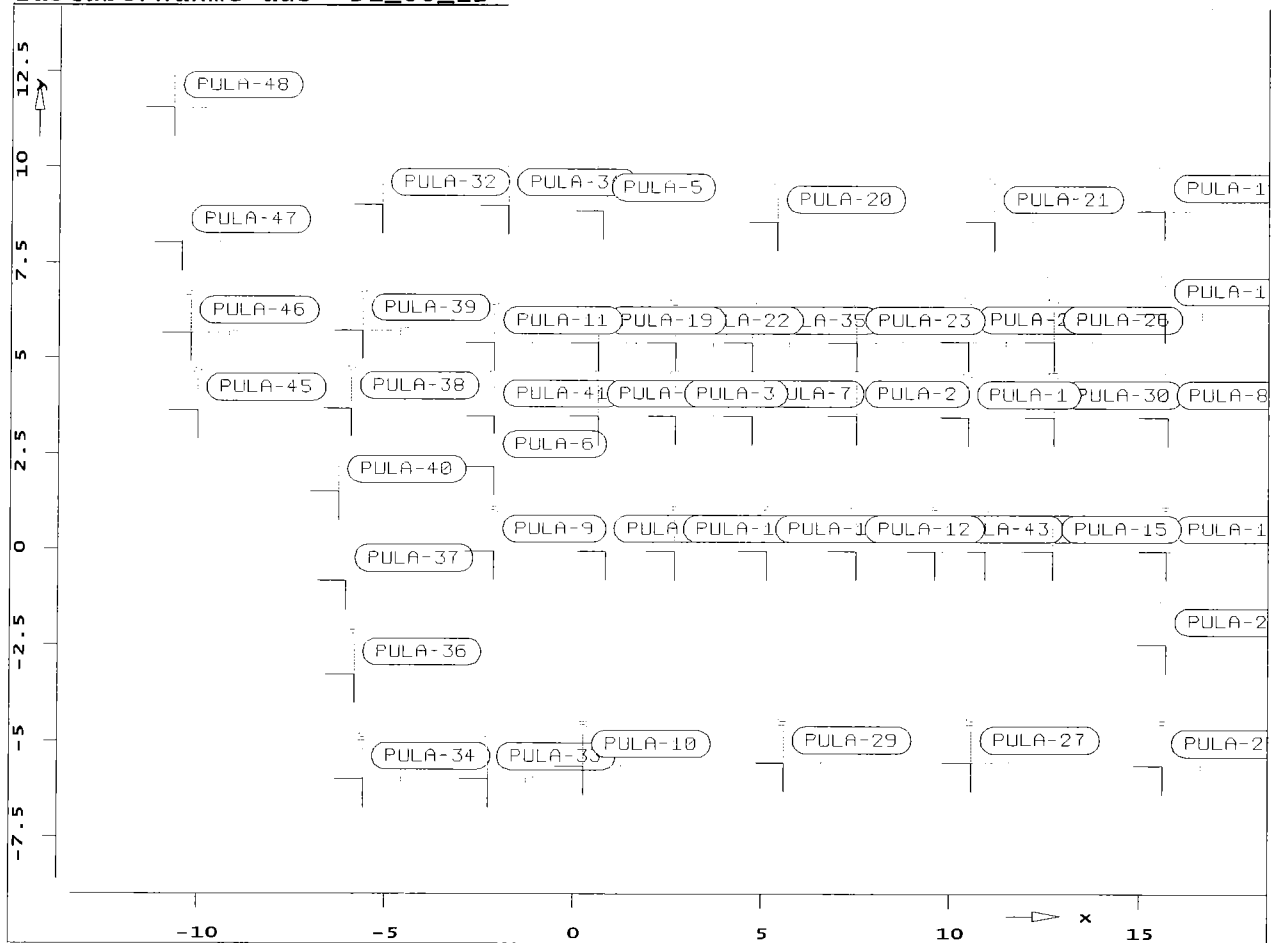
Eigengewicht / Ausbaulast / Nutzlast Platten

Platte	Dicke [m]	g (aus wichte) [kN/m ²]	g (Ausbau) [kN/m ²]	q (Nutzlast) [kN/m ²]
DE_BE_01	0.30	-7.50	-3.00	-3.00

Die Eigenlasten g wirken in Lastfall 1, die Nutzlasten q wirken je nach Lastfeldern in eigenen Lastfällen.

Beschreibung der Lasten aus der Lastübernahme

Lastübernahme aus 'DE_00_1B'



Punktlasten

PULA-1 aus ST_00_01
x = 10.46 m, y = 3.46 m

LF	Lastgröße [kN], [kNm]	LF	Lastgröße [kN], [kNm]	LF	Lastgröße [kN], [kNm]	LF	Lastgröße [kN], [kNm]
1 Pt	-3.000	1 Pt	-35.206	3 Pt	-16.339	4 Pt	-7.485

PULA-2 aus ST_00_2
x = 7.51 m, y = 3.48 m

LF	Lastgröße [kN], [kNm]	LF	Lastgröße [kN], [kNm]	LF	Lastgröße [kN], [kNm]	LF	Lastgröße [kN], [kNm]
1 Pt	-3.000	3 Pt	-18.760	4 Pt	-15.766	5 Pt	0.018
1 Pt	-59.093						

PULA-3 aus ST_00_3
x = 2.69 m, y = 3.48 m

LF	Lastgröße [kN], [kNm]	LF	Lastgröße [kN], [kNm]	LF	Lastgröße [kN], [kNm]	LF	Lastgröße [kN], [kNm]
1 Pt	-3.000	3 Pt	-11.514	4 Pt	-12.820	5 Pt	0.332
1 Pt	-45.491						

PULA-4 aus ST_00_4
x = 0.64 m, y = 3.48 m

LF	Lastgröße [kN], [kNm]	LF	Lastgröße [kN], [kNm]	LF	Lastgröße [kN], [kNm]	LF	Lastgröße [kN], [kNm]
1 Pt	-3.000	3 Pt	-10.512	4 Pt	-6.736	5 Pt	-1.637
1 Pt	-30.483						

PULA-5 aus ST_00_5
x = 0.74 m, y = 8.89 m

LF	Lastgröße [kN], [kNm]	LF	Lastgröße [kN], [kNm]	LF	Lastgröße [kN], [kNm]	LF	Lastgröße [kN], [kNm]
1 Pt	-3.000	3 Pt	-35.595	4 Pt	-18.523	5 Pt	-3.208
1 Pt	-82.297						

PULA-6 aus ST_00_6
x = -2.13 m, y = 2.16 m

LF	Lastgröße [kN], [kNm]	LF	Lastgröße [kN], [kNm]	LF	Lastgröße [kN], [kNm]	LF	Lastgröße [kN], [kNm]
1 Pt	-3.000	3 Pt	-13.306	4 Pt	-8.525	5 Pt	2.912
1 Pt	-32.801						

PULA-7 aus ST_00_7
x = 4.73 m, y = 3.48 m

LF	Lastgröße [kN], [kNm]	LF	Lastgröße [kN], [kNm]	LF	Lastgröße [kN], [kNm]	LF	Lastgröße [kN], [kNm]
1 Pt	-3.000	3 Pt	-16.251	4 Pt	-9.197	5 Pt	-0.041
1 Pt	-39.753						

PULA-8 aus ST_00_8
x = 15.73 m, y = 3.46 m

LF	Lastgröße [kN], [kNm]	LF	Lastgröße [kN], [kNm]	LF	Lastgröße [kN], [kNm]	LF	Lastgröße [kN], [kNm]
1 Pt	-3.000	1 Pt	-67.041	3 Pt	-32.201	4 Pt	-14.959

PULA-9 aus ST_00_9
x = -2.13 m, y = -0.05 m

LF	Lastgröße [kN], [kNm]	LF	Lastgröße [kN], [kNm]	LF	Lastgröße [kN], [kNm]	LF	Lastgröße [kN], [kNm]
1 Pt	-3.000	3 Pt	-78.928	4 Pt	-64.410	5 Pt	0.608
1 Pt	-233.348						

PULA-10 aus ST_00_10
x = 0.27 m, y = -5.66 m

LF	Lastgröße [kN], [kNm]	LF	Lastgröße [kN], [kNm]	LF	Lastgröße [kN], [kNm]	LF	Lastgröße [kN], [kNm]
1 Pt	-3.000	1 Pt	-149.588	3 Pt	-64.196	4 Pt	-36.916

PULA-11 aus ST_00_11
x = -2.13 m, y = 5.40 m

LF	Lastgröße [kN], [kNm]	LF	Lastgröße [kN], [kNm]	LF	Lastgröße [kN], [kNm]	LF	Lastgröße [kN], [kNm]
1 Pt	-3.000	3 Pt	-46.785	4 Pt	-35.075	5 Pt	13.987
1 Pt	-117.620						

PULA-12 aus ST_00_12
x = 7.51 m, y = -0.05 m

LF	Lastgröße	LF	Lastgröße	LF	Lastgröße	LF	Lastgröße
	[kN], [kNm]		[kN], [kNm]		[kN], [kNm]		[kN], [kNm]
1 Pt	-3.000	1 Pt	-145.546	3 Pt	-50.249	4 Pt	-39.323

PULA-13 aus ST_00_13
x = 5.13 m, y = -0.05 m

LF	Lastgröße	LF	Lastgröße	LF	Lastgröße	LF	Lastgröße
	[kN], [kNm]		[kN], [kNm]		[kN], [kNm]		[kN], [kNm]
1 Pt	-3.000	3 Pt	-55.683	4 Pt	-43.577	5 Pt	-0.010
1 Pt	-160.978						

PULA-14 aus ST_00_14
x = 2.68 m, y = -0.05 m

LF	Lastgröße	LF	Lastgröße	LF	Lastgröße	LF	Lastgröße
	[kN], [kNm]		[kN], [kNm]		[kN], [kNm]		[kN], [kNm]
1 Pt	-3.000	3 Pt	-48.810	4 Pt	-37.901	5 Pt	0.274
1 Pt	-140.404						

PULA-15 aus ST_00_15
x = 12.71 m, y = -0.05 m

LF	Lastgröße	LF	Lastgröße	LF	Lastgröße	LF	Lastgröße
	[kN], [kNm]		[kN], [kNm]		[kN], [kNm]		[kN], [kNm]
1 Pt	-3.000	1 Pt	-169.583	3 Pt	-54.272	4 Pt	-47.204

PULA-16 aus ST_00_16
x = 15.70 m, y = -0.05 m

LF	Lastgröße	LF	Lastgröße	LF	Lastgröße	LF	Lastgröße
	[kN], [kNm]		[kN], [kNm]		[kN], [kNm]		[kN], [kNm]
1 Pt	-3.000	1 Pt	-50.434	3 Pt	-25.675	4 Pt	-10.567

PULA-17 aus ST_00_17
x = 15.65 m, y = 6.17 m

LF	Lastgröße	LF	Lastgröße	LF	Lastgröße	LF	Lastgröße
	[kN], [kNm]		[kN], [kNm]		[kN], [kNm]		[kN], [kNm]
1 Pt	-3.000	1 Pt	-67.875	3 Pt	-28.402	4 Pt	-16.340

PULA-18 aus ST_00_18
x = 15.63 m, y = 8.89 m

LF	Lastgröße	LF	Lastgröße	LF	Lastgröße	LF	Lastgröße
	[kN], [kNm]		[kN], [kNm]		[kN], [kNm]		[kN], [kNm]
1 Pt	-3.000	1 Pt	-50.242	3 Pt	-29.361	4 Pt	-9.460

PULA-19 aus ST_00_19
x = 0.64 m, y = 5.40 m

LF	Lastgröße	LF	Lastgröße	LF	Lastgröße	LF	Lastgröße
	[kN], [kNm]		[kN], [kNm]		[kN], [kNm]		[kN], [kNm]
1 Pt	-3.000	3 Pt	-28.891	4 Pt	-12.947	5 Pt	-2.912
1 Pt	-62.111						

PULA-20 aus ST_00_20
x = 5.40 m, y = 8.58 m

LF	Lastgröße [kN], [kNm]	LF	Lastgröße [kN], [kNm]	LF	Lastgröße [kN], [kNm]	LF	Lastgröße [kN], [kNm]
1 Pt	-3.000	3 Pt	-61.456	4 Pt	-32.272	5 Pt	0.274
1 Pt	-134.876						

PULA-21 aus ST_00_21
x = 11.15 m, y = 8.58 m

LF	Lastgröße [kN], [kNm]	LF	Lastgröße [kN], [kNm]	LF	Lastgröße [kN], [kNm]	LF	Lastgröße [kN], [kNm]
1 Pt	-3.000	3 Pt	-61.291	4 Pt	-32.482	5 Pt	-0.033
1 Pt	-135.620						

PULA-22 aus ST_00_22
x = 2.69 m, y = 5.40 m

LF	Lastgröße [kN], [kNm]	LF	Lastgröße [kN], [kNm]	LF	Lastgröße [kN], [kNm]	LF	Lastgröße [kN], [kNm]
1 Pt	-3.000	3 Pt	-27.201	4 Pt	-31.761	5 Pt	0.778
1 Pt	-107.317						

PULA-23 aus ST_00_23
x = 7.51 m, y = 5.40 m

LF	Lastgröße [kN], [kNm]	LF	Lastgröße [kN], [kNm]	LF	Lastgröße [kN], [kNm]	LF	Lastgröße [kN], [kNm]
1 Pt	-3.000	3 Pt	-41.324	4 Pt	-31.354	5 Pt	-0.079
1 Pt	-117.682						

PULA-24 aus ST_00_24
x = 15.70 m, y = -2.47 m

LF	Lastgröße [kN], [kNm]	LF	Lastgröße [kN], [kNm]	LF	Lastgröße [kN], [kNm]	LF	Lastgröße [kN], [kNm]
1 Pt	-3.000	1 Pt	-95.577	3 Pt	-39.917	4 Pt	-23.490

PULA-25 aus ST_00_25
x = 15.62 m, y = -5.64 m

LF	Lastgröße [kN], [kNm]	LF	Lastgröße [kN], [kNm]	LF	Lastgröße [kN], [kNm]	LF	Lastgröße [kN], [kNm]
1 Pt	-3.000	1 Pt	-67.490	3 Pt	-37.024	4 Pt	-13.771

PULA-26 aus ST_00_26
x = 12.73 m, y = 5.43 m

LF	Lastgröße [kN], [kNm]	LF	Lastgröße [kN], [kNm]	LF	Lastgröße [kN], [kNm]	LF	Lastgröße [kN], [kNm]
1 Pt	-3.000	3 Pt	-28.416	4 Pt	-21.546	5 Pt	0.015
1 Pt	-81.756						

PULA-27 aus ST_00_27
x = 10.58 m, y = -5.56 m

LF	Lastgröße [kN], [kNm]	LF	Lastgröße [kN], [kNm]	LF	Lastgröße [kN], [kNm]	LF	Lastgröße [kN], [kNm]
1 Pt	-3.000	1 Pt	-183.996	3 Pt	-78.789	4 Pt	-45.714

PULA-28 aus ST_00_28
x = 10.46 m, y = 5.43 m

LF	Lastgröße [kN], [kNm]	LF	Lastgröße [kN], [kNm]	LF	Lastgröße [kN], [kNm]	LF	Lastgröße [kN], [kNm]
1 Pt	-3.000	1 Pt	-77.953	3 Pt	-28.966	4 Pt	-19.958

PULA-29 aus ST_00_29
x = 5.60 m, y = -5.56 m

LF	Lastgröße [kN], [kNm]	LF	Lastgröße [kN], [kNm]	LF	Lastgröße [kN], [kNm]	LF	Lastgröße [kN], [kNm]
1 Pt	-3.000	1 Pt	-177.629	3 Pt	-77.383	4 Pt	-43.725

PULA-30 aus ST_00_30
x = 12.73 m, y = 3.46 m

LF	Lastgröße [kN], [kNm]	LF	Lastgröße [kN], [kNm]	LF	Lastgröße [kN], [kNm]	LF	Lastgröße [kN], [kNm]
1 Pt	-3.000	1 Pt	-60.000	3 Pt	-23.671	4 Pt	-14.716

PULA-31 aus ST_00_31
x = -1.78 m, y = 9.02 m

LF	Lastgröße [kN], [kNm]	LF	Lastgröße [kN], [kNm]	LF	Lastgröße [kN], [kNm]	LF	Lastgröße [kN], [kNm]
1 Pt	-3.000	3 Pt	-29.405	4 Pt	-14.603	5 Pt	12.756
1 Pt	-51.243						

PULA-32 aus ST_00_32
x = -5.15 m, y = 9.02 m

LF	Lastgröße [kN], [kNm]	LF	Lastgröße [kN], [kNm]	LF	Lastgröße [kN], [kNm]	LF	Lastgröße [kN], [kNm]
1 Pt	-3.000	3 Pt	-23.344	4 Pt	-8.866	5 Pt	-84.155
1 Pt	-128.301						

PULA-33 aus ST_00_33
x = -2.26 m, y = -5.99 m

LF	Lastgröße [kN], [kNm]	LF	Lastgröße [kN], [kNm]	LF	Lastgröße [kN], [kNm]	LF	Lastgröße [kN], [kNm]
1 Pt	-3.000	1 Pt	-78.089	3 Pt	-33.811	4 Pt	-18.646

PULA-34 aus ST_00_34
x = -5.58 m, y = -5.99 m

LF	Lastgröße [kN], [kNm]	LF	Lastgröße [kN], [kNm]	LF	Lastgröße [kN], [kNm]	LF	Lastgröße [kN], [kNm]
1 Pt	-3.000	1 Pt	-25.683	3 Pt	-15.670	4 Pt	-4.099

PULA-35 aus ST_00_35
x = 4.73 m, y = 5.40 m

LF	Lastgröße [kN], [kNm]	LF	Lastgröße [kN], [kNm]	LF	Lastgröße [kN], [kNm]	LF	Lastgröße [kN], [kNm]
1 Pt	-3.000	3 Pt	-23.961	4 Pt	-10.649	5 Pt	-0.074
1 Pt	-49.442						

PULA-36 aus ST_00_36
x = -5.84 m, y = -3.27 m

LF	Lastgröße	LF	Lastgröße	LF	Lastgröße	LF	Lastgröße
	[kN], [kNm]		[kN], [kNm]		[kN], [kNm]		[kN], [kNm]
1 Pt	-3.000	3 Pt	-39.657	4 Pt	-21.703	5 Pt	-0.156
1 Pt	-90.774						

PULA-37 aus ST_00_37
x = -6.07 m, y = -0.82 m

LF	Lastgröße	LF	Lastgröße	LF	Lastgröße	LF	Lastgröße
	[kN], [kNm]		[kN], [kNm]		[kN], [kNm]		[kN], [kNm]
1 Pt	-3.000	3 Pt	-23.492	4 Pt	-11.934	5 Pt	0.389
1 Pt	-52.053						

PULA-38 aus ST_00_38
x = -5.94 m, y = 3.69 m

LF	Lastgröße	LF	Lastgröße	LF	Lastgröße	LF	Lastgröße
	[kN], [kNm]		[kN], [kNm]		[kN], [kNm]		[kN], [kNm]
1 Pt	-3.000	3 Pt	-19.302	4 Pt	-13.019	5 Pt	-24.103
1 Pt	-76.284						

PULA-39 aus ST_00_39
x = -5.65 m, y = 5.74 m

LF	Lastgröße	LF	Lastgröße	LF	Lastgröße	LF	Lastgröße
	[kN], [kNm]		[kN], [kNm]		[kN], [kNm]		[kN], [kNm]
1 Pt	-3.000	3 Pt	-29.957	4 Pt	-18.256	5 Pt	-38.283
1 Pt	-112.446						

PULA-40 aus ST_00_40
x = -6.27 m, y = 1.51 m

LF	Lastgröße	LF	Lastgröße	LF	Lastgröße	LF	Lastgröße
	[kN], [kNm]		[kN], [kNm]		[kN], [kNm]		[kN], [kNm]
1 Pt	-3.000	3 Pt	-19.606	4 Pt	-8.277	5 Pt	-0.885
1 Pt	-40.663						

PULA-41 aus ST_00_41
x = -2.13 m, y = 3.48 m

LF	Lastgröße	LF	Lastgröße	LF	Lastgröße	LF	Lastgröße
	[kN], [kNm]		[kN], [kNm]		[kN], [kNm]		[kN], [kNm]
1 Pt	-3.000	3 Pt	-21.609	4 Pt	-15.917	5 Pt	1.772
1 Pt	-59.891						

PULA-42 aus ST_00_42
x = 0.83 m, y = -0.05 m

LF	Lastgröße	LF	Lastgröße	LF	Lastgröße	LF	Lastgröße
	[kN], [kNm]		[kN], [kNm]		[kN], [kNm]		[kN], [kNm]
1 Pt	-3.000	3 Pt	-50.079	4 Pt	-38.640	5 Pt	-0.940
1 Pt	-144.539						

PULA-43 aus ST_00_43
x = 9.59 m, y = -0.05 m

LF	Lastgröße	LF	Lastgröße	LF	Lastgröße	LF	Lastgröße
	[kN], [kNm]		[kN], [kNm]		[kN], [kNm]		[kN], [kNm]
1 Pt	-3.000	1 Pt	-109.365	3 Pt	-37.105	4 Pt	-29.450

PULA-44 aus ST_00_44
 $x = 10.91 \text{ m}, y = -0.05 \text{ m}$

LF	Lastgröße	LF	Lastgröße	LF	Lastgröße	LF	Lastgröße
	[kN], [kNm]		[kN], [kNm]		[kN], [kNm]		[kN], [kNm]
1 Pt	-3.000	1 Pt	-83.288	3 Pt	-28.866	4 Pt	-21.989

PULA-45 aus ST_00_X1
 $x = -10.02 \text{ m}, y = 3.64 \text{ m}$

LF	Lastgröße	LF	Lastgröße	LF	Lastgröße	LF	Lastgröße
	[kN], [kNm]		[kN], [kNm]		[kN], [kNm]		[kN], [kNm]
1 Pt	-3.000	1 Pt	-9.489	4 Pt	1.015	5 Pt	-12.190

PULA-46 aus ST_00_X2
 $x = -10.21 \text{ m}, y = 5.66 \text{ m}$

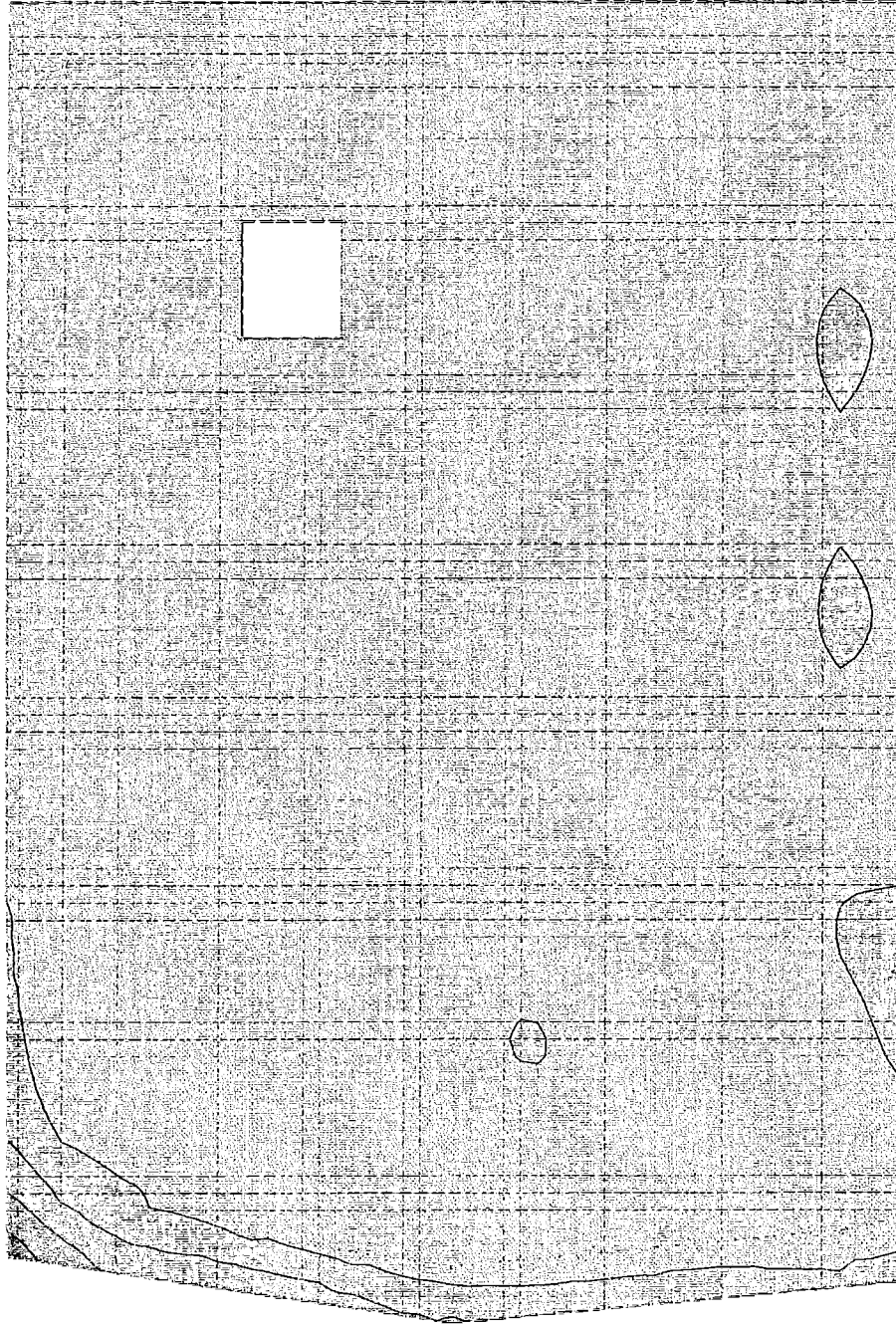
LF	Lastgröße	LF	Lastgröße	LF	Lastgröße	LF	Lastgröße
	[kN], [kNm]		[kN], [kNm]		[kN], [kNm]		[kN], [kNm]
1 Pt	-3.000	1 Pt	-18.216	4 Pt	0.795	5 Pt	-20.340

PULA-47 aus ST_00_X3
 $x = -10.44 \text{ m}, y = 8.05 \text{ m}$

LF	Lastgröße	LF	Lastgröße	LF	Lastgröße	LF	Lastgröße
	[kN], [kNm]		[kN], [kNm]		[kN], [kNm]		[kN], [kNm]
1 Pt	-3.000	1 Pt	-29.756	4 Pt	0.324	5 Pt	-30.622

PULA-48 aus ST_00_X4
 $x = -10.67 \text{ m}, y = 11.54 \text{ m}$

LF	Lastgröße	LF	Lastgröße	LF	Lastgröße	LF	Lastgröße
	[kN], [kNm]		[kN], [kNm]		[kN], [kNm]		[kN], [kNm]
1 Pt	-3.000	1 Pt	-35.510	4 Pt	0.368	5 Pt	-36.490



Flächenpressungen

Lagerkraft in z-Richtung in [kN/m²]

Maßstab: 1:125
MicroFe 2008.140

BauCon - Dr. Ing. Simon Neulicherl - www.baucon.it

MAX aus LFN/LKN-Überlagerung

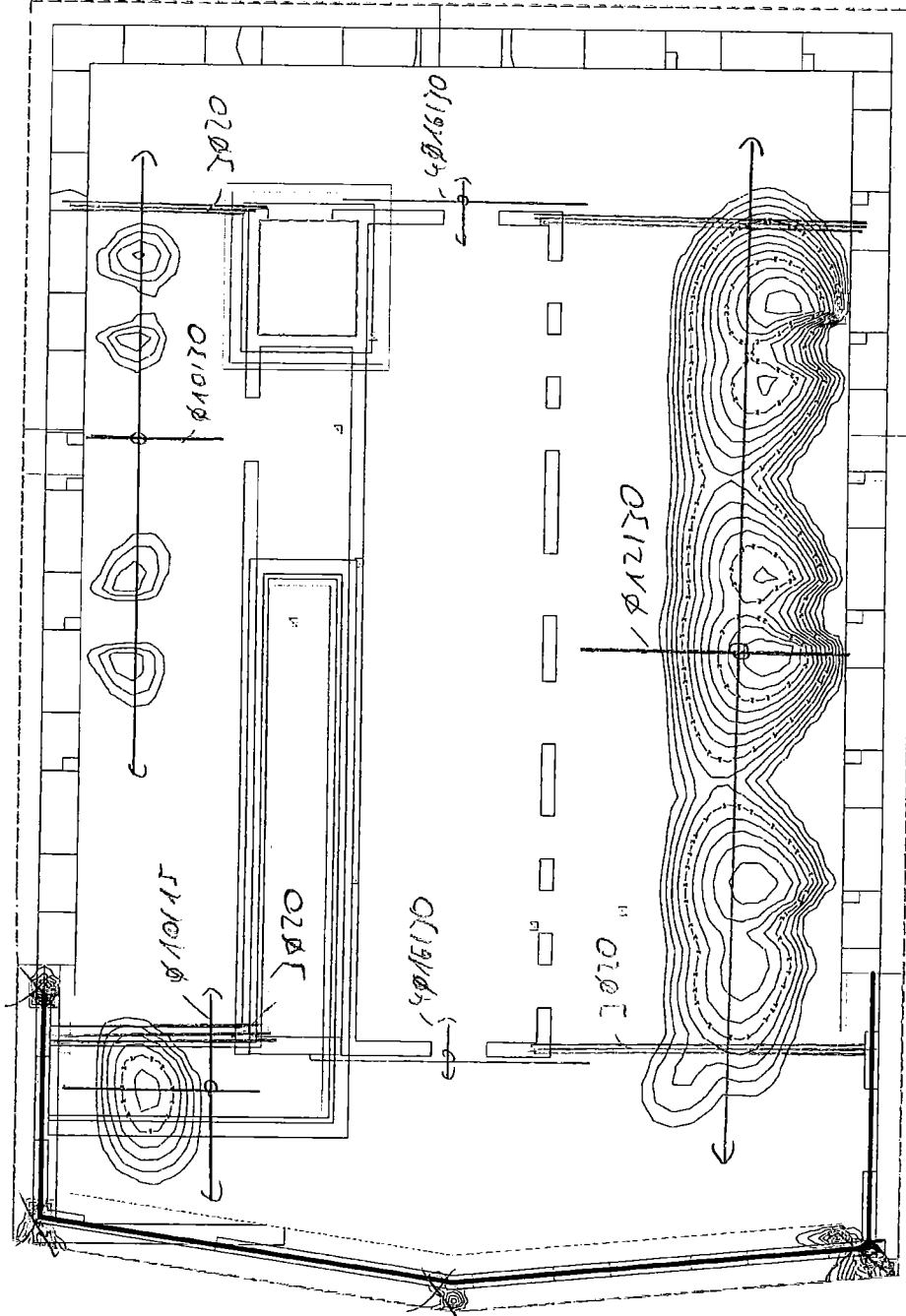
MAX = 111.4 (Kn. 1), MIN = 20.7 (Kn. 4176), STEP = 20

Bodenplatte-Detail

Projekt S0962 KG Rodeneck Datum
FE-Modell L_BO_00_1 Seite

L - 18

Grundeisete
Ø 810/115



Flächenbemessung

Maßstab: 1:125

MicroFe 2008.140

Erf. Bewehrung aus Tragfähigkeitsnachweis

BauCon - Dr. Ing. Simon Neulicherl - www.baucon.it

Projekt S0962 KG Rodeneck Datum

FE-Modell L_BO_00_1 Seite L - 19

Bodenplatte-Detail

s-Richtung oben in [cm²/m]

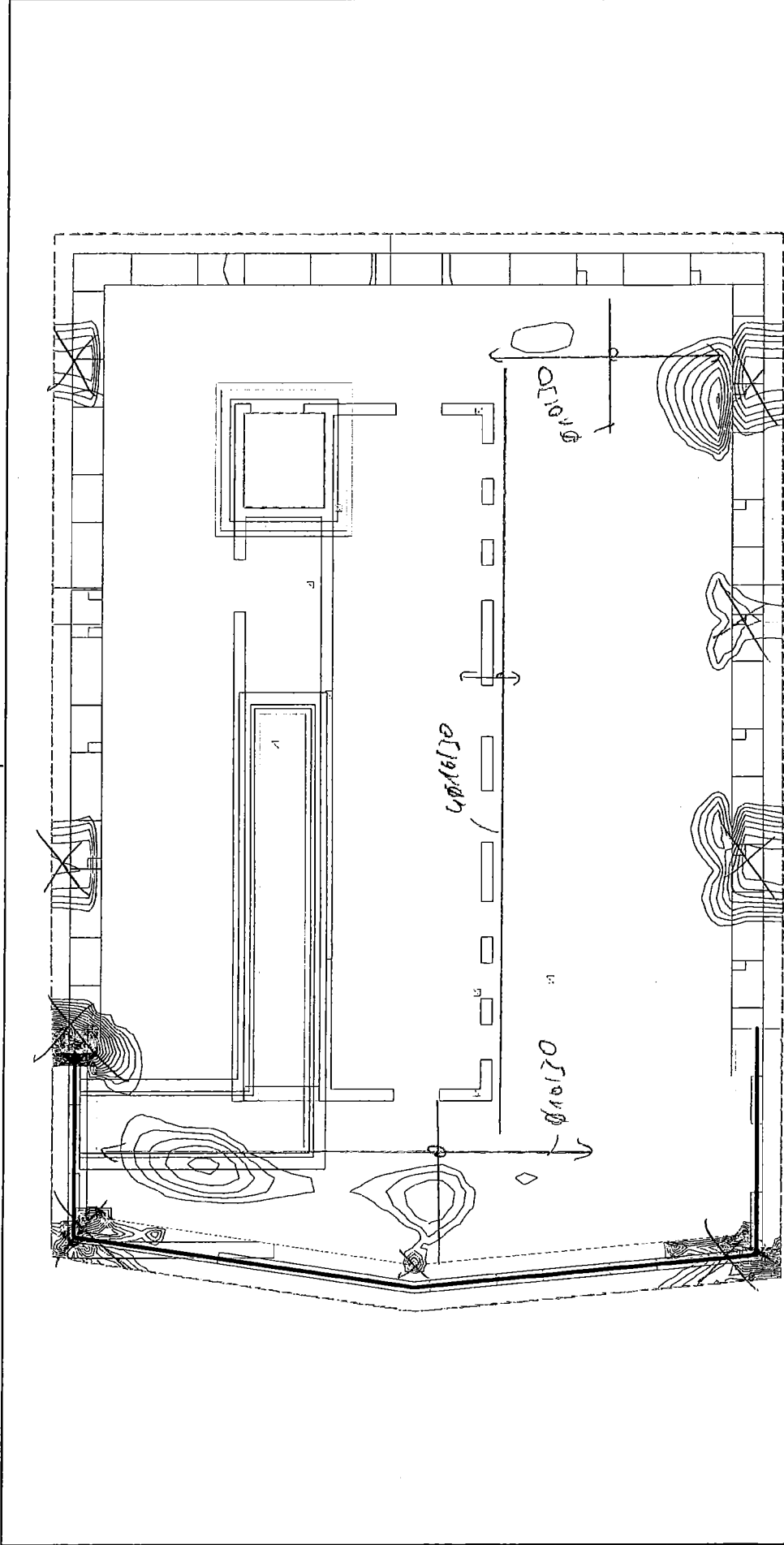
MAX = 4.3 (Kn. 12), MIN = 0 (Kn. 19), STEP = 0.2

C25/30, S450, Betondicke = 30.0 cm

Überdeckung [cm]: h_{tr} = 4.0, h_s = 4.0

Grundbewehrung: asgro = 3.4, asgso = 3.4 0.0/90.0 Grad

Stahlmasse = 1000.9 kg (ohne Grundbewehrung 47.9 kg)



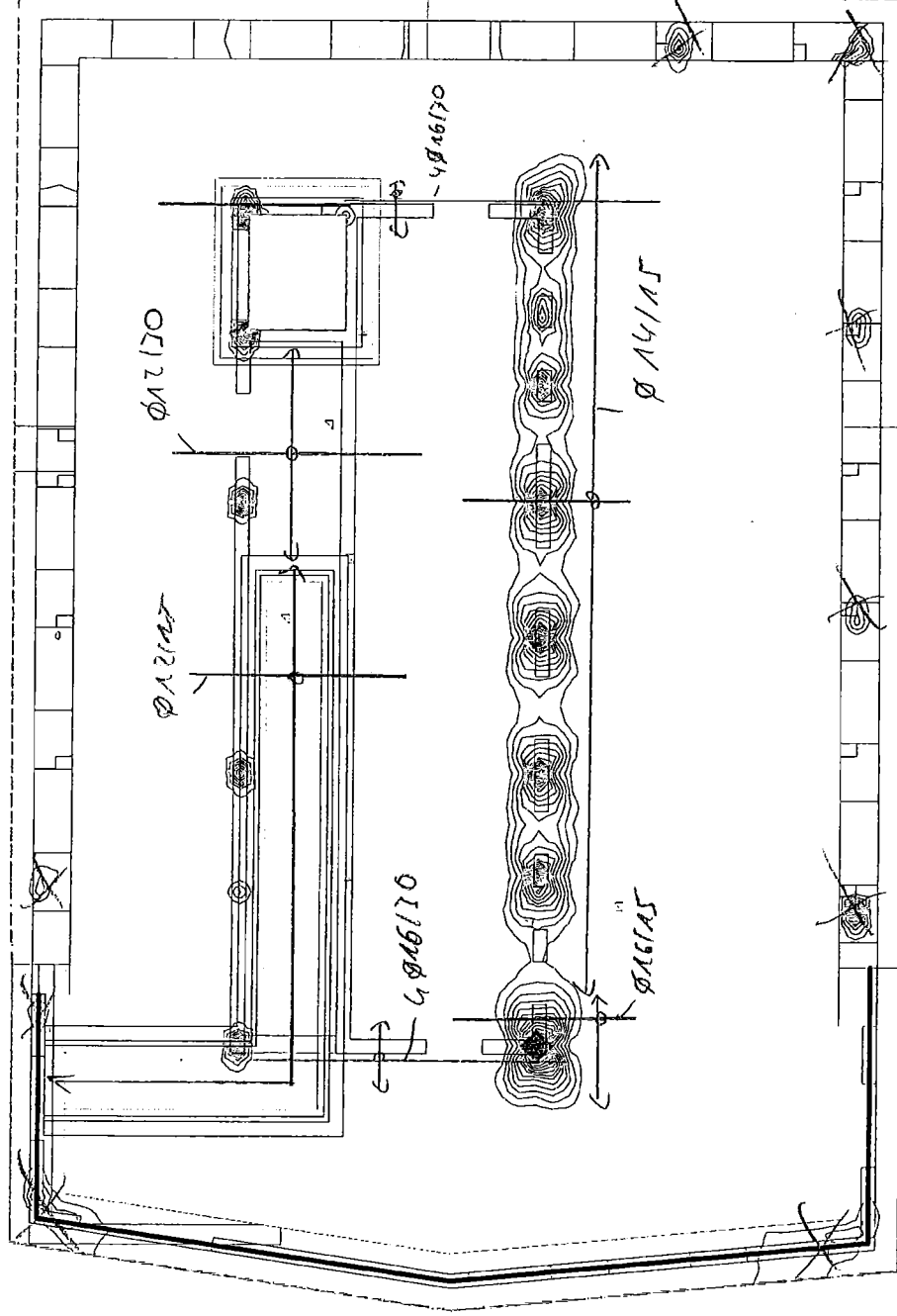
r-Richtung oben in [cm²/m]
MAX = 7.2 (Kn. 9), MIN = 0 (Kn. 111), STEP = 0.25
C25/30, S450, Betondicke = 30.0 cm
Überdeckung [cm]: h'r = 4.0, h's = 4.0
Grundbewehrung: asgro = 3.4, asgo = 3.4 0.0/90.0 Grad
Stahlmasse = 978.7 kg (ohne Grundbewehrung 25.6 kg)

Flächenbemessung
Erf. Bewehrung as aus Tragfähigkeitsnachweis

Maßstab: 1:125
MicroFe 2008.140

BauCon - Dr. Ing. Simon Neulichedl - www.baucon.it

Bodenplatte-Detail	Projekt	S0962 KG Rodeneck	Datum
	FE-Modell	L_BO_00_1	Seite
			L - 20



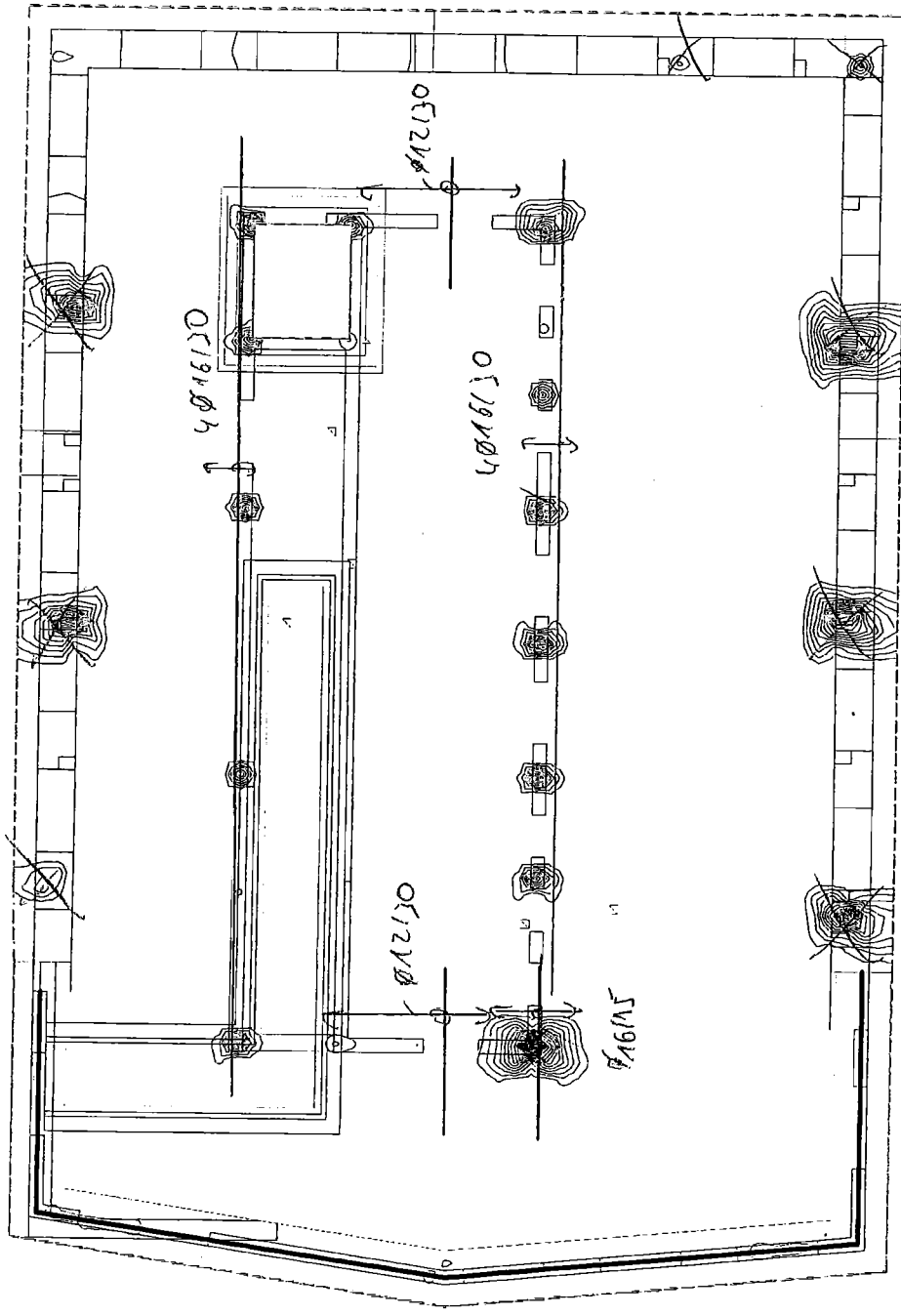
s-Richtung unten in [cm²/m]
MAX = 19 (Kn. 1728), MIN = 0 (Kn. 98), STEP = 0.75
C25/30, S450, Betondicke = 30.0 cm
Überdeckung [cm]: h'r = 4.0, h's = 4.0
Grundbewehrung: asgru = 3.4, asgsu = 3.4 0.0/90.0 Grad
Stahlmasse = 1006.0 kg (ohne Grundbewehrung 53.0 kg)

Flächenbemessung
Erf. Bewehrung as aus Tragfähigkeitsnachweis

Maßstab: 1:125
MicroFe 2008.140

BauCon - Dr. Ing. Simon Neulicheidl - www.baucon.it			
Bodenplatte-Detail	Projekt	S0962 KG Rodeneck	Datum
	FE-Modell	L_BO_00_1	Seite
			L - 22

Grundriss:
Ø 8/15/15



r-Richtung unten in [cm²/m]
 MAX = 18 (Kn. 1728), MIN = 0 (Kn. 99), STEP = 0.75
 C25/30, S450, Betondicke = 30.0 cm
 Überdeckung [cm]: h'r = 4.0, h's = 4.0
 Grundbewehrung: asgru = 3.4, asgsu = 3.4 0.0/90.0 Grad
 Stahlmasse = 998.5 kg (ohne Grundbewehrung 45.5 kg)

Flächenbemessung
 Erf. Bewehrung as aus Tragfähigkeitsnachweis

Maßstab: 1:125
 MicroFe 2008.140

BauCon - Dr. Ing. Simon Neulicheidl - www.baucon.it

Bodenplatte-Detail	Projekt	S0962 KG Rodeneck	Datum
	FE-Modell	L_BO_00_1	Seite
			L - 21